

UNIVERSITATEA POLITEHNICA TIMIȘOARA

FACULTATEA DE MECANICĂ

TEZĂ DE DOCTORAT

**SINTEZA INTELIGENȚEI ARTIFICIALE PE
BAZA INTERACȚIUNII PRIN VEDERE A
ROBOTULUI CU MEDIUL**

BIBLIOTECA CENTRALĂ
UNIVERSITATEA "POLITEHNICA"
TIMIȘOARA

Autor: ing. DAN MIHAI IOSIF

Cond. științific: prof. dr. ing. DOINA DRĂGULESCU

Cuprins

- 1. Partea I – Achiziția și preprocesarea imaginii**
 - 1.1 Introducere
 - 1.2 Achiziția imaginii
 - 1.2.1 Dispozitive hardware de achiziție
 - 1.2.2 Software-ul de achiziție în timp real. Librăria Video for Windows de la Microsoft
 - 1.3 Fundamentarea teoretică
 - 1.3.1 Tehnici de iluminare
 - 1.3.2 Metode bazate pe domenii spațiale
 - 1.3.3 Metode bazate pe domenii de frecvență
 - 1.4 Filtrarea imaginilor
 - 1.4.1 Metoda mediei vecinătății
 - 1.4.2 Metoda filtrării mediane
 - 1.4.3 Metoda mediei imaginilor
 - 1.4.4 Metoda convoluției și corelației
 - 1.4.5 Metoda filtrelor spațiale trece-jos
 - 1.4.6 Metoda filtrelor spațiale trece-sus
 - 1.4.7 Metoda convoluției încrucișate folosind un filtru Gauss
 - 1.4.8 Metoda filtrelor minim și maxim
 - 1.4.9 Metoda filtrării imaginilor binare
 - 1.5 Îmbunătățirea imaginii
 - 1.5.1 Egalizarea histogramei
 - 1.5.2 Specificarea histogramei
 - 1.5.3 Îmbunătățirea locală a imaginii
 - 1.6 Detecția de contur
 - 1.6.1 Formulări de bază
 - 1.6.2 Operatori de tip Gradient
 - 1.6.3 Operatorul Laplacian
 - 1.6.4 Detecția de contur prin deplasare și diferență
 - 1.7 Stabilirea unui prag pentru prelucrarea imaginii
 - 1.8 Domeniile de frecvență
 - 1.8.1 Transformata Fourier a unei imagini
 - 1.8.2 Convoluția
 - 1.8.3 Corelația
- 2. Partea II-a. Procesarea imaginii**
 - 2.1. Segmentarea
 - 2.1.1 Conectarea marginilor și detecția de contur
 - 2.1.2 Folosirea pragului pentru segmentare
 - 2.1.3 Segmentarea orientată pe regiuni
 - 2.1.4 Utilizarea mișcării
 - 2.1.5 Prezentarea și implementarea unui algoritm de segmentare folosind tehnica pragului
 - 2.2 Descrierea
 - 2.2.1 Descriptori de contur
 - 2.2.2 Descriptorii regiunilor
 - 2.3. Recunoașterea
 - 2.3.1 Metode de decizie teoretică
 - 2.3.2 Metode structurale

- 3 Partea III-a . Planificarea mișcării roboților autonomi pe baza informațiilor obținute prin vedere artificială**
- 3.1. Conducerea unui robot printr-un mediu format din figuri geometrice plane
- 3.1.1 Descrierea robotului efector
- 3.1.2 Detalii constructive
- 3.1.3 Descrierea rutinelor de comandă
- 3.1.4 Recunoașterea și maparea spațiului de lucru
- 3.2. Conducerea unui robot cu achiziția imaginii în timp real
- 3.3. Prezentarea programului principal
- 4. Partea IV-a. Concluzii și contribuții personale**
5. Bibliografia

➤ **Introducere**

La fel ca în cazul organelor umane, capacitățile de vedere îi oferă unui robot un mecanism foarte sofisticat care îi permite să răspundă acțiunilor din mediul de lucru într-un mod inteligent și flexibil. Utilizarea vederii cât și a altor simțuri, este motivată de continua necesitate de creștere a flexibilității și utilizărilor sistemelor robotizate. În timp ce senzorii de proximitate, atingere și control al forței au un rol important în îmbunătățirea performanțelor robotului, vederea este recunoscută drept cel mai puternic sensor al unui robot. Așa cum este de așteptat, senzorii, conceptele și hardware-ul necesar procesării asociate cu vederea artificială sunt în mod considerabil mai complexe decât cele asociate cu celelalte tipuri de senzori.

Vederea artificială poate fi definită ca un proces de extragere, caracterizare și interpretare a informațiilor dintr-o imagine a lumii tridimensionale. Acest proces, poate fi împărțit în șase domenii principale: achiziție, preprocesare, segmentare, descriere, recunoaștere și interpretare.

- **Achiziția** este procesul care generează o imagine pe computer.
- **Preprocesarea** se ocupă cu reducerea zgomotului și îmbunătățirea detaliilor imaginii respective.
- **Segmentarea** este procesul care împarte o imagine în obiecte de interes.
- **Descrierea** tratează calculul diferitelor caracteristici (dimensiunea, forma, etc) ce se pretează pentru diferențierea unui obiect de altul.
- **Recunoașterea** este procesul care identifică obiectele descrise anterior.
- **Interpretarea** dă un sens întregului ansamblu de obiecte existente într-o imagine.

Se obișnuiește să se grupeze aceste domenii în funcție de gradul de complexitate necesar în implementarea lor. În teză se vor considera trei nivele de procesare: joasă, medie și înaltă. Astfel: în categoria **joasă** intră acele procese care sunt considerate reacții automate și nu necesită inteligență din partea sistemului de vedere artificială, cum ar fi: achiziția și preprocesarea adică formarea imaginii, compensarea la zgomote și în final extragerea de primitive de imagine așa cum ar fi discontinuitățile de contur. Vederea de nivel **mediu** se referă la procesele de extragere, caracterizare și marcare a componentelor dintr-o imagine rezultată din nivelul anterior. Din această categorie fac parte

segmentarea, descrierea și recunoașterea obiectelor individuale. Vederea de nivel înalt conține interpretarea, adică înțelegerea ansamblului de obiecte afișate pe ecran.

În timp ce algoritmi de nivel jos și mediu sunt în general bine definiți, noțiunea de vedere de nivel *înalt* este una doar speculativă și tratată deocamdată pe cazuri particulare utilizând restricții și idealizări pentru a restrânge complexitatea acestei proceduri.

Principalul scop urmărit în teză este conducerea unui robot mobil printr-un spațiu populat cu obstacole. Pe baza informațiilor primite de la un sistem de vedere toate noțiunile prezentate au fost selectate astfel încât să servească scopului final ales. La majoritatea capitolelor pe lângă metodele implementate sunt prezentate din punct de vedere teoretic și alte metode pentru scoaterea în evidență a avantajelor și dezavantajelor metodelor utilizate practic.

Teza este structurată pe trei părți, fiecare dintre acestea reprezentând cele trei nivele prezentate anterior.

- ***Partea I-a : Achiziția și preprocesarea imaginii***

Prima parte tratează vederea de complexitate joasă ocupându-se de achiziția și preprocesarea imaginii. Partea de achiziție tratează dispozitivele hardware, punându-se accentul pe cele utilizate în realizarea experimentelor, precum și software-ul folosit pentru achiziția imaginii. În partea de soft se va prezenta librăria Video for Windows a firmei Microsoft, librărie ce va fi utilizată pentru achiziția imaginii în cadrul rutinelor realizate. Odată ce există o imagine capturată, următoarea cerință în vederea realizării scopului propus este preprocesarea acestei imaginii. Necesitatea preprocesării rezultă din faptul că în urma achiziției imaginea prezintă zgomote, diferențe de iluminare, etc, plus, imaginea achiziționată este o imagine color iar pentru a simplifica vederea de nivel mediu este necesară o imagine binară (în alb și negru). Având trasate astfel principale direcții de implementat, se vor prezenta diferite tehnici de iluminare, urmate de metodele de filtrare pentru eliminarea zgomotelor și de metodele de îmbunătățire a imaginii pentru eliminarea efectelor de iluminare. În continuare se vor prezenta tehnicile de binarizare a imaginii și cele de detecție de contur, tehnici care se vor folosi ulterior pentru descrierea obiectelor.

- ***Partea a II-a : Procesarea imaginii***

În cadrul acestei părți se realizează implementarea vederii de nivel mediu, adică se extrag corpurile din cadrul imaginii achiziționate și preprocesate cu ajutorul metodelor din partea I-a, se descriu într-o manieră care să permită ușor recunoașterea lor, și în final se recunosc dintr-o bază de date.

- ***Partea a III-a : Planificarea mișcărilor roboților autonomi pe baza informațiilor obținute prin vedere artificială***

Aici se prezintă o variantă de interpretare a rezultatelor ce are drept rezultat conducerea unui robot printr-un mediu format din figuri geometrice regulate. În această parte sunt descrise de asemenea principiile de realizare a roboților cu care s-au efectuat experimentele și metodele de planificare a mișcării acestora. În finalul capitolului este prezentată și o descriere de ansamblu a programului realizat.

În finalul tezei sunt prezentate sintetic principalele probleme soluționate și contribuțiile originale ale autorului.

Prezenta lucrare nu a putut fi elaborată fără sprijinul întregului colectiv din care autorul face parte și care este condus cu profesionalism și competență de domnul prof. dr. ing. Ioan Mureșan. Multe din ideile asupra cărora conținutul tezei s-a axat se datorează sugestiilor dumnealui atât în perioada de pregătire a examenelor și referatelor cât și în timpul elaborării tezei.

Gratitudinea mea se îndreaptă și spre domnul prof. dr. ing. Nicolae Robu care mi-a pus la dispoziție primul robot mobil pe care s-au efectuat încercări.

Al doilea set de încercări experimentale s-au derulat pe robocarul conceput și realizat de colegul s.l. ing. Dan Andreiciuc, căruia îi mulțumesc și pe această cale.

Toate experimentările s-au derulat în laboratorul de Robotică al Catedrei de Organe de Mașini și Mecanisme din cadrul Facultății de Mecanică, motiv pentru care îmi exprim recunoștința spre domnul prof. dr. ing. Dan Perju, șeful acestei catedre și colegului Aurel Diaconu care a participat la experimentări.

Elaborarea acestei lucrări și întreaga activitate de pregătire s-a desfășurat în cadrul Departamentului de Automatică și Informatică Industrială al Facultății de automatică și Calculatoare, climatul de muncă din acest colectiv influențându-mă în mod pozitiv.

Pentru aceasta consider că trebuie să mulțumesc domnilor profesori Ștefan Holban și Toma Leonida Dragomir.

În final, dar nu în ultimul rând, doresc să mulțumesc și pe această cale conducătorului științific, doamnei prof. dr. ing. Doina Drăgulescu, care m-a susținut și m-a încurajat pe tot parcursul realizării acestei teze, oferindu-mi atât sprijinul material format din documentații, bibliografii, informații cât și sprijinul moral atât de necesar încheierii cu succes a acestei perioade relativ lungi de studii și experimente.

Partea I

Achiziția și preprocesarea imaginilor

1.1 Introducere

Partea de achiziție prezintă principalele dispozitive hardware utilizate în cadrul experimentelor, incluzând camerele video și plăcile de captură folosite.

Din punct de vedere software este descrisă utilizarea driverelor plăcilor de captură folosind librăria Video for Windows a firmei Microsoft. Vor fi prezentate descrierile funcțiilor utilizate precum și exemple de cod în limbaj C.

În partea de preprocesare sunt prezentați atât din punct de vedere teoretic cât și practic, folosindu-se exemplificarea prin imagini, o largă varietate de algoritmi utilizați în scopul pregătirii imaginii pentru faza de procesare propriu-zisă.

Sunt prezentați diverși algoritmi de filtrare ce au rolul eliminării zgomotelor din cadrul imaginii achiziționate, urmați de algoritmi de îmbunătățire a imaginii ce tratează problema eliminării efectelor datorate iluminării spațiului de lucru.

În scopul obținerii unor imagini de o calitate cât mai ridicată, se vor descrie și câteva tehnici de iluminare, ce au ca scop evitarea apariției umbrelor, a efectelor de tip „spot-light”, etc.

Pe lângă metodele de tip spațial vor fi prezentate din punct de vedere teoretic și metode din domeniul de frecvență, dar care nu au fost implementate practic din cauza necesarului mare de calcule și timp pe care le implică, condiție neacceptabilă într-un sistem de vedere artificială industrială, care trebuie să funcționeze practic în timp real.

În finalul capitolului se prezintă câțiva algoritmi de detecție de contur, care realizează trecerea la următoarea fază în prelucrarea imaginilor, cea de procesare.

1.2 Achiziția imaginii

Informația vizuală este convertită în semnale electrice de către senzorii de vedere. Când aceste semnale sunt eșantionate spațial și cuantificate ca nivele de amplitudine, rezultatul obținut va fi o imagine digitală. Se tratează două aspecte principale:

- cele mai importante dispozitive hardware utilizate în achiziția imaginii
- prezentarea software-ului necesar fazei de achiziție

În categoria dispozitivelor hardware, va fi descrisă funcționarea camerelor video CCD și a celor cu tub vidat, cât și plăcile de achiziție ce sunt utilizate în cadrul experimentelor de pe parcursul realizării tezei.

În categoria software va fi prezentată librăria Video for Windows de la firma Microsoft [133], cu toate facilitățile pe care aceasta le oferă pentru realizarea unei achiziții optime în cadrul unei aplicații. Vor fi exemplificate funcții și porțiuni de cod necesare unei înțelegeri exacte a posibilităților oferite de această librărie.

1.2.1 Dispozitive hardware de achiziție

Dispozitivele principale utilizate în vederea artificială sunt camerele de luat vederi, constând fie dintr-un tub vidat, fie dintr-un senzor de imagine solid împreună cu electronica lor aferentă [96], [97]. Se prezintă, pe scurt, principiile de operare ale unui tub electronic cu vid și ale dispozitivelor CCD (charge-coupled device). Dispozitivele CCD oferă un mare număr de avantaje asupra camerelor cu tub concretizate în :

- greutate mai mică
- dimensiuni mai mici
- viață mai lungă
- consum mai mic de energie

Cu toate acestea, rezoluția acestora este mai mică decât a celor cu tub electronic.

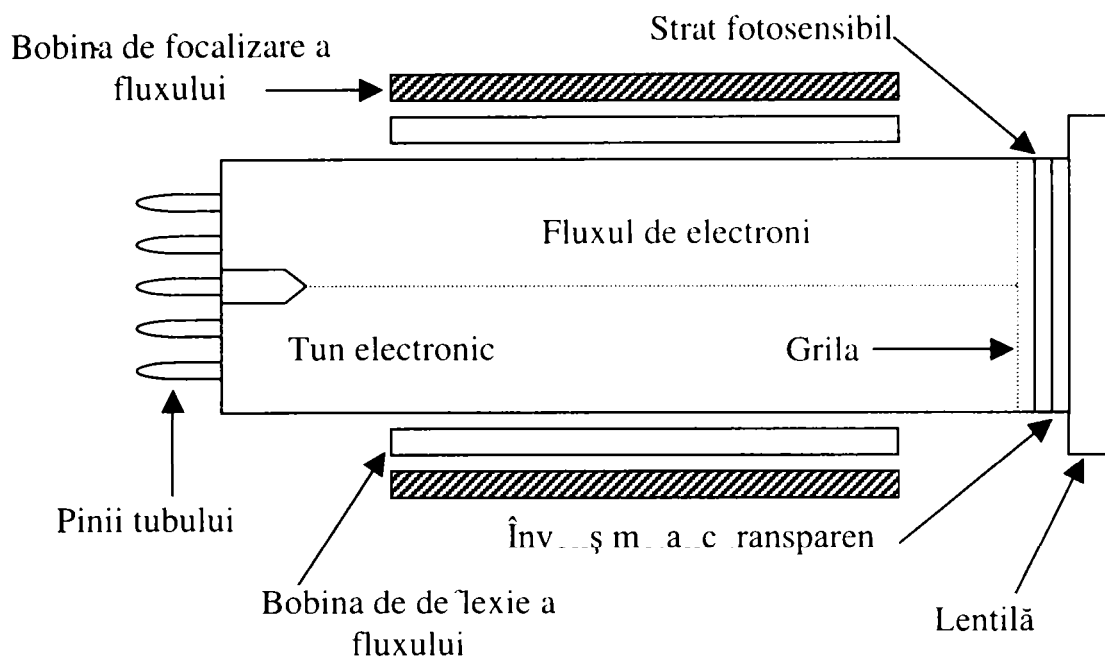


Fig. 1.2.1. Schema unui tub electronic

Așa cum se prezintă în schema din figura 1.2.1, camera cu tub vidat este un cilindru de sticlă ce conține un tun electronic la un capăt și o lentilă cu o țintă la celălalt. Fluxul este focalizat și deviat prin tensiuni aplicate celor două bobine. Circuitul de deviere forțează fluxul să scaneze suprafața interioară a țintei în scopul citirii imaginii. Partea interioară a suprafeței lentilei de sticlă este învelită cu un film metalic transparent care formează un electrod din care este derivat un semnal video electric. Pe acest film este depus un strat subțire fotosensibil. Acest strat constă din globule rezistive foarte mici a căror rezistență este invers proporțională cu intensitatea luminoasă. În spatele acestei ținte fotosensibile se află o grilă metalică foarte fină încărcată pozitiv care decelerează electronii emiși de tun în așa fel încât ei ajung să atingă suprafața de țintă cu o viteză egală, în principiu, cu zero.

În modul de operare normal, o tensiune pozitivă este aplicată învelișului metalic al lentilei. În absența luminii, materialul fotosensibil se comportă ca un dielectric, fluxul de electroni plasând un strat de electroni pe suprafața interioară a zonei de țintă pentru a echilibra încărcarea pozitivă a învelișului metalic. Pe măsură ce fluxul de electroni scanează suprafața stratului de țintă, acest strat fotosensibil devine un condensator cu sarcina negativă pe partea interioară și pozitivă pe cea exterioară. Când lumina lovește stratul de țintă, rezistența acestuia este redusă iar electronii pot să treacă prin el și să neutralizeze sarcina pozitivă. Deoarece cantitatea de sarcină negativă care trece dintr-o parte în alta este proporțională cu cantitatea de lumină din

orice arie locală a țintei, acest efect produce o imagine pe stratul țintă care este identică cu imaginea luminoasă de pe lentila tubului. Astfel, concentrația de electroni rămasă este mare în zonele întunecate ale tubului și mică în zonele luminoase. Pe măsură ce fluxul scanează ținta el înlocuiește sarcina negativă pierdută, astfel generând un curent care curge din stratul metalic către unul din pinii tubului. Acest curent este proporțional cu numărul de electroni înlocuiți, adică cu intensitatea luminoasă dintr-o locație particulară a fluxului de scanare. Această variație de curent ce se produce în timpul mișcării fluxului de scanare, după ce este trecută prin circuitele electronice ale camerei este convertită în semnal video proporțional cu intensitatea imaginii .

Principiul standard de scanare utilizat în toate camerele cu tub vidat este prezentat în figura 1.2.2.

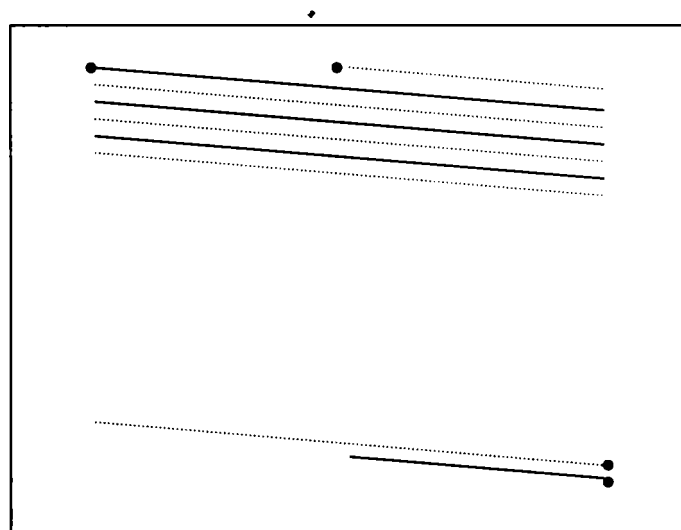


Fig. 1.2.2 Modul de scanare a fluxului de electroni

Fluxul de electroni scanează întreaga suprafață a țintei de 30 de ori pe secundă, fiecare scanare completă numită cadru constă din 525 de linii (SUA și Japonia, iar Europa 625 de linii) din care 480 conțin informații de imagine (SUA).

Dacă liniile ar fi scanate secvențial iar rezultatul ar fi afișat pe un monitor, imaginea ar tremura (fenomenul de flicker). Acesta poate fi înlăturat prin utilizarea unui mecanism de scanare în care fiecare cadru este împărțit în două semicadre întreșesute, fiecare constând din 262,5 linii scanate de 60 de ori pe secundă, adică de două ori rata de scanare a unui singur cadru. Primul semicadru al fiecărui cadru scanează liniile impare (desenate cu linie punctată în figură), iar cel de-al doilea pe cele pare. Această metodă de scanare numită convenția de scanare RETMA (Radio

Electronics Television Manufactures Association) este standardul de televiziune utilizat în Statele Unite.

Când se discută despre dispozitive CCD, se obișnuiește să se împartă acești senzori în două categorii:

- senzori de scanare linie
- senzori suprafață

Componenta de bază a unui senzor CCD linie este un rând de elemente de siliciu sensibile la lumină numite fotocelule. Fotonii imaginii trec printr-o structură de porți de siliciu policristalin transparent și sunt absorbiți în cristalul de siliciu, creându-se astfel perechi electron-gol. Fotoelectronii rezultați sunt colectați în fotocelule, având cantitatea de sarcină colectată pe fiecare fotocelule proporțională cu intensitate luminoasă în acea locație. Un senzor linie tipic, (figura 1.2.3), este compus dintr-un rând de elemente de imagine, două porți de transfer utilizate pentru a sincroniza încărcarea conținutului elementelor de imagine în așa numitele registre de transport și o poartă de ieșire utilizată pentru sincronizarea transferului conținutului regiștrilor de transport în amplificator a cărei ieșire este un semnal în tensiune proporțional cu conținutul rândului de fotocelule.

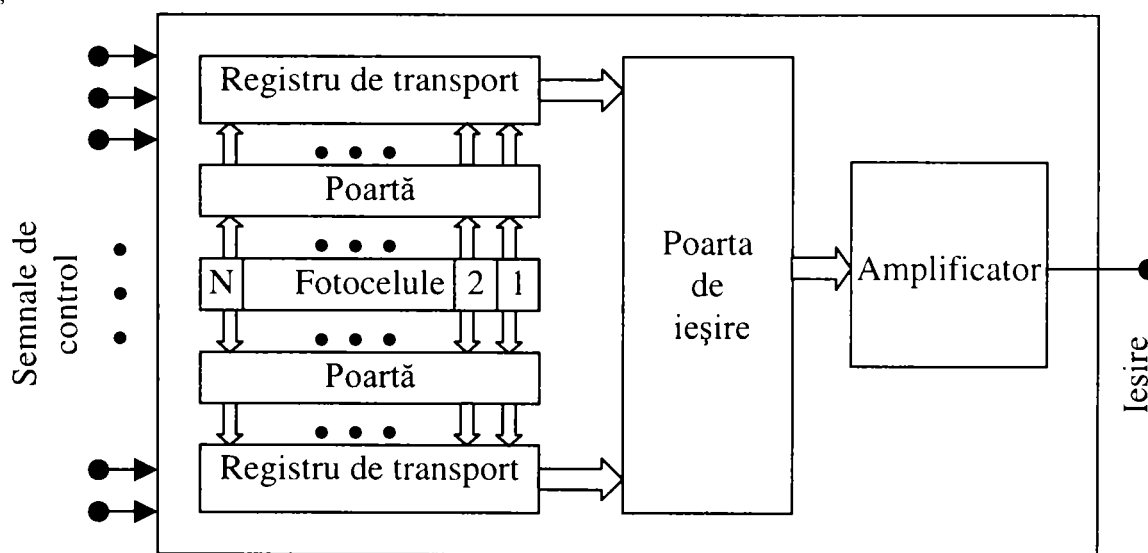


Fig. 1.2.3 Senzor CCD linie

Matricile CCD de suprafață sunt similare cu senzorii linie, cu excepția faptului că fotocelulele sunt aranjate într-un format matricial și că există un registru de transport care combină între ele coloanele de fotocelule (figura 1.2.4).

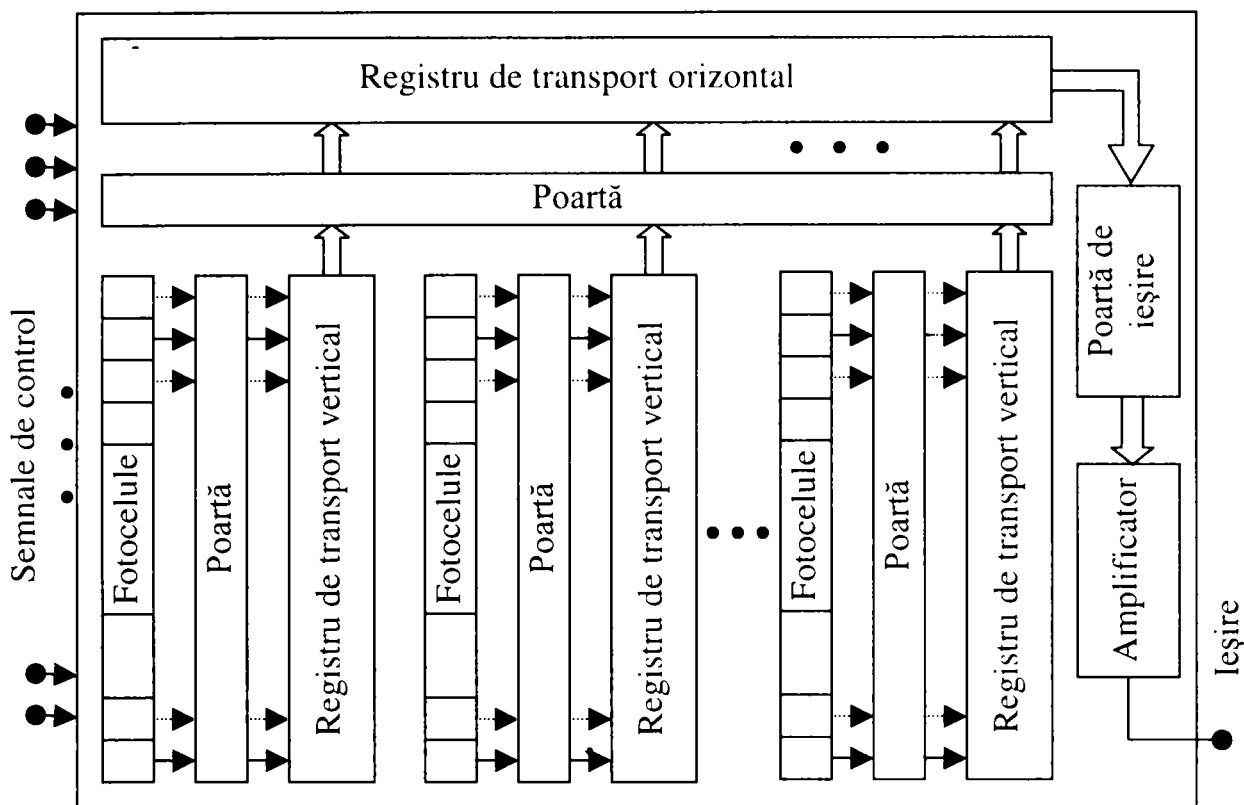


Fig. 1.2.4. Senzor CCD de suprafață

Conținutul fotocelulelor impare este încărcat secvențial în regiștrii de transport vertical iar după aceea într-un registru de transport orizontal. Conținutul acestui registru este trecut printr-un amplificator a cărui ieșire este semnalul video. Prin repetarea acestei proceduri pentru liniile pare, se completează cel de-al doilea semicadru dintr-un cadru TV. Acest mecanism de scanare se repetă de 30 de ori pe secundă.

Camerele de luat vederi care folosesc un singur senzor linie vor obține în mod evident o singură linie din imagine. Aceste dispozitive sunt ideale pentru aplicații în care obiectele se deplasează prin fața senzorului (pe benzi rulante). Mișcarea unui obiect pe o direcție perpendiculară pe senzor produce o imagine bidimensională. Rezoluțiile comune pentru acest tip de senzori sunt cuprinse între 256 și 2048 de elemente. Rezoluțiile senzorilor de suprafață sunt cuprinse între 32 x 32 pentru cele joase și 256 x 256 pentru cele de nivel mediu. Senzorii de nivel înalt au o rezoluție cuprinsă între 480 x 380 până la 1024 x 1024 de elemente (sau chiar mai mult).

Pe lângă camerele video, o altă componentă foarte importantă în cadrul procesului de achiziție o reprezintă placa de captură video. Aceste dispozitive hardware convertesc semnalul analogic obținut de la camera video într-un semnal

digital care este afișat sub forma unei imagini pe ecranul monitorului de către driverul respectivei plăci de achiziție. Cele mai importante caracteristici ale acestor plăci de achiziție sunt numărul de cadre achiziționate pe secundă și rezoluția la care se poate realiza această achiziție. În partea experimentală a tezei de doctorat s-au utilizat două plăci de achiziție. În prima perioadă de experimentări, datorită lipsei unei oferte pe piața românească în anul 1994, s-a folosit o placă de captură Intel Smart VCR în sistem NTSC ce permite o rată de 15 cadre pe secundă la o rezoluție maximă de 320 x 240 de pixeli. Ulterior a fost achiziționată o placă de captură ATI All in Wonder Pro în sistem PAL, ce permite achiziția a 30 de cadre pe secundă și o rezoluție maximă de 1024 x 68 de pixeli pentru imagini statice și 640 x 480 de pixeli pentru o secvență de film. Nivelul de zgomot la cea din urmă este mult mai redus decât la prima, iar imaginile achiziționate au nevoie de mult mai puține filtrări pentru eliminarea zgomotelor, și în concluzie o viteză mai mare de prelucrare.

1.2.2 Software-ul de achiziție a imaginii în timp real. Librăria Video for Windows de la Microsoft

Microsoft a dezvoltat librăria Video for Windows pentru a se putea încorpora foarte ușor facilitățile de captură video în orice aplicație prin utilizarea clasei Windows AVICap [133]. Această clasă pune la dispoziția programatorilor o interfață simplă bazată pe mesaje pentru accesarea achiziției hardware, atât video cât și audio, și în același timp oferă posibilități de control asupra întregului proces de salvare a capturii video pe disc.

➤ Descrierea generală a facilităților oferite de clasa AVICap

Clasa AVICap suportă atât capturarea unui film video cât și capturarea unui singur cadru în timp real. În plus, AVICap asigură controlul asupra surselor video de tip Media Control Interface (MCI), astfel că utilizatorul poate accesa (printr-o aplicație) pozițiile de start și stop ale sursei video, și poate determina operația de captură să lucreze în mod pas cu pas.

Ferestrele care se pot crea folosind clasa Windows AVICap pot realiza următoarele operații:

- Capturarea filmelor audio video într-un fișier de tip AVI (audio video interleaved).

- Conectarea și deconectarea dispozitivelor de intrare video și audio în mod dinamic.
- Vizualizarea în direct (live) a unui semnal video folosind modurile vizionare (preview) și suprapus (overlay).
- Specificarea unui fișier atunci când se capturează un film sau o imagine.
- Setarea ratei de captură.
- Afișarea de cutii de dialog ce permit controlul sursei și formatului video.
- Crearea, salvarea și încărcarea de palete.
- Copierea de imagini și de palete în clipboard.
- Capturarea și salvarea unei singure imagini într-un format bitmap independent de dispozitiv (DIB).

➤ **Prezentarea software-ului minim necesar pentru introducerea în aplicație a capturii video**

Captura video digitizează un șir de date video și audio, și îl salvează pe hard disc sau pe alt dispozitiv de stocare permanentă. Acest capitol descrie modul de adăugare a unei capturi video într-o aplicație folosind doar trei instrucțiuni. De asemenea este descris modul de terminare a sesiunii de captură prin trimiterea de mesaje către fereastra de captură.

O fereastră de captură AVICap se ocupă de toate detaliile legate de salvarea filmelor video și audio în fișiere AVI. Acest lucru scutește aplicația de implicare în formatul fișierelor AVI, de managementul buferelor audio și video și de accesul la nivel de jos al driverelor audio și video. Clasa AVICap asigură o interfață flexibilă pentru aplicații. Programatorul poate adăuga captura video în aplicații folosind următoarele linii de cod:

```
hWndC = capCreateCaptureWindow("Fereastra de captura",
                               WS_CHILD | WS_VISIBLE, 0, 0, 160, 120, hwndParent, nID);
SendMessage(hWndC, WM_CAP_DRIVER_CONNECT, 0 /* wIndex */, 0L);
SendMessage(hWndC, WM_CAP_SEQUENCE, 0, 0L);
```

De asemenea, este valabilă o interfață pe bază de macrouri care permite o alternativă la utilizare funcției SendMessage și care asigură o îmbunătățire a ușurinței cu care codul unei aplicații poate fi citit. Exemplul următor demonstrează utilizarea acestei interfețe în adăugarea de captură video la o aplicație:

```
hWndC = capCreateCaptureWindow("Fereastra de captura",  
                                WS_CHILD | WS_VISIBLE , 0, 0, 160, 120, hwndParent, nID);  
capDriverConnect(hWndC, 0);  
capCaptureSequence(hWndC);
```

După ce aplicația creează o fereastră de captură de tipul clasei AVICap și o conectează cu un driver video, fereastra de captură este gata pentru a recepționa datele. În acest punct, aplicația trebuie doar să trimită mesajul WM_CAP_SEQUENCE (sau cu macroul capCaptureSequence) pentru a începe captura. Utilizând setările implicite, WM_CAP_SEQUENCE pornește captura semnalului de intrare video și audio către un fișier numit CAPTURE.AVI. Captura continuă până când unul din următoarele evenimente are loc:

- Utilizatorul apasă tasta *Esc* sau un buton de mouse.
- Aplicație se termină sau se renunță la operația de captură.
- Discul de salvare se umple.

Într-o aplicație, se poate opri captura către un fișier prin trimiterea mesajului WM_CAP_STOP (sau cu macroul capCaptureStop) către fereastra de captură. De asemenea se poate termina operația de captură prin trimiterea mesajului WM_CAP_ABORT (sau prin utilizarea macroului capCaptureAbort) către fereastra de captură.

➤ **Opțiuni de bază ale operației de captură**

Prin modificarea unuia sau mai multor parametri definiți în structura CAPTUREPARAMS, programatorul poate realiza următoarele operații:

- Schimbarea ratei de captură a cadrelor.
- Specificarea controlului cu mouse-ul sau cu tastatura pentru încheierea sesiunii de captură.
- Specificarea unei durate de timp pentru sesiunea de captură.

❖ **Rata de captură**

Rata de captură reprezintă numărul de cadre care sunt capturate în fiecare secundă, pe timpul sesiunii de captură. Se poate obține rata curentă de captură prin utilizarea mesajului WM_CAP_GET_SEQUENCE_SETUP (sau cu ajutorul macroului capCaptureSetup). Rata curentă este memorată în membrul dwRequestMicroSecPerFrame al structurii CAPTUREPARAMS. Rata de captură

poate fi setată prin specificarea numărului de microsecunde între cadre succesive ca valoare a acestui membru, după care se trimite structura CAPTUREPARAMS modificată către fereastra de captură folosind mesajul WM_CAP_SET_SEQUENCE_SETUP (sau cu macroul capCaptureSetSetup). Valoarea implicită a lui dwRequestMicroSecPerFrame este 666667, ceea ce corespunde la 15 cadre pe secundă.

❖ Tastele de terminare a capturii

I se poate permite utilizatorului aplicației terminarea sesiunii de captură prin apăsarea unei taste sau a unei combinații de taste de la tastatură, sau prin apăsarea butonului din dreapta sau stânga al mouse-ului. Dacă utilizatorul întrerupe o sesiune de captură în timp real, conținutul fișierului de captură va fi șters. Dacă utilizatorul întrerupe o sesiune de captură pas cu pas, conținutul fișierului de captură până la punctul de întrerupere este salvat.

Se pot obține setările curente despre întreruperea sesiunii de captură prin folosirea mesajului WM_CAP_GET_SEQUENCE_SETUP (sau cu macroul capCaptureGetSetup). Setările de taste curente sunt stocate în membrul vKeyAbort al structurii CAPTUREPARAMS; setările de mouse curente sunt stocate în membri fAbortLeftMouse și fAbortRightMouse. Se poate seta o nouă tastă sau o nouă combinație de taste (cum ar fi utilizarea combinațiilor cu *Ctrl* sau *Shift*) ca valori pentru vKeyAbort, sau se pot seta butoanele din stânga sau dreapta ale mouse-ului ca tastă de întrerupere prin specificarea membrilor fAbortLeftMouse sau fAbortRightMouse. După setarea acestor membri, se trimite structura modificată CAPTUREPARAMS către fereastra de captură folosind mesajul WM_CAP_SET_SEQUENCE_SETUP (sau cu macroul capCaptureSetSetup). Valoarea implicită a membrului vKeyAbort este VK_ESCAPE. Trebuie apelată funcția RegisterHotKey înainte de specificarea tastei care să întrerupă o sesiune de captură. Valorile implicite pentru fAbortLeftMouse și fAbortRightMouse sunt TRUE.

❖ Limita de timp

Se poate limita durata sesiunii de captură prin utilizarea membrilor fLimitEnabled și wTimeLimit ai structurii CAPTUREPARAMS. Membrul fLimitEnabled indică faptul că operația de captură este limitată în timp, iar wTimeLimit specifică durata maximă a sesiunii de captură.

624.574/1810.

Programatorul poate să obțină valorile curente pentru acești membri prin utilizarea mesajului `WM_CAP_GET_SEQUENCE_SETUP` (sau cu macroul `capCaptureGetSetup`). Se poate seta limitarea sesiunii de captură prin specificarea valorii `TRUE` membrului `fLimitEnabled` și prin setarea duratei operației de captură prin specificarea în secunde a membrului `wTimeLimit`. După setarea acestor membri, se trimite structura `CAPTUREPARAMS` modificată către fereastra de captură folosind mesajul `WM_CAP_SET_SEQUENCE_SETUP` (sau cu macroul `capCaptureSetSetup`). Valoarea implicită pentru `fLimitEnabled` este `FALSE`.

➤ **Fereastra de captură**

Ferestrele de captură sunt din punct de vedere conceptual similare cu controalele standard (așa cum ar fi butoanele, cutiile de tip listă sau barele de scolare). În mod normal, ferestrele de captură folosesc două stiluri Windows: `WS_CHILD` și `WS_VISIBLE`.

❖ **Crearea unei ferestre de captură AVICap**

Se poate crea o fereastră de captură de tipul clasei Windows `AVICap` prin utilizarea funcției `capCreateCaptureWindow`. Această funcție returnează un handle de fereastră care identifică fereastra de captură și care este utilizat de aplicație pentru trimiterea de mesaje către respectiva fereastră. Se pot crea una sau mai multe ferestre de captură într-o aplicație și se pot conecta fiecare dintre ele cu un dispozitiv de captură diferit.

❖ **Conectarea unei ferestre de captură cu un driver de captură**

Conectarea sau deconectarea unei ferestre de captură cu un driver de captură se poate face în mod dinamic. Se poate conecta sau asocia o fereastră de captură cu un driver de captură folosind mesajul `WM_CAPDRIVER_CONNECT` (sau cu macroul `capDriverConnect`). După ce o fereastră de captură și un driver de captură au fost conectate, se pot trimite mesaje specifice dispozitivului respectiv către driverul de captură asociat ferestrei de captură respective. Dacă există instalate mai multe dispozitive de captură în sistem, se poate conecta o fereastră de captură cu un dispozitiv de captură particular prin specificarea unui valori întregi pentru parametru `wParam` al mesajului `WM_CAP_DRIVER_CONNECT`. Valoarea întreagă este

indexul care identifică un driver de captură video listat în registry sau în secțiunea [drivers] a fișierului SYSTEM.INI. Se utilizează zero pentru prima intrare în index.

Se poate obține numele și versiunea driverului de captură instalat prin folosirea funcției `capGetDriverDescription`. Aplicația poate folosi funcția pentru a enumera driverele și dispozitivele instalate, în așa fel încât utilizatorul să poată selecta ce dispozitiv de captură va fi conectat cu fereastra de captură. Se poate obține numele driverului dispozitivului de captură conectat cu o fereastră de captură prin folosirea mesajului `WM_CAP_DRIVER_GET_NAME` (sau cu macroul `capDriverGetName`). Pentru a se obține versiunea driverului de captură instalat se utilizează mesajul `WM_CAP_DRIVER_GET_VERSION` (sau cu macroul `capDriverGetVersion`).

Se poate deconecta o fereastră de captură de la un driver de captură folosind mesajul `WM_CAP_DRIVER_DISCONNECT` (sau cu macroul `capDriverDisconnect`). Când o fereastră de captură este închisă, orice driver de captură conectat cu fereastra respectivă este automat deconectat.

❖ Interacțiunea ferestrele părinte-copil

Câteva din mesajele de nivel sistem, cum ar fi `WM_PALETTECHANGED` și `WM_QUERYNEWPALETTE`, sunt trimise doar ferestrelor de nivel top și suprapuse. Dacă o fereastră de captură este o fereastră copil, părintele ei trebuie să trimită mai departe aceste mesaje.

În mod similar, dacă fereastra părinte își schimbă dimensiunile, trebuie să trimită mesaje de notificare către fereastra de captură. Invers, dacă dimensiunile ferestrei de captură se modifică, aceasta trebuie să trimită mesajele de notificare către fereastra părinte.

Cel mai simplu mod pentru a gestiona aceste evenimente este acela de a păstra întotdeauna dimensiunile ferestrei egale cu cele ale imaginii video recepționate, sesizând părintele de fiecare dată când aceste dimensiuni se modifică.

❖ Starea ferestrei de captură

Se poate obține starea curentă a ferestrei de captură folosind mesajul `WM_CAP_GET_STATUS` (sau cu macroul `capGetStatus`). Acest mesaj întoarce o copie a structurii `CAPSTATUS` având complecți membrii acesteia cu valorile lor curente. Structura `CAPSTATUS` conține informații referitoare la dimensiunile imaginii, poziția scrolului, și care din modurile suprapus sau vizionare este pornit.

Deoarece informația reprezentată în CAPSTATUS este dinamică, aplicația trebuie să reînnoiască conținutul acestei structuri ori de câte ori dimensiunea formatului semnalului video capturat se poate modifica (ca de exemplu după afișarea formatului video al driverului de captură). Modificarea dimensiunii ferestrei de captură nu are efect asupra dimensiunilor semnalului video capturat. Cutia de dialog despre formatul video afișată de către driverul dispozitivului de captură controlează dimensiunile semnalului de captură video.

➤ **Driverul de captură video și cel de captură audio**

Un driver de captură video și hardware-ul lui corespunzător pot dicta diverse aspecte ale capturii video, incluzând sursele video acceptate, opțiunile de afișare, formatele și opțiunile de compresie. Un driver audio specifică formatul audio și o compresie opțională ce se utilizează asupra datele audio capturate.

❖ **Capabilitățile driverului de captură video**

Se pot obține capabilitățile hardware ale driverului de captură curent prin folosirea mesajului WM_CAP_DRIVER_GET_CAPS (sau cu macroul capDriverGetCaps). Acest mesaj întoarce capabilitățile driverului de captură și ale hardware-ului asociat într-o structură CAPDRIVERCAPS.

❖ **Cutiile de dialog video**

Fiecare driver de captură poate oferi până la patru cutii de dialog pentru controlul diferitelor aspecte referitoare la achiziția video și asupra procesului de captură, cât și pentru definirea atributelor de compresie utilizate în reducerea dimensiunii datelor video. Conținutul acestor cutii de dialog este definit de către driverul de captură video.

Cutia de dialog Sursa Video controlează selectarea canalului video de intrare și parametrii care afectează imaginea achiziționată în buferul de cadre. Această cutie de dialog enumeră tipurile de semnale care conectează sursa video cu placa de achiziție (în mod normal SVHS și intrări compozite), și asigură controlul asupra luminozității, contrastului și saturației. Dacă această cutie de dialog este suportată de driverul de captură video, ea se poate afișa și modifica folosind mesajul WM_CAP_DLG_VIDEOSOURCE (sau cu macroul capDlgVideoSource).

Cuția de dialog Format Video controlează selecția dimensiunii cadrelor imaginii achiziționate, a adâncimii de culoare și a opțiunilor de compresie ale semnalului video capturat.

În cazul în care cutia de dialog este suportată de către driverul de captură, aceasta se poate afișa folosind mesajul WM_CAP_DLG_VIDEOFORMAT (sau cu macroul capDlgVideoFormat).

Cutia de Afișare Video controlează aspectul semnalului video pe monitor în timpul capturii. Controalele din această cutie nu au nici un efect asupra datelor video achiziționate, ele afectând doar prezentarea semnalului digital. De exemplu, dispozitivele de captură care suportă suprapunere pot permite alterarea luminozității și saturației, culorii cheie sau alinierii suprapunerii. Dacă cutia de dialog este suportată de către driverul de captură, aceasta poate fi afișată și modificată folosind mesajul WM_CAP_DLG_VIDEODISPLAY (sau cu macroul capDlgVideoDisplay).

Cutia de dialog Compresie Video controlează atributele de compresie post captură. Dacă cutia este suportată de către driverul de captură, aceasta se poate afișa folosind mesajul WM_CAP_DLG_VIDEOCOMPRESSION (sau cu macroul capDlgVideoCompression).

❖ **Modurile vizionare și suprapunere**

Un driver de captură poate implementa două moduri de urmărire a unui semnal video: modul vizionare și modul suprapus. Dacă un driver de captură implementează ambele metode, utilizatorul poate alege pe care din cele două metode vrea să o folosească. Modul vizionare transferă cadrele achiziționate de către hardware-ul de captură în memoria sistem și afișează aceste cadre într-o fereastră de captură utilizând funcțiile de interfață ale dispozitivului grafic (GDI). Aplicațiile pot să micșoreze rata de vizionare când fereastra părinte pierde focusul și să mărească rata de vizionare când fereastra părinte reprimește focusul. Această acțiune îmbunătățește performanțele generale ale sistemului deoarece operațiunea de vizionare consumă foarte mult din timpul de procesor.

Există trei mesaje care controlează operația de vizionare:

- Prin trimiterea mesajului WM_CAP_SET_PREVIEW (sau cu macroul capPreview) către fereastra de captură, se pornește sau se oprește modul vizionare

- Prin trimiterea mesajului WM_CAP_SET_PREVIEWRATE (sau cu macroul capPreviewRate) către fereastra de captură, se setează rata de afișare a cadrelor în modul vizionare.
- Prin trimiterea mesajului WM_CAP_SET_SCALE (sau cu macroul capPreviewScale), se setează sau se resetează scalarea semnalului video vizionat.

Când vizionarea și scalarea sunt ambele setate, cadrul video capturat este scalat la dimensiunile ferestrei de captură. Pornind modul vizionare automat modul suprapus este oprit.

Modul suprapus este o funcție hardware care afișează conținutul buferului de captură direct pe monitor fără utilizarea procesorului. Se poate porni sau opri modul suprapus prin trimiterea mesajului WM_CAP_SET_OVERLAY (sau cu macroul capOverlay) către fereastra de captură. Prin pornirea modului suprapus automat se oprește modul vizionare.

Se poate seta de asemenea și poziția de scolare în cadrul zonei client a ferestrei de captură pentru modurile vizionare și suprapus prin trimiterea mesajului WM_CAP_SET_SCROLL (sau cu macroul capSetScrollPos) către fereastra de captură.

❖ **Formatul video**

Se poate obține structura care specifică formatul video sau dimensiunea acestei structuri prin trimiterea mesajului WM_CAP_GET_VIDEOFORMAT (sau cu macroul capGetVideoFormat și capGetVideoFormatSize) către fereastra de captură. Se poate seta formatul datelor video capturate prin trimiterea mesajului WM_CAP_SET_VIDEOFORMAT (sau cu macroul capSetVideoFormat) către fereastra de captură.

❖ **Setările capturii video**

Structura CAPTUREPARAMS conține parametrii de control pentru semnalul video capturat. Această structură controlează câteva aspecte ale procesului de captură, care permit utilizatorului să realizeze următoarele funcții:

- Specificarea ratei cadrelor.
- Specificarea numărului de bufer video alocate.
- Pornirea sau oprirea capturii audio.

- Specificarea intervalului de timp pentru captură.
- Specificarea faptului că un dispozitiv MCI (VCR sau disc video) este utilizat pe timpul capturii.
- Specificarea controlului de mouse sau de tastatură utilizat pentru terminarea capturii.
- Specificarea tipului de aproximare video utilizat pe timpul capturii.

Se pot obține setările curente din cadrul structurii CAPTUREPARAMS prin trimiterea mesajului WM_CAP_GET_SEQUENCE_SETUP (sau cu macroul capCaptureSetup) către fereastra de captură. Se pot seta unul sau mai mulți parametrii din această structură prin modificarea membrilor corespunzători din structura CAPTUREPARAMS și prin trimiterea mesajului WM_CAP_SET_SEQUENCE_SETUP (sau cu macroul capCaptureSetSetup) către fereastra de captură.

❖ **Formatul audio**

Se poate obține formatul curent de captură a datelor audio sau dimensiunea structurii ce conține formatul audio prin trimiterea mesajului WM_CAPGET_AUDIOFORMAT (sau cu macrourele capGetAudioFormat și capGetAudioFormatSize) către fereastra de captură. Formatul audio implicit este mono, pe 8 biți, la 11 kHz PCM (Pulse Code Modulation). Când se obține formatul folosind mesajul WM_CAP_GET_AUDIOFORMAT, întotdeauna se va utiliza structura WAVEFORMATEX.

Se poate seta formatul de captură audio prin trimiterea mesajului WM_CAP_SET_AUDIOFORMAT (sau cu macroul capSetAudioFormat) către fereastra de captură. Când se setează formatul audio, utilizatorul trebuie să trimită un pointer către o structură WAVEFORMAR, WAVEFORMATEX sau PCMWAVEFORMAT, în funcție de formatul audio specificat.

➤ **Fișierul și buferele de captură**

❖ **Numele fișierului de captură**

Implicit, AVICap, direcționează datele video și audio de la fereastra de captură către un fișier numit CAPTURE.AVI aflat în directorul rădăcină al discului curent. Se poate da un alt nume acestui fișier prin trimiterea mesajului

WM_CAP_FILE_SET_CAPTURE_FILE (sau cu macroul capFileSetCaptureFile). Se poate obține numele fișierului curent de captură prin trimiterea mesajului WM_CAP_FILE_GET_CAPTURE_FILE (sau cu macroul capFileGetCaptureFile) către fereastra de captură.

❖ **Salvarea datelor capturate într-un fișier nou**

Dacă se dorește salvarea datelor capturate, aplicația trebuie să salveze conținutul fișierului de captură într-un alt fișier folosind mesajul WM_CAP_FILE_SAVEAS (sau cu macroul capFileSaveAs). Acest mesaj nu schimbă numele sau conținutul fișierului de captură. Aplicația trebuie să specifice un nume pentru noul fișier deoarece fișierul de captură își păstrează numele original. În mod normal un fișier de captură are prealocată o dimensiune egală cu cel mai mare segment de captură anticipat, și doar o porțiune a lui va fi utilizată pentru datele capturate. Acest mesaj copiază doar porțiunea din fișier ce conține date capturate.

❖ **Prealocarea spațiului pe disc pentru fișierul de captură**

Prealocarea spațiului pe disc pentru procesul de captură creează un fișier de o anumită dimensiune specificată pe disc înainte de începerea operațiunii de captură. Prealocarea reduce procesul necesar salvării pe disc în timpul capturii și are ca efect micșorarea numărului de cadre pierdute. Se poate prealoca un fișier de captură prin utilizarea mesajului WM_CAP_FILE_ALLOCATE (sau cu macroul capFileAlloc).

În mod normal, aplicația ar trebui să prealocă suficient spațiu pe disc pentru a putea conține cel mai mare fișier de captură anticipat. Prealocarea spațiului pe disc nu restricționează dimensiunea fișierului de captură. Dimensiunea fișierului de captură este mărită în mod automat dacă datele capturate depășesc spațiul alocat. Operațiile ulterioare de scriere în fișierul de captură vor reutiliza spațiul alocat pentru fișier, prezervând dimensiunea și fragmentarea acestuia.

Se poate îmbunătăți performanța de captură prin defragmentarea acestui fișier. Pentru a defragmenta fișierul se poate folosi orice utilitar de defragmentare, ca de exemplu Norton Speed Disk sau Disk Defragmenter. Dacă se utilizează un fișier de captură defragmentat, iar ulterior acesta este mărit, este recomandabil să fie defragmentat din nou, deoarece prin mărirea unui fișier de captură defragmentat porțiunea expandată va reduce performanța procesului de captură fiind în majoritatea cazurilor fragmentată. De asemenea se poate îmbunătăți performanța de captură prin

utilizarea unui disc necoprimat. Comprimarea datelor pe timpul capturii limitează rata de transfer între fereastra de captură și fișier.

Aplicațiile ar trebui să păstreze un fișier permanent de captură pentru a elimina timpul prealocării și defragmentării acestuia de fiecare dată când se pornește aplicația. Deoarece un fișier de captură necesită foarte mult spațiu pe disc, iar prealocarea șterge toate datele dintr-un fișier de captură existent, aplicațiile trebuie să permită utilizatorului alegerea tipului de fișier de captură folosit, permanent sau temporar.

❖ Dimensiunea indexului

Fiecare fișier AVI folosește un index de dimensiune specificată pentru a localiza segmentele de date audio și video din cadrul fișierului. O intrare în acest index localizează un cadru video sau un bufer audio. Astfel, valoarea dimensiunii indexului, indirect, determină limita superioară a numărului de cadre care pot fi capturate în cadrul fișierului. Se poate obține dimensiunea curentă a indexului prin utilizarea mesajului WM_CAP_GET_SEQUENCE_SETUP (sau cu macroul capCaptureGetSetup). Dimensiunea curentă a indexului este stocată în membrul dwIndexSize al structurii CAPTUREPARAMS. Se poate specifica o nouă dimensiune a indexului prin modificarea valorii membrului dwIndexSize și trimiterea structurii CAPTUREPARAMS modificate către fereastra de captură prin utilizarea mesajului WM_CAP_SET_SEQUENCE_SETUP (sau cu macroul capCaptureSetSetup). Dimensiunea implicită a indexului este de 34.952 de intrări (asigurând 32K de cadre și un număr proporțional de bufer audio).

❖ Granularitatea segmentelor video și audio

Granularitatea segmentelor este dimensiunea logică a unui bloc pentru un fișier AVI și este folosită pentru scrierea și citirea segmentelor de date audio și video. Când se scriu segmente de date audio și video pe disc, AVICap adaugă atâtea segmente de umplere câte sunt necesare pentru a umple fiecare bloc logic de date. Se poate obține granularitatea curentă a segmentelor cu ajutorul mesajului WM_CAP_DET_SEQUENCE_SETUP (sau cu macroul capCaptureGetSetup). Granularitatea curentă este stocată în membrul wChunkGranularity al structurii CAPTUREPARAMS. Se poate modifica această valoare și se poate trimite noua structură CAPTUREPARAMS modificată către fereastra de captură prin utilizarea mesajului WM_CAP_SET_SEQUENCE_SETUP (sau cu macroul

capCaptureSetSetup). De asemenea se poate da valoarea zero pentru granularitate, astfel că ea este setată la dimensiunea sectoarelor de pe disc.

❖ **Buferele video**

Buferele folosite de către captura video se află în memoria heap. Numărul buferelor folosite într-o operație de captură variază în funcție de valoarea membrului wNumVideoRequested a structurii CAPTUREPARAMS și de memoria disponibilă. Se poate obține valoarea curentă a buferelor video prin utilizarea mesajului WM_CAP_GET_SEQUENCE_SETUP (sau cu macroul capCaptureGetSetup). Se poate modifica locul și numărul acestor buferi prin modificarea valorii acestui membru și prin trimiterea structurii CAPTUREPARAMS modificate, către fereastra de captură cu mesajul WM_CAP_SET_SEQUENCE_SETUP (sau cu macroul capCaptureSetSetup).

❖ **Buferele audio**

Există trei modalități de control ale porțiunii audio din cadrul operației de captură:

- Includerea sau excluderea părții audio din operația de captură.
- Cererea unui anumit număr de buferi audio.
- Cererea unei anumite dimensiuni pentru buferii audio.

Se pot obține setările curente pentru buferii audio cu ajutorul mesajului WM_CAP_GET_SEQUENCE_SETUP (sau cu macroul capCaptureGetSetup). Membrul fCaptureAudio al structurii CAPTUREPARAMS specifică dacă partea audio este inclusă sau exclusă din operația de captură. Numărul curent de buferi audio este stocat în membrul wNumAudioRequested, iar dimensiunea curentă a buferilor audio este stocată în membrul dwAudioBufferSize. Se pot modifica acești parametri după care se trimite structura CAPTUREPARAMS către fereastra de captură cu ajutorul mesajului WM_CAP_SET_SEQUENCE_SETUP (sau cu macroul capCaptureSetSetup). Implicit, partea audio este inclusă în operația de captură și îi sunt alocate patru buferi audio. Dimensiunea unui bufer audio implicită este de 10K de date audio sau de 0,5 secunde în funcție de mărimea lor.

➤ Tipuri de capturi disponibile

Pe lângă captura continuă bazată pe un interval constant de timp, AVICap suportă și următoarele tipuri de capturi:

- Captura de cadre manuală.
- Captura imaginilor statice.
- Captura fără utilizarea discului magnetic.
- Captura continuă de la un dispozitiv MCI (în timp real și pas cu pas).

❖ Captura manuală

Dacă se dorește specificarea individuală a cadrelor dintr-un semnal video continuu, se poate controla secvențierea folosind mesajele WM_CAP_SINGLE_FRAME_OPEN, WM_CAP_SINGLE_FRAME și WM_CAP_SINGLE_FRAME_CLOSE (sau macrourele capCaptureSingleFrameOpen, capCaptureSingleFrame și capCaptureSingleFrameClose). În mod normal aceste mesaje sunt utilizate pentru crearea de animație prin concatenarea cadrelor individuale într-un fișier de captură.

WM_CAP_SINGLE_FRAME_OPEN deschide un fișier pentru o operație de captură condusă manual.

WM_CAP_SINGLE_FRAME capturează cadre individuale și le adaugă fișierului de captură.

WM_CAP_SINGLE_FRAME_CLOSE închide fișierul utilizat pentru captura cadrelor manual.

Acest tip de captură nu se poate folosi pentru captura simultană audio și video.

❖ Capturarea imaginilor statice

Dacă se dorește capturarea unui singur cadru ca o imagine statică, se poate folosi mesajul WM_CAP_GRAB_FRAME_NONSTOP sau WM_CAP_GRAB_FRAME (sau cu macrourele capGrabFrameNonStop și capGrabFrame) pentru capturarea imaginii achiziționate într-un bufer cadru intern. Se poate îngheța afișarea imaginii capturate folosind mesajul WM_CAP_GRAB_FRAME. Dacă nu se dorește înghețarea se folosește mesajul WM_CAP_GRAB_FRAME_NONSTOP.

Odată capturată, se poate copia imaginea pentru a o utiliza în alte aplicații. Se poate copia imaginea din buferul cadru în clipboard, utilizând mesajul

WM_CAP_EIT_COPY (sau cu macroul capEditCopy). De asemenea se poate copia imaginea din buferul cadru într-un bitmap independent de dispozitiv (DIB) prin mesajul WM_CAP_FILE_SAVEDIB (sau cu macroul capFileSaveDIB). Aplicația poate folosi și ea cele două mesaje de captură a cadrelor statice pentru a edita o secvență cadru cu cadru, sau pentru a crea o secvență de fotografii în care să se observe trecerea timpului.

❖ Captura fără utilizarea discului magnetic

Se pot folosi serviciile de captură fără scrierea datelor într-un fișier pe disc folosind WM_CAP_SEQUENCE_NOFILE (sau cu macroul capCaptureSequenceNoFile). Acest mesaj este util doar în conjuncție cu funcțiile callback care permit aplicației să utilizeze datele video și audio în mod direct. De exemplu, aplicațiile de tip videoconferință pot folosi acest mesaj pentru a obține cadre din semnalul video continuu. Funcțiile callback vor transfera imaginile capturate către calculatorul destinație.

❖ Captura continuă de la un dispozitiv MCI

Dispozitivele MCI folosesc operația de captură în două moduri: captură în timp real și captură pas cu pas. Se poate selecta un dispozitiv MCI, așa cum ar fi un videodisc sau un video recorder (VCR), pentru a fi sursa video în cadrul operației de captură prin mesajul WM_CAP_SET_MCI_DEVICE (sau cu macroul capSetMCIDeviceName) având specificat numele dispozitivului. Se poate de asemenea obține numele dispozitivului curent prin mesajul WM_CAP_GET_MCI_DEVICE (sau cu macroul capGetMCIDeviceName).

În captura în timp real, fereastra de captură sincronizează operația de captură și compensează întârzierile datorate poziționării sursei video MCI și inițializează resursele (așa cum ar fi buferele de captură) necesare pentru datele capturate. Fereastra de captură așteaptă ca un dispozitiv MCI valid să fie instalat în sistem pentru a captura date în acest mod.

Specificațiile pentru controlul dispozitivului MCI sunt stocate în membrii structurii CAPTUREPARAMS. Sursele video compatibile MCI conțin video recordere și discuri laser. Dacă membrul fMCIControl este setat la TRUE, atunci fereastra de captură coordonează operația MCI. Fereastra de captură folosește parametrii specificați în membrii dwMCIStartTime și dwMCIStopTime pentru a

obține în milisecunde, pozițiile de strat și stop ale secvenței. Dacă valoarea lui `fMCIControl` este `FALSE`, sursa video nu este tratată ca un dispozitiv MCI și conținutul membrilor `dwMCISStartTime` și `dwMCISStopTime` este ignorat.

Se poate folosi utilitarul Windows Media Player pentru o verificare rapidă a conectării corecte a dispozitivului MCI la sistem. Pornind un dispozitiv cu Media Player se verifică corectitudinea configurației pentru dispozitivul MCI. Dacă apare o imagine pe ecranul video, sursa video este conectată corect la hardware-ul de captură.

➤ **Opțiuni avansate de captură**

❖ **Măsurarea calității video**

Una din metodele de măsurare a calității video este limitarea numărului de cadre pierdute pe timpul procesului de captură. Când captura continuă să se termine, valoarea de calitate este comparată cu procentul cadrelor pierdute din numărul total de cadre. Dacă procentul cadrelor pierdute este mai mare decât valoarea membrului `wPercentDropForError` al structurii `CAPTUREPARAMS`, `AVICap` trimite un mesaj de eroare către funcția callback de eroare (dacă aceasta este instalată).

Se poate obține limita curentă a cadrelor pierdute (exprimată în procente) cu mesajul `WM_CAP_GET_SEQUENCE_SETUP` (sau cu macroul `capCaptureGetSetup`). Se poate seta o nouă limită prin specificarea procentului în membrul `wPercentDropForError` al structurii `CAPTUREPARAMS`, și trimiterea acestei structuri către fereastra de captură cu mesajul `WM_CAP_SET_SEQUENCE_SETUP` (sau cu macroul `capCaptureSetSetup`). Valoarea implicită a acestui membru este 10%.

❖ **Captură inițiată de către utilizator**

Se poate obține valoarea curentă a fanionului care indică captura inițiată de către utilizator cu mesajul `WM_CAP_GET_SEQUENCE_SETUP` (sau cu macroul `capCaptureGetSetup`). Valoarea acestui fanion este stocată în membrul `fMakeUserHitOKToCapture` din cadrul structurii `CAPTUREPARAMS`. Acest fanion, dacă este setat la `TRUE`, permite utilizatorului un control exact al momentului de început al sesiunii de captură. Dacă acest fanion este setat pe `TRUE`, `AVICap` afișează o cutie de dialog după alocarea tuturor buferelor video și audio pentru sesiunea de captură curentă. Aceasta, permite utilizatorului să elimine întârzierile de captură datorate inițializărilor software. Dacă aplicația utilizează un număr mic de bufer

video, această cutie de dialog nu mai este necesară. Valoarea implicită a acestui fanion este FALSE.

❖ **Lucrul cu palete**

Inițial, dacă formatul de captură video necesită o paletă, fereastra de captură folosește paleta furnizată de către driverul de captură. Această paletă poate consta din valori de nivele de gri pentru o reproducere alb-negru, sau o largă selecție de valori colorate. Se poate obține o paletă existentă, pentru a înlocui paleta implicită prin mesajele WM_CAP_PAL_PASTE sau WM_CAP_PAL_OPEN (sau cu macrourele capPalettePaste sau capPaletteOpen). În mod alternativ se poate crea o paletă dedicată pentru a înlocui paleta implicită cu mesajele WM_CAP_PAL_AUTOCREATE sau WM_CAP_PAL_MANUALCREATE (sau cu macrourele capPaletteAuto sau capPaletteManual). După înlocuirea paletelor implicite, fereastra și driverul de captură vor folosi noua paletă până la crearea sau deschiderea uneia noi.

Mesajele WM_CAP_PAL_AUTOCREATE și WM_CAP_PAL_MANUALCREATE, creează o paletă optimizată bazată pe semnalul video curent de intrare. Această paletă dedicată oferă unei secvențe video cea mai bună fidelitate de culoare deoarece este bazată pe culorile existente în semnalul video. Fereastra de captură creează o histogramă tridimensională a culorilor din cadrul semnalului de probă. După aceasta, este redus numărul de culori prin examinarea erorii absolute dintre culorile adiacente și prin consolidarea acestora cu valoarea cea mai mică de eroare.

Când se trimite mesajul WM_CAP_PAL_AUTOCREATE, trebuie specificat numărul de cadre al semnalului de probă și dimensiunea paletelor. Când se specifică numărul de cadre, trebuie incluse suficiente cadre pentru a asigura prezența tuturor culorilor din semnalul de probă.

Dacă se utilizează mesajul WM_CAP_PAL_MANUALCREATE, atunci vor trebui selectate manual o serie de cadre semnificative pentru a crea o paletă care să conțină culorile dorite de utilizator.

O paletă poate conține până la 256 de culori. Dacă se concatenează palete sau dacă secvența video trebuie afișată simultan cu altă secvență video sau imagine, trebuie utilizată o selecție de culori mai mică astfel încât culorile diferitelor imagini sau secvențe video, să coexiste.

Se poate salva o nouă paletă cu mesajul WM_CAP_PAL_SAVE (sau cu macroul capPaletteSave), iar ulterior se poate deschide cu mesajul WM_CAP_PAL_OPEN. Se poate salva o paletă pentru procesarea ei ulterioară sau pentru utilizarea ei în alte aplicații.

Se poate copia o paletă de pe clipboard în fereastra de captură folosind mesajul WM_CAP_PAL_PASTE. Fereastra de captură trimite paletă către driverul de captură. Alte aplicații pot copia paleta pe clipboard. Se poate de asemenea copia paleta pe clipboard prin folosirea mesajului WM_CAP_EDIT_COPY (sau cu macroul capEditCopy). Acest mesaj copiază pe clipboard buferul cadrului video curent, inclusiv paleta.

❖ **Introducerea de segmente de informație în fișierul AVI**

Se pot insera segmente de informație, cum ar fi text sau date dedicate, în fișierul AVI cu mesajul WM_CAP_FILE_SET_INFOCHUNK (sau cu macroul capFileSetInfoChunk). Se poate folosi acest mesaj și la ștergerea de segmente de informații din fișierul AVI.

❖ **Mesaje de date utilizator**

Se pot asocia date cu fereastra de captură prin utilizarea mesajelor WM_CAP_GET_USER_DATA sau WM_CAP_SET_USER_DATA (sau cu macrourele capGetUserData sau capSetUserData). Se poate obține o valoare de date de tip LONG cu mesajul WM_CAP_GET_USER_DATA și se poate seta o valoare LONG de date, cu mesajul WM_CAP_SET_USER_DATA.

➤ **Funcțiile callback ale clasei AVICap**

Aplicațiile pot înregistra funcții callback cu fereastra de captură astfel încât aceasta să le sesizeze modificarea de stare, apariția unei erori, faptul că buferele video și audio sunt disponibile, sau tratarea diferitelor funcții necesare ale aplicației pe timpul capturii continue.

❖ **Controlul precis al capturii**

Mesajul WM_CAP_SET_CALLBACK_CAPCONTROL specifică funcția callback din cadrul aplicației care este apelată pentru a asigura un control asupra

punctelor de start și stop ale capturii. Se poate folosi și macroul `capSetCallbackOnCapControl`.

Primul mesaj trimis de către driverul de captură către funcția callback setează parametrul `nState` pe `CONTROL_CALLBACK_PREROLL`, după alocarea tuturor buferelor și după ce toate pregătirile pentru captură au fost încheiate. Acest mesaj permite aplicației să poată derula sursele video. (Funcția callback specifică `nState` ca al doilea parametru al ei). Funcția callback revine la codul apelant exact în momentul începerii înregistrării. O valoare de întoarcere `TRUE` din partea funcției callback permite continuarea capturii. O valoare `FALSE` abandonează captura. Odată ce captura a început, funcția callback este chemată frecvent, cu parametrul `nState` pe `CONTROL_CALLBACK_CAPTURING` pentru a permite aplicației încheierea capturii prin întoarcerea valorii `FALSE` de către funcția callback.

❖ **Tratarea erorilor**

Mesajul `WM_CAP_SET_CALLBACK_ERROR` specifică funcția callback din cadrul aplicației care este apelată când apare o eroare `AVICap` de tipul:

- lipsa spațiului pe disc
- încercarea de scriere într-un fișier read-only
- imposibilitatea conectării cu placa de achiziție
- pierderea prea multor cadre

Se poate folosi și macroul `capSetCallbackOnError`. Conținutul notificării de eroare conține un identificator de mesaj și un text formatat gata pentru afișare. Aplicația poate folosi identificatorul de mesaj pentru a filtra notificările în scopul de a limita mesajele afișate utilizatorului. Un identificator de mesaj de valoare zero indică faptul că începe o nouă operație, funcția callback trebuind să șteargă orice mesaj de eroare afișat.

❖ **Notificarea de cadre**

Mesajul `WM_CAP_SET_CALLBACK_FRAME` specifică funcția callback din cadrul aplicației care este chemată când este disponibil un nou cadru capturat pentru vizionare. Se poate folosi și macroul `capSetCallbackOnFrame`.

Fereastra de captură permite aceste notificări doar dacă rata de vizionare este diferită de zero și dacă captura continuă nu este în curs de desfășurare.

❖ **Funcția callback de stare**

Mesajul `WM_CAP_SET_CALLBACK_STATUS` specifică funcția callback din cadrul aplicației care este apelată pe timpul capturării unui semnal video pe disc sau pe parcursul altor operații de durată, pentru a notifica aplicația despre derularea operației. Se poate folosi și macroul `capSetCallbackOnStatus`.

Informația de stare include un identificator de mesaj și un text formatat gata pentru a fi afișat. Aplicația poate folosi identificatorul de mesaj pentru a filtra notificările în scopul de a limita mesajele afișate utilizatorului. Pe parcursul operației de captură, primul mesaj trimis funcției callback este întotdeauna `IDS_CAP_BEGIN` iar ultimul este întotdeauna `IDS_CAP_END`. Un identificator de mesaj de valoare zero indică începutul unei noi operații iar funcția callback trebuie să-și reseteze starea curentă.

❖ **Buferele video**

Mesajul `WM_CAP_SET_CALLBACK_VIDESTREAM` specifică funcția callback din cadrul aplicației care este apelată în timpul capturii continue când un nou bufer video devine disponibil, adică pentru procesarea unui cadru video capturat. Se poate folosi și macroul `capSetCallbackOnVideoStream`.

Fereastra de captură cheamă această funcție callback chiar înainte de a scrie fiecare cadru capturat pe disc.

❖ **Buferele audio**

Mesajul `WM_CAP_SET_CALLBACK_WAVESTREAM` specifică funcția callback din cadrul aplicației care este apelată în timpul capturii continue când un nou bufer video devine disponibil pentru a fi procesat. Se poate folosi și macroul `capSetCallbackOnWaveStream`.

Fereastra de captură apelează funcția callback chiar înainte de a scrie fiecare bufer audio pe disc.

❖ **Tratarea diferitelor funcții necesare ale aplicației pe timpul procesului de captură**

Mesajul `WM_CAP_SET_CALLBACK_YIELD` specifică funcția callback din cadrul aplicației care este chemată pe timpul capturii continue atunci când se redă,

pentru puțin timp controlul aplicației și preia controlul pe timpul procesului de captură. Se poate folosi și macroul `capSetCallbackOnYield`.

De obicei o astfel de funcție constă dintr-o buclă în care sunt chemate funcțiile `PeekMessage`, `TranslateMessage` și `DispatchMessage`. Fereastra de captură cheamă această funcție callback cel puțin o dată pentru fiecare cadru video capturat, dar rata exactă depinde de rata de achiziție a cadrelor și de timpul necesar pentru scrierea pe disc.

➤ Utilizarea AVICap

❖ Crearea unei ferestre de captură

Se prezintă un exemplu prin care se creează o fereastră de captură folosind funcția `capCreateCaptureWindow`:

```
hWndC = capCreateCaptureWindow((LPSTR) "Fereastra de captură", // numele ferestrei
                               WS_CHILD | WS_VISIBLE,      // stilul ferestrei
                               0, 0, 160, 120,             // poziția și dimensiunile ferestrei
                               (HWND) hwndParent,
                               (int) nID /* ID-ul copilului */);
```

❖ Conectarea cu un driver de captură

Următorul exemplu conectează fereastra de captură având handle-ul `hWndC` cu driverul `MSVIDEO` și o deconectează după aceea cu macroul `capDriverDisconnect`:

```
fOK = SendMessage (hWndC, WM_CAP_DRIVER_CONNECT, 0, 0L);
//
// Sau, se folosește macroul pentru conectarea cu driverul MSVIDEO:
// fOK = capDriverConnect(hWndC, 0);
//
// Aici se pune codul pentru setări și pentru începerea capturii video.
//
capDriverDisconnect (hWndC);
```

❖ Enumerarea driverelor de captură instalate

Următorul exemplu folosește funcția `capGetDriverDescription` pentru a obține numele și versiunea driverelor de captură instalate:

```
char szDeviceName[80];
char szDeviceVersion[80];

for (wIndex = 0; wIndex < 10; wIndex++)
{
    if (capGetDriverDescription (wIndex, szDeviceName, sizeof (szDeviceName), szDeviceVersion,
                                sizeof (szDeviceVersion))
```

```

{
// Se adaugă numele listei de driveruri și se permite
// utilizatorului selectarea unuia dintre ele.
}
}

```

❖ Obținerea capabilităților driverului de captură

Mesajul WM_CAP_DRIVER_GET_CAPS întoarce capabilitățile driverului de captură și a hardware-ului existent în structura CAPDRIVERCAPS. De fiecare dată când o aplicație conectează un nou driver la fereastra de captură, trebuie să actualizeze structura CAPDRIVERCAPS. Spre exemplu se folosește macroul capDriverCaps pentru obținerea capabilităților driverului:

```

CAPDRIVERCAPS CapDrvCaps;

SendMessage (hWndC, WM_CAP_DRIVER_GET_CAPS,
             sizeof (CAPDRIVERCAPS), (LONG) (LPVOID) &CapDrvCaps);

// Sau, se folosește macroul pentru obținerea capabilităților driverului.
// capDriverGetCaps(hWndC, &CapDrvCaps, sizeof (CAPDRIVERCAPS));

```

❖ Obținerea stării ferestrei de captură

Următorul exemplu folosește funcția SetWindowPos pentru setarea dimensiunii ferestrei de captură la dimensiunile semnalului video recepționat obținute cu macroul capGetStatus în structura CAPSTATUS:

```

CAPSTATUS CapStatus;

capGetStatus(hWndC, &CapStatus, sizeof (CAPSTATUS));

SetWindowPos(hWndC, NULL, 0, 0, CapStatus.uiImageWidth,
             CapStatus.uiImageHeight, SWP_NOZORDER | SWP_NOMOVE);

```

❖ Afișarea cutiilor de dialog pentru setarea caracteristicilor video

Fiecare driver de captură poate oferi până la trei cutii de dialog diferite pentru controlul aspectelor legate de achiziția video și procesul de captură. Se prezintă un exemplu ce demonstrează cum se afișează aceste cutii de dialog. Înainte de afișarea fiecărei cutii de dialog, se cheamă macroul capDriverGetCaps și se verifică în structura CAPDRIVERCAPS dacă driverul de captură poate afișa respectiva cutie.

```

CAPDRIVERCAPS CapDrvCaps;

capDriverGetCaps(hWndC, &CapDrvCaps, sizeof (CAPDRIVERCAPS));
// Cutia de dialog a sursei video.

```

```

if (CapDriverCaps.fHasDlgVideoSource)
    capDlgVideoSource(hWndC);
// Cutia de dialog a formatului video.
if (CapDriverCaps.fHasDlgVideoFormat)
{
    capDlgVideoFormat(hWndC);
    // Există dimensiuni noi de imagine?
    capGetStatus(hWndC, &CapStatus, sizeof (CAPSTATUS));
    // Dacă da, semnalizează părintelui schimbarea dimensiunilor.
}
// Cutia de dialog a afișării video.
if (CapDriverCaps.fHasDlgVideoDisplay)
    capDlgVideoDisplay(hWndC);

```

❖ Obținerea și setarea formatului video

Structura BITMAPINFO este de lungime variabilă, pentru a putea cuprinde diverse formate de date standard și comprimate. Din acest motiv, aplicațiile trebuie întotdeauna să afle în prealabil dimensiunea acestei structuri și să aloce memoria înainte de obținerea formatului video curent. Se prezintă un exemplu ce folosește macroul capGetVideoFormatSize pentru obținerea dimensiunii buferului, iar după aceea macroul capGetVideoFormat pentru obținerea formatului video curent:

```

LPBITMAPINFO lpbi;
DWORD dwSize;

dwSize = capGetVideoFormatSize(hWndC);
lpbi = GlobalAllocPtr (GHND, dwSize);
capGetVideoFormat(hWndC, lpbi, dwSize);
// Citirea formatului video și eliberarea memoriei alocate.

```

Aplicațiile pot folosi macroul capSetVideoFormat (sau mesajul WM_CAP_SET_VIDEOFORMAT) pentru trimiterea unui antet BITMAPINFO către fereastra de captură. Deoarece formatele video sunt specifice fiecărui dispozitiv, aplicațiile trebuie să verifice valoarea întoarsă pentru a constata dacă respectivul format a fost acceptat.

❖ Vizionarea semnalului video

Pentru setarea ratei de afișare a cadrelor se folosește macroul capPreviewRate pentru modul vizionare la 66 milisecunde pe cadru, iar după aceea, macroul capPreview pentru punerea ferestrei de captură în modul vizionare:

```

capPreviewRate(hWndC, 66); // rata, în milisecunde
capPreview(hWndC, TRUE); // pornirea vizionării
// Vizionare

```

```
capPreview(hWnd, FALSE); // oprirea vizionării
```

❖ Activarea modului suprapus

Pentru a determina dacă driverul de captură are capabilități de suprapunere se folosește macroul `capDriverGetCaps` iar dacă da, se activează modul suprapus:

```
CAPDRIVERCAPS CapDrvCaps;  
  
capDriverGetCaps(hWndC, &CapDrvCaps, sizeof (CAPDRIVERCAPS));  
if (CapDrvCaps.fHasOverlay)  
    capOverlay(hWndC, TRUE);
```

❖ Denumirea fișierului de captură

Pentru a specifica un alt nume (TEST.AVI) pentru fișierul de captură se folosește macroul `capFileSetCaptureFile` și se utilizează macroul `capFileAlloc` pentru a prealoca un fișier de 5 MB:

```
char szCaptureFile[] = "TEST.AVI";  
  
capFileSetCaptureFile( hWndC, szCaptureFile);  
capFileAlloc( hWndC, (1024L * 1024L * 5));
```

❖ Formatarea capturii audio

Pentru setarea formatului audio la 11-kHz PCM 8 biți, stereo se folosește macroul `capSetAudioFormat`:

```
WAVEFORMATEX wfex;  
  
wfex.wFormatTag = WAVE_FORMAT_PCM;  
wfex.nChannels = 2; // Use stereo  
wfex.nSamplesPerSec = 11025;  
wfex.nAvgBytesPerSec = 22050;  
wfex.nBlockAlign = 2;  
wfex.wBitsPerSample = 8;  
wfex.cbSize = 0;  
  
capSetAudioFormat( hWndC, &wfex, sizeof (WAVEFORMATEX) );
```

❖ Schimbarea setării capturii video

Pentru a schimba rata de captură de la valoarea implicită (15 cadre pe secundă) la 10 cadre pe secundă se folosesc macrourele `capCaptureGetSetup` și `capCaptureSetSetup`:

```
CAPTUREPARMS CaptureParms;  
float FramesPerSec = 10.0;
```

```
capCaptureGetSetup(hWndC, &CaptureParms, sizeof(CAPTUREPARMS));
```

```
CaptureParms.dwRequestMicroSecPerFrame = (DWORD) (1.0e6 / FramesPerSec);  
capCaptureSetSetup(hWndC, &CaptureParms, sizeof (CAPTUREPARMS));
```

❖ Captura datelor

Pentru a porni captura video se folosește macroul `capCaptureSequence` și macroul `capFileSaveAs` pentru a copia datele capturate din fișierul de captură în fișierul TEST.AVI:

```
char szNewName[] = "TEST.AVI";  
  
// Pornirea operației de captură.  
capCaptureSequence(hWndC);  
// Captura.  
capFileSaveAs(hWndC, szNewName);
```

❖ Includerea unui segment de informație

Dacă se dorește includerea altor informații în aplicație, în plus față de cele audio și video, se pot crea segmente de informație și se pot insera în fișierul de captură. Segmentele de informație pot conține diferite tipuri de informație, inclusiv detaliile legate de copyright, identificarea sursei video sau informații de temporizare exterioare.

Se prezintă stocarea informațiilor de temporizare (un cod de timp de tip SMPTE-Society of Motion Picture and Television Engineers) într-un segment de informație și adăugarea acestui segment la fișierul de captură folosind macroul `capFileSetInfoChunk`:

```
// Acest exemplu presupune că aplicația controlează sursa video  
// pentru derulare înainte și înapoi.  
CAPINFOCHUNK cic;  
  
cic.fccInfoID = infotypeSMPTE_TIME;  
cic.lpData = "00:20:30:12";  
cic.cbData = strlen (cic.lpData) + 1;  
capFileSetInfoChunk (hwndC, &cic);
```

❖ Adăugarea unei funcții callback la aplicație

O aplicație poate să înregistreze funcții callback cu fereastra de captură în așa fel încât aceasta să semnalizeze aplicației următoarele situații:

- Schimbarea stării.
- Apariția unei erori.
- Devenirea unui bufer video sau audio disponibil.
- Cedarea controlului aplicației pe timpul capturii continue.

Se prezintă într-un exemplu crearea unei ferestre de captură și înregistrarea funcțiilor callback pentru stare, eroare, captură continuă și cadre, în bucla de procesare a mesajelor a aplicației. Exemplul include de asemenea prezentarea dezactivării unei funcții callback.

```
case WM_CREATE:
{
char achDeviceName[80];
char achDeviceVersion[100];
char achBuffer[100];
WORD wDriverCount = 0;
WORD wIndex;
WORD wError;
HMENU hMenu;

// Crearea unei ferestre de captură folosind macroul
// capCreateCaptureWindow.
ghWndCap = capCreateCaptureWindow((LPSTR)"Fereastra de captura",
WS_CHILD | WS_VISIBLE, 0, 0, 160, 120, (HWND) hWnd, (int) 0);

// Înregistrarea funcției callback pentru erori cu macroul
// capSetCallbackOnError.
capSetCallbackOnError(ghWndCap, fpErrorCallback);

// Înregistrarea funcției callback pentru stare cu macroul
// capSetCallbackOnStatus
capSetCallbackOnStatus(ghWndCap, fpStatusCallback);

// Înregistrarea funcției callback pentru captura continuă cu
// macroul capSetCallbackOnVideoStream
capSetCallbackOnVideoStream(ghWndCap, fpVideoCallback);

// Înregistrarea funcției callback pentru cadre cu macroul
// capSetCallbackOnFrame macro.
capSetCallbackOnFrame(ghWndCap, fpFrameCallback<);

// Conectarea cu driverul de captură

break;
}
case WM_CLOSE:
{
// Utilizarea macroului capSetCallbackOnFrame pentru dezactivarea
// funcției callback pentru cadre. Apeluri similare există și pentru
```

```
// celelalte tipuri de funcții callback.
-
capSetCallbackOnFrame(hWndC, NULL);

break;
}
```

❖ Crearea funcției callback de stare

Următorul exemplu este o funcție callback de stare. Aceasta se înregistrează cu macroul `capSetCallbackOnStatus`:

```
// StatusCallbackProc: funcția callback de stare
// hWnd:      handle-ul ferestrei de captură
// nID:       codul de stare pentru starea curentă
// lpStatusText: textul de stare pentru starea curentă
//
LRESULT PASCAL StatusCallbackProc(HWND hWnd, int nID, LPSTR lpStatusText)
{
    if (!ghWndMain)
        return FALSE;

    if (nID == 0)
    {
        // Ștergerea mesajului de stare vechi.
        SetWindowText(ghWndMain, (LPSTR) gachAppName);
        return (LRESULT) TRUE;
    }
    // Afișarea codului și textului de stare...
    wsprintf(gachBuffer, "Status# %d: %s", nID, lpStatusText);

    SetWindowText(ghWndMain, (LPSTR)gachBuffer);
    return (LRESULT) TRUE;
}
```

❖ Crearea unei funcții callback de eroare

Pentru prezentarea unei funcții callback de eroare se utilizează macroul `capSetCallbackOnError`:

```
// ErrorCallbackProc: funcția callback de eroare
// hWnd:      handle-ul ferestrei de captură
// nErrID:    codul de eroare pentru eroarea întâlnită
// lpErrorText: textul de eroare pentru eroarea întâlnită
//
LRESULT PASCAL ErrorCallbackProc(HWND hWnd, int nErrID, LPSTR lpErrorText)
{
    if (!ghWndMain)
        return FALSE;
    if (nErrID == 0) // Pornirea unei noi funcții.
        return TRUE; // Ștergerea vechilor erori.

    // Afișarea identicatorului de eroare și a textului.
    wsprintf(gachBuffer, "Error# %d", nErrID);

    MessageBox(hWnd, lpErrorText, gachBuffer, MB_OK | MB_ICONEXCLAMATION);
}
```



```
return (LRESULT) TRUE;
}
```

❖ Crearea unei funcții callback de cadre

Înregistrarea unei funcții callback de cadre se face cu macroul `capSetCallbackOnFrame`:

```
// FrameCallbackProc: funcția callback de cadre
// hWnd:           handle-ul ferestrei de captură
// lpVHdr:         pointer la structura ce conține informația
//                 cadrului capturat
//
LRESULT PASCAL FrameCallbackProc(HWND hWnd, LPVIDEOHDR lpVHdr)
{
    if (!ghWndMain)
        return FALSE;

    wprintf(gachBuffer, "Rata de vizionare# %ld ", gdwFrameNum++);
    SetWindowText(ghWndMain, (LPSTR)gachBuffer);
    return (LRESULT) TRUE ;
}
```

În continuare se prezintă funcțiile implementate pentru captura imaginii în cadrul programului principal:

- Funcția de enumerare a driverelor de captură existente în sistem:

```
BOOL vidcapEnumerateDrivers(void)
{
    #define MAXVIDDRIVERS    10
    char  achDeviceVersion[80] ;
    char  achDeviceAndVersion[160] ;
    UINT  uIndex ;
    short gDriverCount = 0 ;

    for (uIndex = 0 ; uIndex < MAXVIDDRIVERS ; uIndex++)
    {
        if (capGetDriverDescription(uIndex,
                                    (LPSTR)achDeviceAndVersion, sizeof(achDeviceAndVersion),
                                    (LPSTR)achDeviceVersion, sizeof(achDeviceVersion)))
        {
            // Concatenate the device name and version strings
            lstrcat (achDeviceAndVersion, ", ");
            lstrcat (achDeviceAndVersion, achDeviceVersion);
            gDriverCount++;
        }
        else
            break;
    }
    return (gDriverCount);
}
```

- Funcția de conectare a ferestrei de captură cu driverul de captură

```
BOOL vidcapInitHardware(HWND hwndCap, UINT uIndex)
{
```

```

char  szName[MAX_PATH];
char  szVersion[MAX_PATH];
BOOL  gbHaveHardware;

// Try connecting to the capture driver
if (!capDriverConnect(hwndCap, uIndex))
{
    MessageBox(NULL,"Error initializing video capture device","Roboview",MB_OK);
    gbHaveHardware = FALSE;
}
else
    gbHaveHardware = TRUE;
// Get the capabilities of the capture driver
capDriverGetCaps(hwndCap, &gCapDriverCaps, sizeof(CAPDRIVERCAPS));
// Get the settings for the capture window
capGetStatus(hwndCap, &gCapStatus, sizeof(gCapStatus));
// Unlike all other capture drivers, Scrcap.driv needs to use
// a Yield callback, and we don't want to abort on mouse clicks,
// so determine if the current driver is Scrcap.driv
capGetDriverDescription (uIndex,  szName, sizeof (szName),  szVersion, sizeof (szVersion));
// set the preview rate (units are millisecs)
capPreviewRate(hwndCap,1);
capPreviewScale(hwndCap,TRUE);
// set live/overlay to default
capPreview(hwndCap,TRUE);
return gbHaveHardware;
}

```

- Funcția de creare a ferestrei de captură :

```

HWND vidframeCreate(int x,int y,int cx,int cy,HWND FAR * phwndCap)
{
    HWND hwnd, hwndCap;
    WNDCLASS wc;
    static FirstTime = 1;

    if(FirstTime)
    {
        wc.lpszClassName = "VideoCapture";
        wc.hInstance     = GetMainInstance();
        wc.lpfnWndProc   = DefWindowProc;
        wc.hCursor       = LoadCursor(NULL, IDC_ARROW);
        wc.hIcon         = NULL;
        wc.lpszMenuName  = NULL;
        wc.hbrBackground = NULL;
        wc.style         = CS_HREDRAW | CS_VREDRAW;
        wc.cbClsExtra    = 0;
        wc.cbWndExtra    = 0;
        if(!RegisterClass(&wc))
            MessageBox(NULL,"Error registering the class","Roboview",MB_OK);
        FirstTime = 0;
    }
    hwnd = CreateWindow(
        "VideoCapture",
        "VideoCapture",
        WS_CHILD | WS_VISIBLE | WS_CLIPCHILDREN | WS_THICKFRAME,
        x, y, cx, cy,
        GetMainWindowHwnd(),
        (HMENU) 0,
        GetMainInstance(),

```

```

        NULL);
// create an AVICAP window within this window. Leave vidframeLayout to do the layout
hwndCap = capCreateCaptureWindow(
    NULL,
    WS_CHILD | WS_VISIBLE,
    0, 0, cx, cy,
    hwnd,          // parent window
    1              // child window id
);
if (hwndCap == NULL)
    return(NULL);
*phwndCap = hwndCap;
return(hwnd);
}

```

- Funcția principală de captură video :

```

void VideoCapture(void)
{
    ghWndFrame = vidframeCreate(652,32,146,110,&ghWndCap);
    if ((ghWndFrame == NULL) || (ghWndCap == NULL))
        MessageBox(NULL,"Window initialization failure","Roboview",MB_OK);
// Get the default setup for video capture from the AVICap window
    BOOL test = capCaptureGetSetup(ghWndCap, &gCapParms, sizeof(CAPTUREPARMS));
// Create a list of all capture drivers and append them to the Options menu
    if (!vidcapEnumerateDrivers())
        MessageBox(NULL,"No video capture device found","Roboview",MB_OK);
// Try to connect to a capture driver
    else
        if (vidcapInitHardware(ghWndCap,0))
            {
                VideoCaptureInit = TRUE;
                // Hooray, we now have a capture driver connected!
                // vidcapSetCaptureFile(gachCaptureFile);
            }
    return;
}

```

1.3 Fundamentarea teoretică

Prezenta teză de doctorat prezintă mai multe metode de preprocesare folosite în sistemele de vedere artificială. Deși numărul tehnicilor disponibile pentru preprocesarea imaginilor este semnificativ, doar o submulțime din acestea satisfac cerințele de viteză și cost de implementare redus, elemente esențiale într-un sistem industrial de vedere. Gama de metode discutate în această lucrare satisface aceste două cerințe.

Se vor considera două metode de bază în preprocesare:

- Metodă bazată pe tehnici ce utilizează domenii spațiale
- Metodă bazată pe conceptul de domenii de frecvență cu ajutorul transformatei Fourier

Împreună, aceste două metode acoperă majoritatea algoritmilor folosiți în sistemele de vedere artificială.

Se va utiliza notația $f(x,y)$ [111],[115] pentru a descrie o imagine bidimensională, unde x și y reprezintă coordonatele în planul imaginii, iar valoarea f în fiecare punct (x,y) este proporțională cu intensitatea luminoasă a imaginii în acel punct. Figura 1.3.1 ilustrează acest concept, împreună cu sistemul de coordonate care se utilizează ulterior.

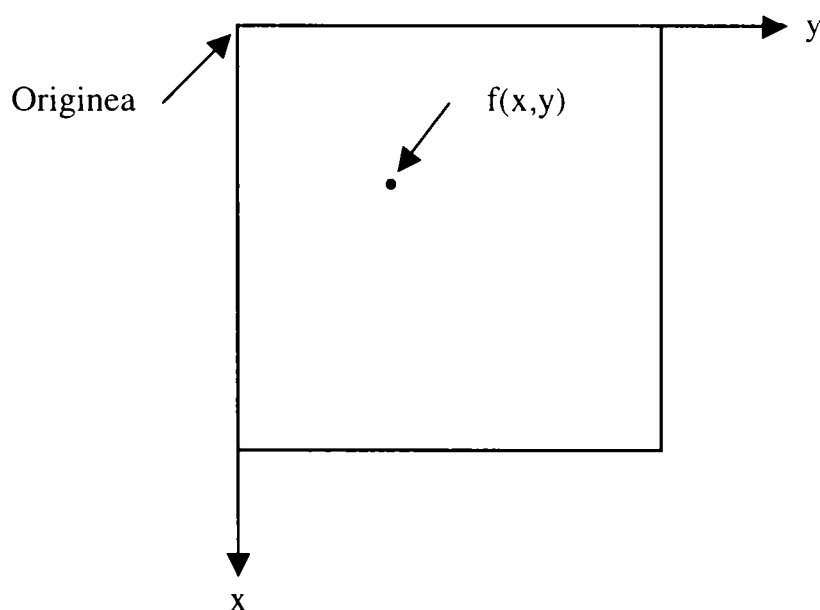


Fig. 1.3.1

Sistemul de coordonate pentru reprezentarea unei imagini

Se va utiliza în plus și variabila z pentru a nota variația de intensitate într-o imagine când locația spațială a acestei variații nu este importantă.

În scopul de a fi reprezentată într-o formă adecvată procesării pe calculator, funcția de imagine $f(x,y)$ trebuie să fie digitizată atât spațial cât și în amplitudine (intensitate). Digitizarea spațiului de coordonate (x,y) poartă numele *de eșantionarea imaginii*, iar digitizarea amplitudinii poartă numele de *cuantificarea nivelelor de gri*. Ultimul termen este aplicabil imaginilor monocrome și reflectă faptul că aceste imagini variază de la negru la alb în nivele de gri. Termenii de intensitate și nivel de gri reprezintă în acest context același lucru.

Având dată o imagine continuă, după eșantionarea uniformă într-o matrice de N linii și M coloane, în care fiecare celulă este de asemenea cuantificată în intensitate se va obține în final o imagine digitală, care are următoarea reprezentare:

$$f(x, y) = \begin{bmatrix} f(0,0) & f(0,1) & \dots & f(0,M-1) \\ f(1,0) & f(1,1) & \dots & f(1,M-1) \\ \dots & \dots & \dots & \dots \\ f(N-1,0) & f(N-1,1) & \dots & f(N-1,M-1) \end{bmatrix} \quad (1.3.1)$$

unde x și y sunt acum variabile discrete: $x = 0, 1, 2, \dots, N-1$; $y = 0, 1, 2, \dots, M-1$. Fiecare element din matrice este numit *element de imagine* sau *pixel*. Făcând o referință la imaginea din figura 1.3.1, trebuie remarcat faptul că $f(0,0)$ reprezintă pixelul de origine al imaginii, $f(0,1)$ pixelul din dreapta lui și așa mai departe. În practică se obișnuiește ca valorile lui N și M împreună cu numărul de nivele de gri să fie puteri ale lui 2.

În figura 1.3.2 este prezentat un exemplu de eșantionare. În figura 1.3.2,a este prezentată o imagine eșantionată într-o matrice de $N \times N$ pixeli cu $N = 512$. Intensitatea fiecărui pixel este cuantificată în unul din cele 256 de nivele de gri. Figurile 1.3.2,b până la 1.3.2,e prezintă aceeași imagine dar cu $N = 256, 128, 64$ și 32 . În toate cazurile numărul de intensități permise este același, 256. Deoarece zona de afișare folosită pentru fiecare imagine este aceeași (512×512 puncte de afișare), pixelii din imaginile cu rezoluții mici sunt duplicați în scopul umplerii întregii suprafețe de afișare. Acest lucru produce un efect de tablă de șah care este vizibil în special în imaginile de rezoluție foarte joasă. Imaginile cu N egal cu 512, 256 și 128 au o calitate acceptabilă față de cele cu N egal cu 64 sau 32.

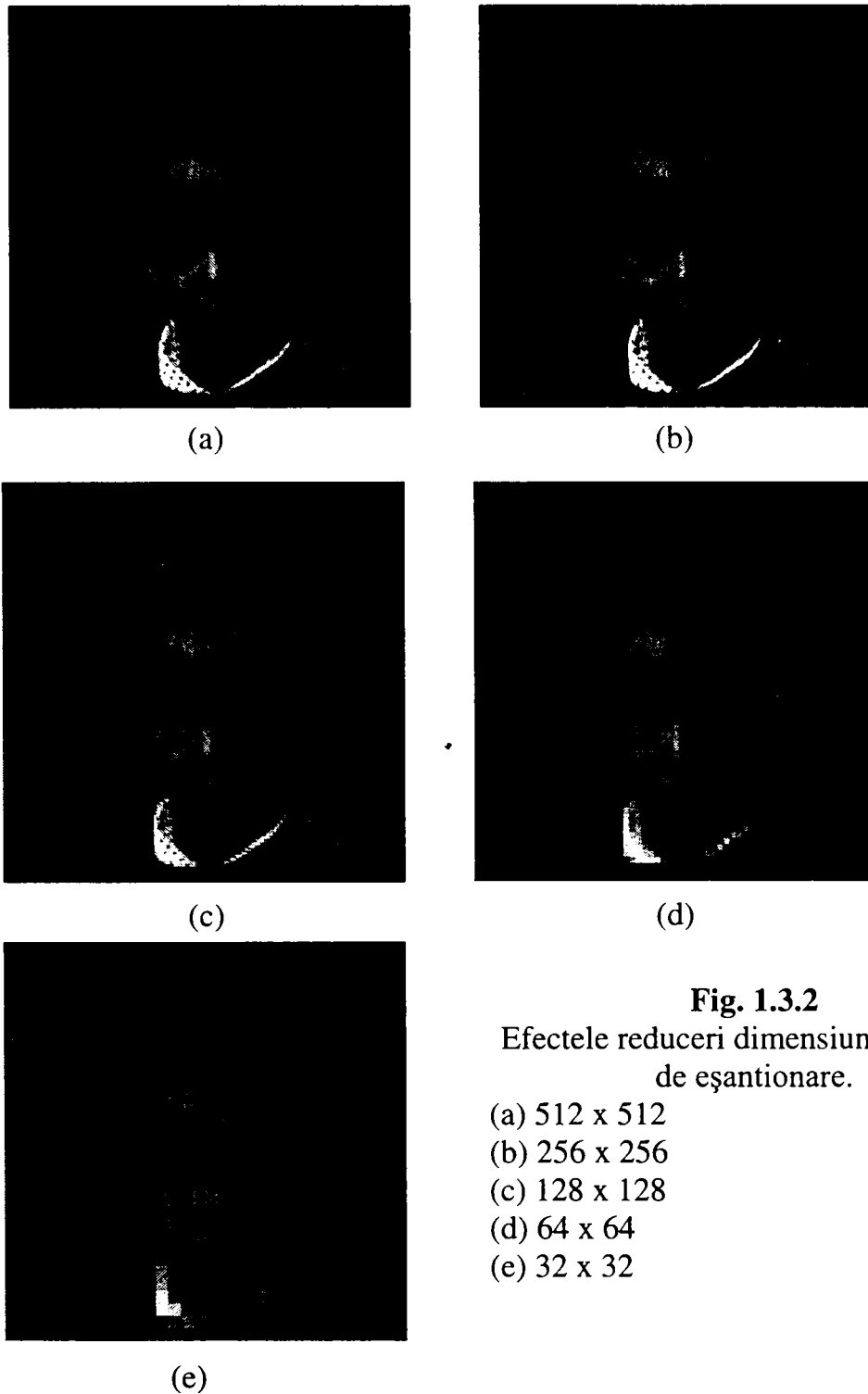
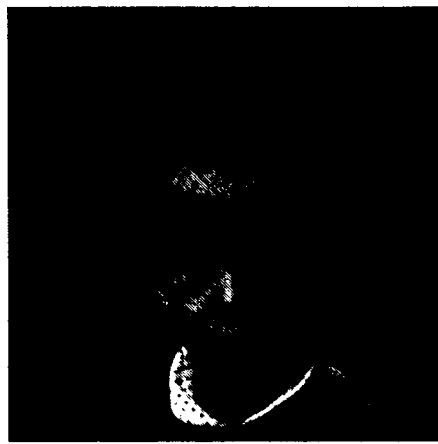


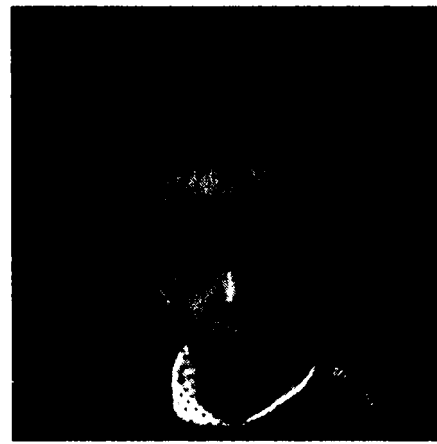
Fig. 1.3.2
Efectele reducerii dimensiunii rastrului
de eşantionare.

- (a) 512 x 512
- (b) 256 x 256
- (c) 128 x 128
- (d) 64 x 64
- (e) 32 x 32

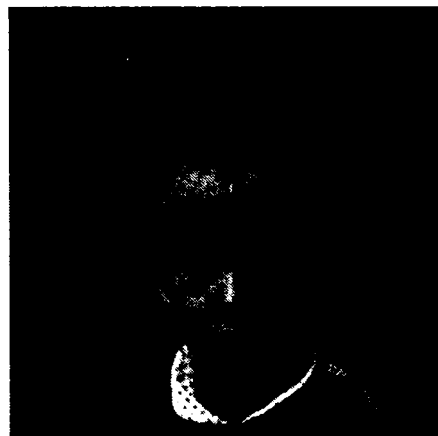
Figura 1.3.3 ilustrează efectul produs de reducerea numărului de nivele de gri în timp ce rezoluția spațială se păstrează constantă la 512 x 512. Imaginile cu 256, 128 sau 64 de nivele de gri sunt bune din punct de vedere calitativ. Imaginea cu 32 de nivele de gri începe să prezinte o ușoară degradare (în special în zonele cu intensitate aproape constantă) ca un rezultat al utilizării unui număr mai mic de nivele de intensitate pentru reprezentarea fiecărui pixel. Acest efect este mult mai vizibil în imaginea cu doar 16 nivele de gri apărând efectul de contur fals și crește pe măsură ce numărul de nivele de gri scade.



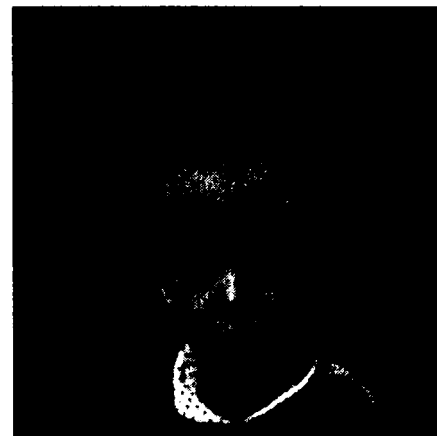
(a)



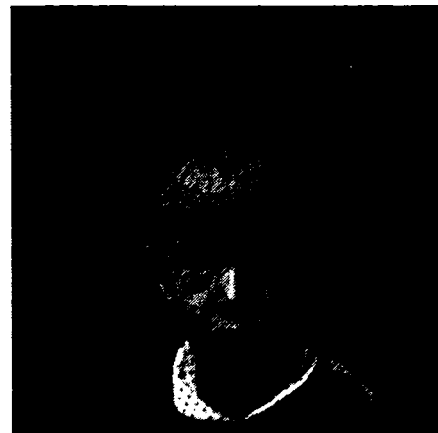
(b)



(c)



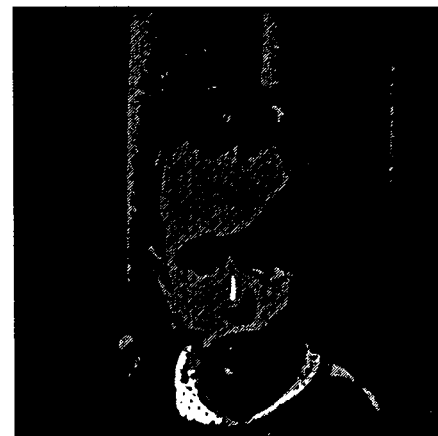
(d)



(e)



(f)



g.



h.

Fig. 1.3.3. O imagine 512 x 512 afișată în 256, 128, 64, 32, 16, 8, 4, 2 nivele de gri

Numărul de pixeli și de nivele de gri necesare pentru a produce o reproducere utilă (din punctul de vedere al robotului) a unei imagini originale depinde de imaginea în sine cât și de aplicația în care se folosește. Spre exemplu pentru obținerea unei calități comparabile cu cea a unui televizor alb negru este necesară asigurarea a 512 x 512 pixeli cu 128 de nivele de gri.

1.3.1 Tehnici de iluminare

Iluminarea unei scene este un factor important care afectează deseori complexitatea algoritmilor de vedere. Iluminarea arbitrară a unui câmp de lucru nu este acceptabilă deoarece poate genera imagini cu contrast scăzut, reflexii nedorite, umbre și accentuarea detaliilor neesențiale. Un sistem de iluminare bine proiectat, asigură o iluminare a scenei în așa fel încât complexitatea imaginii rezultate să fie minimă, iar informația necesară pentru detecția și extragerea obiectelor să fie îmbunătățită.

Figura 1.3.4 prezintă patru dintre principalele scheme de iluminare folosite într-un spațiu de lucru al unui robot [120], [123].

Iluminarea cu lumină difuză prezentată în figura 1.3.4,a poate fi folosită pentru obiecte ce sunt caracterizate de suprafețe netede și regulate. De obicei această schemă de iluminare este utilizată în aplicațiile în care caracteristicile de suprafață sunt importante.

Iluminarea din spate prezentată în figura 1.3.4,b produce o imagine binară în alb și negru. Această tehnică este ideală pentru aplicațiile în care silueta obiectelor este suficientă pentru recunoaștere și măsură.

Iluminarea structurată prezentată în figura 1.3.4,c constă din proiectarea de puncte, dungi sau grile peste suprafața de lucru. Această tehnică de iluminare are două avantaje importante. În primul rând, ea stabilește un model de lumină cunoscut peste spațiul de lucru, iar perturbările acestui model indică prezența unui obiect, astfel simplificându-se problema detecției obiectelor. În al doilea rând, prin analizarea modului în care este distorsionat modelul de lumină, este posibilă determinarea caracteristicilor tridimensionale ale obiectului.

Iluminarea cu lumină direcțională prezentată în figura 1.3.4,d este utilizată în mod special pentru inspectarea suprafețelor obiectelor. Defectele de suprafață, de tipul cavități sau zgârieturi, pot fi detectate prin folosirea unei raze de lumină foarte bine direcționate (de exemplu o rază laser) și măsurarea dispersiei. Pentru suprafețele netede, foarte puțină lumină este difuzată spre cameră. Pe de altă parte, prezența unei cavități va mări cantitatea de lumină difuzată către cameră, facilitând astfel detecția defectului.

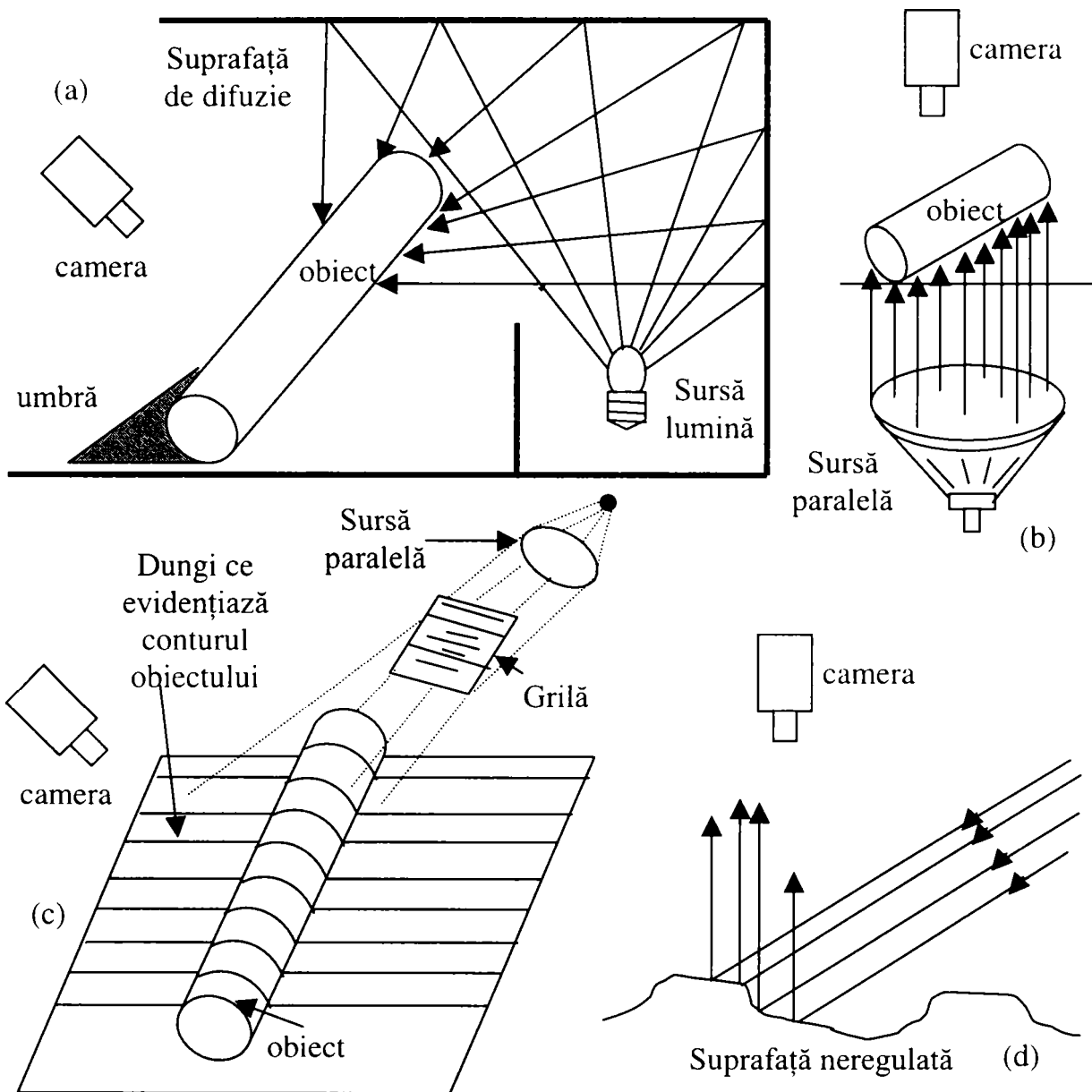


Fig. 1.3.4 Scheme diferite de iluminare

1.3.2 Metode bazate pe domeniile spațiale

Domeniile spațiale se referă la mulțimea de pixeli ce compun o imagine, iar metodele bazate pe domeniile spațiale sunt proceduri care operează direct asupra

acestor pixeli. O funcție de preprocesare într-un domeniu spațial poate fi exprimată

$$g(x, y) = h[f(x, y)] \quad (1.3.2)$$

unde:

- $f(x, y)$ este imaginea sursă
- $g(x, y)$ este imaginea preprocesată
- h este un operator asupra lui f , definit peste o vecinătate a lui (x, y) .

Este de asemenea posibil ca h să opereze asupra unui set de imagini sursă, cum ar fi calculul unei sume de K imagini pentru reducerea zgomotului.

Principala metodă folosită în definirea unei vecinătăți în jurul pixelului (x, y) [137] este folosirea unei subimagini dreptunghiulare sau pătratică centrată în (x, y) , așa cum se arată în figura 1.3.5. Centrul subimaginei este deplasat pixel cu pixel pornind, de exemplu, din colțul din stânga sus, și aplicând operatorul la fiecare locație (x, y) pentru a obține pe $g(x, y)$. Se pot folosi și alte forme pentru vecinătăți, cum ar fi cercul, dar matricile pătratice sunt cel mai des folosite din cauza ușurinței implementării lor.

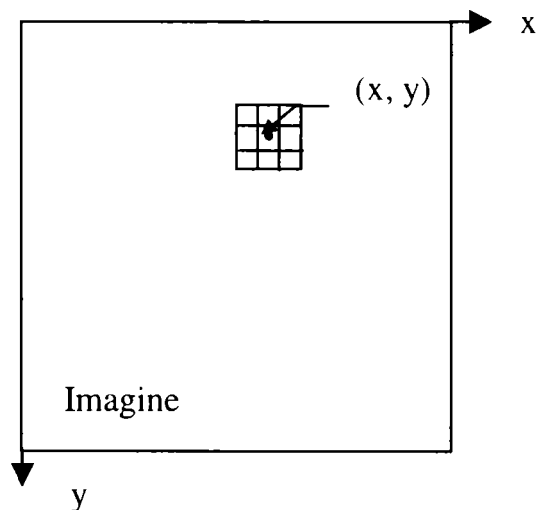


Fig. 1.3.5
O vecinătate 3x3 în jurul
punctului (x, y) dintr-o imagine

Cea mai simplă formă a lui h este aceea care consideră o vecinătate de 1×1 și astfel, g depinde doar de valoarea lui f în punctul (x, y) . În acest caz h devine o hartă a intensității sau o transformare T de forma :

$$s = T(r) \quad (1.3.3)$$

unde, pentru simplificare, s-au folosit s și r ca variabile reprezentând intensitatea lui $f(x,y)$ respectiv $g(x,y)$ în orice punct (x,y) .

Una din tehnicile bazate pe domeniile spațiale folosite frecvent este utilizarea așa numitelor măști de convoluție (cunoscute și ca șabloane, ferestre sau filtre). De fapt o mască este o matrice de mici dimensiuni (de exemplu 3×3) ca și cea din figura 1.3.5, a cărei coeficienți sunt aleși în așa fel încât să poată detecta o anumită proprietate dintr-o imagine. Se presupune, spre exemplu, o imagine de intensitate constantă care conține pixeli izolați a căror intensitate este diferită de cea de fond. Aceste puncte pot fi detectate folosind o mască ca în figura 1.3.6.

-1	-1	-1
-1	8	-1
-1	-1	-1

Fig. 1.3.6

Masca pentru detectarea punctelor izolate diferite de un fond constant

Procedura este următoarea: centrul măștii (numerotat cu 8) este deplasat pe întreaga imagine după indicațiile de mai jos. Pentru fiecare pixel din imagine, se va multiplica fiecare pixel care este conținut în aria măștii cu coeficientul din mască corespunzător. Astfel pixelul din centrul măștii este multiplicat cu 8, în timp ce, cei 8 vecini ai lui sunt multiplicați cu -1. Rezultatele acestor nouă multiplicări sunt adunate. Dacă toți pixelii din aria măștii au aceeași valoare (fond constant), suma va fi egală cu zero. Dacă pe de altă parte, centrul măștii este deasupra unui punct izolat, suma va fi diferită de zero. Dacă punctul izolat nu va fi în centrul măștii, suma va fi de asemenea diferită de zero, dar magnitudinea răspunsului va fi mai mică. Acest răspuns mai slab poate fi eliminat comparând suma cu un prag.

Conform figurii 1.3.7, dacă se vor reprezenta coeficienții măștii prin w_1, w_2, \dots, w_9 și se vor considera cei 8 vecini ai lui (x, y) , se va putea generaliza exemplul precedent prin următoarea operație pe o vecinătate de 3×3 a lui (x, y) :

$$h[f(x, y)] = w_1 f(x-1, y-1) + w_2 f(x-1, y) + w_3 f(x-1, y+1) + w_4 f(x, y-1) + w_5 f(x, y) + w_6 f(x, y+1) + w_7 f(x+1, y-1) + w_8 f(x+1, y) + w_9 f(x+1, y+1) \quad (1.3.4)$$

Este de precizat faptul că noțiunea de procesare bazată pe vecinătăți nu este limitată la o arie de 3×3 și nici doar la cazul tratat. De exemplu, se mai folosesc operații în vecinătăți și pentru reducerea zgomotului, pentru obținerea unor praguri variabile de imagine, pentru calculul măsurilor de structură, pentru obținerea scheletului unui obiect, etc.

w_1 $(x-1, y-1)$	w_2 $(x-1, y)$	w_3 $(x-1, y+1)$
w_4 $(x, y-1)$	w_5 (x, y)	w_6 $(x, y+1)$
w_7 $(x+1, y-1)$	w_8 $(x+1, y)$	w_9 $(x+1, y+1)$

Fig. 1.3.7

Masca generală 3×3 pentru vizualizarea coeficienților și a locațiilor de pixeli corespunzătoare din imagine

1.3.3 Metode bazate pe domenii de frecvență.

Domeniile de frecvență se referă la o mulțime complexă de pixeli rezultată din aplicarea *transformatei Fourier* unei imagini [24]. Conceptul de *frecvență* este des folosit în interpretarea transformatei Fourier și a luat naștere din faptul că această transformare particulară este compusă din reprezentări complexe. Datorită necesarului mare de calcul, metodele bazate pe domenii de frecvență nu sunt chiar așa de răspândite în vederea artificială ca cele bazate pe domenii spațiale. Cu toate acestea transformata Fourier joacă un rol important în domenii ca analiza mișcării unui obiect,

descrierea unui obiect, etc. Multe din tehnicile spațiale pentru îmbunătățire și restaurare sunt bazate pe concepte a căror origine se află în formularea transformatei Fourier.

Se consideră funcții discrete de o variabilă $f(x)$, $x = 0, 1, 2, \dots, N-1$. Transformata Fourier a funcției $f(x)$ este definită astfel :

$$F(u) = \frac{1}{N} \sum_{x=0}^{N-1} f(x) e^{-jux2\pi/N} \quad (1.3.5)$$

pentru $u = 0, 1, 2, \dots, N-1$. În această ecuație $j = \sqrt{-1}$ și u este așa numita **variabilă de frecvență**. Inversa transformatei Fourier a funcției $F(u)$ este $f(x)$ și este definită ca :

$$f(x) = \sum_{u=0}^{N-1} F(u) e^{jux2\pi/N} \quad (1.3.6)$$

pentru $x = 0, 1, 2, \dots, N-1$. Validitatea acestor expresii, numite **perechea de transformate Fourier**, este ușor de verificat prin înlocuirea ecuației (1.3.5) pentru $F(u)$ în ecuația (1.3.6), sau invers. În ambele cazuri se va obține o identitate.

O implementare directă a ecuației (1.3.5) pentru $u = 0, 1, 2, \dots, N-1$ va necesita un număr de adunări și multiplicări de ordinul N^2 . Folosirea unui algoritm rapid pentru calculul transformatei Fourier (FFT) reduce semnificativ acest număr la $N \log_2 N$, unde N este o putere întregă a lui 2. Aceleași comentarii sunt valabile și pentru ecuația (1.3.6) pentru $x = 0, 1, 2, \dots, N-1$. Există deja un număr mare de algoritmi pentru FFT într-o largă varietate de limbaje de programare.

Perechea de transformări Fourier bidimensionale pentru o imagine $N \times N$ este definită ca :

$$F(u, v) = \frac{1}{N} \sum_{x=0}^{N-1} \sum_{y=0}^{N-1} f(x, y) e^{-j2\pi(ux+vy)/N} \quad (1.3.7)$$

pentru $u, v = 0, 1, 2, \dots, N-1$, și :

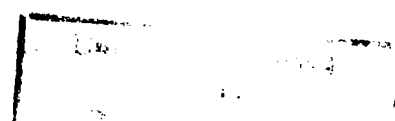
$$f(x, y) = \frac{1}{N} \sum_{u=0}^{N-1} \sum_{v=0}^{N-1} F(u, v) e^{j2\pi(ux+vy)/N} \quad (1.3.8)$$

pentru $x, y = 0, 1, 2, \dots, N-1$.

Se poate demonstra că, folosind mici artificii matematice, fiecare din aceste două ecuații poate fi exprimată separat ca o sumă unidimensională ca cea din ecuația (1.3.5) sau (1.3.6). Aceasta conduce la un algoritm secvențial pentru calculul transformatei Fourier bidimensionale folosind doar un algoritm FFT unidimensional: în primul rând se calculează și se salvează transformata fiecărui rând din $f(x, y)$, în

acest fel realizând o matrice bidimensională de rezultate intermediare. Aceste rezultate sunt multiplicare cu N și astfel este calculată transformata pentru fiecare coloană. Rezultatul final este $F(u,v)$. În același mod se procedează pentru calculul $f(x,y)$ când se dă $F(u,v)$. Ordinea calcului rând-coloană poate fi inversată în coloană-rând fără afectarea rezultatului final.

Transformata Fourier poate fi utilizată în numeroase moduri într-un sistem de vedere artificială. De exemplu, tratând conturul unui obiect ca și o matrice unidimensională de puncte și calculând transformata lor Fourier, valorile selectate ale lui $F(u)$ pot fi utilizate ca descriptori a formei conturului. Transformata Fourier unidimensională poate fi folosită de asemenea ca un puternic mijloc pentru detecția mișcării obiectelor. Transformata Fourier discretă bidimensională se aplică în reconstrucția de imagini, îmbunătățirea imaginii și restaurări. Totuși folosirea acestui mod de prelucrare a imaginii este puțin folosit în vederea artificială utilizată în robotică datorită calculelor numeroase necesare pentru implementare.



1.4 Filtrarea imaginilor

Operațiile de filtrare sunt folosite pentru reducerea zgomotului și a altor efecte perturbante care pot fi prezente într-o imagine ca rezultat al eșantionării, transmisiei sau perturbațiilor din mediu din timpul achiziției imaginilor. Se prezintă câteva metode rapide de filtrare care sunt posibile de implementat în cadrul unui sistem de vedere artificială.

1.4.1 Metoda mediei vecinătății

Este o tehnică bazată pe domeniile spațiale de filtrare a imaginii. Fiind dată o imagine $f(x,y)$, procedura va genera o imagine filtrată $g(x,y)$ a cărei intensitate în fiecare punct (x,y) se obține prin medierea valorilor de intensitate a pixelilor din f conținuți într-o vecinătate predefinită a lui (x,y) [122]. Cu alte cuvinte imaginea filtrată se obține folosind relația

$$g(x, y) = \frac{1}{P} \sum_{(n,m) \in S} f(n, m) \quad (1.4.1)$$

pentru toți x și y din $f(x,y)$. S reprezintă mulțimea de coordonate a punctelor din vecinătatea lui (x,y) , inclusiv (x,y) , iar P este numărul total de puncte din vecinătate. Dacă se folosește o vecinătate 3×3 se va observa prin comparație că ecuația (1.4.1) este un caz special al ecuației (1.3.4), cu $w_i = 1/9$. Se observă că ecuația (1.4.1) nu impune limitarea la vecinătăți pătratice, dar, așa cum s-a menționat, acestea sunt cele predominante în sistemele de vedere artificială. În urma testării cu vecinătăți de diferite dimensiuni (3×3 , 5×5 , 7×7 , 11×11) se remarcă faptul că gradul de filtrare depinde foarte mult de dimensiunea vecinătății utilizate. Ca la orice procesare ce folosește o mască, valoarea filtrată a fiecărui pixel este determinată înainte ca orice pixel să fie modificat.

Figura 1.4.1 prezintă efectul acestui tip de filtrare asupra unei imagini cu zgomot, în care nivelul de zgomot este de 50%. Figura 1.4.1,a reprezintă imaginea originală, iar figurile 1.4.1,b până la 1.4.1,f reprezintă rezultatul aplicării filtrului folosind vecinătăți de dimensiuni 3×3 , 5×5 , 7×7 , 9×9 și 11×11 .

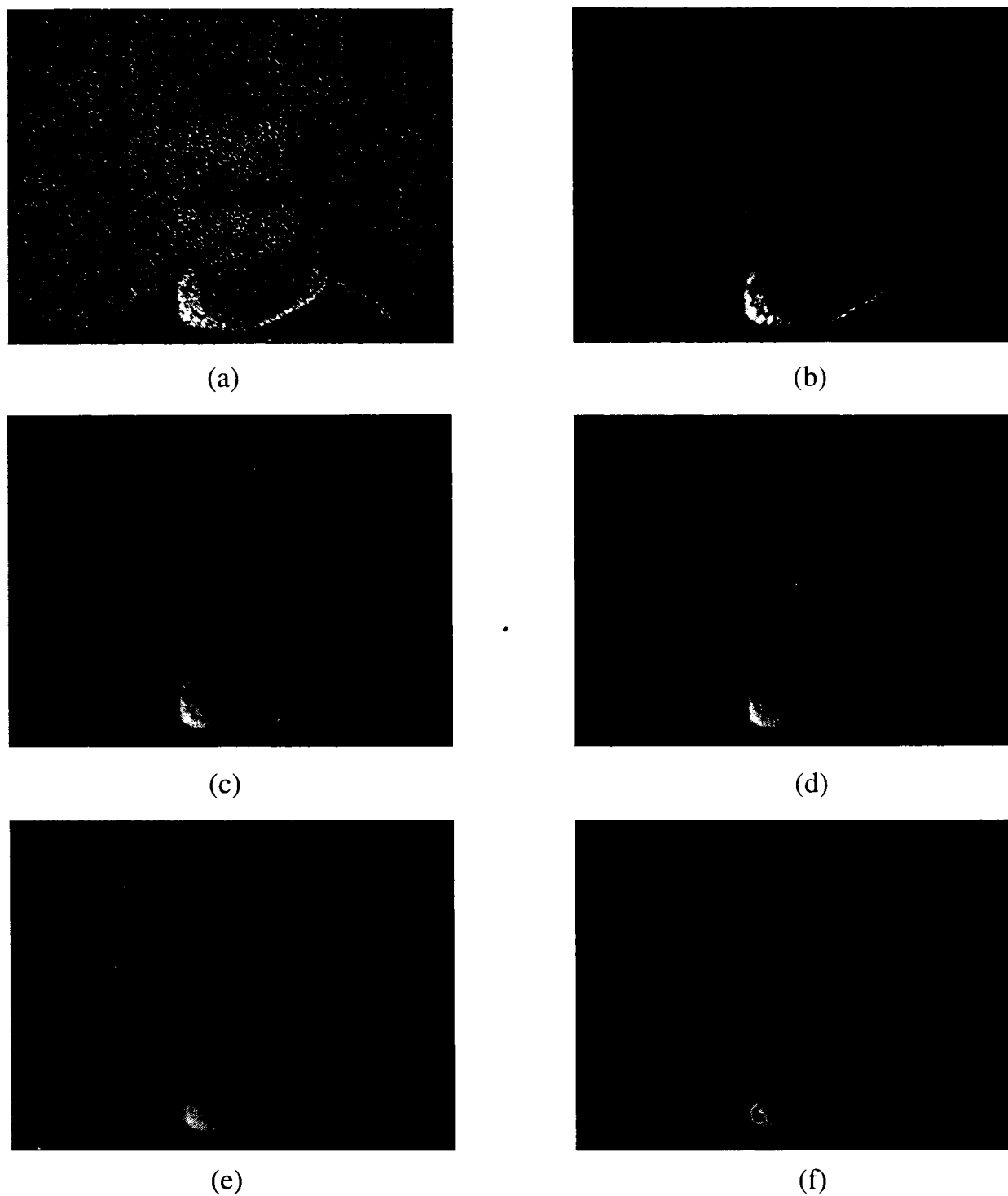


Fig. 1.4.1

(a) Imaginea cu zgomot; (b)-(f) rezultatul aplicării unui filtru bazat pe tehnica mediei vecinătății, pe o vecinătate: 3x3, 5x5, 7x7, 9x9, 11x11.

Implementarea acestui filtru este prezentată prin funcția:

```
void CMainFrame::OnToolsSmoothingNeighbourhoodAveraging()
{
    CROBOVIEWDoc *SourceDoc;
    CROBOVIEWDoc *DestinDoc;
    CNeighbourhoodDimensionsDlg nd_dlg;
    short m_x = 3;
    short m_y = 3;
    short x,y,x_local,y_local;
```



```

short DestinValue;
short count;

nd_dlg.m_x.Format("%d",m_x);
nd_dlg.m_y.Format("%d",m_x);
if(nd_dlg.DoModal() == IDOK)
{
    sscanf(nd_dlg.m_x,"%d",&m_x);
    sscanf(nd_dlg.m_y,"%d",&m_y);
}
else
    return;
SourceDoc = GetActiveSourceDocument();
DestinDoc = OpenNewDestinationDocument(SourceDoc->BitmapColorType);
for(x=0;x<Xmax;x++)
    for(y=0;y<REALYMAX;y++)
    {
        DestinValue = 0;
        count = 0;
        for(x_local=x-(short)(m_x/2);x_local<=x+(short)(m_x/2);x_local++)
            for(y_local=y-(short)(m_y/2);y_local<=y+(short)(m_y/2);y_local++)
                if(x_local>= 0 && x_local<Xmax && y_local>=0 && y_local<REALYMAX)
                    {
                        DestinValue += SourceDoc->BitmapMatrix[x_local][y_local][0];
                        count++;
                    }
        DestinValue = DestinValue/(count);
        DestinDoc->BitmapMatrix[x][y][0]=DestinDoc->BitmapMatrix[x][y][1]=
            DestinDoc->BitmapMatrix[x][y][2] = (BYTE)DestinValue;
    }
}

```

1.4.2 Metoda filtrării mediane

Una din principalele dificultăți apărute în metoda mediei vecinătății este aceea că generează o neclaritate a contururilor și a altor detalii evidențiate. Această neclaritate se poate reduce în mare parte folosind așa numitul filtru median, în care se va înlocui intensitatea fiecărui pixel cu valoarea de mijloc a intensităților dintr-o vecinătate predefinită a unui pixel, în loc de media valorilor [122].

Se menționează că valoarea de mijloc M a unei mulțimi de valori este aceea pentru care jumătate din valori sunt mai mici decât M iar cealaltă jumătate sunt mai mari decât M . Pentru a realiza filtrarea mediană într-o vecinătate a unui pixel, se vor sorta valorile pixelului și ale vecinilor lui, după care se va determina valoarea de mijloc, și se va atribui pixelului acea valoare. De exemplu, într-o vecinătate 3×3 , valoarea de mijloc este cea de-a 5-a valoare în ordine crescătoare, într-o vecinătate 5×5 , cea de-a 13-a, etc. Când mai multe valori dintr-o vecinătate sunt la fel, se vor grupa toate valorile egale după cum urmează: se presupune că într-o vecinătate 3×3

există valorile (10, 20, 20, 20, 15, 20, 20, 25, 100). Prin sortare rezultă: (10, 15, 20, 20, 20, 20, 20, 25, 100), al căror mijloc este 20.

În concluzie, este de remarcat că principala funcție a filtrării mediene este forțarea punctelor cu intensități foarte distincte să se apropie mai mult de vecinii lor, în acest fel eliminând vârfurile de intensitate care apar izolate în regiunea măștii de filtrare. În cazul concentrărilor de zgomot se pot aplica două sau mai multe treceri prin filtrul median pentru eliminarea lor.

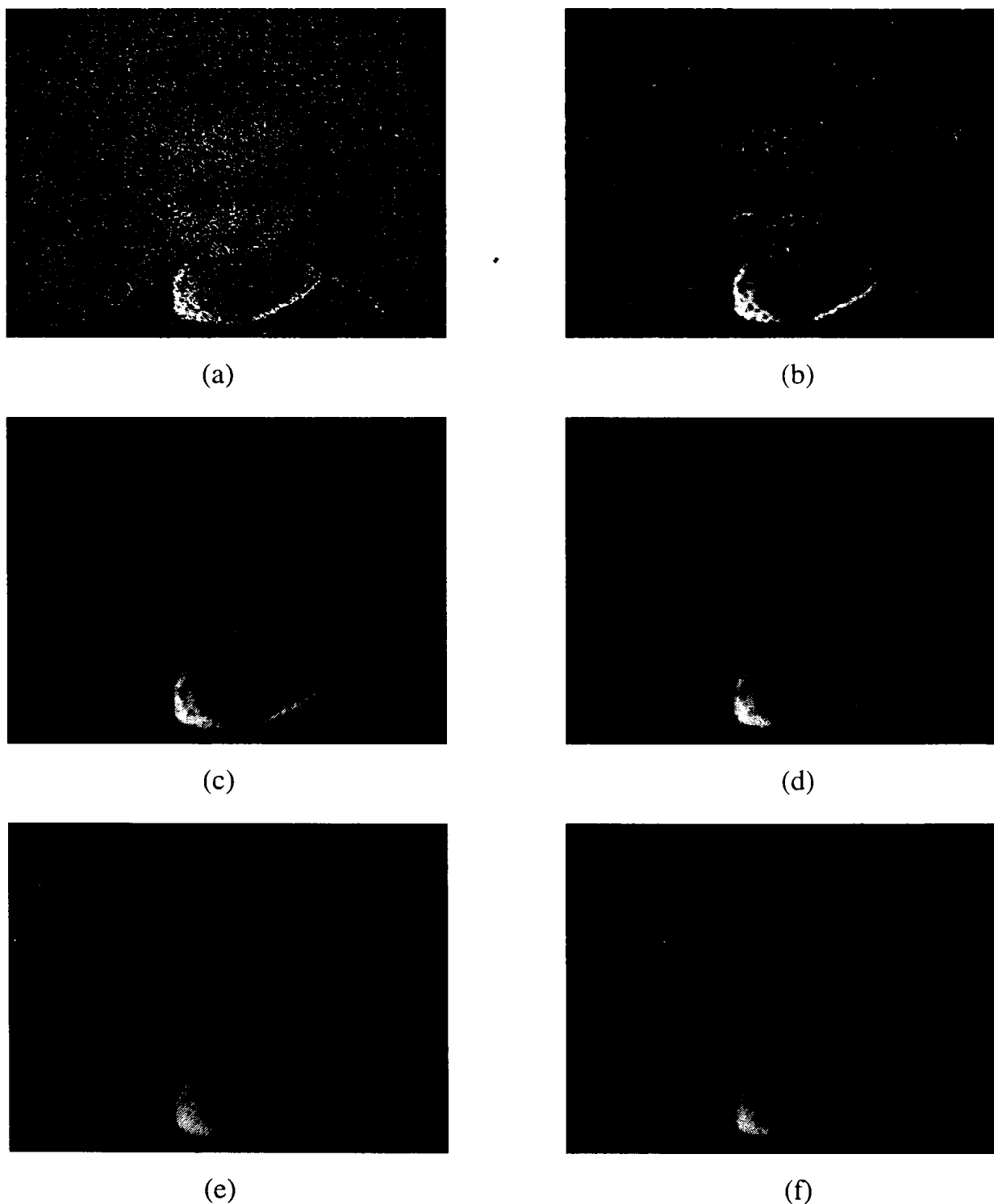


Fig. 1.4.2
(a) Imaginea cu zgomot; (b)-(f) rezultatul aplicării unui filtru median pe o vecinătate 3x3, 5x5, 7x7, 9x9, 11x11.

Figura 1.4.2 prezintă efectul acestui tip de filtrare asupra unei imagini cu zgomot, în care nivelul de zgomot este de 50%. Figura 1.4.2,a reprezintă imaginea originală, iar figurile 1.4.2,b până la 1.4.2,f reprezintă rezultatul aplicării filtrului folosind vecinătăți de dimensiuni 3x3, 5x5, 7x7, 9x9 și 11x11. Se observă îmbunătățirea evidentă a imaginii față de media vecinătății, mai ales pentru a vecinătate 5x5;

Implementarea acestui filtru este prezentată prin următoarea funcție:

```
void CMainFrame::OnToolsMedianFiltering()
{
    CROBOVIEWDoc      *SourceDoc;
    CROBOVIEWDoc      *DestinDoc;
    CNeighbourhoodDimensionsDlg nd_dlg;
    short              m_x = 3;
    short              m_y = 3;
    short              x,y,x_local,y_local;
    short              DestinValue;
    short              count;
    BYTE               matrix[1000];

    nd_dlg.m_x.Format("%d",m_x);
    nd_dlg.m_y.Format("%d",m_x);
    if(nd_dlg.DoModal() == IDOK)
    {
        sscanf(nd_dlg.m_x,"%d",&m_x);
        sscanf(nd_dlg.m_y,"%d",&m_y);
    }
    else
        return;
    SourceDoc = GetActiveSourceDocument();
    DestinDoc = OpenNewDestinationDocument(SourceDoc->BitmapColorType);
    for(x=0;x<Xmax;x++)
        for(y=0;y<REALYMAX;y++)
        {
            DestinValue = 0;
            count = 0;
            for(x_local=x-(short)(m_x/2);x_local<=x+(short)(m_x/2);x_local++)
                for(y_local=y-(short)(m_y/2);y_local<=y+(short)(m_y/2);y_local++)
                    if(x_local>= 0 && x_local<Xmax && y_local>=0 && y_local<REALYMAX)
                    {
                        matrix[count] = SourceDoc->BitmapMatrix[x_local][y_local][0];
                        count++;
                    }
            qsort( (void *)matrix, count, sizeof(BYTE), compare);
            DestinValue = matrix[(count/2)+1];
            DestinDoc->BitmapMatrix[x][y][0]=DestinDoc->BitmapMatrix[x][y][1]=
                DestinDoc->BitmapMatrix[x][y][2] = (BYTE)DestinValue;
        }
}
```

1.4.3 Metoda mediei imaginilor

Fie o imagine cu zgomot $g(x, y)$ care este formată prin adunarea zgomotului $n(x, y)$ la o imagine clară $f(x, y)$ [95]:

$$g(x, y) = f(x, y) + n(x, y) \quad (1.4.2)$$

unde se presupune că zgomotul este necorelat și are valoarea medie 0. Obiectivul următoarei proceduri este obținerea unei imagini filtrate prin adunarea unui set dat de imagini cu zgomot, $g_i(x, y)$, $i = 1, 2, \dots, K$.

Dacă zgomotul satisface condițiile impuse, este simplu de arătat [122] că dacă o imagine $\bar{g}(x, y)$ este formată prin medierea a K imagini cu zgomot diferite:

$$\bar{g}(x, y) = \frac{1}{K} \sum_{i=1}^K g_i(x, y) \quad (1.4.3)$$

atunci rezulta că:

$$E\{\bar{g}(x, y)\} = f(x, y) \quad (1.4.4)$$

și:

$$\sigma_{\bar{g}}^2(x, y) = \frac{1}{K} \sigma_n^2(x, y) \quad (1.4.5)$$

unde $E\{\bar{g}(x, y)\}$ este valoarea așteptată a lui \bar{g} , iar $\sigma_{\bar{g}}^2(x, y)$ și $\sigma_n^2(x, y)$ sunt variațiile lui \bar{g} și n , raportate la coordonatele (x, y) . Deviația standard în orice punct din imaginea mediată este dată de

$$\sigma_{\bar{g}}(x, y) = \frac{1}{\sqrt{K}} \sigma_n(x, y) \quad (1.4.6)$$

Ecuțiile (1.4.5) și (1.4.6) indică faptul că, pe măsura ce K crește, posibilitatea de variație a valorii pixelului descrește. Deoarece $E\{\bar{g}(x, y) = f(x, y)\}$, aceasta înseamnă că $\bar{g}(x, y)$ va aproxima din ce în ce mai bine imaginea clară $f(x, y)$ pe măsură ce numărul de imagini cu zgomot folosite în procesul de mediere, crește.

Este foarte important de remarcat că această tehnică presupune implicit faptul că toate imaginile cu zgomot sunt înregistrate spațial, doar cu variația permisă a intensității pixelilor. În termeni din vederea artificială, aceasta înseamnă că orice obiect din spațiul de lucru trebuie să fie în repaus în raport cu camera video pe timpul procesului de mediere.

Multe sisteme de vedere au capacitatea de achiziție a unei imagini complete într-un singur cadru (1/30 dintr-o secundă). Astfel că adunarea a 16 imagini va dura aproximativ 1/2 dintr-o secundă, timp în care nu are voie să aibă loc nici o mișcare.

Figura 1.4.3 prezintă efectul acestui tip de filtrare asupra unei imagini cu zgomot. Figura 1.4.3,a reprezintă imaginea originală, iar figurile 1.4.3,b până la 1.4.3,f reprezintă rezultatul aplicării filtrului folosind media a 4, 8, 16, 32 și 64 de imagini. Se remarcă faptul că rezultatele sunt acceptabile pentru $K=32$ de imagini.

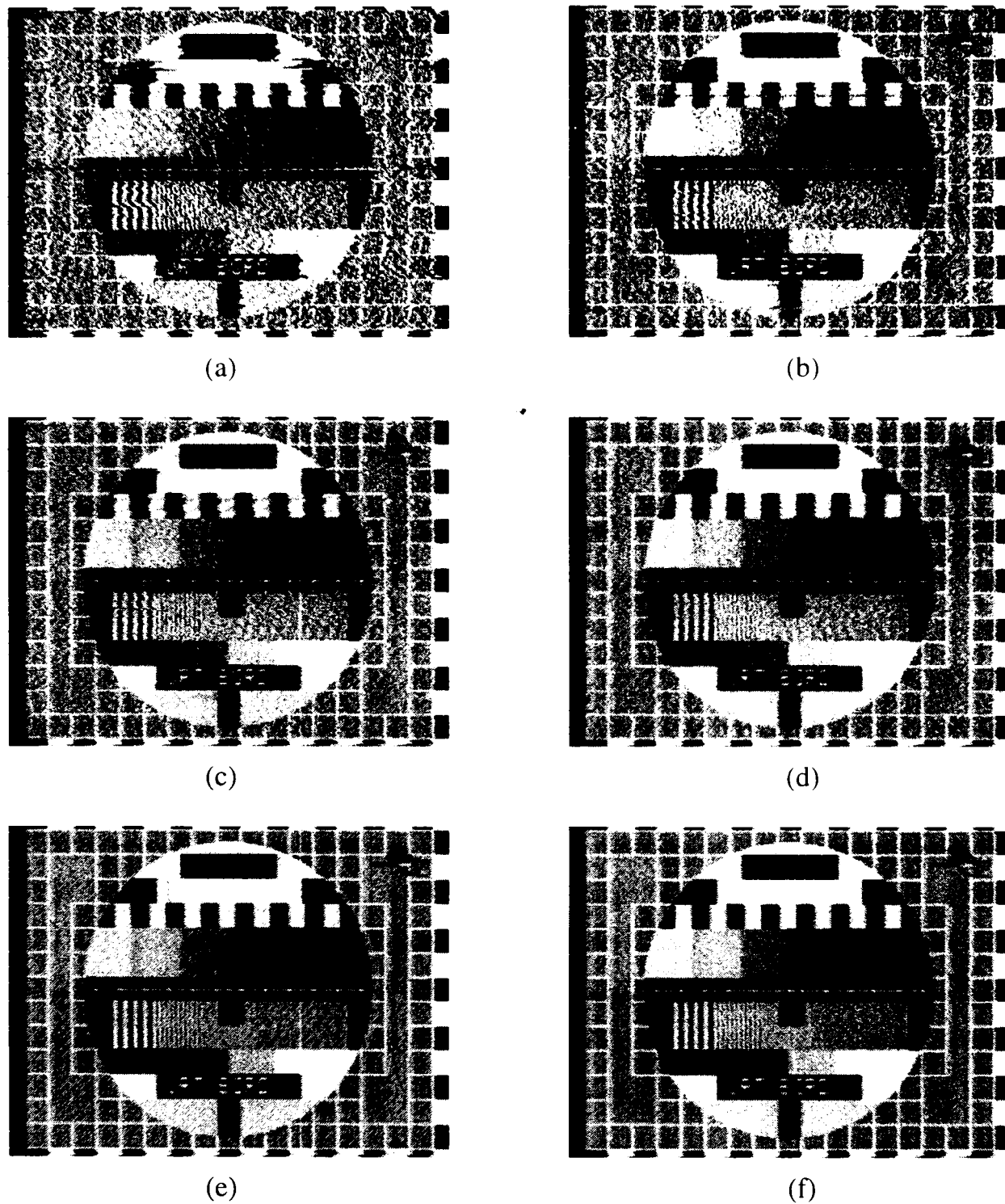


Fig. 1.4.3

(a) Imaginea cu zgomot; (b)-(f) rezultatul aplicării medierii unui număr de 4, 8, 16, 32 și 64 de imagini.

Implementarea acestui filtru este prezentată prin următoarea funcție:

```
void CMainFrame::OnToolsSmoothingImageaveraging()
{
    CimageAveragingDlg ia_dlg;
    CROBOVIEWDoc *SourceDoc;
    short          x,y;
    UINT           i,NumberOfImages;
    UINT           BitmapMatrix[320][240];

    memset(&BitmapMatrix,0,sizeof(UINT)*320*240);
    ia_dlg.m_Number = 32;

    if(!ghWndCap)
        VideoCapture();
        if(ia_dlg.DoModal() == IDOK)
            NumberOfImages = ia_dlg.m_Number;
        else
            return;
    InitGlobalVariablesFromCapture(&SourceDoc);
//Bucla de captura si prelucrare
for(i=0;i<NumberOfImages;i++)
    {
    if(CaptureSingleFrame(&SourceDoc))
        continue;
    EmptyMessageQueue();
    for(y=Ymax-1;y>=0;y--)
        for(x=0;x<Xmax;x++)
            BitmapMatrix[x][y] += SourceDoc->BitmapMatrix[x][y][0];
    EmptyMessageQueue();
    }
for(y=Ymax-1;y>=0;y--)
    for(x=0;x<Xmax;x++)
        SourceDoc->BitmapMatrix[x][y][0]=SourceDoc->BitmapMatrix[x][y][1]=
        SourceDoc->BitmapMatrix[x][y][2]=
        (BYTE)(BitmapMatrix[x][y]/NumberOfImages);
    SourceDoc->UpdateAllViews(NULL);
    return;
}
```

1.4.4 Metoda convoluției și corelației

Convoluția [137], deși implică un proces complex de sondare a imaginii, este foarte simplă. Principial convoluția calculează o nouă valoare a intensității pixelilor din imagine, bazându-se pe vecinii pixelului. Fiecare pixel vecin contribuie cu o pondere proprie la calculul noului pixel. Termenul folosit pentru acest proces este *compensare* și se realizează în convoluție prin folosirea *nucleelor de convoluție*. Fiecare element al unui nucleu de convoluție este numit *coeficient de convoluție*. În figura 1.4.4 este prezentat un exemplu al unui nucleu de filtrare și aplicarea sa la convoluția unei imaginii.

Se poate explica convoluția pe un exemplu simplu. În figura 1.4.4, se remarcă faptul că dimensiunea nucleului de filtrare este 3x3, și că filtrul 3x3 se centrează în

jurul pixelului de calculat. Se mai observă faptul că toți cei opt vecini ai pixelului pot contribui la noua lui valoare. Exemplul prezentat utilizează domeniul filtrelor trece-jos. În filtrarea trece-jos vecinii unui pixel au o mare contribuție la noua lui valoare. Astfel un nucleu de filtrare trece-jos, în acest caz, un nucleu de mediere, se poate prezenta astfel:

$$\begin{array}{r}
 \text{Filtru} = \begin{array}{ccc} f_{-1,-1} & f_{0,-1} & f_{1,-1} \\ f_{-1,0} & f_{0,0} & f_{1,0} \\ f_{-1,1} & f_{0,1} & f_{1,1} \end{array} = \begin{array}{ccc} 1 & 1 & 1 \\ 1 & 1 & 1 \\ 1 & 1 & 1 \end{array} \\
 \text{normalizare} \qquad \qquad \qquad 9
 \end{array}$$

Se observă că noua valoare a pixelului va fi bazată în mod egal pe cei opt pixeli înconjurători și pe vechea valoare a pixelului.

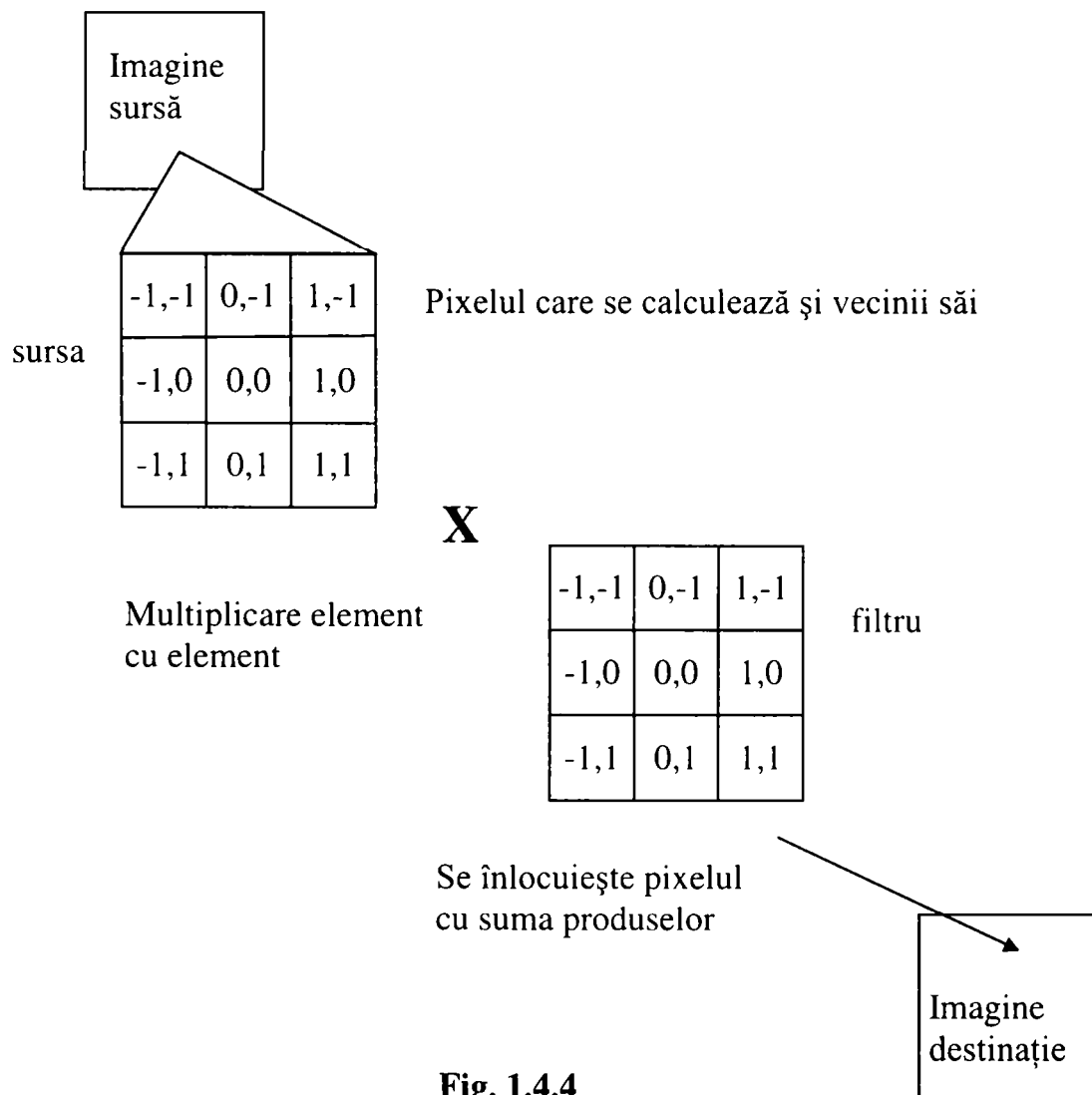


Fig. 1.4.4
Procesul de filtrare prin convoluție

Calculul noului pixel va fi:

$$\begin{aligned} \text{noua_valoare_a_pixelului} = & (f_{-1,-1} * s_{-1,-1}) + (f_{0,-1} * s_{0,-1}) + (f_{1,-1} * s_{1,-1}) + \\ & (f_{-1,0} * s_{-1,0}) + (f_{0,0} * s_{0,0}) + (f_{1,0} * s_{1,0}) + \\ & (f_{-1,1} * s_{-1,1}) + (f_{0,1} * s_{0,1}) + (f_{1,1} * s_{1,1}) \end{aligned}$$

unde s este o parte din imaginea sursei, și f este elementul unui nucleu de filtrare.

O consecință negativă a acestei metode este mărirea luminozității imaginii . Din această cauză trebuie normalizată valoarea pixelului. Pentru a realiza acest lucru trebuie să se împartă noua valoare a pixelului cu o valoare normalizată egală cu numărul coeficienților nucleului. În acest caz, numărul coeficienților nucleului de filtrare este 9, adică:

$$\text{noua valoare a pixelului} = \text{vechea valoare a pixelului} / 9$$

Trebuie remarcat faptul că nucleul de filtrare are coeficienți întregi, și este prezentat cu un factor de normalizare. Rezultă următoarea relație:

$$\begin{array}{ccc|ccc} 1 & 1 & 1 & & 1/9 & 1/9 & 1/9 \\ 1 & 1 & 1 & \longrightarrow & 1/9 & 1/9 & 1/9 \\ 1 & 1 & 1 & & 1/9 & 1/9 & 1/9 \\ 9 & & & & & & \end{array}$$

Mai trebuie remarcat, în legătură cu convoluția, faptul că nucleul de filtrare trebuie să fie impar în ambele dimensiuni (3x3, 5x5) și că nu trebuie să fie pătratic (3x5, 5x9). Un nucleu mai mare va mări și flexibilitatea filtrării, permițând accentuarea anumitor detalii din cadrul imaginii. Se poate privi acum nucleul de filtrare 3x3 ca fiind versiunea unor filtre mult mai mari și mai selective. Intuitiv se poate deja afirma faptul că dacă se folosește un nucleu mai mare într-un filtru trece-jos (de exemplu 5x5 sau 7x7), se va tulbura imaginea mult mai mult decât cu un nucleu de filtrare 3x3.

La filtrele de convoluție, importante sunt condițiile de margine, deoarece nu se poate aplica filtrul peste marginile imaginii (doar dacă se creează o margine falsă). De exemplu, dacă pixelul testat se află la locația (0,44), filtrul utilizat are nevoie de nouă pixeli între coordonatele (-1,43) și (1,45). Deoarece valoarea (-1) pe axa x nu există, și sintetizarea nu se obișnuiește pentru imagini al căror interes este central, se va putea folosi filtrul peste o regiune mai mică cu un pixel înăuntrul imaginii. Astfel, pentru o imagine de 640 x 480, se va calcula un interior de 638 x 478, și se vor copia marginile din imaginea originală în cea nouă.

O altă problemă ce apare când se folosesc nucleele de filtrare, este obținerea de valori negative. Deoarece nucleele de filtrare au în mod normal și coeficienți negativi, este foarte posibil să se obțină intensități negative de pixel în urma calcului. Pentru scopurile urmărite se vor converti toate valorile negative la 0 deoarece în caz contrar ele nu au sens. Alte metode utilizate ar fi folosirea valorii absolute a noii intensități sau adunarea de ofseturi pentru a se asigura obținerea de rezultate pozitive sau nule.

Mai este important de subliniat procedeul de scalare prin însumare, în care majoritatea coeficienților nucleelor de filtrare, conduc la 0 sau 1. În figura 1.4.5 este prezentat un filtru unitate care întoarce imaginea originală înapoi (un filtru trece-tot la care doar pixelii testați contribuie la rezultat). De remarcat că suma lui, ca și a majorității filtrelor trece-jos sau trece-sus este 1. La filtrul utilizat trece-jos prezentat anterior, dacă se adună coeficienții nucleului se obține 9. Dacă astfel de numere se aplică peste întreaga imagine, aceasta se va albi foarte repede.

Așa cum s-a menționat soluția este scalarea valorilor înapoi. La filtrul trece-jos din exemplu s-au adunat coeficienții și s-a împărțit noua valoare cu numărul coeficienților. Acesta este un procedeu tipic, în special pentru filtrele trece-jos, unde se adună contribuțiile mai multor pixeli înconjurători.

```

0    0    0
0    1    0
0    0    0
1

```

Fig. 1.4.5

Nucleul de filtrare spațial unitate (suma egală cu 1)

Implementarea acestui filtru este prezentată prin următoarea funcție:

```

void CMainFrame::OnToolsSmoothingConvolution()
{
    CConvolutionDlg    c_dlg;
    CROBOVIEWDoc      *SourceDoc;
    CROBOVIEWDoc      *DestinDoc;
    short              x,y;
    short              DestinValue;
    short              NormalizationFactor;

    c_dlg.m_C1=c_dlg.m_C2=c_dlg.m_C3=1;
    c_dlg.m_C4=c_dlg.m_C5=c_dlg.m_C6=1;
    c_dlg.m_C7=c_dlg.m_C8=c_dlg.m_C9=1;
    if(c_dlg.DoModal() != IDOK)

```

```

return;
SourceDoc = GetActiveSourceDocument();
DestinDoc = OpenNewDestinationDocument(SourceDoc->BitmapColorType);
NormalizationFactor = c_dlg.m_C1+c_dlg.m_C2+c_dlg.m_C3+
                    c_dlg.m_C4+c_dlg.m_C5+c_dlg.m_C6+
                    c_dlg.m_C7+c_dlg.m_C8+c_dlg.m_C9;
for(x=1;x<Xmax-1;x++)
for(y=1;y<REALYMAX-1;y++)
{
DestinValue = SourceDoc->BitmapMatrix[x-1][y-1][0]*c_dlg.m_C1;
DestinValue += SourceDoc->BitmapMatrix[x ][y-1][0]*c_dlg.m_C2;
DestinValue += SourceDoc->BitmapMatrix[x+1][y-1][0]*c_dlg.m_C3;
DestinValue += SourceDoc->BitmapMatrix[x-1][y][0]*c_dlg.m_C4;
DestinValue += SourceDoc->BitmapMatrix[x ][y][0]*c_dlg.m_C5;
DestinValue += SourceDoc->BitmapMatrix[x+1][y][0]*c_dlg.m_C6;
DestinValue += SourceDoc->BitmapMatrix[x-1][y+1][0]*c_dlg.m_C7;
DestinValue += SourceDoc->BitmapMatrix[x ][y+1][0]*c_dlg.m_C8;
DestinValue += SourceDoc->BitmapMatrix[x+1][y+1][0]*c_dlg.m_C9;
if(DestinValue < 0)
DestinValue = 0;
else
DestinValue = (BYTE)((double)DestinValue/NormalizationFactor);
DestinDoc->BitmapMatrix[x][y][0]=DestinDoc->BitmapMatrix[x][y][1]=
DestinDoc->BitmapMatrix[x][y][2] = (BYTE)DestinValue;
}
}

```

1.4.5 Metoda filtrelor spațiale trece-jos

Un filtru trece-jos lasă să treacă doar componentele de frecvență joasă dintr-o imagine atenuându-le pe cele înalte [24]. Aceste filtre sunt folosite de obicei pentru eliminarea zgomotului dintr-o imagine, în cazul în care unde zgomotul are lățimea echivalentă a 1 sau maxim 2 pixeli. O diagramă a unui filtru trece-jos este prezentată în figura 1.4.6.

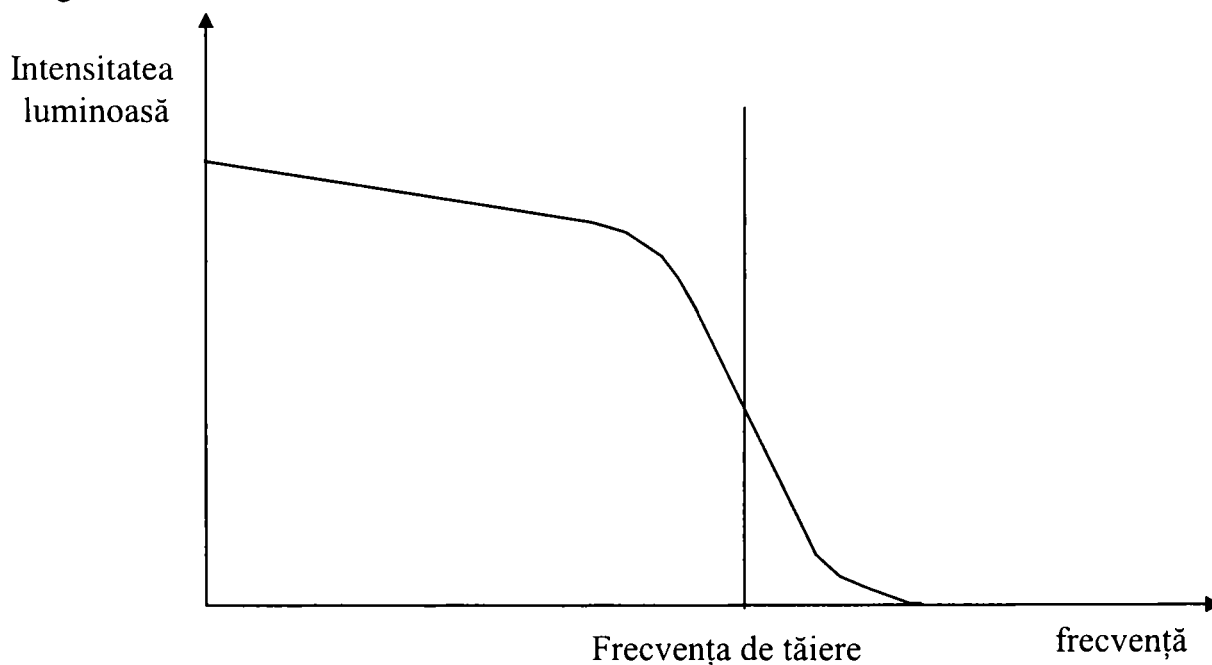


Fig. 1.4.6
Diagrama unui filtru trece-jos

Frecvența de tăiere (frecvență la care filtrul oprește semnalul sau informația de imagine) din figura 1.4.6 este determinată de dimensiunea nucleului de filtrare și de coeficienții nucleului. Coeficienții nucleului pentru un filtru trece-jos dau întotdeauna o sumă mai mare decât 1. Această sumă este ulterior normalizată, astfel încât coeficienții reprezintă un procent din contribuția aceluși pixel la noul pixel. În figura 1.4.7 se prezintă un tabel cu cele mai comune nuclee de filtrare trece-jos.

1 1 1	1 1 1	1 1 1	1 1 1	1 2 1
1 1 1	1 2 1	1 4 1	1 12 1	2 4 2
1 1 1	1 1 1	1 1 1	1 1 1	1 2 1
9	10	12	20	16
Media	TJ1	TJ2	TJ3	Gauss

Fig. 1.4.7

Filtre spațiale trece-jos (suma normalizată = 1)

Funcțional, aceste filtre se folosesc în zonele imaginii în care există variații mici ale culorii. În timp ce filtrul parcurge o astfel de zonă, compensarea făcută de pixelii vecini conduce spre o nouă valoare a pixelului, foarte apropiată de cea veche. Aceasta se întâmplă deoarece pixelul și vecinii lui sunt foarte apropiați ca valoare.

Pentru acest motiv atenția se va fixa asupra contribuției procentuale a fiecărui pixel la noua valoare de pixel, însemnând că fiecare pixel contribuie cu ponderea egală cu $1/(\text{numărul coeficienților})$. Filtrul utilizat va menține componentele de frecvență joasă din imagine. Apoi, se mută filtrul peste o parte a imaginii cu mai multe schimbări. În acest caz se vede cum funcționează în realitate filtrul. Zonele cu o mare schimbare de intensitate de la un pixel la altul se mediază cu pixelii vecini, astfel că se obține un conținut redus de înaltă frecvență al imaginii. Rezultatul este o tulburare și o finisare a imaginii, eliminându-se zgomotele.

Doi pași importanți trebuie urmați pentru a face ca utilizarea filtrului trece-jos (care tulbură imaginea) să îi mărească, de fapt, contrastul. Se va vedea în cele ce urmează că făcând diferența dintre imaginea originală și cea filtrată, se mărește contrastul imaginii.



Fig. 1.4.8
 (a) Imagine originală; (b) Imaginea filtrată cu filtrul TJI

1.4.6 Metoda filtrelor spațiale trece-sus

Filtrele trece-sus se folosesc pentru a amplifica detaliile de înaltă frecvență dintr-o imagine, în timp ce integritatea frecvențelor joase rămâne nemodificată [24]. Cu filtrele trece-sus părțile de înaltă frecvență din imagine vor deveni mai luminoase în timp ce cele de joasă frecvență vor deveni mai întunecate. Contrastul imaginii va crește de obicei, cu un efect negativ asupra amplificării zgomotului. În figura 1.4.9 este prezentată o diagramă a unui filtru trece-sus, iar în figura 1.4.10 sunt prezentate mai multe nuclee de filtre trece-sus.

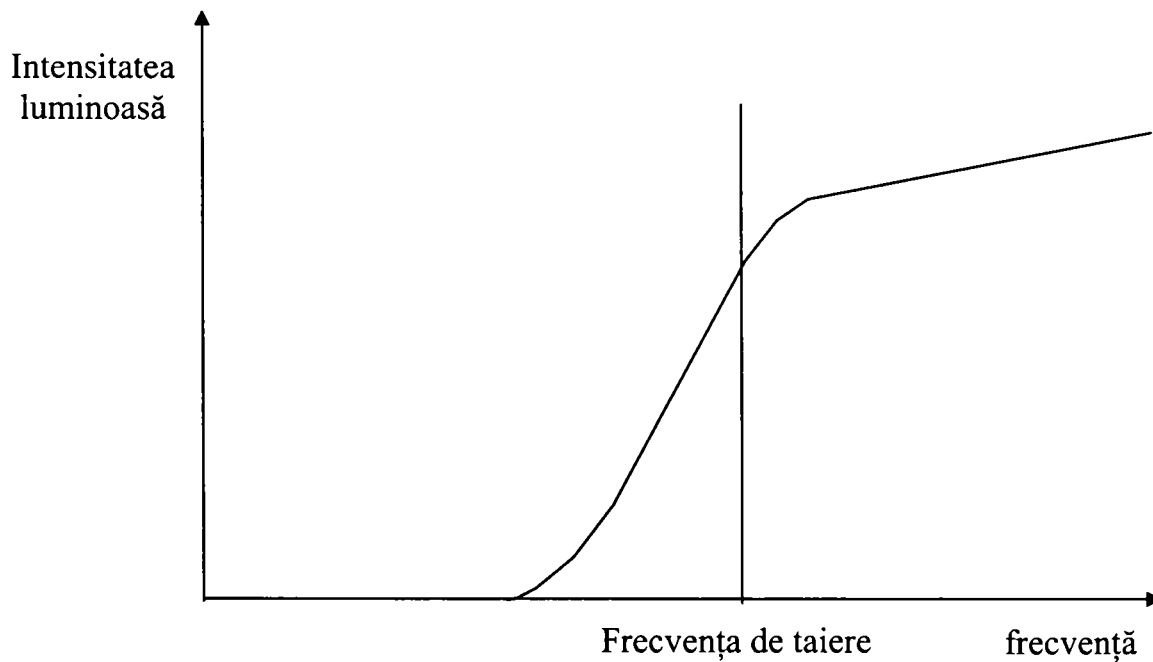


Fig. 1.4.9
 Diagrama unui filtru trece-sus

-1 -1 -1	0 -1 0	1 -2 1	0 -1 0
-1 9 -1	-1 5 -1	-2 5 -2	-1 20 -1
-1 -1 -1	0 -1 0	1 -2 1	0 -1 0
Eliminarea valorii	HP1	HP2	HP3

Fig. 1.4.10

Filtre spațiale trece-sus (suma normalizată = 1)

Ca și în cazul filtrelor trece-jos, înțelegerea conceptului de filtrare cu nucleu stă la baza modificărilor necesare pentru acest scop specific.

Filtrele trece-sus au în general coeficienții centrali din nuclee foarte mari. În timp ce aceste centre se deplasează peste o imagine ce prezintă variații de la un pixel la altul, noua valoare a pixelului este multiplicată de multe ori. Coeficienții mici negativi sunt folosiți pentru a nega efectul factorilor centrali de compensare mari. Aceste zone cu variații mari ale intensității pixelilor, vor fi accentuate în timp ce celelalte vor rămâne nemodificate.



Fig. 1.4.11

(a) Imagine originală; (b) Imaginea filtrată cu filtrul TS1

1.4.7 Metoda convoluției încrucișate folosind un filtru Gauss

Până acum, s-a tratat convoluția ca un proces constând dintr-o singură operație. Adică, se realiza convoluția cu două mulțimi de numere: un grup de pixeli din imagine și un nucleu de filtrare. Se poate însă folosi convoluția imaginii rând cu rând cu un filtru unidimensional, după care se va aplica filtrul, coloană cu coloană, pe noua imagine. Acest procedeu de aplicare a două convoluții unidimensionale succesive este numită *convoluție încrucișată*.

Se va prezenta un exemplu simplu de convoluție încrucișată folosind curba lui Gauss. Astfel, se presupune că o suprafață este creată din această formă de clopot cu ecuațiile:

$$z = e^{-\frac{x^2 + y^2}{2\sigma^2}} \quad (1.4.7)$$

unde σ este abaterea medie pătratică.

Se remarcă faptul că este nevoie de un nucleu de filtrare foarte mare pentru a reprezenta aceasta ca un filtru. Deoarece timpul de calcul necesar pentru multiplicarea unei reprezentări rezonabile a nucleului de filtrare cu imaginea, este proporțional cu pătratul dimensiunii matricii, se va aplica metoda convoluției încrucișate.

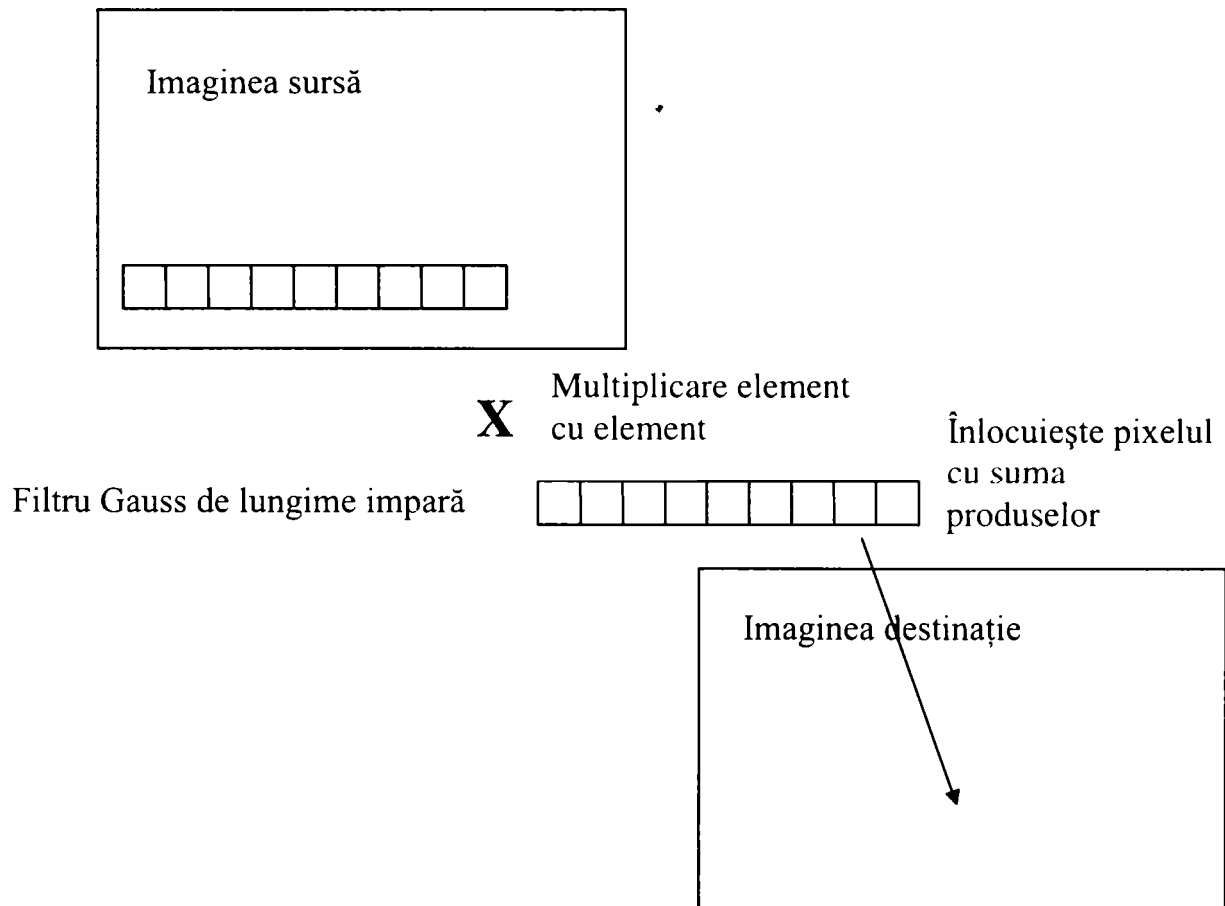


Fig. 1.4.12
Convoluția încrucișată

Din cauză că forma profilului filtrului este aceeași și pe axa x și pe axa y, se poate aplica același filtru de-a lungul rândurilor și apoi de-a lungul coloanelor, și se vor obține rezultatele dorite.

Un grafic al folosirii convoluției încrucișate este prezentat în figura 1.4.12.

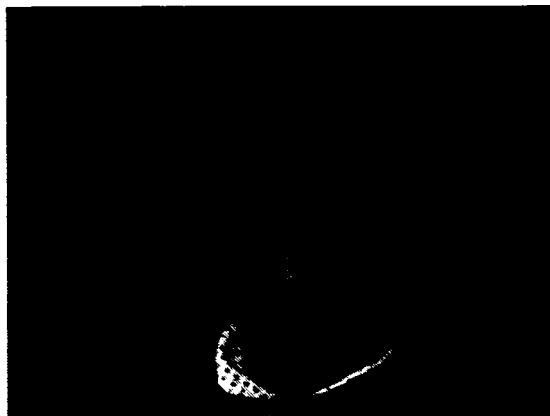
Așa cum este de așteptat, acest filtru este folosit pentru finisarea și tulburarea imaginii. Cu cât σ este mai mare în ecuația precedentă, cu atât imaginea va fi mai tulburată. Aceasta apare deoarece un pixel aflat la distanță de pixelul testat va deveni mai important (din cauză că valoarea nucleelor de filtrare vor fi mai mari, acești pixeli îndepărtați vor avea o pondere mai mare). Se va folosi un astfel de filtru când se va dori mărirea contrastului unei imagini scăzând imaginea rezultat din imaginea originală.

1.4.8 Metoda filtrelor minim și maxim

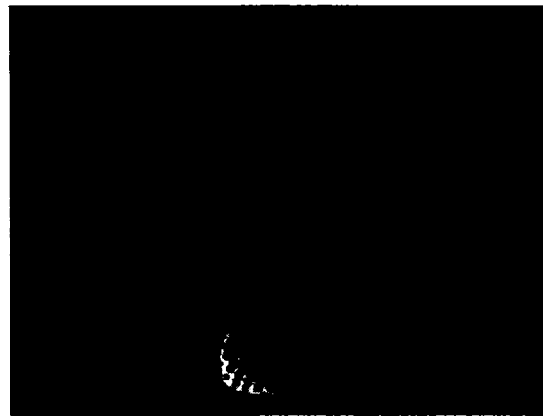
În mod similar cu filtrul median, se vor sorta valorile pixelilor de la cel mai mare la cel mai mic [137]. În schimb pentru calculul noii valori, se vor folosi valorile extreme. Pentru filtrul minim se va folosi valoarea cea mai mică ca și noua valoare filtrată. Pentru filtrul maxim se va folosi valoarea cea mai mare pentru noua valoare filtrată. Filtrul minim se mai numește și *filtru de compresie* sau *filtru de eroziune*, deoarece multiple aplicări ale acestui filtru vor cauza o scădere a intensității conturului obiectelor din cadrul imaginii. Astfel, acestea par că se erodează. Pe de altă parte, filtrul maxim se mai numește *filtru de decompresie* sau de *expansiune*, deoarece aplicări succesive ale acestui filtru vor cauza o creștere a intensității conturilor obiectelor din cadrul imaginii. Astfel, dimensiunile obiectelor vor părea mărite.

O tehnică simplă care folosește atât filtrul minimal cât și pe cel maximal se numește *închidere*. Într-o închidere se aplică în primul rând filtrul minimal pentru eliminarea zgomotului. Acest filtru afectează intensitatea informației utile din imagine. Pentru a contracara acest fenomen se aplică după aceea filtrul maximal pentru a readuce intensitatea la locul ei. Rezultatul este eliminarea zgomotului.

O altă tehnică simplă ce folosește ambele filtre se numește *deschidere*. Într-o deschidere se aplică mai întâi filtrul maximal pentru a mări dimensiunile și pentru a vedea mai multe detalii. Acest filtru va afecta intensitatea unor părți din imaginea utilă. Pentru a contracara acest efect se va aplica filtrul minimal pentru a micșora intensitatea în zonele utile ale imaginii. Rezultatul este de obicei o expansiune a imaginii.



(a)



(b)



(c)

Fig. 1.4.13

- (a) Imaginea originală
- (b) Aplicarea filtrului minim
- (c) Aplicarea filtrului maxim

Implementarea acestui filtru este identică cu cea a filtrului median, cu excepția selecției finale care se va realiza în acest caz în punctul de intensitate minimă sau maximă.

1.4.9 Metoda filtrării imaginilor binare

Imaginile binare rezultă în urma folosirii luminii din spatele obiectului, a unei lumini structurate, în urma unui proces de detecție de contur sau de folosire a unui prag, etc. Se folosește convenția că punctele întunecate sunt reprezentate prin 1 iar cele luminoase prin 0. Astfel, deoarece imaginile binare sunt bazate doar pe două valori, zgomotul va produce diferite efecte ca : contururi neregulate, mici găuri, colțuri lipsă și puncte izolate.

Ideea care stă la baza acestei metode este specificarea unei funcții booleene evaluată pe o vecinătate centrată pe un pixel p , și atribuirea de 1 sau 0 lui p , în funcție de aranjamentul spațial și de valorile binare ale vecinilor lui. Datorită limitării timpului de procesare în aplicațiile de vedere industrială, analiza este de obicei

limitată la cei 8 vecini ai lui p , aceasta conducând la o mască 3x3 ca și cea din figura 1.4.14.

a	b	c
d	p	e
f	g	h

Fig. 1.4.14
Vecinii lui p folosiți pentru filtrarea imaginilor binare

Procedeul de filtrare cuprinde următorii pași [122], [129], [144], [145]:

1. Umple găurile de dimensiunea unui pixel într-o zonă normal întunecată
2. Umple micile crestături dintr-un segment de contur drept
3. Elimină punctele întunecate singulare
4. Elimină micile umflături de-a lungul segmentelor de contur drepte
5. Înlocuiește punctele din colțurile lipsă

Relativ la figura 1.4.14, primii doi pași în procesul de filtrare se realizează folosind următoarea expresie booleană [122]:

$$B_1 = p + b \bullet g \bullet (d + e) + d \bullet e \bullet (b + g) \quad (1.4.8)$$

unde " \bullet " și "+" se referă la operațiile logice ȘI respectiv SAU.

Folosind convențiile stabilite anterior, un pixel întunecat conținut în suprafața de mascare are valoarea 1 iar un pixel luminos are valoarea logică 0. Astfel dacă $B_1=1$, se va atribui valoarea 1 lui p , în caz contrar acest pixel va lua valoarea 0. Relația (1.4.8) este aplicată tuturor pixelilor simultan, în sensul că noua valoare a fiecărei locații de pixel este determinată înainte ca oricare dintre pixeli să fie modificați.

Pașii (3) și (4) din procesul de filtrare sunt realizați evaluând următoarea expresie booleană

$$B_2 = p \bullet [(a + b + d) \bullet (e + g + h) + (b + c + e) \bullet (d + f + g)] \quad (1.4.9)$$

simultan pentru toți pixelii. Ca mai sus, p va lua valoarea 1 dacă $B_2=1$ și 0 în caz contrar.

Punctele lipsă din colțurile dreapta sus sunt umplute utilizând expresia:

$$B_3 = \bar{p} \bullet (d \bullet f \bullet g) \bullet \overline{(a + b + c + e + h)} + p \quad (1.4.10)$$

unde bara de deasupra are semnificația complementului logic al mulțimii respective.

							1		
		1	1		1	1	1		
		1	1	1	1	1	1	1	
1			1	1	1		1		
		1	1	1	1	1	1		
		1	1	1	1	1	1		
		1	1	1	1	1			
			1						1
1									

(a)

							1		
		1	1	1	1	1	1		
		1	1	1	1	1	1	1	
1		1	1	1	1	1	1		
		1	1	1	1	1	1		
		1	1	1	1	1	1		
		1	1	1	1	1			
			1						1
1									

(b)

		1	1	1	1	1	1		
		1	1	1	1	1	1		
		1	1	1	1	1	1		
		1	1	1	1	1	1		
		1	1	1	1	1	1		
		1	1	1	1	1			

(c)

		1	1	1	1	1	1		
		1	1	1	1	1	1		
		1	1	1	1	1	1		
		1	1	1	1	1	1		
		1	1	1	1	1	1		
		1	1	1	1	1	1		
		1	1	1	1	1	1		

(d)

Fig. 1.4.15

(a) Imaginea originală ; (b) Rezultatul aplicării lui B_1 ; (c) Rezultatul aplicării lui B_2 ; (d) Rezultatul final după aplicarea lui B_3 până la B_6 .

Similar, colțurile lipsă din dreapta jos, stânga sus și stânga jos sunt umplute utilizând expresiile :

$$B_4 = \bar{p} \cdot (a \cdot b \cdot d) \cdot \overline{(c + e + f + g + h)} + p \quad (1.4.11)$$

$$B_5 = \bar{p} \cdot (e \cdot g \cdot h) \cdot \overline{(a + b + c + d + f)} + p \quad (1.4.12)$$

$$B_6 = \bar{p} \cdot (b \cdot c \cdot e) \cdot \overline{(a + d + f + g + h)} + p \quad (1.4.13)$$

Relațiile 1.4.10-1.4.13 implementează pasul (5) din procedura de filtrare.

Conceptele prezentate sunt ilustrate în figura 1.4.15. Figura 1.4.15,a reprezintă o imagine binară zgomotoasă, iar figura 1.4.15,b reprezintă rezultatul aplicării expresiei B_1 . Se remarcă faptul că lipsurile din contur și găurile din regiunea întunecată sunt umplute. Figura 1.4.15,c reprezintă rezultatul aplicării lui B_2 imaginii 1.4.15,b. Așa cum era de așteptat umflăturile de-a lungul conturului și punctele izolate sunt îndepărtate. În final figura 1.4.15,d reprezintă rezultatul aplicării expresiilor B_3 - B_6 asupra imaginii din 1.4.15,c. Doar B_4 are efect în acest caz particular.

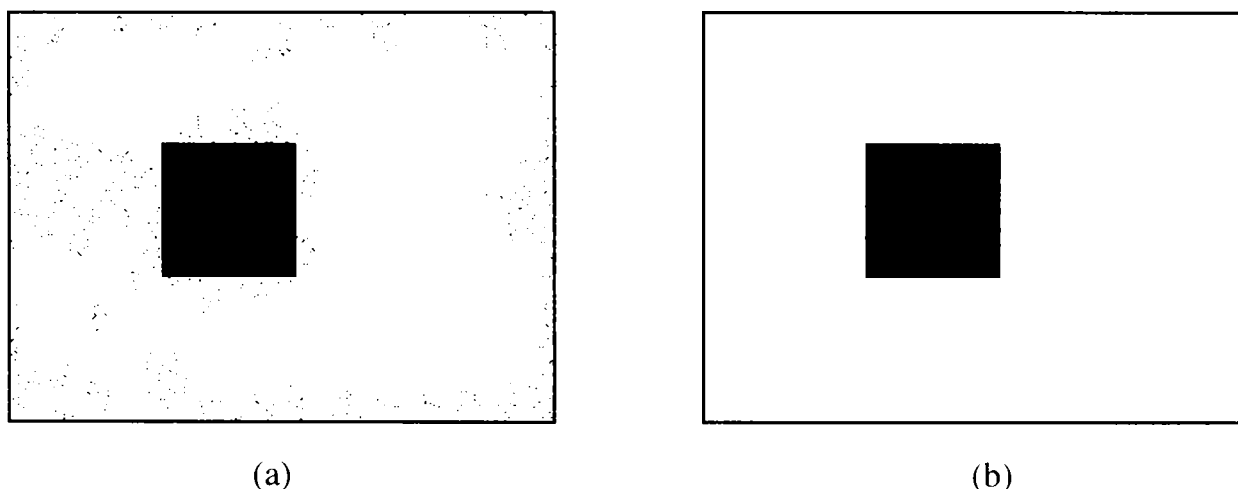


Fig. 1.4.16

(a) Imagine binară cu zgomot

(b) Imagine filtrată binar

Implementarea acestui filtru este prezentată prin următoarea funcție:

```
void CMainFrame::SmoothingBinaryImages(BOOL NewDocument)
{
    CROBOVIEWDoc *SourceDoc;
    CROBOVIEWDoc *DestinDoc;
    BinaryErrorDlg be_dlg;
    BOOL BitmapMatrix1[320][240];
    BOOL BitmapMatrix2[320][240];
    short x,y;
    SourceDoc = GetActiveSourceDocument();
    if(SourceDoc->BitmapColorType != BINARY)
```

```

{
    be_dlg.DoModal();
    return;
}
for(x=0;x<Xmax;x++)
    for(y=0;y<REALYMAX;y++)
        if(SourceDoc->BitmapMatrix[x][y][0] == 0)
            BitmapMatrix1[x][y] = BitmapMatrix1[x][y] = BitmapMatrix1[x][y] = 1;
        else
            BitmapMatrix1[x][y] = BitmapMatrix1[x][y] = BitmapMatrix1[x][y] = 0;
for(x=0;x<Xmax;x++)
    for(y=0;y<REALYMAX;y++)
/*B1*/ BitmapMatrix2[x][y]=BitmapMatrix1[x][y] || (BitmapMatrix1[x][y-1] &&
        BitmapMatrix1[x][y+1] && (BitmapMatrix1[x-1][y] || BitmapMatrix1[x+1][y])) ||
        (BitmapMatrix1[x-1][y] && BitmapMatrix1[x+1][y] && (BitmapMatrix1[x][y-1] ||
        BitmapMatrix1[x][y+1]));
for(x=0;x<Xmax;x++)
    for(y=0;y<REALYMAX;y++)
/*B2*/ BitmapMatrix1[x][y] = BitmapMatrix2[x][y] && (((BitmapMatrix2[x-1][y-1] ||
        BitmapMatrix2[x][y-1] || BitmapMatrix2[x-1][y]) && (BitmapMatrix2[x+1][y] ||
        BitmapMatrix2[x][y+1] || BitmapMatrix2[x+1][y+1])) || ((BitmapMatrix2[x][y-1] ||
        BitmapMatrix2[x+1][y-1] || BitmapMatrix2[x+1][y]) && (BitmapMatrix2[x-1][y] ||
        BitmapMatrix2[x-1][y+1] || BitmapMatrix2[x][y+1]]));
for(x=0;x<Xmax;x++)
    for(y=0;y<REALYMAX;y++)
/*B3*/ BitmapMatrix2[x][y] = !BitmapMatrix1[x][y] && BitmapMatrix1[x-1][y] &&
        BitmapMatrix1[x-1][y+1] && BitmapMatrix1[x][y+1] && (!(BitmapMatrix1[x-1][y-1] ||
        BitmapMatrix1[x][y-1] || BitmapMatrix1[x+1][y-1] || BitmapMatrix1[x+1][y] ||
        BitmapMatrix1[x+1][y+1])) || BitmapMatrix1[x][y];
for(x=0;x<Xmax;x++)
    for(y=0;y<REALYMAX;y++)
/*B4*/ BitmapMatrix1[x][y] = !BitmapMatrix2[x][y] && BitmapMatrix2[x-1][y-1] &&
        BitmapMatrix2[x][y-1] && BitmapMatrix2[x-1][y] && (!(BitmapMatrix2[x+1][y-1] ||
        BitmapMatrix2[x+1][y] || BitmapMatrix2[x-1][y+1] || BitmapMatrix2[x][y+1] ||
        BitmapMatrix2[x+1][y+1])) || BitmapMatrix2[x][y];
for(x=0;x<Xmax;x++)
    for(y=0;y<REALYMAX;y++)
/*B5*/ BitmapMatrix2[x][y] = !BitmapMatrix1[x][y] && BitmapMatrix1[x+1][y] &&
        BitmapMatrix1[x][y+1] && BitmapMatrix1[x+1][y+1] && (!(BitmapMatrix1[x-1][y-1] ||
        BitmapMatrix1[x][y-1] || BitmapMatrix1[x+1][y-1] || BitmapMatrix1[x-1][y] ||
        BitmapMatrix1[x-1][y+1])) || BitmapMatrix1[x][y];
for(x=0;x<Xmax;x++)
    for(y=0;y<REALYMAX;y++)
/*B6*/ BitmapMatrix1[x][y] = !BitmapMatrix2[x][y] && BitmapMatrix2[x][y-1] &&
        BitmapMatrix2[x+1][y-1] && BitmapMatrix2[x+1][y] && (!(BitmapMatrix2[x-1][y-1] ||
        BitmapMatrix2[x-1][y] || BitmapMatrix2[x-1][y+1] || BitmapMatrix2[x][y+1] ||
        BitmapMatrix2[x+1][y+1])) || BitmapMatrix2[x][y];
if(NewDocument)
    DestinDoc = OpenNewDestinationDocument(SourceDoc->BitmapColorType);
else
    DestinDoc = SourceDoc;
for(x=0;x<Xmax;x++)
    for(y=0;y<REALYMAX;y++)
        if(BitmapMatrix1[x][y] == 0)
            DestinDoc->BitmapMatrix[x][y][0] = DestinDoc->BitmapMatrix[x][y][1] =
                DestinDoc->BitmapMatrix[x][y][2] = 255;
        else
            DestinDoc->BitmapMatrix[x][y][0] = DestinDoc->BitmapMatrix[x][y][1] =
                DestinDoc->BitmapMatrix[x][y][2] = 0;
}

```

1.5 Îmbunătățirea imaginii

Una din principalele dificultăți apărute în multe din aplicațiile vederii artificiale este aceea de a se putea adapta automat la schimbările de iluminare. Trebuie subliniat faptul că îmbunătățirea este o parte principală din cadrul procesării digitale a imaginii, și că discuția asupra acesteia se va limita doar la tehnicile aplicabile în realitate în vederea artificială, adică la viteza de procesare mare și necesități hardware minime. Există două abordări posibile de îmbunătățire a imaginii [98],[108]:

- Globală, care lucrează cu întreaga imagine
- Locală, care lucrează pe zone mici de imagine, ce au caracteristici diferite de cele ale restului imaginii.

În ambele variante se utilizează două metode principale de îmbunătățire:

- Egalizarea histogramei, care încearcă să realizeze răspândirea uniformă a valorilor de intensitate pe întreg spectrul disponibil
- Specificarea histogramei, care încearcă să realizeze scoaterea în evidență a anumitor nivele de intensitate ce se cunosc „a priori”.

1.5.1 Egalizarea histogramei

Se consideră că r reprezintă intensitatea pixelilor dintr-o imagine ce trebuie îmbunătățită. Se presupune că inițial r este normalizată și continuă în intervalul $0 \leq r \leq 1$. Cazul discret se va lua în considerare ulterior.

Pentru orice r din intervalul $[0,1]$, atenția se va focaliza asupra unor transformări de tipul :

$$s = T(r) \quad (1.5.1)$$

care determină o valoare a intensității s pentru fiecare valoare de pixel r din imaginea originală. Se presupune că funcția de transformare T satisface următoarele condiții:

1. $T(r)$ are o valoare unică și crește monoton pe intervalul $0 \leq T(r) \leq 1$.
2. $0 \leq T(r) \leq 1$ pentru $0 \leq r \leq 1$.

Condiția 1 menține ordinea de la negru la alb pe scara de intensitate, iar cea de-a doua condiție garantează o mapare care este în concordanță cu domeniul $[0,1]$ permis

pentru valorile de pixel. O funcție de transformare ce satisface aceste condiții este cea din figura 1.5.1.

Funcția de transformare inversă de la s la r este data de relația:

$$r = T^{-1}(s) \quad (1.5.2)$$

unde se presupune ca $T^{-1}(s)$ satisface de asemenea cele două condiții menționate.

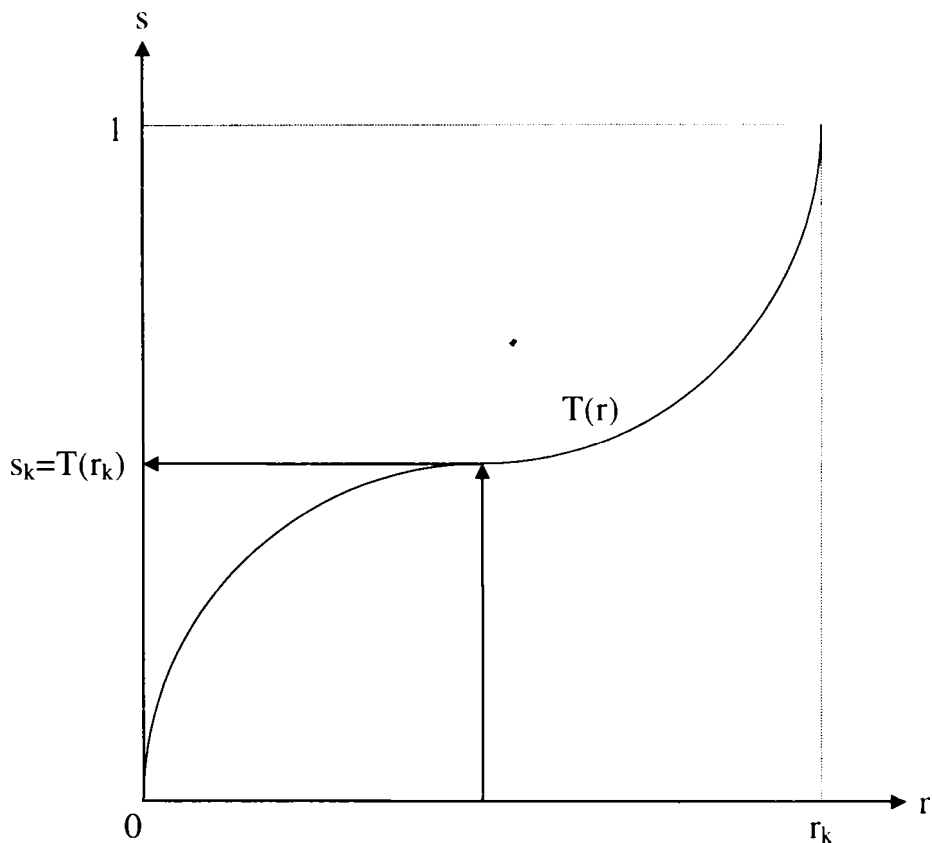


Fig. 1.5.1
Funcția de transformare a intensității

Variabilele de intensitate r și s sunt cantități aleatoare în intervalul $[0,1]$ și, din această cauză, sunt caracterizate de funcțiile de densitatea de probabilitate (FDP): $p_r(r)$ și $p_s(s)$.

Prin prisma acestor funcții rezultă multe informații despre intensitatea unei imagini. De exemplu, o imagine cu pixelii având o funcție de densitate a probabilității ca cea din figura 1.5.2,a va avea o caracteristică întunecată, deoarece majoritatea valorilor de pixeli sunt concentrate spre partea întunecată a scării intensității. Pe de altă parte, o imagine cu un FDP ca cel din figura 1.5.2,b va avea predominant o luminozitate mare.

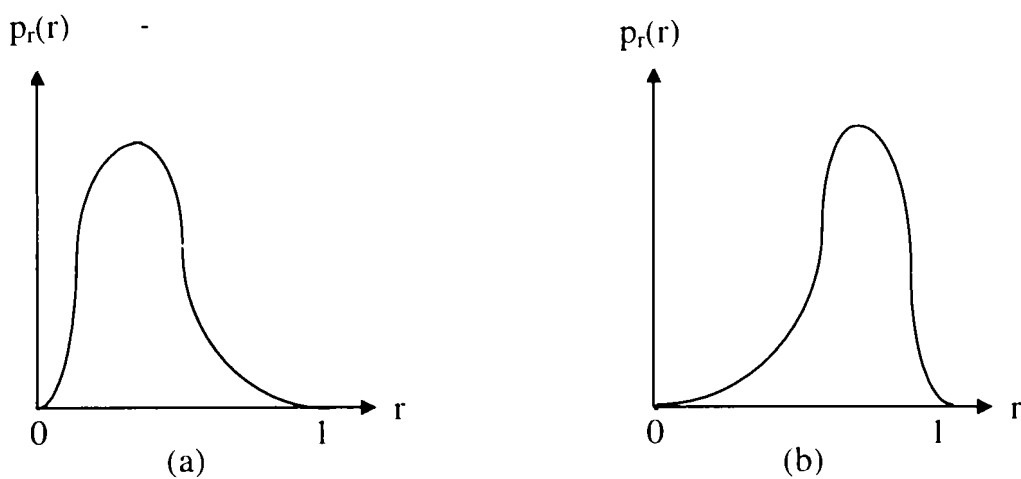


Fig. 1.5.2

(a) FDP pentru o imagine întunecată. (b) FDP pentru o imagine luminoasă

Din teoria probabilității [135], [138], rezultă că dacă $p_r(r)$ și $T(r)$ sunt cunoscuți, și $T^{-1}(r)$ satisface condiția 1, atunci FDP a transformatei intensității este dată de [3] :

$$p_s(s) = \left[p_r(r) \frac{dr}{ds} \right]_{r=T^{-1}(s)} \quad (1.5.3)$$

Se alege o funcție de transformare specifică data de relația:

$$s = T(r) = \int_0^r p_r(w) dw \quad 0 \leq r \leq 1 \quad (1.5.4)$$

unde w este o variabilă oarecare de integrare. Partea din dreapta a ecuației se numește **funcția de distribuție cumulativă** a lui $p_r(r)$, care se știe că satisface cele două condiții menționate. Derivata lui s în raport cu r pentru aceasta funcție de transformare specială este:

$$\frac{ds}{dr} = p_r(r) \quad (1.5.5)$$

Înlocuirea derivatei (1.5.5) în ecuația (1.5.3) conduce la:

$$p_s(s) = \left[p_r(r) \frac{1}{p_r(r)} \right]_{r=T^{-1}(s)} = [1]_{r=T^{-1}(s)} = 1 \quad 0 \leq s \leq 1 \quad (1.5.6)$$

ceea ce indică o densitate uniformă pe intervalul de definiție al variabilei transformate s . De remarcat este faptul că rezultatul este independent de inversa funcției de

transformare. Această proprietate este importantă deoarece de obicei este foarte dificilă determinarea analitică a lui $T^{-1}(s)$. De asemenea este de remarcă faptul că folosind funcția de transformare dată de ecuația (1.5.4) vor rezulta intensități transformate care au întotdeauna un FDP liniar, independent de forma lui $p_r(r)$, această proprietate fiind ideală pentru îmbunătățirea imaginii în mod automat. Efectul net al acestei transformări este echilibrarea distribuției de intensități. Acest proces poate avea un efect dramatic asupra aspectului unei imagini.

În scopul utilizării pentru procesarea digitală, conceptele dezvoltate mai sus trebuie să fie formulate într-o formă discretă. Pentru intensități ce iau valori discrete se va lucra cu probabilități date de relația:

$$p_r(r_k) = \frac{n_k}{n} \quad 0 \leq r_k \leq 1 \quad (1.5.7)$$

$$k=0,1,2,\dots,L-1$$

unde :

- L este numărul de nivele discrete ale intensității
- $p_r(r_k)$ este o estimare a probabilității intensității r_k
- n_k este numărul de apariții a acestei intensități în imagine
- n este numărul total de pixeli din imagine

Un grafic a lui $p_r(r_k)$ în funcție de r_k reprezintă o **histogramă**, iar tehnica folosită pentru obținerea unei histograme uniforme este cunoscută ca **egalizarea histogramei** sau **liniarizarea histogramei**.

Forma discretă a ecuației (1.5.3) este dată de

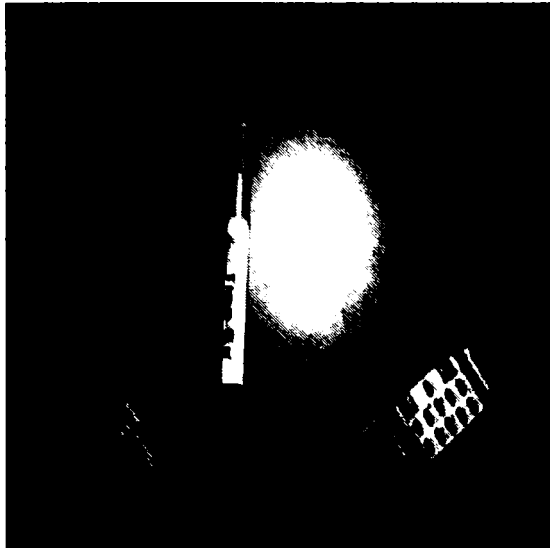
$$s_k = T(r_k) = \sum_{j=0}^k \frac{n_j}{n} = \sum_{j=0}^k p_r(r_j) \quad (1.5.8)$$

pentru $0 \leq r_k \leq 1$ și $k=0,1,2,\dots,L-1$. Din această ecuație rezultă că pentru a obține valoarea s_k corespunzătoare lui r_k , vor trebui doar adunate componentele histogramei de la 0 la r_k .

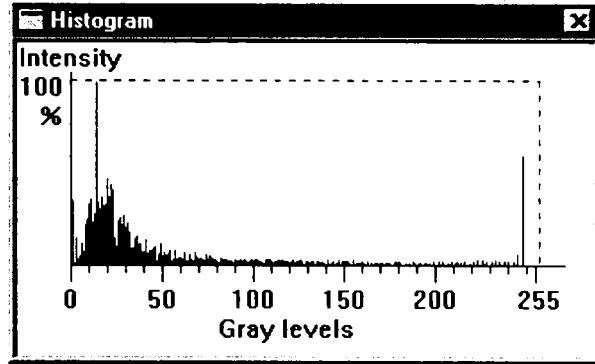
Transformata inversă discretă este dată de relația

$$r_k = T^{-1}(s_k) \quad 0 \leq s_k \leq 1 \quad (1.5.9)$$

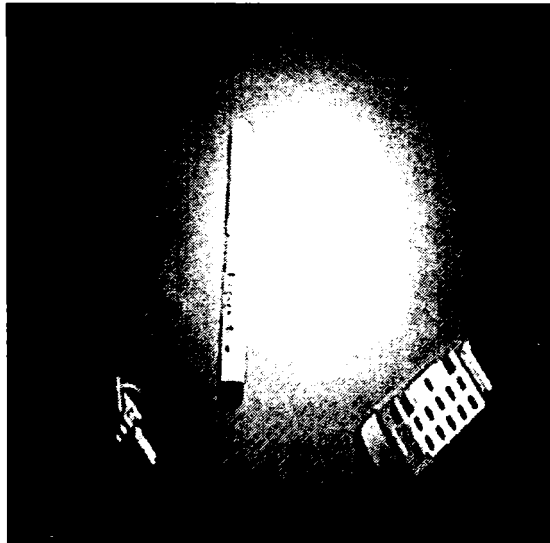
unde atât $T(r_k)$ cât și $T^{-1}(s_k)$ se presupune că satisfac condițiile 1 și 2 valabile pentru funcția definită prin relația (1.5.1). Deși $T^{-1}(s_k)$ nu se folosește în egalizarea histogrammei, ea joacă un rol important în specificarea histogrammei.



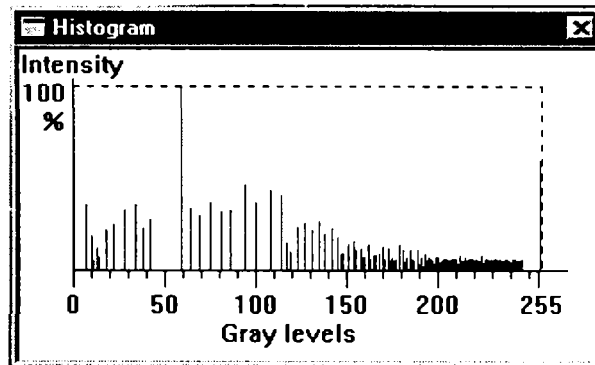
(a)



(b)



(c)



(d)

Fig. 1.5.3

- (a) Imagine dominată de un puternic spot luminos
- (b) Histograma imaginii (a)
- (c) Imagine cu histogramă egalizată
- (d) Histograma imaginii (c)

Implementarea acestui algoritm s-a realizat prin funcția:

```
void CMainFrame::OnToolsEnhancementHistogramequalization()
{
    CROBOVIEWDoc *SourceDoc;
    CROBOVIEWDoc *DestinDoc;
    long          nk[256];
    double        Pk[256],sk[256];
    short         sk1[256];
    short         x,y;
    long          n;

    SourceDoc = GetActiveSourceDocument();
    DestinDoc = OpenNewDestinationDocument(SourceDoc->BitmapColorType);
    memset(nk,0,sizeof(nk));
    for(x=0;x<Xmax;x++)
        for(y=0;y<REALYMAX;y++)
            nk[SourceDoc->BitmapMatrix[x][y][0]]++;
    n = Xmax * REALYMAX;
    for(x=0;x<256;x++)
        Pk[x] = (double)((double)nk[x]/(double)n);
    sk[0] = Pk[0];
    for(x=1;x<256;x++)
        sk[x] = sk[x-1] + Pk[x];
    for(x=0;x<256;x++)
        for(y=0;y<256;y++)
            if(sk[x] >= (double)((double)y/255) && sk[x] < (double)((double)(y+1)/255))
            {
                if((sk[x] - (double)((double)y/255)) <= ((double)((double)(y+1)/255) - sk[x]))
                    sk1[x] = y;
                else
                    sk1[x] = y+1;
                break;
            }
    for(x=0;x<Xmax;x++)
        for(y=0;y<REALYMAX;y++)
            DestinDoc->BitmapMatrix[x][y][0]=DestinDoc->BitmapMatrix[x][y][1]=
            DestinDoc->BitmapMatrix[x][y][2] = (unsigned char)sk1[SourceDoc->BitmapMatrix[x][y][0]];
}
```

1.5.2 Specificarea histogramei

Egalizarea histogramei este ideală pentru îmbunătățirea automată deoarece se bazează pe o funcție de transformare care este determinată unic de histograma imaginii originale. Cu toate acestea metoda este limitată, în sensul că unica ei funcție este liniarizarea histogramei, proces care nu se poate aplica când este disponibilă o informație inițială referitoare la o anumită formă a histogramei de ieșire.

Se va generaliza conceptul procesării histogramei prin dezvoltarea unei metode capabile să genereze o imagine cu o histogramă a intensității specificată. Egalizarea histogramei este un caz particular al acestei tehnici.

Fie $p_r(r)$ și $p_z(z)$ intensitățile originale, respectiv dorite ale FDP. Se presupune că pentru o imagine dată, în primul rând se egalizează histograma folosind ecuația (1.5.3) adică:

$$s = T(r) = \int_0^r p_r(w)dw \quad (1.5.10)$$

Dacă există o imagine dorită, nivelele ei pot fi de asemenea egalizate folosind funcția de transformare

$$v = G(z) = \int_0^z p_z(w)dw \quad (1.5.11)$$

Procesul invers, $z=G^{-1}(v)$ va regenera nivelele dorite.

Aceasta, este o formulare ipotetică deoarece nivelele de z sunt exact ceea ce se încearcă să se obțină. Este de remarcat că $p_s(s)$ și $p_v(v)$ sunt densități uniforme identice atâta timp cât folosirea ecuațiilor (1.5.10) și (1.5.11) garantează o densitate uniformă, relativ la forma lui FDP de sub semnul integralei. Astfel că, în loc să se folosească v în procesul invers, se vor folosi nivelele inverse s obținute din imaginea originală, nivelele rezultate $z=G^{-1}(s)$ vor avea o FDP dorită, $p_z(z)$.

Presupunând că $G^{-1}(s)$ este o valoare unică, procedura poate fi realizată în următoarele etape succesive :

1. Egalizarea nivelelor imaginii originale folosind ecuația (1.5.10)
2. Specificarea FDP-ului de intensitate dorit și obținerea funcției de transformare $G(z)$ folosind ecuația(1.5.11).
3. Se aplică transformata inversă $z = G^{-1}(s)$ nivelelor de intensitate ale imaginii cu histograma egalizată obținută la pasul 1.

Urmând această procedură se va genera o imagine de ieșire cu intensitatea specificată de FDP.

Cele două transformări cerute de specificarea histogramei, $T(r)$ și $G^{-1}(s)$, pot fi combinate într-o singura transformare:

$$z = G^{-1}(s) = G^{-1}[T(r)] \quad (1.5.12)$$

care leagă pe r de z . Este de remarcat faptul că, dacă $G^{-1}[T(r)] = T(r)$, această metodă se reduce la egalizarea histogramei.

Ecuția (1.5.12) arată că pentru a se putea specifica histograma, imaginea de intrare trebuie să aibă histograma egalizată explicit. Tot ceea ce este necesar se rezumă la faptul că $T(r)$ trebuie să fie determinat și combinat cu $G^{-1}(s)$ într-o singură transformare care este aplicată direct imaginii de intrare. Problema care apare în folosirea celor două transformări sau la folosirea reprezentării lor combinate la variabilele continue este obținerea funcției inverse în mod analitic.

În cazul discret, această problemă este ocolită de faptul că numărul nivelelor de intensitate distincte este de obicei relativ mic (normal 256) și este posibil să se calculeze și să se memoreze o mapare pentru fiecare valoare întreagă de pixel.

Formularea discretă a procedurii este următoarea:

$$s_k = T(r_k) = \sum_{j=0}^k p_r(r_j) \quad (1.5.13)$$

$$G(z_i) = \sum_{j=0}^i p_z(z_j) \quad (1.5.14)$$

$$z_i = G^{-1}(s_i) \quad (1.5.15)$$

unde $p_r(r_j)$ este calculat din imaginea de intrare iar $p_z(z_j)$ este specificat.

1.5.3 Îmbunătățirea locală a imaginii

Metodele prezentate pentru egalizarea și specificarea histogramei, sunt globale, în sensul că pixelii sunt modificați de o funcție de transformare care este bazată pe distribuția intensității peste întreaga imagine. În timp ce această tratare globală este aplicabilă pentru o îmbunătățire a întregii imagini, este deseori necesar să se îmbunătățească detalii din zone mai mici. Din cauză că numărul de pixeli din aceste zone pot avea o influență neglijabilă asupra calculului transformatei globale, folosirea tehnicilor globale va conduce rareori la o îmbunătățire locală acceptabilă. Soluția acestei probleme este dezvoltarea de funcții de transformare ce se bazează pe distribuția intensității, sau a altor proprietăți, într-o vecinătate a fiecărui pixel dintr-o imagine dată [121], [130], [135], [154].

Tehnicile de procesare a histogramei discutate mai sus sunt ușor de aplicat și în cazul îmbunătățirii locale. Procedura trebuie să-și definească o vecinătate $n \times m$ și să mute centrul acesteia pixel cu pixel. La fiecare locație, se va calcula histograma pe

$n \times m$ puncte din vecinătate și se va obține fie o funcție de egalizare a histogramei, fie una de specificare. Această funcție este folosită în final pentru maparea intensității pixelului aflat în centrul vecinătății. Centrul regiunii $n \times m$ este apoi mutat într-o locație de pixel adiacentă și procedura se repetă. Din cauză că se modifică doar un rând sau o coloană a vecinătății în timpul translației pixel cu pixel a regiunii, este posibil să se actualizeze histograma obținută în locația precedentă cu noile date introduse la fiecare pas al mișcării. Această abordare are avantaje evidente asupra calcului repetat al histogramei asupra a $n \times m$ pixeli de fiecare dată când regiunea este mutată cu o locație de pixel.

O altă abordare folosită des pentru reducerea calcului este impunerea restricției ca regiunile să nu se suprapună, dar aceasta produce de obicei un efect nedorit de tablă de șah.

În locul folosirii histogramelor, se poate realiza îmbunătățirea locală pe baza altor proprietăți ale intensității pixelilor într-o vecinătate. Valoarea și variația (derivata) intensității sunt două astfel de proprietăți care sunt utilizate frecvent datorită importanței lor în aspectul unei imagini. Astfel valoarea intensității este o măsură a mediei luminozității iar variația sa o măsură a contrastului. O transformare locală tipică bazată pe aceste concepte mapează intensitatea unei imagini originale $f(x,y)$ într-o nouă imagine $g(x,y)$ cu ajutorul următoarei transformări în fiecare poziție de pixel (x,y) :

$$g(x, y) = A(x, y)[f(x, y) - m(x, y)] + m(x, y) \quad (1.5.16)$$

unde :

$$A(x, y) = k \frac{M}{\sigma(x, y)} \quad 0 < k < 1 \quad (1.5.17)$$

În această formulare :

- $m(x,y)$ reprezintă valoarea intensității calculată într-o vecinătate centrată pe (x,y)
- $\sigma(x,y)$ reprezintă derivata standard calculată într-o vecinătate centrată pe (x,y)
- M este valoarea globală a lui $f(x,y)$

- k este o constantă în domeniul indicat mai sus.

Este important de remarcat că A , m , și σ sunt variabile ce depind de o vecinătate predefinită a lui (x,y) . Aplicarea *factorului de câștig local* $A(x,y)$ diferenței dintre $f(x,y)$ și valorii locale a intensității, amplifică variația locală. Deoarece $A(x,y)$ este invers proporțional cu derivata standard a intensității, zonele cu contrast redus vor obține un câștig mai mare. Valoarea este readunată la relația (1.5.16) pentru a restaura nivelul mediu de intensitate al imaginii în regiunea locală.

În practică este bine de multe ori să se readune o fracțiune din valoarea locală și să se restricționeze variația lui $A(x,y)$ între cele două limite $[A_{\min}, A_{\max}]$ în scopul echilibrării variațiilor prea largi de intensitate în regiunile izolate.

1.6 Detectia de contur

Detectia de contur joacă un rol central în vederea artificială, servind ca pas inițial în preprocesare pentru o mare varietate de algoritmi de detecție a obiectelor. Se vor evidenția fundamentele tehnicilor de detecție a punctelor de contur.

1.6.1 Formulări de bază

În principiu ideea ce stă la baza celor mai multe tehnici de detecție este calculul operatorului local de derivare. Acest concept poate fi ușor ilustrat cu ajutorul figurii 1.6.1. Figura 1.6.1,a prezintă o imagine a unui obiect simplu luminos pe un fond întunecat, profilul intensității de-a lungul unei linii orizontale de scanare a imaginii, prima și a doua derivată a profilului [119], [142]. Este de remarcat din profil că un contur (tranziția de la întunecat la luminos) este modelat cu o rampă, mai degrabă decât printr-un salt brusc de intensitate. Acest model este reprezentativ prin faptul că în imaginile digitale contururile sunt în general puțin tulburi ca rezultat al achiziției.

Prima derivată a unui contur modelat în această manieră este zero în toate regiunile de intensitate constantă și are o valoare constantă în timpul unei tranziții de intensitate. Pe baza acestor remarci și pe conceptele ilustrate în figura 1.6.1, este evident că mărimea primei derivate poate fi folosită pentru detectarea prezenței unui contur, în timp ce semnul celei de-a doua derivate poate fi folosit pentru determinarea apartenenței unui pixel la partea întunecată (fond) sau la cea luminoasă (obiect) de-a lungul unui contur.

Semnul derivatei a doua din figura 1.6.1,a de exemplu, este pozitiv pentru pixelii ce se află pe partea întunecată atât pe rampa de urcare cât și pe cea de coborâre a unui obiect, și este negativ pentru pixelii aflați pe partea luminoasă a acestor contururi. Comentarii similare se pot aplica și în cazul unui obiect negru pe un fond luminos ca în figura 1.6.1,b. Se remarcă aceeași interpretare a semnelor derivatei a doua.

Deși prezentarea principală a fost limitată la un profil unidimensional orizontal, argumente similare se aplică la un contur cu orice orientare în imagine. Va fi necesară doar definirea unui profil perpendicular pe direcția conturului în fiecare punct dat și interpretarea rezultatelor ca în cazul anterior.

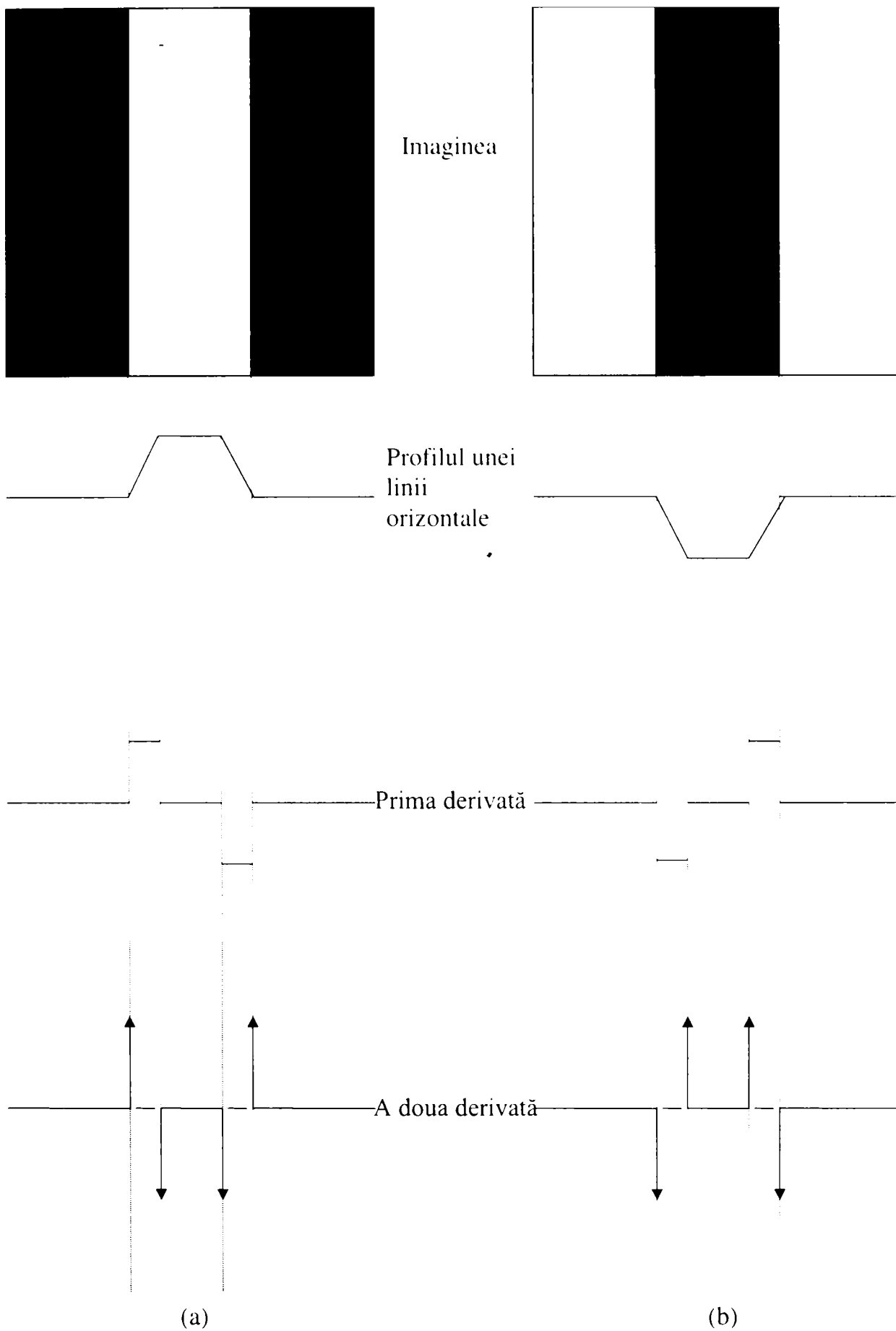


Fig. 1.6.1

Elemente ale detecției de contur folosind operatori de derivare

(a) Obiect luminos pe fond întunecat

(b) Obiect întunecat pe fond luminos

Prima derivată în fiecare punct din imagine poate fi obținută folosind mărimea gradientului în acel punct, iar derivata a doua este dată de Laplacian.

1.6.2 Operatori de tip gradient

Gradientul unei imagini $f(x,y)$ la locația (x,y) este definit ca un vector bidimensional:

$$G[f(x,y)] = \begin{bmatrix} G_x \\ G_y \end{bmatrix} = \begin{bmatrix} \frac{\partial f}{\partial x} \\ \frac{\partial f}{\partial y} \end{bmatrix} \quad (1.6.1)$$

Pentru detecția de contur interesează, numai mărimea acestui vector, $|G[f(x,y)]|$:

$$|G[f(x,y)]| = \left[G_x^2 + G_y^2 \right]^{1/2} = \left[\left(\frac{\partial f}{\partial x} \right)^2 + \left(\frac{\partial f}{\partial y} \right)^2 \right]^{1/2} \quad (1.6.2)$$

Se obișnuiește de multe ori să se aproximeze gradientul (1.6.2) cu suma valorilor absolute ale componentelor:

$$G[f(x,y)] \approx |G_x| + |G_y| \quad (1.6.3)$$

Această aproximare este considerabil mai ușor de implementat, în special dacă se utilizează un hardware dedicat.

Se remarcă din ecuația (1.6.2) posibilitatea calculului gradientului bazat în mod simplu pe utilizarea derivatelor de ordinul 1 ($\partial f/\partial x$ și $\partial f/\partial y$). Există câteva moduri pentru introducerea acestui calcul într-o imagine digitală. Unul din ele este folosirea diferențelor de gradul 1 între pixelii adiacenți, adică:

$$G_x = \frac{\partial f}{\partial x} = f(x,y) - f(x-1,y) \quad (1.6.4)$$

$$G_y = \frac{\partial f}{\partial y} = f(x,y) - f(x,y-1) \quad (1.6.5)$$

O definiție mai complicată folosind pixelii dintr-o vecinătate 3x3 centrată în (x,y) este dată de:

$$G_x = \frac{\partial f}{\partial x} = [f(x+1, y-1) + 2f(x+1, y) + f(x+1, y+1)] - [f(x-1, y-1) + 2f(x-1, y) + f(x-1, y+1)] = (g + 2h + i) - (a + 2b + c) \quad (1.6.6)$$

$$G_y = \frac{\partial f}{\partial y} = [f(x-1, y+1) + 2f(x, y+1) + f(x+1, y+1)] - [f(x-1, y-1) + 2f(x, y-1) + f(x+1, y-1)] = (c + 2e + i) - (a + 2d + g) \quad (1.6.7)$$

unde s-au folosit literele de la a până la i pentru reprezentarea vecinilor unui punct (x, y) . Vecinătatea 3×3 a lui (x, y) folosind această notație simplificată este prezentată în figura 1.6.2,a.

a	b	c
d	(x, y)	e
g	h	i

(a)

-1	-2	-1
0	0	0
1	2	1

(b)

-1	0	1
-2	0	2
-1	0	1

(c)

Fig. 1.6.2

- (a) O vecinătate 3×3 a punctului (x, y)
- (b) Masca folosită pentru calculul lui G_x
- (c) Masca folosită pentru calculul lui G_y

Se remarcă faptul că pixelii cei mai apropiați lui (x,y) au ponderea 2 în acest caz particular de definiție a derivatei digitale.

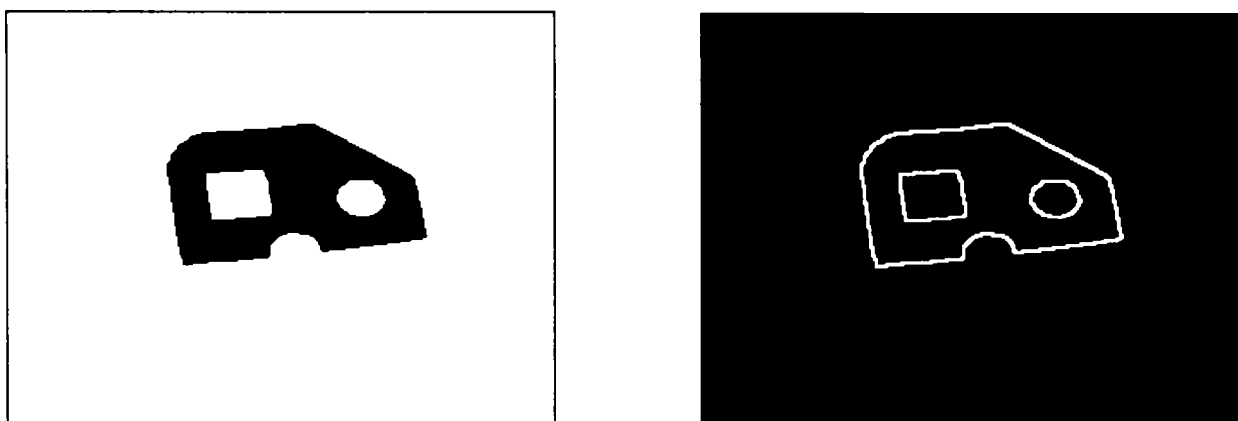
Metoda are avantajul creșterii aproximării, făcând astfel gradientul mai puțin sensibil la zgomot. Este posibilă definirea gradientului peste o vecinătate mai mare, dar operatorii 3×3 sunt cei mai utilizați în aplicațiile de vedere artificială în robotica industrială deoarece au o viteză mare de calcul și cerințe hardware modeste.

Așa cum indică relația (1.6.6), G_x poate fi calculat folosind masca din figura 1.6.2.b. Similar, G_y poate fi obținut folosind masca din figura 1.6.2c. Aceste două măști sunt cunoscute sub numele de *operatori Sobel* [137]. Răspunsurile acestor două măști în orice punct (x,y) sunt combinate folosind ecuațiile (1.6.2) sau (1.6.3) pentru a obține o aproximare a gradientului în acel punct. Deplasând aceste măști de-a lungul imaginii $f(x,y)$ se va obține gradientul tuturor punctelor din imagine.

Există numeroase moduri în care se poate genera o imagine de ieșire, $g(x,y)$, bazată pe calculul gradientilor. Cel mai simplu mod de abordare este atribuirea valorii lui g la coordonatele (x,y) a gradientul imaginii de intrare f în acel punct, adică:

$$g(x, y) = |G[f(x, y)]| \quad (1.6.8)$$

Un exemplu folosind această metodă de generare a unei imagini gradient este prezentat în figura 1.6.3.



(a)

Fig. 1.6.3

(b)

(a) Imaginea de intrare

(b) Imaginea de ieșire

O altă metodă este aceea de a crea o imagine binară folosind relația :

$$g(x, y) = \begin{cases} 1 & \text{daca } |G[f(x, y)]| > T \\ 0 & \text{daca } |G[f(x, y)]| \leq T \end{cases} \quad (1.6.9)$$

unde T este un prag pozitiv. În acest caz doar pixelii a căror gradienti sunt mai mari decât T sunt considerați importanți.

Astfel, folosirea relației (1.6.9) poate fi considerată ca o procedură care extrage doar acei pixeli ce sunt caracterizați de o tranziție de intensitate semnificativă (determinată de T). O analiză ulterioară a pixelilor rezultați este necesară pentru a șterge punctele izolate și pentru a uni pixeli de-a lungul conturilor adecvate care în final vor determina obiectul din cadrul imaginii.

Funcția care implementează câteva măști de detecție se prezintă astfel :

```
void CMainFrame::EdgeDetection(long type, BOOL NewDocument)
{
    EdgeDetectionMethodDlg edm_dlg;
    CROBOVIEWDoc *SourceDoc;
    CROBOVIEWDoc *DestinDoc;
    BYTE BitmapMatrix[320][240];
    short x,y,i,Maxim;
    short DestinValue[8];
    short FreemanMask[8][9]= {{ 1, 1, 1, 1,-2, 1,-1,-1,-1},
                                { 1, 1, 1,-1,-2, 1,-1,-1, 1},
                                {-1, 1, 1,-1,-2, 1,-1, 1, 1},
                                {-1,-1, 1,-1,-2, 1, 1, 1, 1},
                                {-1,-1,-1, 1,-2, 1, 1, 1, 1},
                                { 1,-1,-1, 1,-2, 1, 1, 1, 1},
                                { 1, 1,-1, 1,-2,-1, 1, 1,-1},
                                { 1, 1, 1, 1,-2,-1, 1,-1,-1}};
    short SobelMask[2][9]= {{-1,-2,-1, 0, 0, 0, 1, 2, 1},
                              {-1, 0, 1,-2, 0, 2,-1, 0, 1}};
    short PrewittMask[2][9]= {{-1,-1,-1, 0, 0, 0, 1, 1, 1},
                               {-1, 0, 1,-1, 0, 1,-1, 0, 1}};
    short KirschMask[1][9]= {{ 5, 5, 5,-3, 0,-3,-3,-3,-3}};
    short VerticalMask[1][9]= {{-1, 2,-1,-1, 2,-1,-1, 2,-1}};
    short HorizontalMask[1][9]={{-1,-1,-1, 2, 2, 2,-1,-1,-1}};
    short _45Mask[1][9]= {{-1,-1, 2,-1, 2,-1, 2,-1,-1}};

    if(type == 0)
    {
        if(edm_dlg.DoModal() != IDOK)
            return;
        else
            type = edm_dlg.m_CheckedRadioButton;
    }
    SourceDoc = GetActiveSourceDocument();
    if(NewDocument)
        DestinDoc = OpenNewDestinationDocument(SourceDoc->BitmapColorType);
    else
        memset(&BitmapMatrix,0xFF,320*240);
    for(x=0;x<Xmax;x++)
        for(y=0;y<REALYMAX;y++)
        {
```

```

switch(type)
{
case IDC_RADIO_FREEMAN : DestinValue[0]=ApplyMask(((unsigned char *)&(SourceDoc
->BitmapMatrix))),x,y,(short *)&FreemanMask[0]);
    DestinValue[1]=ApplyMask(((unsigned char *)&(SourceDoc
->BitmapMatrix))),x,y,(short *)&FreemanMask[1]);
    DestinValue[2] = ApplyMask(((unsigned char *)&(SourceDoc
->BitmapMatrix))),x,y,(short *)&FreemanMask[2]);
    DestinValue[3] = ApplyMask(((unsigned char *)&(SourceDoc
->BitmapMatrix))),x,y,(short *)&FreemanMask[3]);
    DestinValue[4] = ApplyMask(((unsigned char *)&(SourceDoc
->BitmapMatrix))),x,y,(short *)&FreemanMask[4]);
    DestinValue[5] = ApplyMask(((unsigned char *)&(SourceDoc
->BitmapMatrix))),x,y,(short *)&FreemanMask[5]);
    DestinValue[6] = ApplyMask(((unsigned char *)&(SourceDoc
->BitmapMatrix))),x,y,(short *)&FreemanMask[6]);
    DestinValue[7] = ApplyMask(((unsigned char *)&(SourceDoc
->BitmapMatrix))),x,y,(short *)&FreemanMask[7]);
    Maxim = -32000;
    for(i=0;i<8;i++)
    if(DestinValue[i] > Maxim)
        Maxim = DestinValue[i];
    break;
case IDC_RADIO_SOEBEL : DestinValue[0] = ApplyMask(((unsigned char *)&(SourceDoc
->BitmapMatrix))),x,y,(short *)&SobelMask[0]);
    DestinValue[1] = ApplyMask(((unsigned char *)&(SourceDoc
->BitmapMatrix))),x,y,(short *)&SobelMask[1]);
    Maxim = (short)sqrt(((double)(pow((double)DestinValue[0],2) +
        pow((double)DestinValue[1],2)));
    break;
case IDC_RADIO_PREWITT: DestinValue[0] = ApplyMask(((unsigned char *)&(SourceDoc
->BitmapMatrix))),x,y,(short *)&PrewittMask[0]);
    DestinValue[1] = ApplyMask(((unsigned char *)&(SourceDoc
->BitmapMatrix))),x,y,(short *)&PrewittMask[1]);
    Maxim = abs(DestinValue[0]) + abs(DestinValue[1]);
    break;
case IDC_RADIO_KIRSCH : memset(&DestinValue,0,sizeof(DestinValue));
    if(x>0 && y>0)
        DestinValue[0] = abs(ApplyMask(((unsigned char *)&(Source
        Doc->BitmapMatrix))),x-1,y-1,(short *)&KirschMask[0]));
    if(y>0)
        DestinValue[1] = abs(ApplyMask(((unsigned char *)&(Source
        Doc->BitmapMatrix))),x,y-1, (short *)&KirschMask[0]));
    if(x<Xmax && y>0)
        DestinValue[2] = abs(ApplyMask(((unsigned char *)&(Source
        Doc->BitmapMatrix))),x+1,y-1,(short *)&KirschMask[0]));
    if(x>0)
        DestinValue[3] = abs(ApplyMask(((unsigned char *)&(Source
        Doc->BitmapMatrix))),x-1,y, (short *)&KirschMask[0]));
    if(x<Xmax)
        DestinValue[4] = abs(ApplyMask(((unsigned char *)&(Source
        Doc->BitmapMatrix))),x+1,y, (short *)&KirschMask[0]));
    if(x>0 && y<REALYMAX)
        DestinValue[5] = abs(ApplyMask(((unsigned char *)&(Source
        Doc->BitmapMatrix))),x-1,y+1,(short *)&KirschMask[0]));
    if(y<REALYMAX)
        DestinValue[6] = abs(ApplyMask(((unsigned char *)&(Source
        Doc->BitmapMatrix))),x,y+1, (short *)&KirschMask[0]));
    if(x<Xmax && y<REALYMAX)
        DestinValue[7] = abs(ApplyMask(((unsigned char *)&(Source

```

```

        Doc->BitmapMatrix)),x+1,y+1,(short *)&KirschMask[0]));
        Maxim = 0;
        for(i=0;i<8;i++)
            if(DestinValue[i] > Maxim)
                Maxim = DestinValue[i];
        break;
case IDC_RADIO_VERTICAL: Maxim = ApplyMask(((unsigned char *)&(SourceDoc
        ->BitmapMatrix)),x,y,(short *)&VerticalMask[0]));
        break;
case IDC_RADIO_HORIZONTAL: Maxim = ApplyMask(((unsigned char *)&(SourceDoc
        ->BitmapMatrix)),x,y,(short *)&HorizontalMask[0]));
        break;
case IDC_RADIO_45 : Maxim = ApplyMask(((unsigned char *)&(SourceDoc
        ->BitmapMatrix)),x,y,(short *)&_45Mask[0]));
        break;
default : return;
}
if(Maxim > 0)
{
    if(NewDocument)
        DestinDoc->BitmapMatrix[x][y][0] = DestinDoc->BitmapMatrix[x][y][1] =
            DestinDoc->BitmapMatrix[x][y][2] = 0xFF;
    else
        BitmapMatrix[x][y] = 0xFF;
}
else
{
    if(NewDocument)
        DestinDoc->BitmapMatrix[x][y][0] = DestinDoc->BitmapMatrix[x][y][1] =
            DestinDoc->BitmapMatrix[x][y][2] = 0;
    else
        BitmapMatrix[x][y] = 0;
}
}
if(!NewDocument)
{
    for(x=0;x<Xmax;x++)
        for(y=0;y<REALYMAX;y++)
            SourceDoc->BitmapMatrix[x][y][0] = SourceDoc->BitmapMatrix[x][y][1] =
                SourceDoc->BitmapMatrix[x][y][2] = BitmapMatrix[x][y];
    GetActiveFrame()->RedrawWindow();
}
}

```

1.6.3 Operatorul Laplacian

Pentru o funcție continuă Laplacianul este un operator derivativ de ordinul 2 :

$$L[f(x, y)] = \frac{\partial^2 f}{\partial x^2} + \frac{\partial^2 f}{\partial y^2} \quad (1.7.10)$$

Pentru imaginile digitale, Laplacianul este definit de forma [95], [99], [134]:

$$L[f(x, y)] = [f(x + 1, y) + f(x - 1, y) + f(x, y + 1) + f(x, y - 1)] - 4f(x, y) \quad (1.7.11)$$

Această formulare digitală a Laplacianului are valoare zero în regiunile constante și variație rampă în jurul conturului, așa cum se presupune pentru derivata a doua. Implementarea relației (1.7.11) poate fi bazată pe masca din figura 1.6.4.

0	1	0
1	-4	1
0	1	0

Fig. 1.6.4

Masca folosită în calculul Laplacianului

Deși, Laplacianul răspunde la tranziții de intensitate, el este rar folosit singur în detecția de contur. Motivul este acela că, fiind un operator de derivare de ordinul 2, Laplacianul este de obicei inacceptabil de sensibil la zgomot. Astfel, acest operator are de obicei un rol secundar, servind ca detector pentru stabilirea apartenenței unui pixel la partea întunecată sau luminoasă a conturului.

1.6.4. Detecția de contur prin deplasare și diferență

Așa cum îi indică și numele, algoritmul constă din scăderea unei copii spațiale deplasată a unei imagini, din imaginea originală. O implementare simplă a acestei operații se face prin procesul de convoluție.

Examinând figura 1.6.5, nucleele de deplasare și diferență, ar trebui să creze ideea că imaginea se va deplasa față de ea însăși cu un pixel pe orizontală și unul pe verticală, separat sau împreună, și se va scădea copia deplasată din original. Trebuie remarcat faptul că filtrul unitate are coeficientul central al nucleului egal cu 1, aceasta reprezentând imaginea originală după convoluție.

Ca exemplu, se va folosi filtrul orizontal de deplasare și diferență. Filtrul va deplasa imaginea vertical și o va scădea din imaginea inițială . Aceasta va avea efectul iluminării conturilor orizontale.

Algoritmul folosit este foarte simplu. Deplasând și scăzând această imagine deplasată din imaginea originală, se realizează o măsură a vitezei variației de intensitate. În zonele în care variația de intensitate a pixelilor este minimă, panta rezultată va fi apropiată de 0 și calculul pixelului va conduce spre o valoare de pixel apropiată de 0. În zonele în care variația de intensitate a pixelilor este mare, scăderea va genera o pantă mare, și noua valoare de pixel va fi una foarte luminoasă. Cu cât este mai mare panta, cu atât pixelul va fi mai luminos (până când nu se va mai putea maximaliza valoarea intensității și va trebui limitată).

Trebuie remarcat faptul că tranzițiile de la alb la negru din imagine vor genera pante negative. Se va putea considera fie valoarea absolută a noii valori calculate pentru a putea sesiza atât tranzițiile de la alb la negru cât și cele de la negru la alb din cadrul imaginii, sau se va limita studiul doar la tranzițiile de la negru la alb și se vor seta valorile negative obținute la zero (adică negru).

0 -1 0	0 0 0	-1 0 0
0 1 0	-1 1 0	0 1 0
0 0 0	0 0 0	0 0 0
1	1	1
Orizontal	Vertical	Oriz/Vert

Fig. 1.6.5
Filtre de diferență și de deplasare

1.7 Stabilirea unui prag pentru prelucrare imaginii

Stabilirea unui prag pe imagine este una din principalele tehnici utilizate în sistemele industriale de vedere pentru detectarea obiectelor, în special în aplicațiile ce conțin un mare număr de rezultate.

Se presupune că histograma de intensitate din figura 1.7.1 corespunde unei imagini, $f(x,y)$ [148], compusă din obiecte luminoase pe un fond negru, în așa fel încât pixelii obiectului și fondului au intensități grupate în două grupuri dominante. Unul din modurile evidente pentru extragerea obiectelor din fond este selectarea unui prag T care separă cele două grupuri de intensitate.

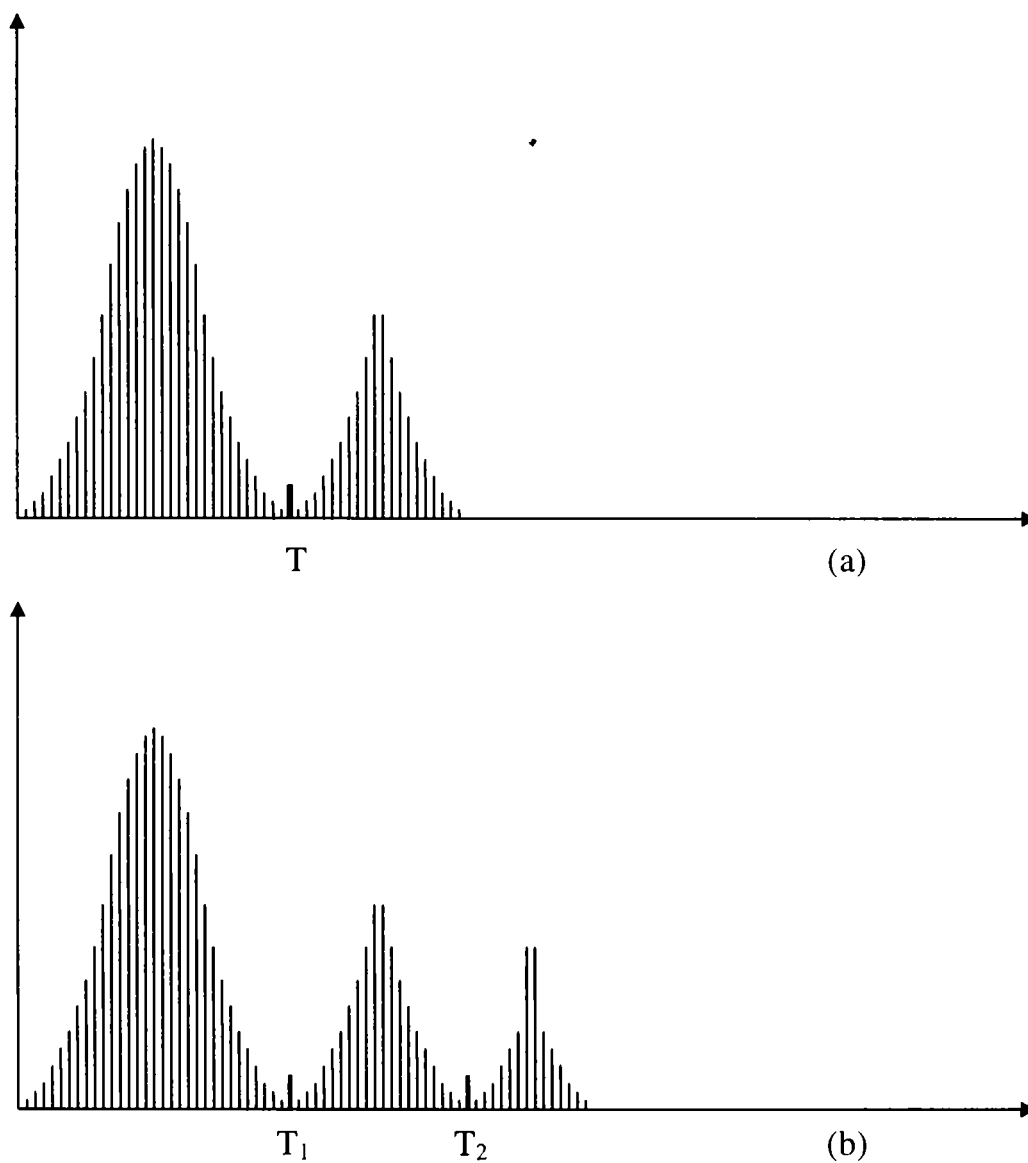


Fig. 1.7.1

Histograme de intensitate ce pot fi partiționate de un singur prag (a) și de praguri multiple (b)

Astfel, orice punct (x,y) pentru care $f(x,y) > T$ este numit *punct al obiectului*, toate celelalte sunt *puncte de fond*.

O abordare mult mai generală a acestui caz este prezentată în figura 1.7.1,b . În acest caz histograma imaginii este caracterizată de trei grupări dominante (de exemplu două tipuri de obiecte luminoase pe un fond întunecat). Și aici, se poate folosi aceeași abordare de bază și se va clasifica un punct (x,y) ca aparținând unei clase de obiecte dacă $T_1 < f(x,y) \leq T_2$, celeilalte clase dacă $f(x,y) > T_2$, sau fondului dacă $f(x,y) \leq T_1$.

Acest tip de *praguri multinivel* sunt în general mai puțin sigure decât cel cu un singur prag datorită dificultății în determinarea pragurilor multiple care izolează efectiv o regiune de interes, în special în cazul în care numărul de grupări din histogramă este mare. Dacă probleme de această natură, sunt tratate prin praguri cel mai bine sunt adresate de o singură variabilă de prag.

Pe baza conceptelor anterioare, se poate imagina folosirea pragurilor ca o operație ce presupune testări cu o funcție T de forma :

$$T = T[x, y, p(x, y), f(x, y)] \quad (1.7.1)$$

unde :

- $f(x,y)$ este intensitatea punctului (x,y)
- $p(x,y)$ reprezintă unele proprietăți locale ale acestui punct, de exemplu, media intensității într-o vecinătate centrată pe (x,y)

Se va crea o imagine cu prag $g(x,y)$ prin următoarea definiție:

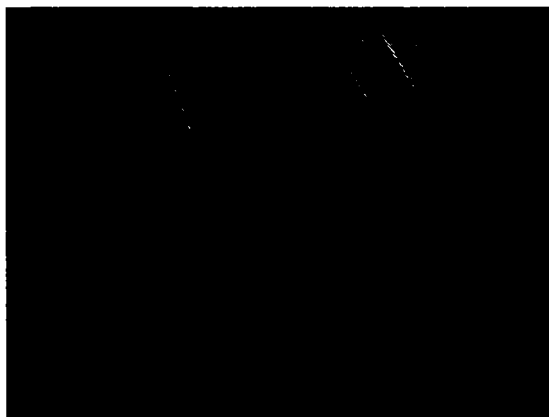
$$g(x, y) = \begin{cases} 1 & \text{daca } f(x, y) > T \\ 0 & \text{daca } f(x, y) \leq T \end{cases} \quad (1.7.2)$$

Prin examinarea lui $g(x,y)$, se va aprecia faptul că pixelii notați cu 1 (sau orice alt nivel convențional de intensitate) corespund obiectelor, în timp ce pixelii notați cu 0 corespund cu fondul.

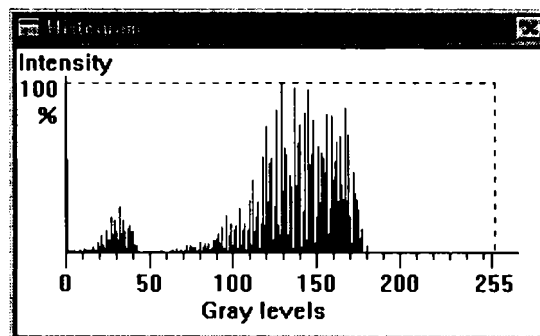
Când T depinde doar de $f(x, y)$, operația de folosire a pragului se numește *globală* (figura 1.7.1,a). Dacă T depinde atât de $f(x,y)$ cât și de $p(x,y)$ atunci se va numi *locală*. Dacă în plus T depinde de coordonatele spațiale x și y, se va numi *prag dinamic*.

Figura 1.7.2 prezintă o exemplificare a metodei globale. Histograma 1.7.2,b a imaginii originale 1.7.2,a, scoate în evidență existența unor obiecte a căror intensitate

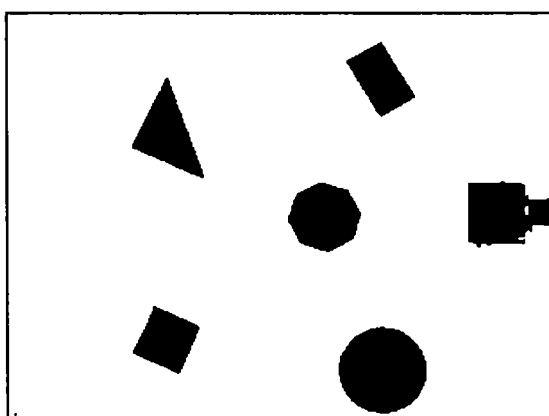
este mai mică de 50 și pixelii de fond cu o intensitate mai mare 70. Prin selectarea unui prag $T=60$ se va obține o imagine binară 1.7.2,c în care obiectele sunt extrase din cadrul imaginii originale.



(a)



(b)



(c)

Fig. 1.7.2

- (a) Imagine originală
- (b) Histograma imaginii (a)
- (c) Imaginea binarizată cu un prag de 60

Funcția care implementează acest algoritm este prezentată în continuare :

```
void CMainFrame::OnToolsTreshold()
{
    CROBOVIEWDoc *SourceDoc;
    CROBOVIEWDoc *DestinDoc;
    TresholdDlg t_dlg;
    short x,y,TresholdValue;

    SourceDoc = GetActiveSourceDocument();
    OnToolsEnhancementShowhistogram();

    t_dlg.m_TresholdValue = 127;
    if(t_dlg.DoModal() == IDOK)
        TresholdValue = t_dlg.m_TresholdValue;
    else
    {
```

```

HistogramWindow->MDIDestroy();
return;
}
HistogramWindow->MDIDestroy();
DestinDoc = OpenNewDestinationDocument(SourceDoc->BitmapColorType);
for(x=0;x<Xmax;x++)
for(y=0;y<REALYMAX;y++)
if(SourceDoc->BitmapMatrix[x][y][0] <= TresholdValue)
DestinDoc->BitmapMatrix[x][y][0] = DestinDoc->BitmapMatrix[x][y][1] =
DestinDoc->BitmapMatrix[x][y][2] = 0;
else
DestinDoc->BitmapMatrix[x][y][0] = DestinDoc->BitmapMatrix[x][y][1] =
DestinDoc->BitmapMatrix[x][y][2] = 255;
DestinDoc->BitmapColorType = BINARY;
}

```

Funcția ce urmează calculează și afișează histograma unei imagini:

```

void CMainFrame::OnToolsEnhancementShowHistogram()
{
CROBOVIEWDoc *SourceDoc;
long IntensityNumber[256];
long MaxDensity;
short x,y;
CDC *HistogramDC;
RECT HistogramRect={ 161,131,487,331 };
CPen SolidRedPen(PS_SOLID,1,RGB(255,0,0)),
DotBlackPen(PS_DOT,1,RGB(0,0,0)),
SolidBlackPen(PS_SOLID,1,RGB(0,0,0));

SourceDoc = GetActiveSourceDocument();
memset(IntensityNumber,0,sizeof(IntensityNumber));
for(x=0;x<Xmax;x++)
for(y=0;y<REALYMAX;y++)
IntensityNumber[SourceDoc->BitmapMatrix[x][y][0]]++;
MaxDensity = 0;
for(x=0;x<256;x++)
if(IntensityNumber[x] > MaxDensity)
MaxDensity = IntensityNumber[x];
HistogramWindow = new CMDIChildWnd;
HistogramWindow->Create(NULL,"Histogram",WS_CHILD | WS_VISIBLE | WS_OVERLAPPED |
WS_CAPTION | WS_SYSMENU, HistogramRect, NULL,NULL);
HistogramDC = HistogramWindow->GetDC();
CPen *OldPen = HistogramDC->SelectObject(&SolidBlackPen);
HistogramDC->MoveTo(29,15);
HistogramDC->LineTo(29,121);
HistogramDC->LineTo(301,121);
HistogramDC->SelectObject(&DotBlackPen);
HistogramDC->MoveTo(29,20);
HistogramDC->LineTo(286,20);
HistogramDC->LineTo(286,121);
HistogramDC->SelectObject(&SolidBlackPen);
for(x=0;x<255;x+=10)
{
HistogramDC->MoveTo(29+x,121);
HistogramDC->LineTo(29+x,126);
}
for(x=0;x<250;x+=50)

```

```

{
HistogramDC->MoveTo(29+x,121);
HistogramDC->LineTo(29+x,131);
}
HistogramDC->MoveTo(29+255,121);
HistogramDC->LineTo(29+255,131);
HistogramDC->TextOut(25,132,"0",1);
HistogramDC->TextOut(71,132,"50",2);
HistogramDC->TextOut(117,132,"100",3);
HistogramDC->TextOut(167,132,"150",3);
HistogramDC->TextOut(217,132,"200",3);
HistogramDC->TextOut(274,132,"255",3);
HistogramDC->TextOut(110,148,"Gray levels",11);
HistogramDC->TextOut(1,0,"Intensity",9);
HistogramDC->TextOut(1,16,"100",3);
HistogramDC->TextOut(13,32,"%",1);
HistogramDC->SelectObject(&SolidRedPen);
for(x=0;x<256;x++)
{
HistogramDC->MoveTo(x+30,120);
HistogramDC->LineTo(x+30,120-((100*IntensityNumber[x])/MaxDensity));
}
HistogramDC->SelectObject(OldPen);
HistogramWindow->ShowWindow(SW_SHOWNORMAL);
HistogramWindow->UpdateWindow();
ReleaseDC(HistogramDC);
}

```

1.8 Domeniile de frecvență

Există situații în care nu este suficientă operarea în domeniul spațial, adică nu se va lucra adresând punctele prin coordonatele lor (x, y) , ci prin domeniul de frecvență, în care coordonatele sunt (u, v) unde: $u=1/x$ iar $v=1/y$.

Unul din principalele motive ale acestei abordări, este acela că în anumite situații ea este mult mai eficientă, iar în altele cazuri de filtrări este unica metodă aplicabilă. De exemplu, convoluția în domeniul spațial este o operație dificilă, implicând manipularea multor pixeli, dar în domeniul de frecvență, ea se reduce la o simplă înmulțire. Mai trebuie precizat faptul că utilizarea domeniilor de frecvență este strâns legată de tehnicile de restaurare și deconvoluție.

1.8.1 Transformata Fourier a unei imagini

Orice semnal poate fi descompus într-un număr infinit de componente sinusoidale definite prin frecvență, amplitudine și fază. Transformata Fourier este un operator matematic care redă densitatea spectrală a unei imagini, adică distribuția diferitelor componente de frecvență ale imaginii.

Astfel, spectrul unui semnal sinusoidal de perioadă T este o linie la frecvența $\nu = 1/T$, iar un semnal care este o mixare a două semnale sinusoidale de perioade diferite are un spectru care conține două linii puternic conturate și un număr de linii mai puțin conturate ce corespund armonicilor. Un spectru continuu reprezintă un semnal neperiodic.

Un astfel de spectru include atât informația de amplitudine cât și informația de fază a unei sinusoide care aproximează semnalul. Informația de amplitudine generează un spectru de amplitudine, iar informația de fază generează un spectru de fază. Se poate inversa această situație, iar prin combinarea componentelor spectrului dat, va rezulta semnalul original. Această transformare poartă numele de *transformata Fourier inversă*.

Transformata Fourier discretă a unei serii de puncte reale $f(x)$ în domeniul de frecvență generează o componentă reală $R(\nu)$ și o componentă imaginară $I(\nu)$ [24]:

$$R(\nu) = \Delta t \sum_{x=0}^{N-1} f(x) \cos(2\pi\nu x \Delta t) \quad (1.8.1)$$

$$I(v) = -\Delta t \sum_{x=0}^{N-1} f(x) \sin(2\pi v x \Delta t) \quad (1.8.2)$$

Amplitudinea spectrului este:

$$A(v) = \sqrt{R(v)^2 + I(v)^2} \quad (1.8.3)$$

iar puterea spectrului este :

$$A^2(v) = R(v)^2 + I(v)^2 \quad (1.8.4)$$

Există o limită de eșantionare a semnalului, limită peste care nu se va mai obține nici o informație suplimentară. Această limită de frecvență este $\nu = \frac{1}{2\Delta t}$. Pe de altă parte, dacă eșantionarea este rară, se va obține o distorsionare. Prin substituirea acestei frecvențe în ecuațiile (1.8.1) și (1.8.2) se obține:

$$R(u) = \frac{1}{N} \sum_{x=0}^{N-1} f(x) \cos(2\pi \frac{xu}{N}) \quad (1.8.5)$$

$$I(u) = -\frac{1}{N} \sum_{x=0}^{N-1} f(x) \sin(2\pi \frac{xu}{N}) \quad (1.8.6)$$

Transformata Fourier inversă va fi dată de relația:

$$f(x) = \sum_{u=0}^{N-1} R(u) \cos(2\pi \frac{xu}{N}) - I(u) \sin(2\pi \frac{xu}{N}) \quad (1.8.7)$$

Dacă se realizează un program care să calculeze transformata Fourier printr-o metodă directă, timpul de calcul va fi proporțional cu N^2 . Acest lucru creează probleme mari deoarece N atinge valori de ordinul câtorva mii în mod frecvent. Pentru rezolvarea acestei situații s-a conceput un algoritm mult mai rapid numit **transformata Fourier rapidă** sau TFR. Pentru acest algoritm timpul de calcul este proporțional cu $N \log_2 N$ care este mult mai avantajos.

Ceea ce s-a prezentat reprezintă transformata Fourier în cazul unidimensional. Pentru prelucrarea imaginilor este necesară transformata în 2D. Pentru aceasta, se vor exprima funcțiile trigonometrice în termeni exponențiali cu argumente imaginare. Astfel, ecuațiile pentru transformata Fourier și inversa sa în unidimensional vor avea următoarea formă:

$$F(u) = \frac{1}{N} \sum_{x=0}^{N-1} f(x) \exp(-2\pi i \frac{xu}{N}) \quad (1.8.8)$$

$$f(x) = \sum_{u=0}^{N-1} F(u) \exp(2\pi i \frac{xu}{N}) \quad (1.8.9)$$

În cazul bidimensional, vor trebui calculate pentru două variabile:

$$F(u, v) = \frac{1}{MN} \sum_{x=0}^{M-1} \sum_{y=0}^{N-1} f(x, y) \exp\left\{-2\pi i \left[\left(\frac{xu}{M}\right) + \left(\frac{yv}{N}\right)\right]\right\} \quad (1.8.10)$$

$$f(x, y) = \sum_{u=0}^{M-1} \sum_{v=0}^{N-1} F(u, v) \exp\left\{2\pi i \left[\left(\frac{xu}{M}\right) + \left(\frac{yv}{N}\right)\right]\right\} \quad (1.8.11)$$

Dacă matricea utilizată este un pătrat (adică în cazul algoritmului TFR) relațiile vor deveni următoarele:

$$F(u, v) = \frac{1}{N^2} \sum_{x=0}^{N-1} \sum_{y=0}^{N-1} f(x, y) \exp\left(-2\pi i \frac{xu + yv}{N}\right) \quad (1.8.12)$$

$$f(x, y) = \sum_{u=0}^{N-1} \sum_{v=0}^{N-1} F(u, v) \exp\left(2\pi i \frac{xu + yv}{N}\right) \quad (1.8.13)$$

Deoarece $F(u, v)$ este o funcție separabilă, aceste ecuații se mai pot scrie astfel:

$$F(u, v) = \frac{1}{N} \sum_{x=0}^{N-1} G(x, y) \exp\left(-2\pi i \frac{xu}{N}\right) \quad (1.8.14)$$

$$G(x, y) = \frac{1}{N} \sum_{y=0}^{N-1} f(x, y) \exp\left(-2\pi i \frac{yv}{N}\right) \quad (1.8.15)$$

După cum se poate observa, tot ceea ce trebuie făcut în cazul bidimensional este să se calculeze transformata Fourier mai întâi pe rânduri și după aceea pe coloane, astfel că, de fapt, s-a redus problema bidimensională la două probleme unidimensionale.

1.8.2 Convoluția

Una din facilitățile transformatei Fourier este și operarea cu convoluții. Convoluția a două semnale din domeniul spațial este concepută ca o simplă multiplicare a transformatelor celor două semnale în domeniul de frecvență și invers.

Acest lucru este foarte util pentru filtre. Este mult mai ușoară și mai rapidă multiplicarea de numere într-un program pe calculator decât aplicarea unei convoluții asupra unor funcții. Deci, este mai ușoară aplicarea unei convoluții asupra a două imagini. După calcul transformatei Fourier a fiecărei funcții, se calculează produsul modulelor și suma argumentelor. Urmează aplicarea transformatei inverse acestui rezultat. Produsul celor două imagini în frecvență va produce o deplasare a unei componente în raport cu cealaltă în domeniul spațial. Pentru a preveni aceasta, va trebui adus centrul celei de-a doua imagini, peste originea (aici colțul din stânga jos) primei imagini.

1.8.3 Corelația

Se consideră că există două imagini și că se dorește obținerea elementelor lor comune.

Se iau cele două imagini, se va deplasa una în raport cu cealaltă, măsurându-se gradul de corelație cu ajutorul funcției de corelație încrucișată:

$$a(k) = \sum_{l=-\infty}^{l=\infty} x(l)y(l-k) \quad (1.8.16)$$

Cu cât este mai mare valoarea lui $a(k)$ cu atât mai apropiate sunt cele două imagini.

În domeniul de frecvență, această operație este o simplă înmulțire a două transformate:

$$A(u) = X(u)Y^*(u) \quad (1.8.17)$$

Una din aplicațiile corelației încrucișate este scoaterea în evidență a elementelor vagi din mijlocul imaginii.

1.8.4 Deconvoluția

Pentru reconstrucția unei imagini și pentru compensarea deteriorării semnalului sunt disponibile mai multe tehnici. Tehnicile de deconvoluție formează o clasă care are ca scop restaurarea unei imagini prin crearea originalului său.

O imagine poate fi deteriorată din multe motive: optica camerei de luat vederi nu este perfectă, imaginea a fost luată de pe un scanner sau printr-o sticlă murdară, etc. Pentru oricare din aceste motive, dacă există o imagine ce are un anumit grad de deteriorare, și se dorește restaurarea ei, va trebui aplicată următoarea procedură: se presupune că imaginea existentă este o convoluție dintre imaginea originală și o funcție de distribuție a punctelor, $h(x, y)$, în care fiecare punct apare în aceleași condiții.

Pentru a realiza aceasta trebuie determinat dacă există o parte a imaginii care să pară că are un punct mârjit (dacă nu este posibil, se pot încerca câteva variante intuitive și se va vedea efectul acestei tehnici, după care se va păstra cea mai bună imagine):

$$f(x, y) = \text{imaginea observată} = g(x, y) * h(x, y) \quad (1.8.18)$$

Dacă se face transformata Fourier a acestei funcții, rezultă:

$$F(u, v) = G(u, v) \bullet H(u, v) \quad (1.8.19)$$

Dacă se cunoaște funcția de distribuție a punctelor, se va putea restaura imaginea aplicând relația:

$$G(u, v) = F(u, v) / H(u, v) \quad (1.8.20)$$

Astfel, imaginea din domeniul de frecvență $F(u, v)$ este multiplicată cu un filtru a cărui funcție de transfer este $1/H(u, v)$. Se poate însă întâmpla ca $H(u, v)$ să aibă valoarea zero. În acest caz trebuie adunat un zgomot suplimentar $N(u, v)$ deoarece el este oricum prezent în imagine. Astfel că, ecuația în spațiul frecvențelor fi:

$$F(u, v) = G(u, v) \bullet H(u, v) + N(u, v) \quad (1.8.21)$$

și rezultă:

$$G(u, v) = F(u, v) / H(u, v) - N(u, v) / H(u, v) \quad (1.8.22)$$

Mai trebuie luată în considerare și o altă problemă posibilă. Când $H(u,v)$ este prea mic, atunci amândoi termenii (inclusiv termenul de zgomot) vor deveni prea mari, și zgomotul poate fi amplificat. Aceasta înseamnă că imaginea inițială va fi incomplet restaurată.

O tehnică dezvoltată pentru a elimina aceste probleme este filtrarea Wiener. Aceasta constă din scrierea imaginii în forma ei restaurată ca :

$$G(u,v)=[F(u,v)*H^*(u,v)]/[H(u,v)*H^*(u,v) + nu] \quad (1.8.23)$$

unde :

- $H^*(u,v)$ este conjugata complexă a lui $H(u,v)$
- nu este zgomotul pe rata semnalului

Aceasta este o cantitate euristică, și empirică. Lipsa zgomotului înseamnă că $nu=0$, și filtrul Wiener devine filtru invers.

Pentru a reduce zgomotul din filtrarea Wiener se va realiza restaurarea imaginii într-o manieră iterativă. Se presupune că există următoarea ecuație iterativă:

$$q(x, y)_{k+1} = q(x, y)_k + [f(x, y) - q(x, y)_k \cdot h(x, y)] \quad (1.8.24)$$

unde :

- k este indexul de iterație
- $q(x,y)_{k+1}$ este imaginea estimată la a k iterație,
- $f(x,y)$ este imaginea originală
- $h(x,y)$ este funcția de distribuție a punctelor

Convoluția este reprezentată prin \bullet . Se observă ca pe măsura ce indexul de iterație crește, $[f(x,y) - q(x,y)_k \cdot h(x,y)]$ tinde la zero, și tot ce rămâne este imaginea ideală $q(x,y)$;

Avantajul acestei metode este lipsa transformatelor Fourier, astfel că toate calculele necesare pot fi realizate pe un PC. Convoluția în domeniul spațial se poate realiza doar cu câteva iterații (și nici o transformată Fourier).

Partea II-a

Procesarea imaginii

În scopul caracterizării numeroaselor tehnici și abordări folosite în vederea artificială, s-au introdus trei nivele de procesare :

- Joasă
- Medie
- Înaltă

Primul nivel a fost subiectul părții întâi a acestei teze de doctorat. Cel de-al doilea nivel va fi descris în continuare pe parcursul acestei părți.

Conceptul de *inteligentă* este relativ vag definit, mai ales în cazul în care se referă la un robot. Cu toate acestea nu este greu de definit modul de comportare care s-ar putea caracteriza ca inteligent. Câteva caracteristici evidente se pot menționa :

- abilitatea de a extrage informații pertinente dintr-un fond de detalii irelevante
- capacitatea de a învăța din exemple și de a generaliza aceste cunoștințe în așa fel încât să le poată aplica în circumstanțe noi și diferite
- abilitatea de a deduce fapte din informații incomplete
- capacitatea de a-și genera scopuri dorite de sine însuși, și de a formula planuri pentru îndeplinirea acestor scopuri.

Este posibil de proiectat și implementat un sistem de vedere cu aceste caracteristici într-un mediu limitat, dar în nici un caz nu se poate realiza un astfel de sistem cu performanțele adaptive ale sistemului de vedere uman. Deși cercetările din domeniul sistemelor biologice descoperă continuu concepte noi și promițătoare, starea de fapt din domeniul vederii artificiale este în cea mai mare parte bazată pe formulări analitice proiectate pentru a realiza anumite scopuri specifice. Perioada de timp necesară pentru a realiza roboți apropiați vederii umane este de domeniul speculațiilor. Trebuie totuși subliniat faptul că, imitarea naturii nu este întotdeauna unica soluție de rezolvare a unei probleme.

Procesarea imaginilor tratează probleme legate de segmentare, descriere, și recunoaștere a obiectelor individuale. Aceste noțiuni traversează o largă varietate de abordări care sunt foarte bine fundamentate pe concepte analitice.

Materialul prezentat în această teză prezintă o largă varietate de noțiuni din domeniul vederii artificiale, cu orientare spre tehnici aplicabile în vederea artificială.

Cele trei tehnici care se vor prezenta în cadrul acestei părți realizează:

- în faza de segmentare extragerea obiectelor din cadrul unei imagini
- în faza de descriere transpunerea caracteristicilor obiectelor într-o formă prelucrabilă pe calculator
- în faza de recunoaștere compararea descriptorilor

2.1 Segmentare

Segmentarea este procesul care divide imaginea recepționată în părțile ei constituente sau în obiecte. Segmentarea reprezintă unul dintre cele mai importante elemente ale unui sistem automat de vedere pentru că în această etapă de procesare obiectele sunt extrase din imagine pentru fazele următoare de recunoaștere și analiză.

Algoritmii de segmentare sunt în general bazați pe unul din cele două principii de bază : discontinuitatea și similaritatea. Principala metodă de abordare din cadrul primei categorii este detecția de contur în timp ce, în cea de-a doua categorie, baza o constituie stabilirea de praguri și creșterea regiunilor.

Aceste concepte sunt aplicabile atât imaginilor statice cât și celor dinamice. În acest ultim caz, mișcarea poate fi folosită ca un element esențial pentru a îmbunătăți performanțele algoritmilor de segmentare.

2.1.1 Conectarea marginilor și detecția de contur

Tehnicile de detecție de contur sesizează discontinuitățile de intensitate. În cazul ideal, aceste tehnici vor scoate în evidență doar pixelii ce se află pe marginea dintre obiecte și fond. În realitate, această mulțime de pixeli rareori vor caracteriza un contur complet din cauza zgomotului, a găurilor din contur cauzate de iluminarea neuniformă, și a altor efecte care introduc discontinuități false de intensitate. Astfel, algoritmii de detecție de contur sunt urmați în mod normal de conectare și de alte proceduri de detecție de contur proiectate să asambleze pixelii de pe un contur într-un set inteligibil de contururi ale obiectelor. Se vor prezenta în cele ce urmează mai multe tehnici adecvate acestui scop.

➤ Analiza locală

Una dintre cele mai simple metode folosite pentru conectarea punctelor de contur este analizarea caracteristicilor pixelilor aflați într-o mică vecinătate (de exemplu 3x3 sau 5x5) din jurul fiecărui punct (x,y) dintr-o imagine care a fost supusă

unui proces de detecție de contur. Toate punctele care sunt similare sunt conectate, formând în felul acesta un contur de pixeli care au anumite proprietăți comune.

Există două proprietăți principale care se folosesc pentru a determina similitudini între pixelii de contur în cadrul acestui tip de analiză :

1. mărimea răspunsului operatorului gradient folosit pentru a produce un pixel de contur
2. direcția gradientului.

Prima proprietate este dată de valoarea lui $G[f(x,y)]$. Astfel, se spune că un pixel de contur având coordonatele (x',y') și făcând parte dintr-o vecinătate a lui (x,y) este similar în modul cu pixelul de la coordonatele (x,y) dacă

$$\left| G[f(x,y)] - G[f(x',y')] \right| \leq T \quad (2.1.1)$$

unde T este pragul.

Direcția gradientului poate fi stabilită prin unghiul vectorului gradient :

$$\theta = \arctg\left(\frac{G_y}{G_x}\right) \quad (2.1.2)$$

Astfel, se poate spune că un pixel de contur la coordonatele (x',y') într-o vecinătate predefinită a lui (x,y) are un unghi similar cu al pixelului de coordonate (x,y) dacă

$$|\theta - \theta'| < A \quad (2.1.3)$$

unde A este un unghi de prag.

Este de remarcat faptul că direcția conturului la coordonatele (x,y) este perpendiculară pe direcția vectorului gradient în acel punct. Cu toate acestea, în scopul comparării a direcțiilor, se utilizează relația (2.1.3) cu rezultate similare.

Pe baza conceptelor prezentate, se conectează un punct dintr-o vecinătate predefinită a lui (x,y) cu pixelul de coordonate (x,y) dacă atât criteriile de mărime cât și de direcție sunt satisfăcute. Acest proces se repetă pentru fiecare locație din cadrul imaginii, creând o listă de puncte conectate pe măsură ce vecinătatea este deplasată din pixel în pixel. O procedură simplă va asigura un nivel de gri diferit pentru fiecare set de pixeli de contur conectați.

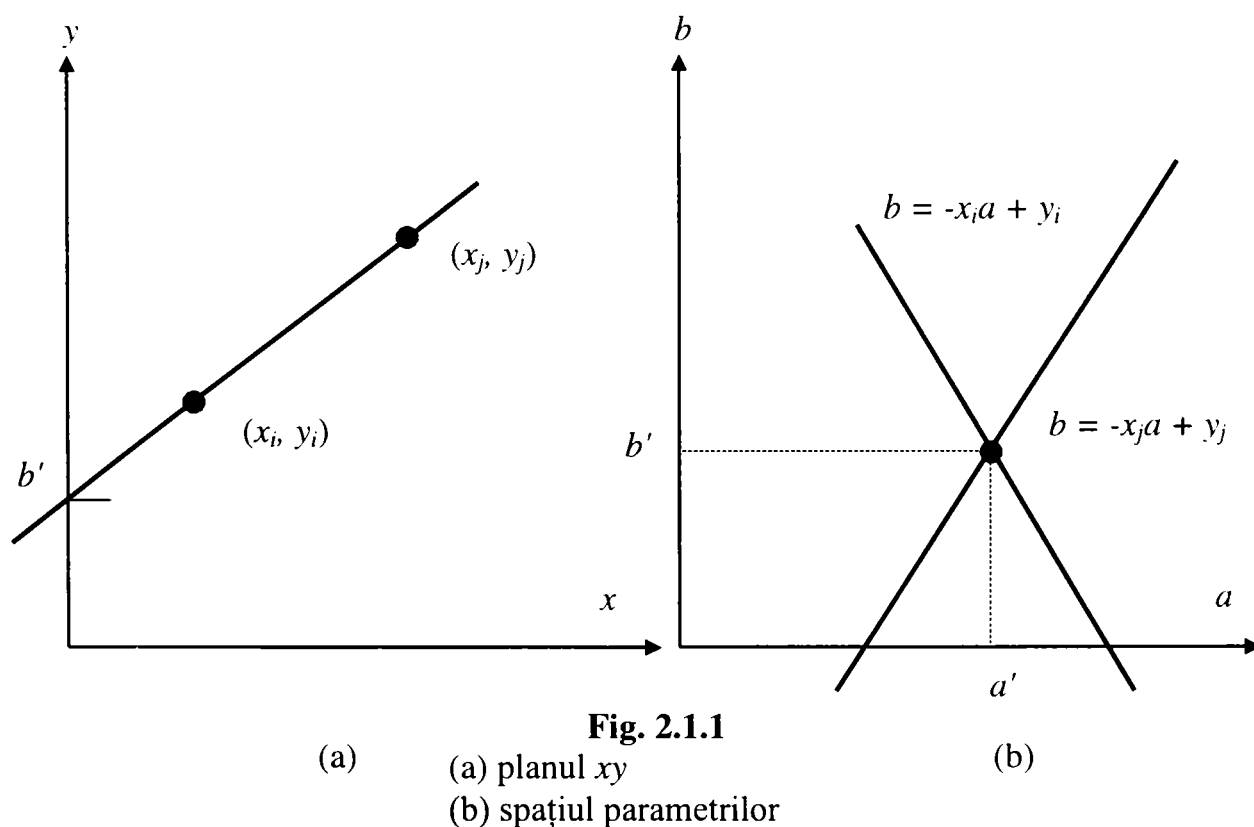
➤ Analiza globală cu ajutorul transformatei Hough

Se pune problema conectării punctelor de contur pentru a determina dacă ele se află sau nu pe o curbă de o formă dată. Se presupune inițial că, fiind date n puncte

în planul xOy al unei imagini, se urmărește determinarea mulțimii de puncte care aparțin unor linii drepte. Una din posibilele soluții este ca, în prima fază, să se determine toate liniile pe care le generează fiecare pereche de puncte și după aceea să se găsească toate mulțimile de puncte care sunt apropiate liniilor particulare. Problema care apare în această procedură este aceea că presupune găsirea a $n(n-1)/2 \approx n^2$ linii și efectuarea a $n[n(n-1)]/2 \approx n^3$ comparații a fiecărui punct cu toate liniile.

Aceeași problemă poate fi privită și dintr-un alt punct de vedere folosind o abordare cunoscută ca și *transformarea Hough* [86], [101].

Se consideră un punct (x_i, y_i) și ecuația generală a unei linii drepte $y_i = ax_i + b$. Există o infinitate de linii ce trec prin (x_i, y_i) , care toate satisfac ecuația $y_i = ax_i + b$ pentru valori diferite ale lui a și b . Dacă însă se scrie ecuația în forma $b = -x_i a + y_i$ și se consideră planul ab (numit și *spațiul parametrilor*), atunci se obține ecuația unei singure linii pentru o pereche fixă (x_i, y_i) .



Mai mult, un al doilea punct (x_j, y_j) va avea de asemenea o linie în spațiul parametrilor asociată lui. Această linie va intersecta linia asociată punctului (x_i, y_i) la coordonatele (a', b') unde a' și b' sunt coeficienții dreptei care conține atât pe (x_i, y_i) cât și pe (x_j, y_j) în planul xy . De fapt, tuturor punctelor conținute în linia respectivă le corespund linii în spațiul parametrilor cu intersecția la (a', b') (figura 2.1.1).

Din punct de vedere al calculului atractivitatea transformatei Hough constă în fragmentarea spațiului parametrilor în așa numitele *celule acumulator*, așa cum este prezentat în figura 2.1.2. În aceasta figură (a_{\max}, a_{\min}) și (b_{\max}, b_{\min}) reprezintă *domeniul coeficienților*. Celulele acumulator $A(i, j)$ corespund pătratului asociat cu coordonatele spațiului parametrilor (a_i, b_j) .

Inițial, aceste celule sunt setate la zero. După aceea, pentru fiecare punct (x_k, y_k) din planul imaginii, se lasă parametrul a să ia toate valorile permise de subdiviziunile axei a și se determină toate b -urile corespunzătoare din ecuația $b = -x_k a + y_k$. Valorile b rezultate sunt ulterior rotunjite prin trunchiere până la cea mai apropiată valoare pe axa b . Dacă alegerea lui a_p generează soluția b_q , i se va atribui lui $A(p, q) = A(p, q) + 1$.

La sfârșitul acestei proceduri, o valoare M în celula $A(i, j)$ corespunde la M puncte în planul xOy care se află pe linia $y = a_i x + b_j$. Acuratețea coliniarității acestor puncte este determinată de numărul de subdiviziuni din planul ab .

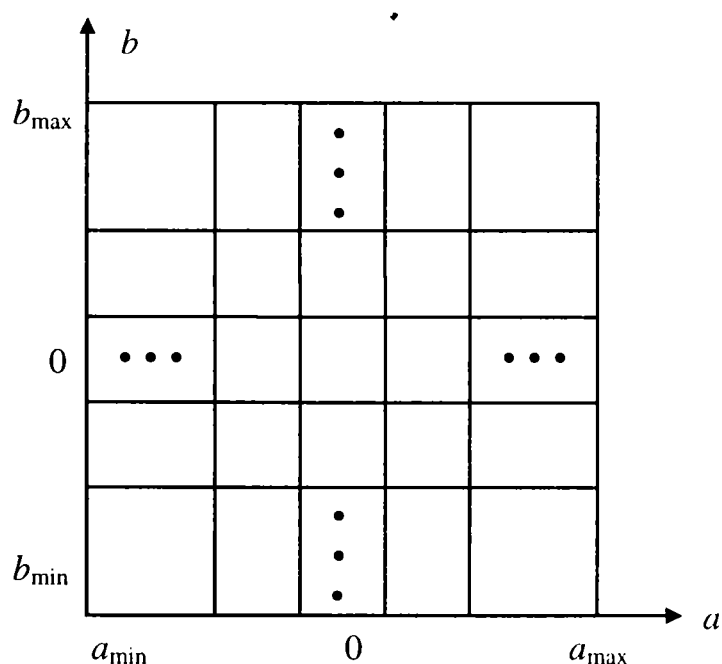


Fig. 2.1.2
Cuantizarea planului parametrilor în celule
pentru folosirea în transformata Hough

Se poate observa că dacă se împarte axa a în K părți, atunci pentru fiecare punct (x_k, y_k) se obțin K valori ale lui b corespunzând celor K valori posibile ale lui a . Deoarece sunt n puncte de imagine, aceasta presupune nK calcule. Astfel, procedura discutată este liniară în funcție de n .

Una din problemele care apar la folosirea formei $y = ax + b$ pentru ecuația dreptei, este aceea că dacă aceasta tinde spre verticală atât a cât și b vor tinde la infinit. Una din modalitățile de a evita această situație este folosirea reprezentării dreptei sub forma:

$$x \cos \theta + y \sin \theta = \rho \quad (2.1.4)$$

Parametrii folosiți în ecuația (2.1.4) sunt prezentați în figura 2.1.3,a. Utilizarea acestei reprezentări în construcția tabelii de acumulatori este identică cu metoda deja prezentată; unica diferență este aceea că, în loc de linii drepte, există curbe sinusoidale în planul (θ, ρ) . Ca și anterior, M puncte coliniare ce se află pe linia $x \cos \theta_i + y \sin \theta_i = \rho_i$ vor genera M curbe sinusoidale care intersectează la (θ_i, ρ_i) spațiul parametrilor. Dacă se folosește metoda incrementării lui θ și se determină ρ , procedura va genera M intrări în acumulatorul $A(i, j)$ asociat cu celula determinată de (θ_i, ρ_j) . Împărțirea spațiului parametrilor este prezentată în figura 2.1.3,b.

Deși s-au urmărit numai liniile drepte, transformata Hough se poate aplica oricăror funcții de forma $g(x, c) = 0$, unde x este o matrice de coordonate iar c este o matrice de coeficienți.

De exemplu, locul geometric al punctelor ce se află pe un cerc este dat de relația :

$$(x - c_1)^2 + (y - c_2)^2 = c_3^2 \quad (2.1.5)$$

și poate fi foarte ușor detectat folosind abordarea prezentată. Diferența esențială este aceea că, acum există trei parametri, c_1 , c_2 , și c_3 , ceea ce va conduce într-un spațiu tridimensional al parametrilor la celule în formă de cuburi și acumulatori de forma $A(i, j, k)$. Procedura se bazează pe incrementarea lui c_1 și c_2 , determinându-l pe c_3 care satisface ecuația (2.1.5), și reactualizarea acumulatorului corespunzător celulei asociate cu tripletul (c_1, c_2, c_3) .

Se poate observa faptul că complexitatea transformatei Hough este dependentă de numărul de coordonate și coeficienți din reprezentarea funcției.

Se mai precizează că există posibilitatea unei generalizări mai avansate a transformatei Hough pentru a detecta curbe cu o reprezentare analitică complicată.

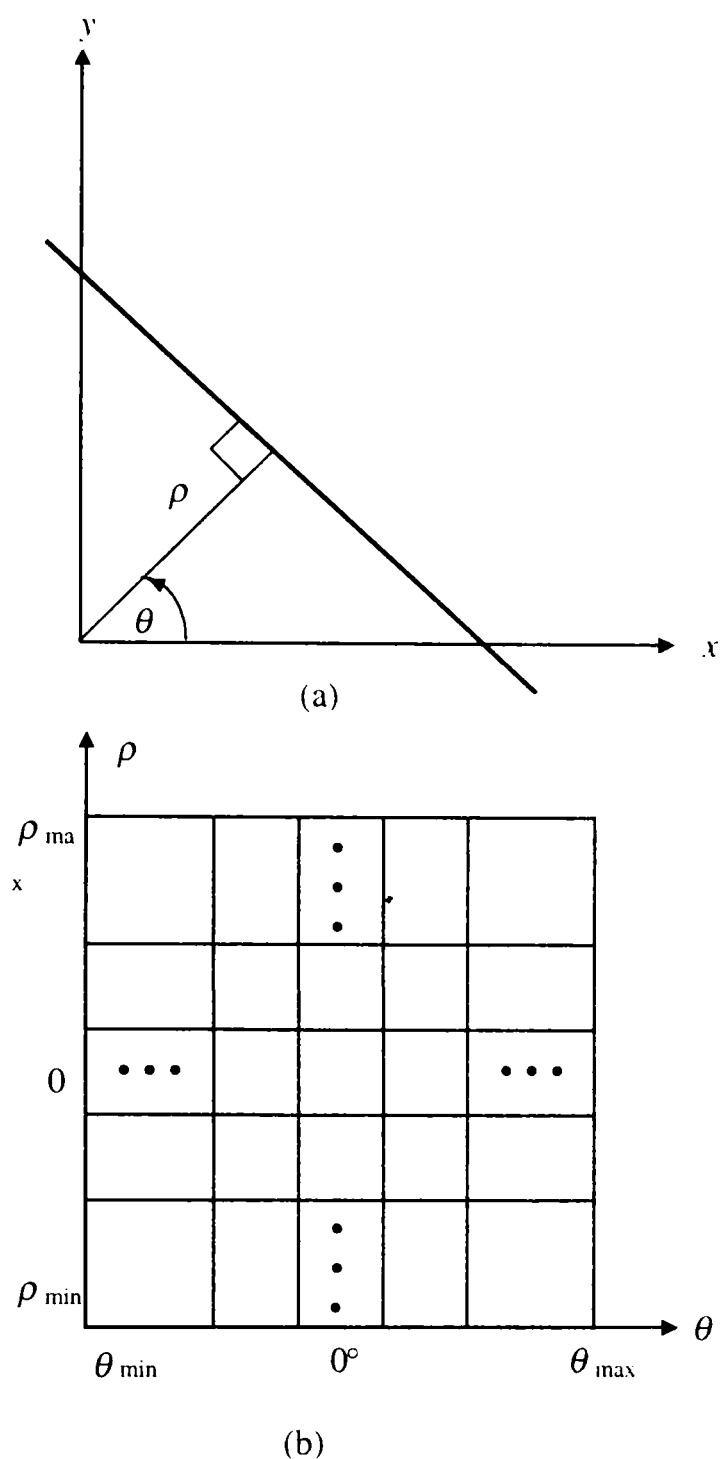


Fig. 2.1.3

- (a) Reprezentarea normală a unei linii
 (b) Cuantizarea planului $\theta\rho$ în celule

➤ **Analiza globală cu ajutorul tehnicilor teoriei grafurilor**

Metoda discutată anterior se bazează pe deținerea unui set de puncte de contur obținute în mod normal în urma unei operații de tip gradient. Deoarece gradientul este o derivată, el va evidenția variațiile puternice de intensitate, astfel că, este rar folosit în faza de preprocesare în situații caracterizate prin zgomot mare. Se poate realiza însă și o abordare globală bazată pe reprezentarea segmentelor de contur în forma unei

structuri de graf și pe căutarea drumului minim care corespunde segmentelor semnificative. Această reprezentare este grosolană, dar eficientă în prezența zgomotului.

Pentru prezentarea algoritmului sunt necesare câteva definiții de bază [10], [101], [132], [145], [148]. Un **graf** $G = (N, A)$ este o mulțime finită, nevidă de noduri N , împreună cu o mulțime A de perechi neordonate de elemente distincte ale lui N . Fiecare pereche (n_i, n_j) ale lui A este numită **arc**. Un graf ale cărui arce sunt orientate este numit **graf orientat**. Dacă un arc este orientat de la nodul n_i la nodul n_j , atunci spunem că n_j este **succesor al părintelui** său, n_i . Procesul prin care se identifică succesorii unui nod este denumit **expansiunea** nodului. În fiecare graf se definesc **nivele**, cum ar fi nivelul 0 care conține un singur nod, numit **nod de start**, iar nodurile din ultimul nivel sunt numite **noduri țintă**. **Costul** $c(n_i, n_j)$ poate fi asociat fiecărui arc (n_i, n_j) . O secvență de noduri n_1, n_2, \dots, n_k în care fiecare nod n_i este succesor al nodului n_{i-1} este numită **drumul** de la n_1 la n_k , și costul drumului este dat de relația :

$$c = \sum_{i=2}^k c(n_{i-1}, n_i) \quad (2.1.6)$$

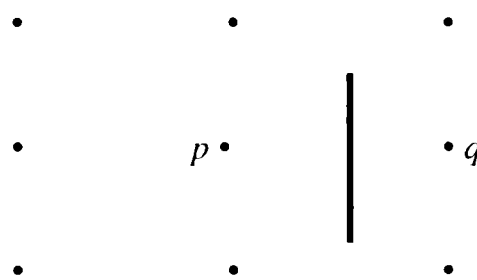


Fig. 2.1.4
Element de contur dintre pixelii p și q

În final, se definește un **element de contur** ca graniță dintre doi pixeli p și q , în așa fel încât p și q sunt vecini de tipul 4, (figura 2.1.4). În acest context un **contur**, este o secvență de elemente de contur.

În scopul de a ilustra cum funcționează aceste concepte pentru detecția de contur, se ia în considerare imaginea 3x3 prezentată în figura 2.1.5, unde numerele de pe margine sunt coordonate de pixel iar numerele din paranteze reprezintă intensitatea. Fiecărui element de contur definit de pixelii p și q i se va asocia un cost exprimat de relația :

$$c(p, q) = H - [f(p) - f(q)] \quad (2.1.7)$$

	0	1	2
0	• (7)	• (2)	• (2)
1	• (5)	• (7)	• (2)
2	• (5)	• (1)	• (0)

Fig. 2.1.5
O imagine 3x3

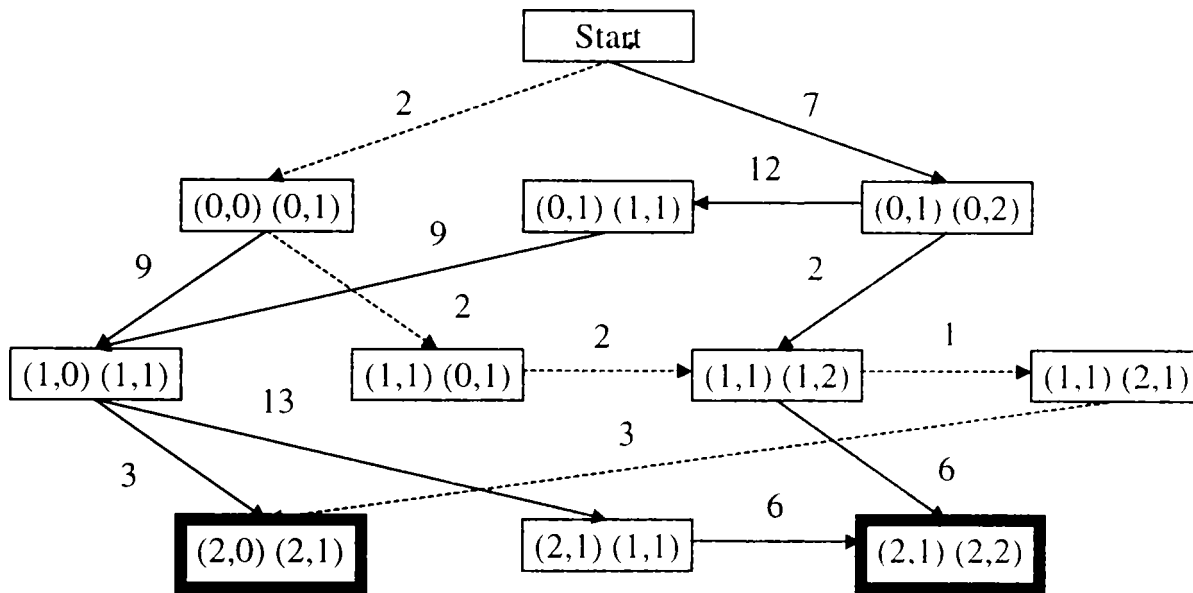


Fig. 2.1.6
Graful folosit pentru determinarea unui contur în imaginea din figura 2.1.5
Perechile (a, b) (c, d) din fiecare căsuță se referă la punctele p respectiv q.

unde :

- H este cea mai mare valoare de intensitate din imagine (7 în acest exemplu),
- $f(p)$ este valoarea intensității lui p
- $f(q)$ este valoarea intensității în q .

Așa cum s-a precizat mai sus p și q sunt vecini de tipul 4.

Graful pentru această aplicație este prezentat în figura 2.1.6.

Fiecare nod din graf corespunde unui element de contur. Un arc există între două noduri dacă două elemente de contur succesive sunt parte dintr-un contur. Costul fiecărui element de contur, calculat cu relația (2.1.7), este reprezentat de un arc ce ajunge la el, iar nodurile țintă sunt desenate în dreptunghiuri îngroșate. Fiecare drum de la nodul de start până la nodul țintă este un posibil contur.

Pentru simplificare, se presupune că se începe conturul în rândul de sus și se termină în ultimul rând, astfel că primul element de contur poate fi doar [(0,0), (0,1)] sau [(0,1), (0,2)] iar ultimul element [(2,0), (2,1)] sau [(2,1), (2,2)]. Drumul cu cost minim, calculat folosind relația (2.1.6), este reprezentat punctat în figura 2.1.6, iar conturul corespunzător este desenat în figura 2.1.7.

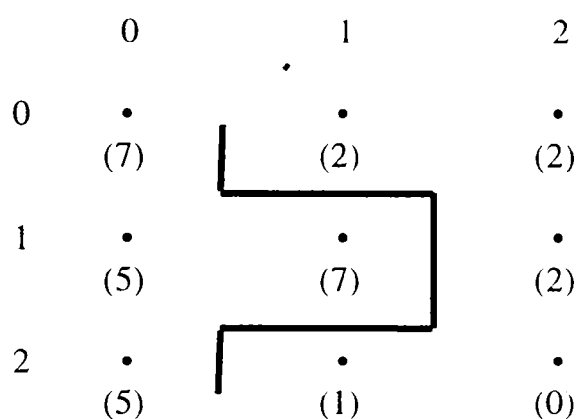


Fig. 2.1.7
Conturul corespunzător drumului cu cost minim

În general, problema găsirii drumului cu cost minim nu este una neînsemnată din punct de vedere al calcului. În mod normal, algoritmul folosit sacrifică varianta optimă pentru a câștiga în viteză, iar cel prezentat în continuare este reprezentativ pentru o clasă de proceduri care folosesc metode euristice în scopul de a reduce efortul de căutare.

Fie $r(n)$ o estimare a costului drumului minim de la nodul de start s până la un nod țintă, unde drumul este constrâns să treacă prin nodul n . Acest cost poate fi exprimat ca estimare a costului drumului minim de la s la n , plus o estimare a costului drumului de la n la un nod țintă :

$$r(n) = g(n) + h(n) \tag{2.1.8}$$

unde :

- $g(n)$ poate fi ales ca cel mai mic cost al unui drum de la s la n găsit până în această fază
- $h(n)$ este obținut folosind orice informație euristică disponibilă (de exemplu : expandând numai anumite noduri pe baza costurilor găsite anterior în încercarea de a ajunge la acel nod).

Un algoritm care folosește $r(n)$ ca pe o bază pentru realizarea căutării într-un graf are următorii pași :

1. Marchează nodul de start DESCHIS și atribuie lui $g(s) = 0$.
2. Dacă nodul este DESCHIS, ieși cu eroare; în caz contrar continuă.
3. Marchează ca ÎNCHIS nodul DESCHIS a cărui estimare $r(n)$ calculată cu ecuația (2.1.8) este mai mică. (Egalitățile în cazul a două valori minime ale lui r sunt rezolvate arbitrar dar întotdeauna în favoarea unui nod țintă).
4. Dacă n este un nod țintă, ieși cu soluția drumului obținută parcurgând lista înapoi prin pointeri; în caz contrar continuă.
5. Expandază nodul n , generând toți succesorii lui. (Dacă nu are succesori, du-te la pasul 2).
6. Dacă un succesori n_i nu este marcat, atribuie :

$$r(n_i) = g(n) + c(n, n_i)$$

marchează-l DESCHIS, și direcționează pointerii de la el înapoi la n .

7. Dacă un succesori n_i este marcat ÎNCHIS sau DESCHIS, reactualizează-i valoarea astfel

$$g'(n_i) = \min[g(n_i), g(n) + c(n, n_i)]$$

Marchează DESCHIS acei succesori ÎNCHIȘI ale căror valori g' sunt cele mai mici și redirecționează către n toți pointerii pentru toate nodurile ale căror valori g' sunt mici. Du-te la pasul 2.

În general, acest algoritm nu garantează găsirea drumului minim; avantajul lui este viteza datorită folosirii tehnicii euristice.

Se poate demonstra, totuși, că dacă $h(n)$ este un cost cu o aproximație bună a costului drumului minim, atunci procedura va găsi un drum optim către țintă.

2.1.2 Folosirea pragului pentru segmentarea imaginii

Conceptul de prag a fost introdus ca o operație care presupune un test cu o funcție de forma :

$$T = T[x, y, p(x, y), f(x, y)] \quad (2.1.9)$$

unde :

- $f(x,y)$ este intensitatea punctului (x,y)
- $p(x,y)$ denotă unele proprietăți locale măsurate în vecinătatea acestui punct.

O imagine generată cu un prag, $g(x,y)$ este creată cu ajutorul următoarei definiții

$$g(x, y) = \begin{cases} 1 & \text{dacă } f(x, y) > T \\ 0 & \text{dacă } f(x, y) \leq T \end{cases} \quad (2.1.10)$$

în așa fel încât pixelii din $g(x,y)$ notați cu 1 corespund obiectelor, în timp ce pixelii notați cu 0 corespund fondului. Ecuația (2.1.10) presupune că intensitatea obiectelor este mai mare decât intensitatea fondului. Condiția opusă este tratată de aceeași relație prin inversarea sensului inegalităților.

➤ Praguri globale și locale

Când funcția T din ecuația (2.1.9) depinde doar de $f(x,y)$, pragul folosit se numește **prag global**. Dacă T depinde atât de $f(x,y)$ cât și de $p(x,y)$, atunci pragul este numit **prag local**. Dacă în plus, T depinde și de coordonatele spațiale x și y , pragul se numește **prag dinamic**.

Pragurile globale se folosesc când o aplicație este în situația de a prelucra o imagine care are o definiție clară între obiecte și fond, și unde iluminarea este relativ uniformă. Tehnicile de iluminare din spate sau iluminare structurată generează de obicei imagini care pot fi segmentate cu praguri globale.

Pentru cele mai multe cazuri, însă, iluminarea arbitrară a mediului de lucru generează imagini, care dacă sunt tratate prin praguri, vor necesita anumite tipuri de analize locale pentru a compensa efecte cum ar fi neuniformități de iluminare, umbre, sau reflecții.

➤ Selectarea pragului optim

Deseori este posibil să se trateze o histogramă ca fiind formată din suma funcțiilor de densitate de probabilitate. În cazul unei histograme bimodale funcția care aproximează histograma este dată de

$$p(z) = P_1 p_1(z) + P_2 p_2(z) \quad (2.1.11)$$

unde:

- z este o variabilă aleatoare ce reprezintă intensitatea
- $p_1(z)$ și $p_2(z)$ sunt funcțiile de densitate probabilistică
- P_1 și P_2 sunt numite probabilități presupuse.

Aceste ultime valori sunt simple probabilități de apariție a două tipuri de nivele de intensitate într-o imagine.

De exemplu, se consideră o imagine a cărei histogramă este prezentată în figura 2.1.8,a. Histograma acoperitoare poate fi aproximată de suma a două funcții de densitate de probabilitate (figura 2.1.8,b). Dacă se cunoaște faptul că pixelii luminoși reprezintă obiecte și că 20% din suprafața imaginii este ocupată de pixelii obiectelor, atunci $P_1 = 0.2$. Este necesar ca

$$P_1 + P_2 = 1 \quad (2.1.12)$$

ceea ce indică faptul că, ceilalți 80% sunt pixeli de fond.

Se definesc două funcții de z :

$$d_1(z) = P_1 p_1(z) \quad (2.1.13)$$

și

$$d_2(z) = P_2 p_2(z) \quad (2.1.14)$$

Eroarea medie asumată în procesul de calificare a unui pixel obiect ca și pixel de fond, sau invers, este minimizată prin folosirea următoarei reguli: fiind dat un pixel cu valoarea intensității z , se înlocuiește această valoare în ecuațiile (2.1.13) și (2.1.14). Apoi, se clasifică pixelul ca un pixel obiect dacă $d_1(z) > d_2(z)$ sau ca un pixel de fond dacă relația se inversează, adică $d_2(z) > d_1(z)$.

Pragul optim este dat de valoarea lui z pentru care există relația $d_1(z) = d_2(z)$. Astfel, dacă se atribuie $z = T$ în ecuațiile (2.1.13) și (2.1.14), se determină pragul optim care satisface ecuația :

$$P_1 p_1(T) = P_2 p_2(T) \quad (2.1.15)$$

Dacă sunt cunoscute formele funcțiilor $p_1(z)$ și $p_2(z)$ se poate folosi această relație pentru a determina pragul optim care separă obiectele de fond. Odată ce acest prag a fost determinat, ecuația (2.1.10) poate fi folosită pentru segmentarea unei imagini date.

Se poate utiliza ecuația (2.1.15), presupunând că $p_1(z)$ și $p_2(z)$ sunt funcțiile lui Gauss de densitate a probabilității, adică:

$$p_1(z) = \frac{1}{\sqrt{2\pi}\sigma_1} e^{-\left[\frac{(z-m_1)^2}{2\sigma_1^2}\right]} \quad (2.1.16)$$

și

$$p_2(z) = \frac{1}{\sqrt{2\pi}\sigma_2} e^{-\left[\frac{(z-m_2)^2}{2\sigma_2^2}\right]} \quad (2.1.17)$$

unde:

- m_1 și m_2 sunt mediile
- σ_1 și σ_2 sunt abaterile medii pătratice

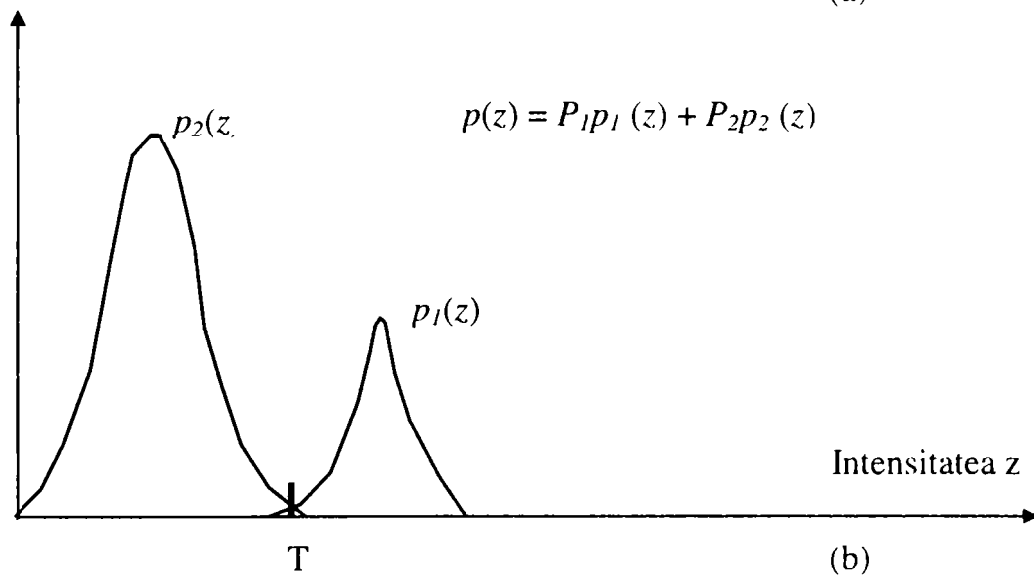
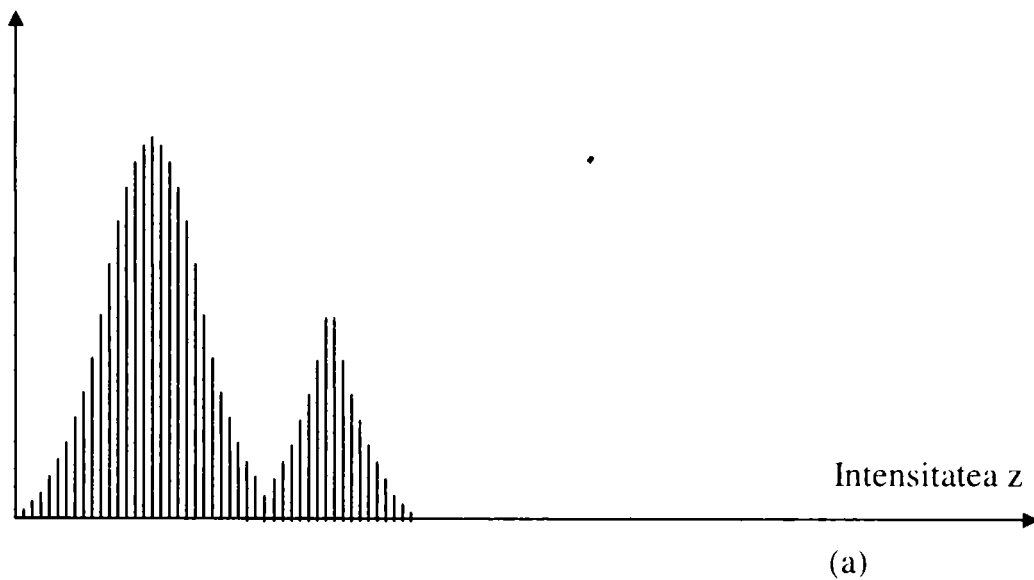


Fig. 2.1.8

(a) Histogramă de intensitate

(b) Aproximarea ca sumă a două funcții de densitate probabilistică

Se face atribuirea $z = T$ în aceste expresii, care înlocuite în ecuația (2.1.15), după simplificare va conduce la :

$$AT^2 + BT + C = 0 \quad (2.1.18)$$

unde :

$$A = \sigma_1^2 - \sigma_2^2$$

$$B = 2(m_1\sigma_2^2 - m_2\sigma_1^2) \quad (2.1.19)$$

$$C = \sigma_1^2 m_2^2 - \sigma_2^2 m_1^2 + 2\sigma_1^2 \sigma_2^2 \ln \frac{\sigma_2 P_1}{\sigma_1 P_2}$$

Posibilitatea existenței a două soluții indică faptul că pot fi necesare două valori de prag pentru obținerea unei soluții optime.

Dacă deviațiile standard sunt egale, $\sigma_1 = \sigma_2 = \sigma$, o singură valoare de prag este suficientă

$$T = \frac{m_1 + m_2}{2} + \frac{\sigma^2}{m_1 - m_2} \ln \frac{P_2}{P_1} \quad (2.1.20)$$

Dacă $\sigma = 0$ sau $P_1 = P_2$, pragul optim este media aritmetică a mediilor m_1 și m_2 . Prima condiție înseamnă doar că atât intensitățile obiectelor cât și ale fondului sunt constante peste întreaga imagine. A doua condiție înseamnă că pixelii obiectelor și ai fondului au aceeași probabilitate de apariție, condiție întâlnită de fiecare dată când numărul pixelilor obiectelor din imagine este egal cu cel al pixelilor fondului.

Abordarea prezentată este aplicabilă și în selecția pragurilor multiple. Se presupune că se poate modela o histogramă multimodală ca sumă a n funcții de densitate de probabilitate după cum urmează :

$$p(z) = P_1 p_1(z) + \dots + P_n p_n(z) \quad (2.1.21)$$

După aceasta, problema pragului optim poate fi abordată ca o clasificare a unui pixel dat ca aparținând uneia din cele n categorii posibile. Decizia cu eroare minimă se bazează în acest caz pe n funcții de forma :

$$d_i(z) = P_i p_i(z) \quad i = 1, 2, \dots, n \quad (2.1.22)$$

Un pixel dat cu intensitatea z este atribuit categoriei k dacă $d_k(z) > d_j(z)$, $j = 1, 2, \dots, n$; $j \neq k$. Pragul minim între categoria k și categoria j , notat prin T_{kj} , este obținut rezolvând ecuația :

$$P_k p_k(T_{kj}) = P_j p_j(T_{kj}) \quad (2.1.23)$$

Cu toate acestea problema reală în folosirea histogramelor cu praguri multiple este determinarea sensului modurilor histogramei.

➤ **Selectarea pragului pe baza caracteristicilor de margine**

Una din cele mai importante aspecte în selectarea pragului este capabilitatea de a identifica vârfurile modurilor dintr-o histogramă dată. Acest lucru este important în selectarea automată a pragului în situații în care caracteristicile imaginii aparțin unei game largi de distribuții ale intensității. Șansa de a selecta un prag bun crește considerabil dacă vârfurile histogramei sunt înalte, ascuțite, simetrice, și separate prin văi adânci.

O modalitate de a îmbunătăți forma unei histograme este aceea de a considera doar acei pixeli care se află pe sau în jurul graniței dintre obiecte și fond.

O îmbunătățire imediată și evidentă este aceea că face histograma mai puțin dependentă de dimensiunea relativă între obiecte și fond. De exemplu, histograma intensității unei imagini compuse dintr-un fond mare și cu intensitate aproape constantă și un obiect mic va fi dominată de un vârf mare datorat concentrației pixelilor de fond.

Pe de altă parte, dacă sunt folosiți doar pixelii aflați pe sau în jurul graniței dintre obiecte și fond, histograma rezultată va avea vârfuri ale căror înălțimi sunt mai echilibrate. În plus, probabilitatea ca un pixel dat să fie aproape de marginea unui obiect este practic egală cu probabilitatea ca el să se afle pe marginea fondului.

Funcțiile gradient, $G[f(x,y)]$ și Laplacian $L[f(x,y)]$, în fiecare punct din imagine se pot folosi pentru a forma o imagine pe trei nivele, astfel :

$$s(x, y) = \begin{cases} 0 & \text{dacă } G[f(x, y)] < T \\ + & \text{dacă } G[f(x, y)] \geq T \text{ și } L[f(x, y)] \geq 0 \\ - & \text{dacă } G[f(x, y)] \geq T \text{ și } L[f(x, y)] < 0 \end{cases} \quad (2.1.24)$$

unde : simbolurile 0, +, - reprezintă oricare trei nivele distincte de gri, iar T este pragul.

Presupunând un obiect întunecat pe un fond luminos, și făcând referire la figura 1.6.1,b, folosirea ecuației (2.1.24) produce o imagine $s(x,y)$ în care toți pixelii care nu sunt pe o margine (așa cum îi determină $G[f(x,y)]$ ca fiind mai mici decât pragul T) sunt marcați "0", toți pixelii de pe partea întunecată a conturului sunt marcați cu "+", iar toți pixelii de pe partea luminoasă a conturului sunt marcați cu "-".

Simbolurile + și - din ecuația (2.1.24) sunt inversate pentru un obiect luminos aflat pe un fond întunecat.

Informația obținută folosind această procedură poate fi folosită pentru a genera o imagine binară segmentată, în care 1 corespunde obiectelor de interes iar 0 corespunde fondului. În primul rând se remarcă faptul că tranziția (de-a lungul unei linii orizontale sau verticale) de la un fond luminos la un obiect întunecat trebuie să fie caracterizată de apariția unui - urmat de un + în $s(x,y)$. Interiorul obiectului este compus din pixeli care sunt marcați ori cu 0 ori cu +. În final, tranziția înapoi de la obiect la fond este caracterizată de apariția unui + urmat de un -.

Astfel se obține o linie orizontală sau verticală conținând o secțiune a unui obiect de următoarea formă:

$$(\dots)(-, +)(0 \text{ sau } +)(+, -)(\dots)$$

unde (\dots) reprezintă orice combinație de +, -, sau 0. Parantezele interioare conțin pixeli ai obiectului și vor fi marcați cu 1. Toți ceilalți pixeli aflați pe aceeași linie de scanare sunt marcați cu 0, cu excepția oricărei alte secvențe $(0 \text{ sau } +)$ mărginită de $(-, +)$ și $(+, -)$.

➤ Praguri bazate pe mai multe variabile

În unele aplicații este posibilă folosirea mai multor variabile pentru a caracteriza fiecare pixel dintr-o imagine, în acest fel îmbunătățind capacitatea de a diferenția nu doar între obiecte și fond, dar chiar de a face distincție între obiecte [2], [12], [21], [90], [123], [157].

Un exemplu important este vederea în culori, unde componentele roșu, verde și albastru (RGB) sunt folosite pentru a forma o imagine compusă în culori. În acest caz, fiecare pixel este caracterizat de trei valori și este posibil să se construiască o histogramă tridimensională.

Procedura de baza este aceeași ca și cea folosită în cazul unei singure variabile. De exemplu, fiind date trei imagini pe 16 nivele corespunzând componentelor RGB a unui senzor de culoare, se formează o rețea $16 \times 16 \times 16$ (un cub) și se înserează în fiecare celulă a cubului numărul de pixeli a căror componente RGB au intensitățile corespunzătoare cu coordonatele care definesc locația celulei particulare. Fiecare intrare poate fi împărțită la numărul total de pixeli din imagine pentru a forma o histogramă normalizată.

Conceptul selecției pragului se transformă în descoperirea grupurilor de puncte din spațiul tridimensional, în care fiecare grup legat este similar cu un mod dominant într-o histogramă cu o singură variabilă.

Se presupune de exemplu, că s-au găsit două grupuri semnificative de puncte într-o histogramă dată, unde un grup corespunde obiectelor și altul fondului. Ținând seama de faptul că fiecare pixel are trei componente și, astfel, poate fi văzut ca un punct într-un spațiu tridimensional, se poate segmenta o imagine folosind următoarea procedură : pentru fiecare pixel din imagine se calculează distanța dintre acel pixel și centrul fiecărui grup. Astfel, dacă pixelul este mai apropiat de centrul grupului de obiecte, va fi marcat cu 1; altfel, va fi marcat cu 0.

Acest concept este foarte ușor de extins la mai multe componente de pixel și, normal la mai multe grupuri. Dificultatea principală este depistarea grupurilor semnificative deoarece pe măsură ce crește numărul de variabile crește și această procedură.

2.1.3 Segmentarea orientată pe regiuni

Obiectivul segmentării este împărțirea imaginii în regiuni. Se poate realiza acest obiectiv prin găsirea de margini între regiuni pe baza discontinuităților de intensitate, iar ulterior segmentarea se realizează prin praguri pe baza distribuției proprietăților pixelilor (intensitatea sau culoarea).

Se poate realiza segmentarea și prin descoperirea directă a regiunilor.

Fie R întreaga regiune a imaginii. Se imaginează procesul de segmentare ca o procedură ce împarte regiunea R în n subregiuni, R_1, R_2, \dots, R_n , în așa fel încât :

$$1. \bigcup_{i=1}^n R_i = R$$

2. R_i este o regiune conexă, $i = 1, 2, \dots, n$

3. $R_i \cap R_j = \emptyset$ pentru toți i și j , $i \neq j$

4. $P(R_i) = \text{TRUE}$ pentru $i = 1, 2, \dots, n$

5. $P(R_i \cup R_j) = \text{FALSE}$ pentru $i \neq j$

unde :

- $P(R_i)$ este predicatul logic definit peste punctele din mulțimea R_i
- \emptyset este mulțimea vidă

Condiția 1 indică faptul că segmentarea trebuie să fie completă; adică oricare pixel trebuie să fie într-o regiune. A doua condiție cere ca punctele dintr-o regiune să fie conexe. Condiția 3 indică faptul că regiunile trebuie să fie disjuncte. Condiția 4 impune proprietățile care trebuie satisfăcute de pixelii dintr-o regiune segmentată. Ultima condiție indică faptul că regiunile R_i și R_j sunt diferite în sensul predicatului P . Utilizarea acestor condiții în algoritmi de segmentare este discutată în subcapitolele următoare.

➤ Creșterea regiunilor prin adăugarea de pixeli

Creșterea regiunilor este o procedură care grupează pixelii sau subregiunile în regiuni mai mari [15], [19], [22], [104], [111], [133],[140]. Cea mai simplă dintre aceste abordări este *adăugarea de pixeli*, unde se pornește cu o mulțime de (nuclee) de puncte și din acestea se cresc regiunile prin adăugarea la fiecare punct *nucleu* a acelor pixeli vecini care au proprietăți similare (intensitate, culoare, textură, etc.).

Ca o ilustrare simplă a acestei proceduri se consideră figura 2.1.9,a, unde numerele din interiorul celulelor reprezintă valori de intensități.

Se presupune că punctele de coordonate (3,2) și (3,4) sunt folosite ca și nuclee. Folosind două puncte de start se realizează o segmentare ce va conține cel mult două regiuni : R_1 asociată nucleului (3,2) și R_2 asociată nucleului (3,4).

Proprietatea P care se va utiliza pentru a include un pixel într-una dintre regiuni este aceea că diferența absolută dintre intensitatea pixelului și intensitatea nucleului să fie mai mică decât pragul T (orice pixel ce satisface simultan această proprietate pentru amândouă nucleele este asociat arbitrar în regiunea R_1). Rezultatul obținut folosind $T = 3$ este prezentat în figura 2.1.9,b. În acest caz segmentarea constă din două regiuni, unde punctele din R_1 sunt marcate cu a iar punctele din R_2 sunt marcate cu b .

Este de remarcat faptul că oricare punct de start din aceste două regiuni ar fi generat același rezultat. Dacă, pe de altă parte, s-ar fi ales $T = 8$, ar fi rezultat o singură regiune, așa cum se arată în figura 2.1.9,c.

0	0	5	6	7
1	1	5	8	7
0	<u>1</u>	5	<u>7</u>	7
2	0	7	6	6
0	1	5	6	5

(a)

a	a	b	B	b
a	a	b	B	b
a	a	b	B	b
a	a	b	B	b
a	a	b	B	b

(b)

a	a	a	A	a
a	a	a	A	a
a	a	a	A	a
a	a	a	A	a
a	a	a	A	a

(c)

Fig. 2.1.9

Exemplu de creștere a regiunilor

(a) Matricea originală a imaginii

(b) Segmentarea rezultată folosind o diferență mai mică decât 3 între nivelele de intensitate

(c) Rezultatul folosirii unei diferențe mai mici decât 8

Exemplul precedent, deși este simplu, scoate în evidență unele dificultăți importante care apar în creșterea regiunilor. Acestea sunt :

- selectarea nucleelor inițiale care să reprezinte regiunile de interes
- selectarea unor proprietăți adecvate pentru includerea punctelor în diferitele regiuni pe parcursul procesului de creștere
- formularea unei reguli de oprire

Când o informație a priori nu este disponibilă, se poate proceda la calcularea în fiecare pixel a acelorași proprietăți care în final se vor folosi la atribuirea unui pixel la regiuni, în timpul procesului de creștere. Dacă rezultatul acestor calcule arată existența grupurilor de valori, atunci pixelii ale căror proprietăți îi plasează cel mai aproape de centrul grupurilor pot fi folosiți ca nucleee. În exemplul de mai sus, o

histogramă a-intensităților va arăta faptul că punctele cu intensitatea 1 și 7 sunt cele dominante.

Selecția de criterii similare este dependentă nu doar de problema tratată, dar și de tipul de date de imagine disponibil. Din păcate, posibilitatea deținerii de date multispectrale sau de alte tipuri este mai degrabă o excepție decât o regulă în vederea artificială. În mod normal, analiza regiunilor trebuie să se desfășoare folosind un set de descriptori bazați pe intensitate și alte proprietăți spațiale (momente, textură, etc.) a unei singure surse de imagini [12], [14], [23], [89], [98], [137], [153].

Este important faptul că folosirea numai a descriptorilor poate duce la rezultate greșite dacă nu se folosește și informația de conectivitate sau adiacență în procesul de creștere. Această observație se poate ușor vizualiza considerând un aranjament de pixeli cu doar trei valori de intensitate distinctă. Gruparea pixelilor cu aceeași intensitate pentru a forma o regiune, fără a ține seama de conectivitate va genera o segmentare care este total eronată.

În mod normal, se oprește creșterea când nici un pixel nu mai satisface criteriile de includere în acea regiune.

S-au menționat doar criterii ca : intensitatea, textura, și culoarea, care sunt locale și nu țin seama de istoria creșterii regiunii. Criteriile adiționale care măresc puterea unui algoritm de creștere încorporează conceptul de dimensiune, asemănarea dintre un pixel candidat și un pixel adăugat și forma unei regiuni în creștere. Utilizarea acestor tipuri de descriptori este bazată pe presupunerea că se dispune parțial de un model a ceea ce ar trebui să se obțină.

➤ **Divizarea și reuniunea regiunilor**

Se studiază creșterea regiunilor pornind de la o mulțime de puncte nucleu [1], [7], [17], [90], [112], [148]. O altă alternativă ar fi ca inițial să se împartă o imagine într-o mulțime de regiuni arbitrare și disjuncte, iar ulterior să fie unite sau divizate într-o încercare de a satisface condițiile impuse inițial. Algoritmul de divizare și reuniune care lucrează iterativ în scopul satisfacerii restricțiilor impuse poate fi explicat astfel :

Fie R întreaga regiune a imaginii, și P un predicat selectat. Se presupune că există o imagine pătrată și în acest caz, un procedeu de segmentare a lui R este divizarea lui în regiuni pătrate din ce în ce mai mici, în așa fel încât pentru orice regiune R_i , $P(R_i) = \text{TRUE}$. Procedura începe cu regiunea întreagă R . Dacă $P(R) = \text{FALSE}$, se divizează imaginea în pătrate, și așa mai departe.

Această tehnică particulară de împărțire are o reprezentare adecvată în forma așa numitului *arbore pătratic* (un arbore în care fiecare nod are exact patru descendenți). O ilustrare simplă este prezentată în figura 2.1.10.

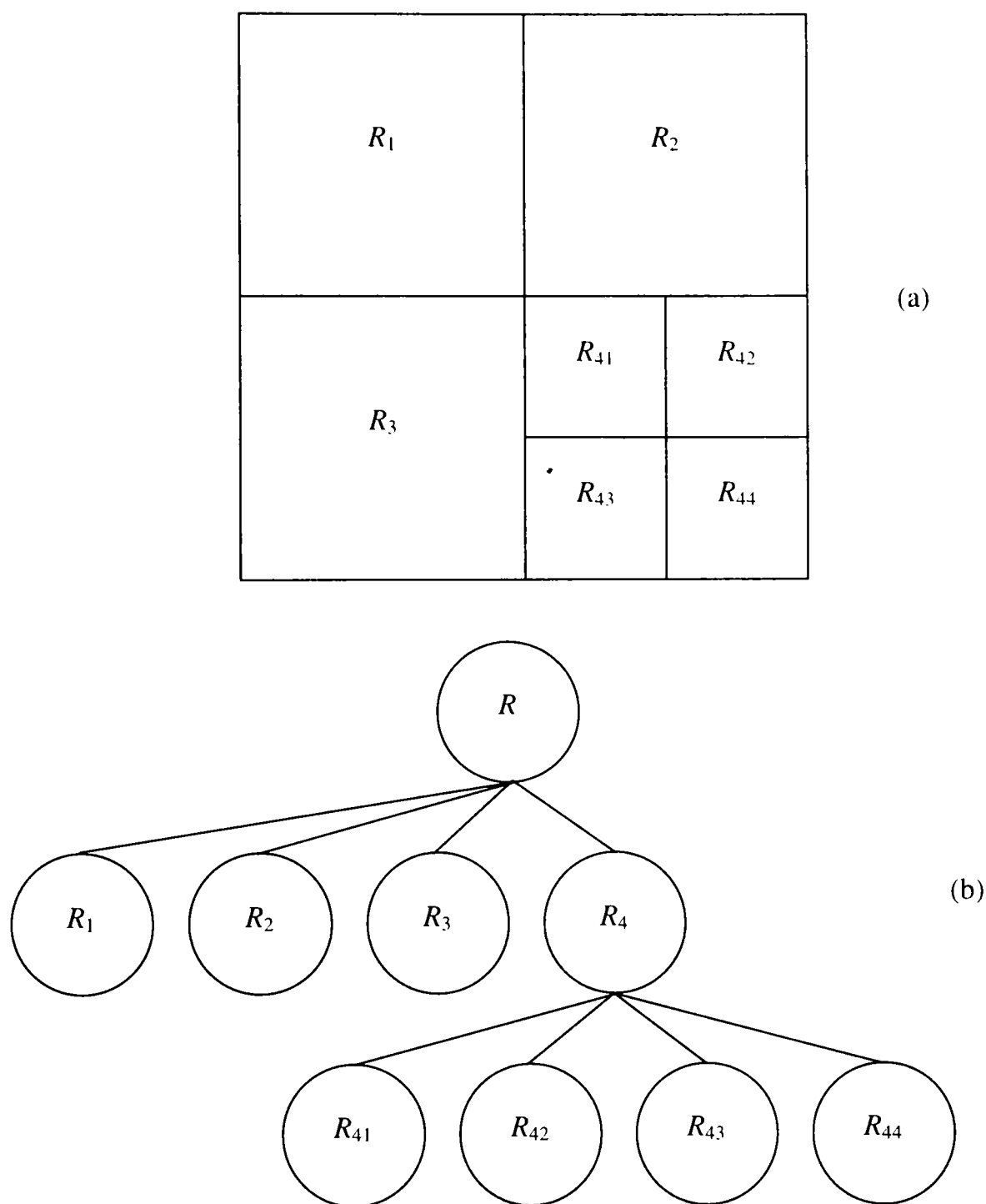


Fig. 2.1.10
 (a) Imaginea partiționată
 (b) Arborele pătratic corespunzător

Este de remarcat faptul că rădăcina arborelui corespunde cu întreaga imagine și fiecare nod corespunde unei divizări. În acest caz doar R_4 este divizat mai departe.

Dacă se folosesc doar divizări, este foarte probabil ca partiția finală să conțină regiuni adiacente cu proprietăți identice. Aceasta se poate remedia realizând

reuniunea, la fel ca și în cazul divizării. În scopul satisfacerii condițiilor de segmentare impuse anterior, se reunesc doar acele regiuni adiacente ale căror pixeli combinați satisfac predicatul P ; adică, se reunesc două regiuni adiacente R_i și R_k doar dacă $P(R_i \cup R_k) = \text{TRUE}$.

Rezultă următoarea procedură în care, la fiecare pas, se vor efectua :

1. Se divizează în patru pătrate disjuncte fiecare regiune R_i pentru care $P(R_i) = \text{FALSE}$
2. Se reunesc oricare două regiuni adiacente R_j și R_k pentru care $P(R_j \cup R_k) = \text{TRUE}$
3. Când nu se mai pot realiza nici reuniuni și nici divizări, se oprește procedura.

Se pot realiza și variante ale procedurii. Astfel, una din posibilități este că inițial se divizează imaginea într-un set de blocuri pătratic. Divizările ulterioare se desfășoară în aceeași idee, dar reuniunea este inițial limitată la grupuri de patru blocuri care sunt descendente din arborele pătratic și care satisfac predicatul P . Când nu mai sunt posibile reuniuni de acest tip, procedura se termină cu o reuniune finală a regiunilor care satisfac pasul 2 de mai sus.

Este evident că, regiunile care sunt astfel reunite pot diferi ca dimensiune. Avantajul principal al acestei abordări este utilizarea aceluiași arbore pătratic pentru divizare și reuniune până în momentul reuniunii finale.

Prezentarea utilizării unui algoritm de divizare și reuniune este ilustrată în figura 2.1.11. Imaginea luată în considerare constă dintr-un singur obiect și fond. Pentru simplificare, se presupune că atât obiectul cât și fondul au intensități constante și că $P(R_i) = \text{TRUE}$ dacă toți pixelii din R_i au aceeași intensitate. Astfel, pentru întreaga regiune a imaginii R , va rezulta $P(R) = \text{FALSE}$, așa că imaginea se va diviza ca și în figura 2.1.11,a. La pasul următor doar colțul din stânga sus satisface predicatul și prin urmare va rămâne neschimbat, în timp ce celelalte trei pătrate se divizează în pătrate mai mici, așa cum se arată în figura 2.1.11,b. În acest punct al procedurii mai multe regiuni pot fi reunite, cu excepția celor două pătrate ce se află în partea de jos a imaginii. Rezultatul operației de divizare și reuniune este prezentat în figura 2.1.11,c.

Toate regiunile satisfac predicatul P , și reuniunea regiunilor similare rezultate din ultima operație de divizare va genera rezultatul final, adică segmentarea dorită ca în figura 2.1.11,d.

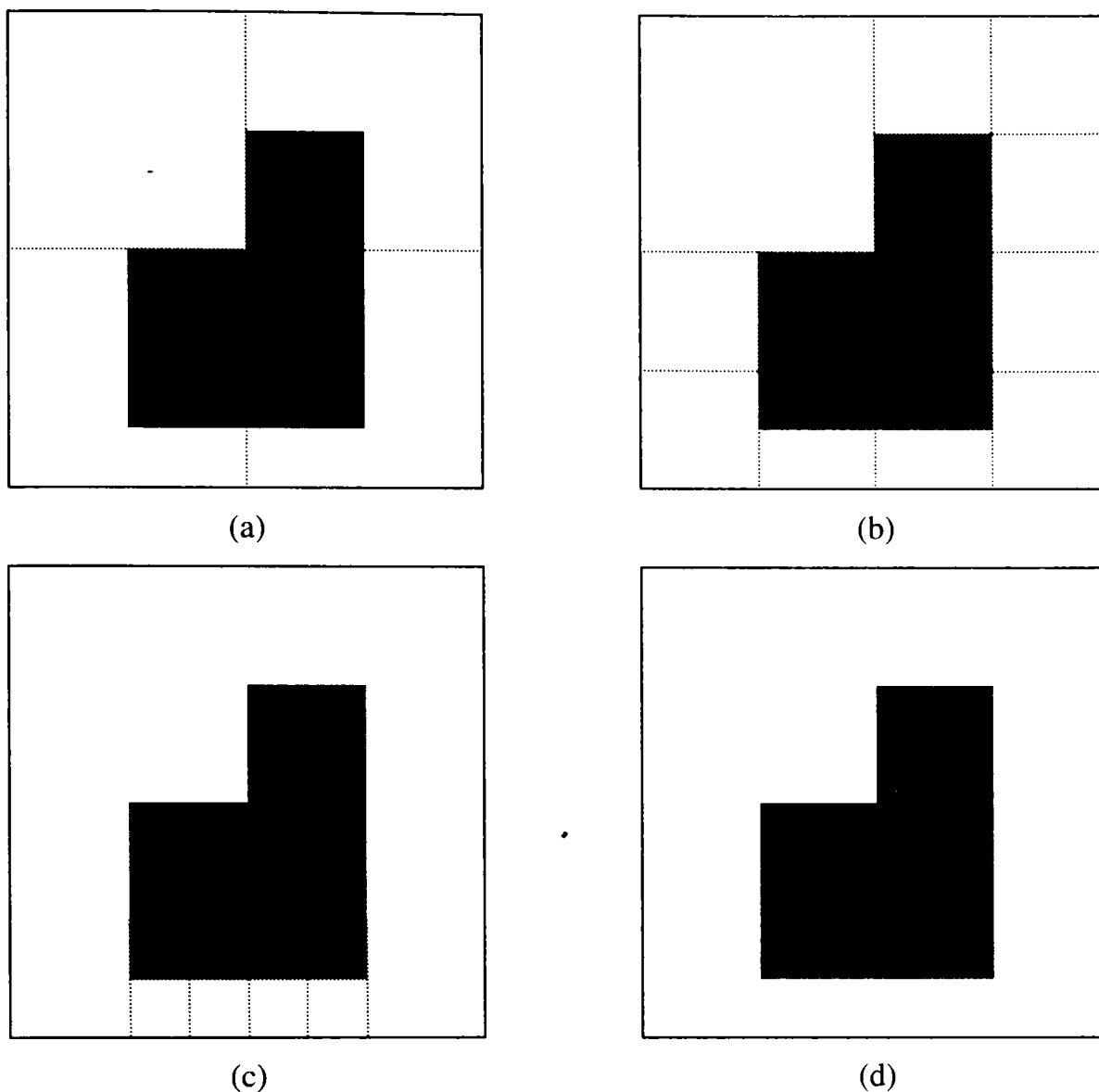


Fig. 2.1.11
Exemplu de algoritm de divizare și reuniune

2.1.4 Utilizarea mișcării

Mișcarea este un procedeu utilizat pentru a extrage obiectele de interes dintr-un fond. În vederea artificială, mișcarea apare în mai multe variante: mai multe obiecte se mișcă pe o bandă rulantă, un senzor montat pe o mână mișcătoare înregistrează alte obiecte statice ori în mișcare sau, mișcarea întregului sistem robotizat și a corpurilor din jur. Problema care se pune este sesizarea mișcării prin analiza imaginilor obiectelor.

➤ Abordarea de bază

Una din cele mai simple abordări pentru detectarea schimbărilor dintre două imagini $f(x,y,t_i)$ și $f(x,y,t_j)$ luate la timpii t_i respectiv t_j , este compararea celor două imagini pixel cu pixel. Una din procedurile de a realiza acest lucru este *diferența imaginii*.

Se presupune că există o imagine de referință conținând doar componente staționare. Dacă se compară această imagine cu o imagine următoare care are același fond dar conține și un obiect mișcător, diferența dintre cele două imagini va anula componentele staționare, lăsând doar intrările nenule care corespund componentelor nestaționare ale imaginii.

O imagine diferență dintre două imagini luate la timpii t_i și t_j poate fi definită astfel :

$$d_{ij}(x, y) = \begin{cases} 1 & \text{dacă } |f(x, y, t_i) - f(x, y, t_j)| > \theta \\ 0 & \text{altfel} \end{cases} \quad (2.1.25)$$

unde : θ este pragul.

Este de remarcat faptul că $d_{ij}(x,y)$ are un 1 la coordonatele spațiale (x,y) doar dacă diferența de intensitate dintre cele două imagini este apreciabilă la coordonatele respective, așa cum este impus de pragul θ .

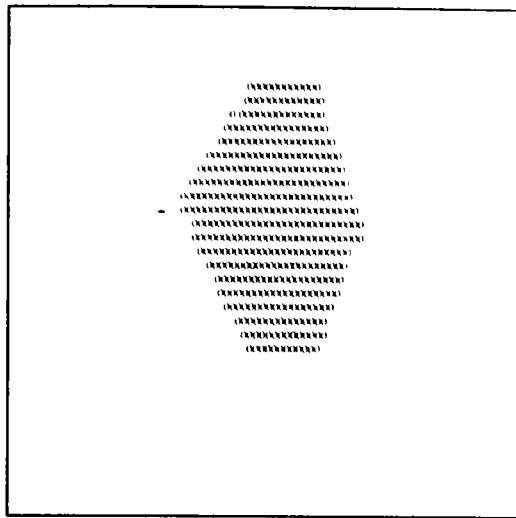
În analiza dinamică a imaginii, toți pixelii din $d_{ij}(x,y)$ cu valoarea 1 sunt considerați rezultatul mișcării obiectului.

Această abordare este aplicabilă doar dacă cele două imagini sunt înregistrate și iluminarea este relativ constantă între limitele stabilite de pragul θ . În realitate, intrările marcate cu 1 în $d_{ij}(x,y)$ apar deseori și din pricina zgomotului. În mod normal, acestea vor fi puncte izolate în imaginea diferență și o metodă simplă de eliminare a lor este formarea de regiuni 4 sau 8 conexe de 1 în $d_{ij}(x,y)$. Apoi se ignoră acele regiuni care au un număr de intrări mai mic decât cel predeterminat.

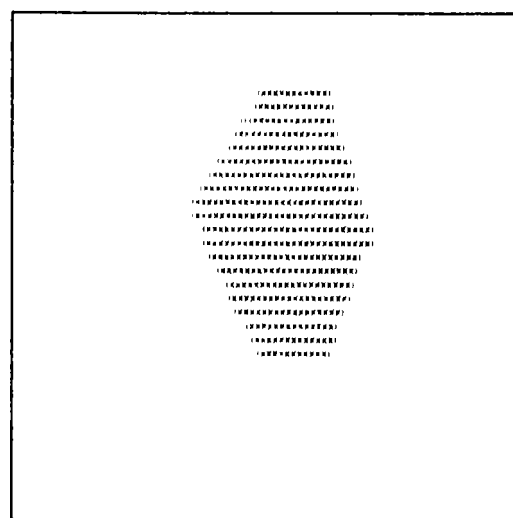
Acest procedeu poate duce la ignorarea unor obiecte în mișcare, foarte mici sau foarte lente, dar mărește șansele ca intrările rămase în imaginea diferență să fie datorate doar mișcării.

Conceptele prezentate mai sus sunt exemplificate în figura 2.1.12. Figura 2.1.12,a reprezintă imaginea referință luată la timpul t_i și conține un singur obiect de intensitate constantă care se deplasează cu viteză constantă peste o suprafață de fond, de asemenea de intensitate constantă. Figura 2.1.12,b arată aceeași imagine luată la timpul t_j , iar figura 2.1.12,c reprezintă imaginea diferență calculată folosind ecuația (2.1.25) cu un prag mai mare decât intensitatea constantă a fondului.

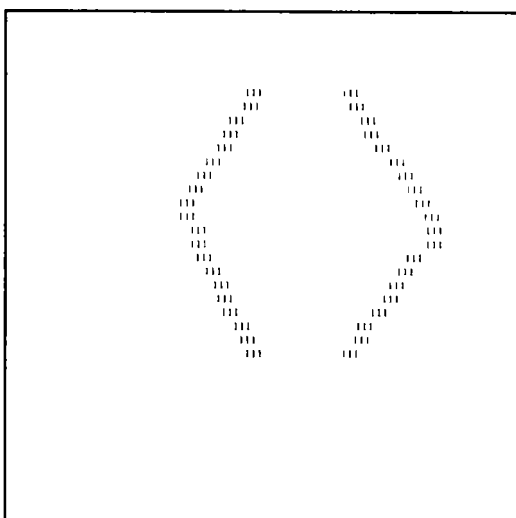
Se remarcă faptul că s-au obținut două regiuni distincte din procesul de diferență: o regiune este rezultatul feței obiectului iar cealaltă, a spatelui obiectului mișcător.



(a)



(b)



(c)

Fig. 2.1.12(a) Imaginea luată la timpul t_i (b) Imaginea luată la timpul t_j

(c) Imaginea diferență

➤ Diferențe acumulative

Este evident că o imagine diferență va conține deseori intrări izolate datorate zgomotului. Deși s-a văzut că numărul acestor intrări poate fi redus sau eliminat cu ajutorul unei analize de conectivitate cu prag, acest proces de filtrare poate elimina din păcate obiecte mici sau cu viteză de deplasare redusă.

Se tratează această problemă luând în considerare modificările la nivel de pixel pe mai multe cadre de imagine, introducând astfel o "memorie" în proces. Ideea de bază este aceea de a ignora acele modificări care apar sporadic pe parcursul unei secvențe de imagini, fiind atribuite zgomotului aleator [8], [11], [18], [89], [93], 103], [115], [124], [133], [155].

Se consideră o secvență de imagini $f(x,y,t_1), f(x,y,t_2), \dots, f(x,y,t_n)$, și fie $f(x,y,t_1)$ *imaginea de referință*. O *imagine diferență acumulativă* este formată prin compararea acestei imagini de referință cu fiecare imagine din cadrul secvenței. Un contor pentru fiecare locație de pixel în cadrul imaginii acumulative este incrementat de fiecare dată când apare o diferență la acea locație de pixel între imaginea de referință și imaginea din secvență. Astfel, când imaginea k este comparată cu imaginea de referință, intrarea dintr-un pixel dat din imaginea acumulativă arată de câte ori intensitatea la acea locație a fost diferită de valoarea pixelului corespunzător din imaginea de referință. Diferențele se stabilesc cu ajutorul relației (2.1.25).

Această abordare teoretică este exemplificată în figura 2.1.13. Figurile de la (a) la (e) reprezintă un obiect rectangular (reprezentat de zerouri) care se deplasează spre dreapta cu o viteză constantă de 1 pixel/cadru. Imaginile reprezintă secvențe de timp luate la o deplasare de pixel. Figura 2.1.13,a este imaginea de referință. Figurile 2.1.13,b până la 2.1.13,d sunt cadrele 2 până la 4 din secvență, iar figura 2.1.13,e este cadrul 11. Figurile 2.1.13,f până la 2.1.13,i sunt imaginile acumulative. În figura 2.1.13,f, coloana de 1 din stânga rezultă ca diferență dintre obiectul din figura 2.1.13,a și fondul din figura 2.1.13,b. Coloana de 1 din dreapta este cauzată de diferența dintre fondul din imaginea de referință și marginea din față a obiectului mișcător. În momentul celui de-al patrulea cadru, figura 2.1.13,d, prima coloană diferită de zero a imaginii de diferențe acumulative arată contorul 3, indicând trei diferențe totale dintre coloana din imaginea de referință și coloana corespunzătoare din secvența de cadre. În final, figura 2.1.13,i, arată un total de 10 ("A" în hexazecimal) modificări la acea locație. Celelalte intrări din figură sunt explicate într-un mod similar.

Se obișnuiește să se ia în considerare trei tipuri de imagini diferență acumulative: absolute (AADI), pozitive (PADI), și negative (NADI). Ultimele două cantități sunt obținute folosind ecuația (2.1.25) fără valoarea absolută, folosind imaginea de referință în loc de $f(x,y,t_i)$. Presupunând că intensitățile unui obiect sunt numeric mai mari decât cele ale fondului, atunci dacă diferența este pozitivă, ea va fi comparată cu un prag pozitiv; dacă este negativă, ea va fi comparată cu un prag negativ. Această definiție se inversează dacă intensitățile unui obiect sunt mai mici decât fondul.

Figura 2.1.14,a până la c arată cele trei tipuri de imagini diferență acumulative AADI, PADI, și NADI pentru un obiect de mărimea 20x20 pixeli a cărui intensitate

este mai mare decât cea a fondului, și care se deplasează cu viteză constantă în direcția sud-est.

Este important de remarcat faptul că, atunci când obiectul este deplasat din poziția lui originală-creșterea spațială a unei imagini PADI se oprește. Cu alte cuvinte, când un obiect a cărui intensitate este mai mare decât cea a fondului este complet deplasat din poziția lui inițială din imaginea de referință, nu vor mai apărea intrări noi în imaginea diferență acumulativă pozitivă. Astfel, când creșterea se oprește, imaginea PADI reprezintă poziția inițială a obiectului în cadrul imaginii de referință.

Această proprietate poate fi utilizată în scopul realizării unei referințe pentru o secvență dinamică de imagini.

Se mai observă din figura 2.1.14 faptul că o imagine AADI conține atât regiunile unei imagini PADI cât și cele ale unei imagini NADI, și că, intrările din aceste imagini dau o indicație asupra vitezei și direcției mișcării obiectului.

➤ **Stabilirea unei imagini de referință**

Problema cea mai importantă în aplicarea tehnicilor anterioare este obținerea unei imagini de referință față de care să se realizeze comparațiile. Așa cum s-a menționat, diferența dintre două imagini într-o problemă de imagini dinamice are tendința de a anula toate componentele staționare, și a lăsa doar elementele de imagine care corespund zgomotului și obiectelor mișcătoare.

Problema zgomotului poate fi tratată prin filtrare așa cum s-a prezentat anterior sau prin formarea de imagini acumulative.

În practică nu este posibilă întotdeauna obținerea unei imagini de referință care să conțină doar elemente staționare și devine necesară construirea unei imagini referință dintr-un set de imagini conținând unul sau mai multe obiecte mișcătoare. Aceasta se poate întâmpla în situații care descriu scene aglomerate sau în cazuri în care este necesară o frecvență de citire ridicată [16], [19], [29], [113], [150].

Una din modalitățile de generare a unei imagini de referință este următoarea: Se presupune că prima imagine din secvență este cea de referință. Când un obiect nestaționar s-a mutat complet de pe poziția lui inițială din imaginea referință, fondul corespunzător din imaginea curentă poate fi duplicat în locația originală ocupată de obiect în imaginea referință. Când toate obiectele mișcătoare s-au mutat complet din poziția lor originală, se va crea o imagine de referință conținând doar componentele

staționare. Deplasarea completă a obiectelor poate fi stabilită monitorizând creșterea imaginii PADI.

	9		9		
	10	00000000	10	1	1
	11	00000000	11	1	1
	12	00000000	12	1	1
(a)	13	00000000	13	1	1
	14	00000000	14	1	1
	15	00000000	15	1	1
	16		16		
	9		9		
	10	00000000	10	21	21
	11	00000000	11	21	21
	12	00000000	12	21	21
(b)	13	00000000	13	21	21
	14	00000000	14	21	21
	15	00000000	15	21	21
	16		16		
	9		9		
	10	00000000	10	321	321
	11	00000000	11	321	321
	12	00000000	12	321	321
(c)	13	00000000	13	321	321
	14	00000000	14	321	321
	15	00000000	15	321	321
	16		16		
	9		9		
	10	00000000	10	A98765438887654321	
	11	00000000	11	A98765438887654321	
	12	00000000	12	A98765438887654321	
(d)	13	00000000	13	A98765438887654321	(h)
	14	00000000	14	A98765438887654321	
	15	00000000	15	A98765438887654321	
	16		16		
	9		9		
	10	00000000	10	A98765438887654321	
	11	00000000	11	A98765438887654321	
	12	00000000	12	A98765438887654321	
(e)	13	00000000	13	A98765438887654321	(i)
	14	00000000	14	A98765438887654321	
	15	00000000	15	A98765438887654321	
	16		16		

Fig. 2.1.13
Deplasarea unui obiect rectangular

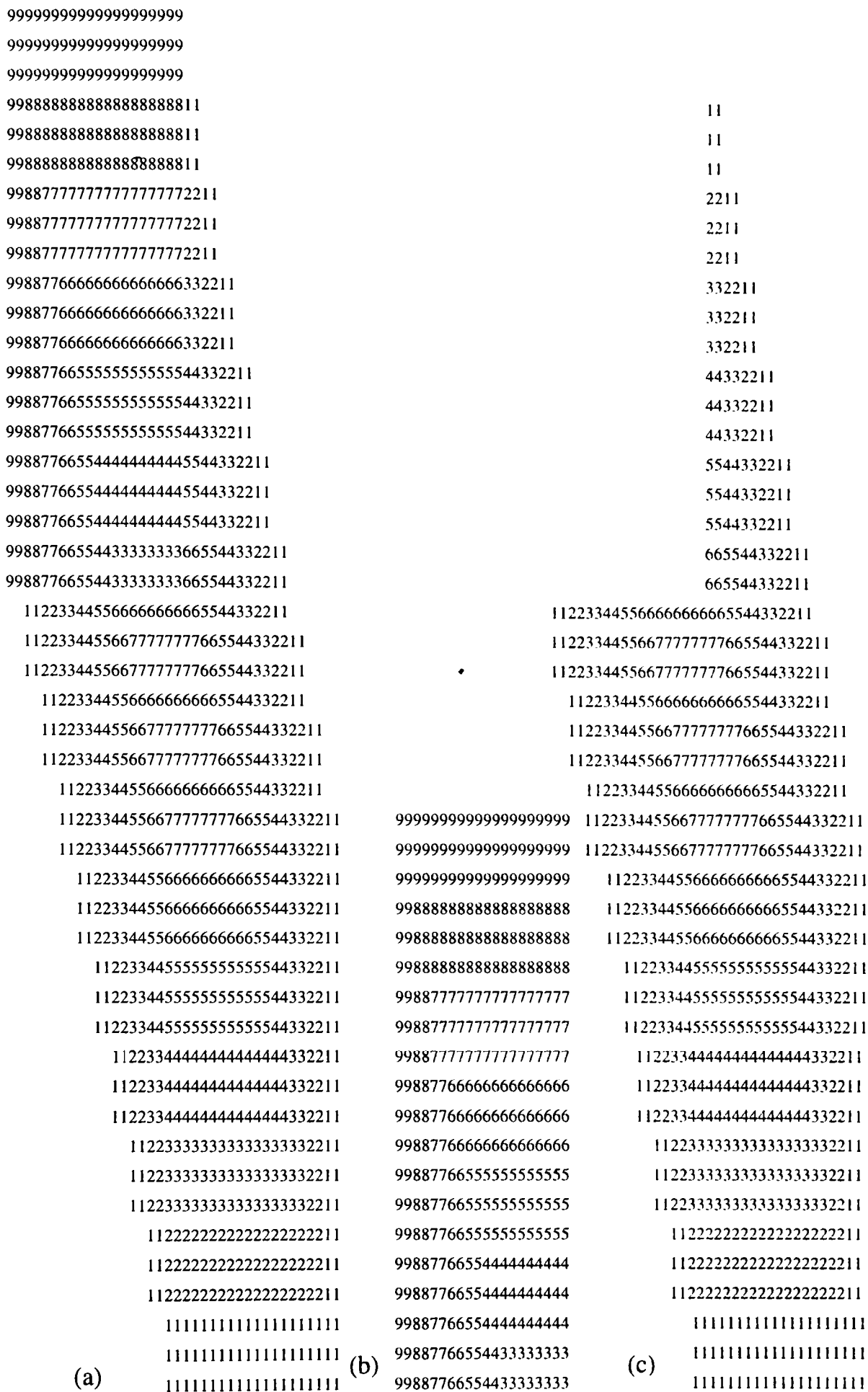


Fig. 2.1.14
 Imagini diferență acumulative a unui obiect de 20x20 pixeli cu intensitate mai mare decât cea a fondului și care se mișcă în direcția sud-est. (a) Absolută, (b) pozitivă, (c) negativă.

2.1.5. Implementarea unui algoritm de segmentare folosind tehnica pragului

Se prezintă implementarea unui algoritm ce are ca punct de plecare folosirea pragului ca prim pas în procesul de segmentare, urmat de aplicarea unei detecții de contur asupra obiectelor rezultate în urma binarizării imaginii cu ajutorul pragului [26], [27]. În final se vor obține punctele de contur care descriu forma obiectului, puncte cu ajutorul cărora se va realiza ulterior descrierea acestuia.

Imaginea originală, din figura 2.1.15,a, conține un număr de forme geometrice plane, iar scopul acestui algoritm, în faza de segmentare este separarea fiecărei figuri geometrice din cadrul imaginii și determinarea punctelor care o alcătuiesc, puncte ce vor fi folosite ulterior în faza de descriere.

În vederea utilizării unui prag pentru separarea pixelilor care aparțin obiectelor și celor care aparțin fundalului, este necesară extragerea histogramei imaginii. Din histograma prezentată în figura 2.1.15,b se determină un prag optim de separare egal cu nivelul de gri 75.

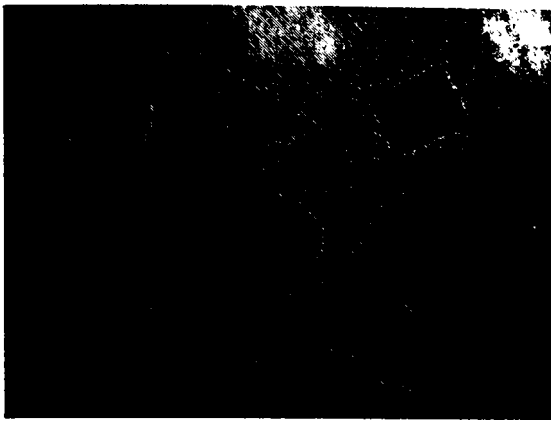
În urma aplicării pragului de binarizare, rezultă imaginea din figura 2.1.15,c, în care figurile geometrice sunt clar conturate și individualizate.

Următorul pas în vederea segmentării și obținerii punctelor care descriu figurile geometrice, constă în alegerea unui rastru.

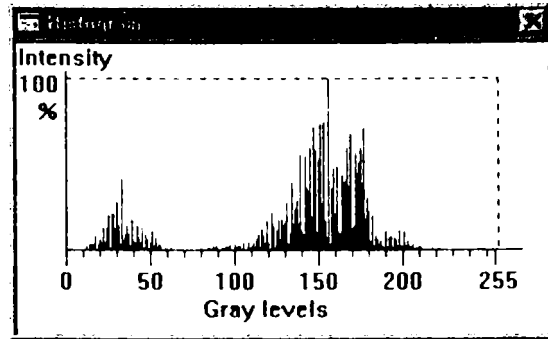
În cazul acestui exemplu rastrul este de 10 x 10 pixeli ca în figura 2.1.15,d. Cu cât rastrul este mai mic cu atât descrierea obiectelor va fi mai exactă, dar el este la 4 x 4 pixeli datorită faptului că grosimea conturului ce va rezulta în urma detecției de contur este de 2 pixeli, câte unul de o parte și de cealaltă a marginii obiectului, astfel ca suma a două linii de contur adiacente să fie de 4 pixeli.

Rastrul este necesar deoarece o descriere la nivel de pixel ar face imposibilă recunoașterea datorită zgomotului și diferențelor de iluminare. În urma aplicării rastrului rezultă imaginea din figura 2.1.15,e în care fiecare ochi de rastru a fost umplut sau golit de pixelii obiectului dacă numărul de pixeli ce aparțin obiectului, depășește 50% din numărul total de pixeli din ochiul de rastru.

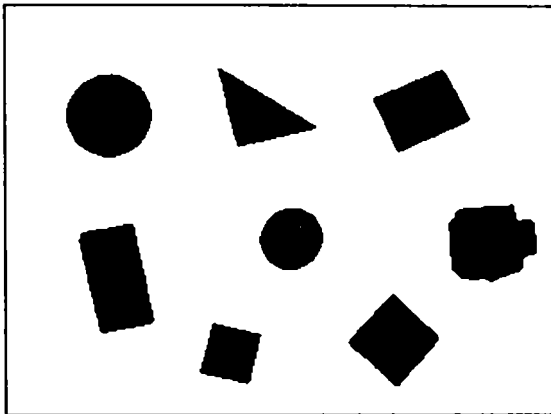
În imaginea 2.1.15,f se scoate în evidență modelarea obiectelor după rastru. Ultima fază a procesului de segmentare înainte de obținerea punctelor ce descriu figurile geometrice este detecția de contur care generează imaginea din figura 2.1.15,g.



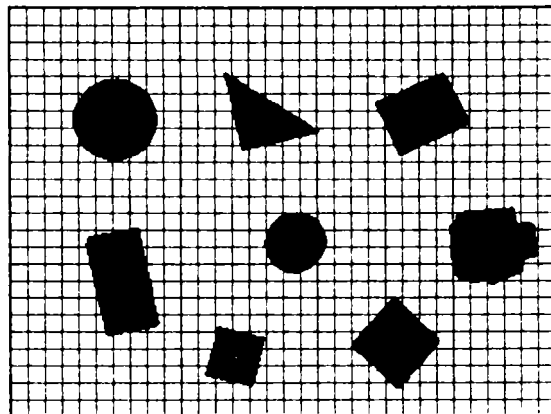
(a)



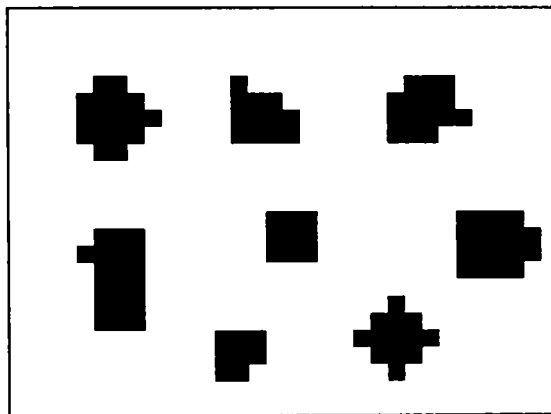
(b)



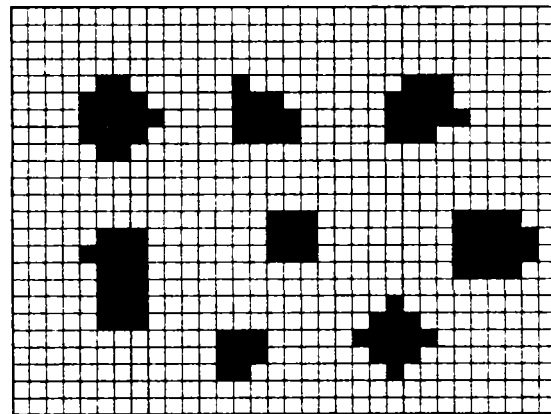
(c)



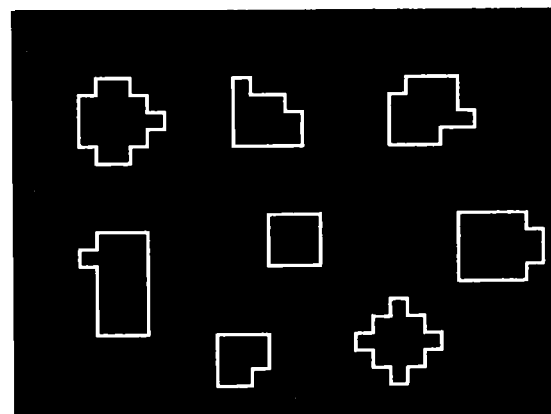
(d)



(e)



(f)



(g)

Fig. 2.1.15

- (a) Imaginea originală
- (b) Histograma imaginii originale
- (c) Imaginea binarizată cu un prag de 75
- (d) Rastrul 10 x 10 aplicat
- (e) Imaginea rezultată în urma aplicării rastrului
- (f) Identificarea rastrului cu noua imagine
- (g) Detecția de contur finală

Procesul de segmentare nu se oprește aici, ci doar reprezentarea grafică a rezultatelor, deoarece urmează faza cea mai importantă și anume obținerea punctelor ce individualizează fiecare obiect în cadrul imaginii. Acest algoritm de extragere a punctelor obiectului se aplică imaginii din figura 2.1.15,g și începe în ochiul de rastru din colțul stânga sus al imaginii.

Prin incrementarea cu un pas de rastru se caută primul pixel de contur, alb, ce aparține unui obiect. Acest pixel este cel mai de sus pixel al obiectului și cel mai din stânga din cei care îndeplinesc condiția de cel mai de sus. Odată găsit un astfel de pixel de contur se caută prezența următorului pixel de contur la o distanță de un pas de rastru în funcție de orientarea segmentului anterior găsit. În cazul primului punct, unde nu există segment anterior următorul punct de rastru este întotdeauna la dreapta.

Regula este foarte simplă, ea aplicând-se astfel : dacă segmentul anterior avea orientarea 0 (de la stânga la dreapta) se va căuta următorul pixel de rastru la dreapta acestuia, în caz negativ deasupra acestuia și în final dedesubtul acestuia. Regula se păstrează și pentru celelalte trei orientări anterioare. Unica limitare a acestui algoritm este ca distanța dintre două obiecte să fie de cel puțin doi pași de rastru în orice punct al lor.

Procedura se reia pentru fiecare obiect, verificându-se la căutarea punctului de start al obiectului dacă acesta nu aparține unui alt obiect găsit anterior.

În urma aplicării acestui algoritm obiectele din imagine sunt individualizate și în același timp creează baza pentru descrierea obiectelor cu ajutorul codurilor de înlănțuire.

2.2. Descrierea

Problema descrierii în vederea artificială este aceea a extragerii de caracteristici dintr-un obiect în scopul recunoașterii. Descriptorii ar trebui să fie independenți de caracteristicile obiectului, poziția și orientarea sa. Ei trebuie să conțină suficiente informații discriminatorii pentru a identifica un obiect față de altul.

Descrierea este un element central în proiectarea unui sistem de vedere artificială în sensul că descriptorii afectează nu doar complexitatea algoritmilor de recunoaștere dar și performanțele acestora.

Descriptorii se împart în trei categorii principale:

- descriptori de contur
- descriptori regionali
- descriptori specializați pe reprezentarea structurilor tridimensionale

2.2.1. Descriptori de contur

➤ Coduri de înlănțuire

Codurile de înlănțuire sunt utilizate pentru a reprezenta un contur ca pe o mulțime de segmente de dreaptă de o anumită lungime și direcție. În mod normal, această reprezentare se determină pe un rastru rectangular folosind conectivitatea 4 sau 8, așa cum se arată în figura 2.2.1.

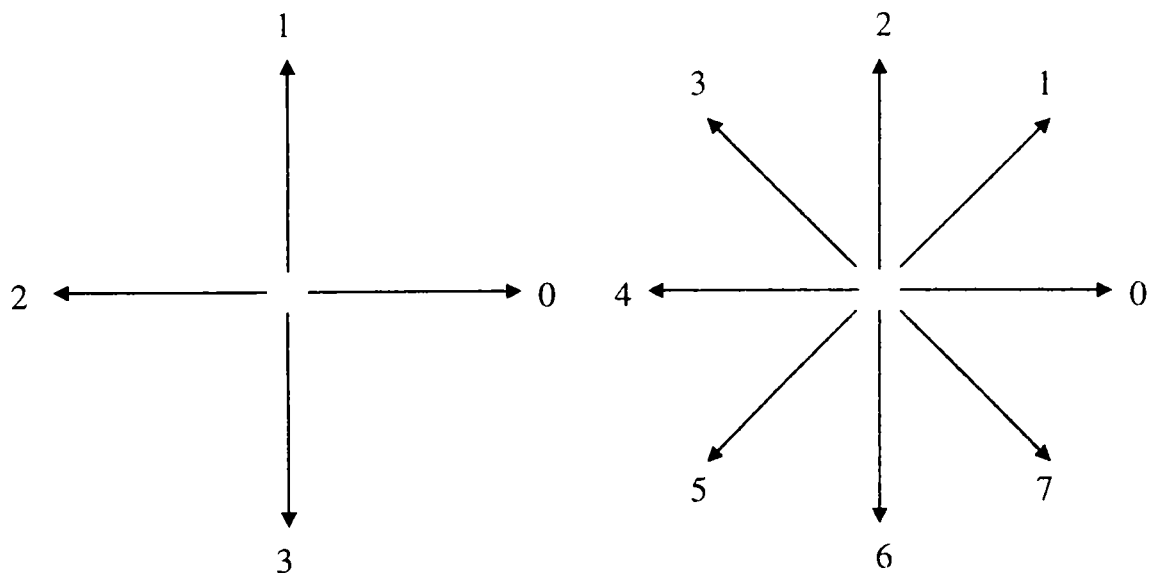


Fig. 2.2.1

- (a) cod de înlănțuire 4 direcțional
(b) cod de înlănțuire 8 direcțional

După aceea, dacă o celulă este mai mult decât o anumită cantitate specificată (de obicei 50%) în interiorul conturului, i se atribuie acelei celule valoarea 1; în caz contrar i se atribuie valoarea 0.

Figura 2.2.2,b ilustrează acest proces, unde celulele cu valoarea 1 sunt marcate întunecat. În final, se codifică conturul dintre cele două regiuni folosind codurile direcționale prezentate în figura 2.2.1,a. Rezultatul este prezentat în figura 2.2.2,c, unde codificarea a început în colțul din stânga sus și a continuat în direcția dată de acele de ceasornic.

O procedură alternativă este divizarea conturului în segmente de lungime egală (fiecare segment având același număr de pixeli), conectarea capetelor segmentelor prin linii drepte, și atribuirea fiecărei linii a direcției cu cea mai apropiată direcție permisă din codul de înlănțuire. Un exemplu de folosire a acestei metode folosind patru direcții este prezentată în figura 2.2.3.

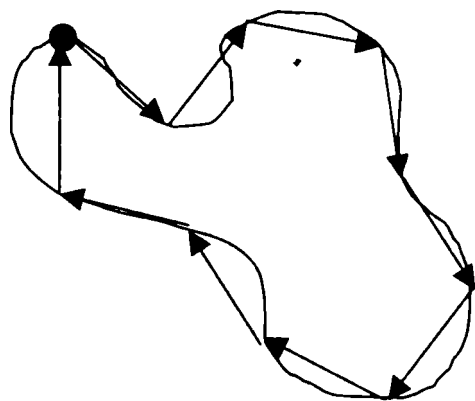


Fig. 2.2.3
Generarea codului de înlănțuire prin divizarea conturului:
0 1 0 3 3 3 2 1 2 1

Codul de înlănțuire al unui anumit contur depinde de punctul de start. Este posibil să se normalizeze acest cod prin următoarea procedură:

Fiind dat un cod de înlănțuire generat prin pornirea dintr-un punct arbitrar, el se va trata ca o secvență circulară de numere de direcție și se va redefini punctul de start în așa fel încât secvența rezultată să formeze un număr de mărime minimă.

Se poate realiza normalizarea pentru rotație și folosirea primei diferențe a codului de înlănțuire, în loc de codul însuși. Diferența este calculată simplu numărând (în sens trigonometric) numărul de direcții care separă două elemente adiacente din cod. De exemplu, prima diferență a codului înlănțuit 10103322 este 3133030.

Dacă se tratează codul ca o secvență circulară, atunci primul element al diferenței este calculat folosind tranziția între ultimul și primul element din înlanțuire. În acest exemplu rezultatul este 33133030.

Normalizarea dimensiunii poate fi realizată prin împărțirea tuturor conturilor obiectelor în același număr egal de segmente și prin ajustarea lungimii segmentelor de cod pentru a intra în această divizare.

Normalizarea precedentă este exactă doar dacă conturile însăși sunt invariante la rotații și schimbări de scală. În practică acest caz este foarte rar. De exemplu, același obiect digitizat în două orientări diferite va avea în general contururi diferite, având gradul de nesimilaritate proporțional cu rezoluția imaginii. Acest efect poate fi redus prin selectarea elementelor de înlanțuire care sunt mai mari față de distanța dintre pixelii din imaginea digitizată sau prin orientarea rastrului din figura 2.2.2 după axele principale ale obiectului care trebuie codificat. Problema se poate rezolva prin intermediul numerelor de formă.

➤ **Semnături**

O semnătură este reprezentarea unidimensională a funcției de contur. Există mai multe modalități de generare a unei semnături. Una din cele mai simple metode este reprezentarea distanței din centrul obiectului până la contur ca pe o funcție de unghi, așa cum se prezintă în figura 2.2.4.

Semnăturile generate în acest mod sunt în mod evident dependente de dimensiune și de poziția punctului de start. Normalizarea dimensiunii poate fi realizată simplu normalizând curba $r(\theta)$, la valoarea maximă unitate. Problema punctului de start poate fi rezolvată prin obținerea în primul rând a codului de înlanțuire al conturului după care se va folosi metoda prezentată anterior.

Exprimarea distanței în funcție de unghi, nu este unicul mod de a genera o semnătură. Se poate, de exemplu, traversa conturul și reprezenta unghiul dintre o linie tangentă cu conturul și linia de referință ca pe o funcție de poziție de-a lungul conturului. Semnătura rezultată, deși foarte diferită de forma curbei $r(\theta)$, va deține informații de bază despre caracteristicile conturului. De exemplu, segmentele orizontale din curbă vor corespunde liniilor drepte de-a lungul conturului deoarece unghiul tangentei va fi constant aici.

O variantă a acestei metode este utilizarea ca semnătură a *funcției de densitate de pantă*. Această funcție este o simplă histogramă a valorilor unghiurilor tangentei. Deoarece o histogramă este o măsură a concentrației de valori, funcția de densitate de pantă va răspunde foarte pronunțat acelor părți din contur ce au unghiurile tangentei constante (segmente drepte sau aproape drepte) și va avea văi adânci în părțile în care au loc variații rapide de unghi (colțuri sau alte discontinuități de formă).

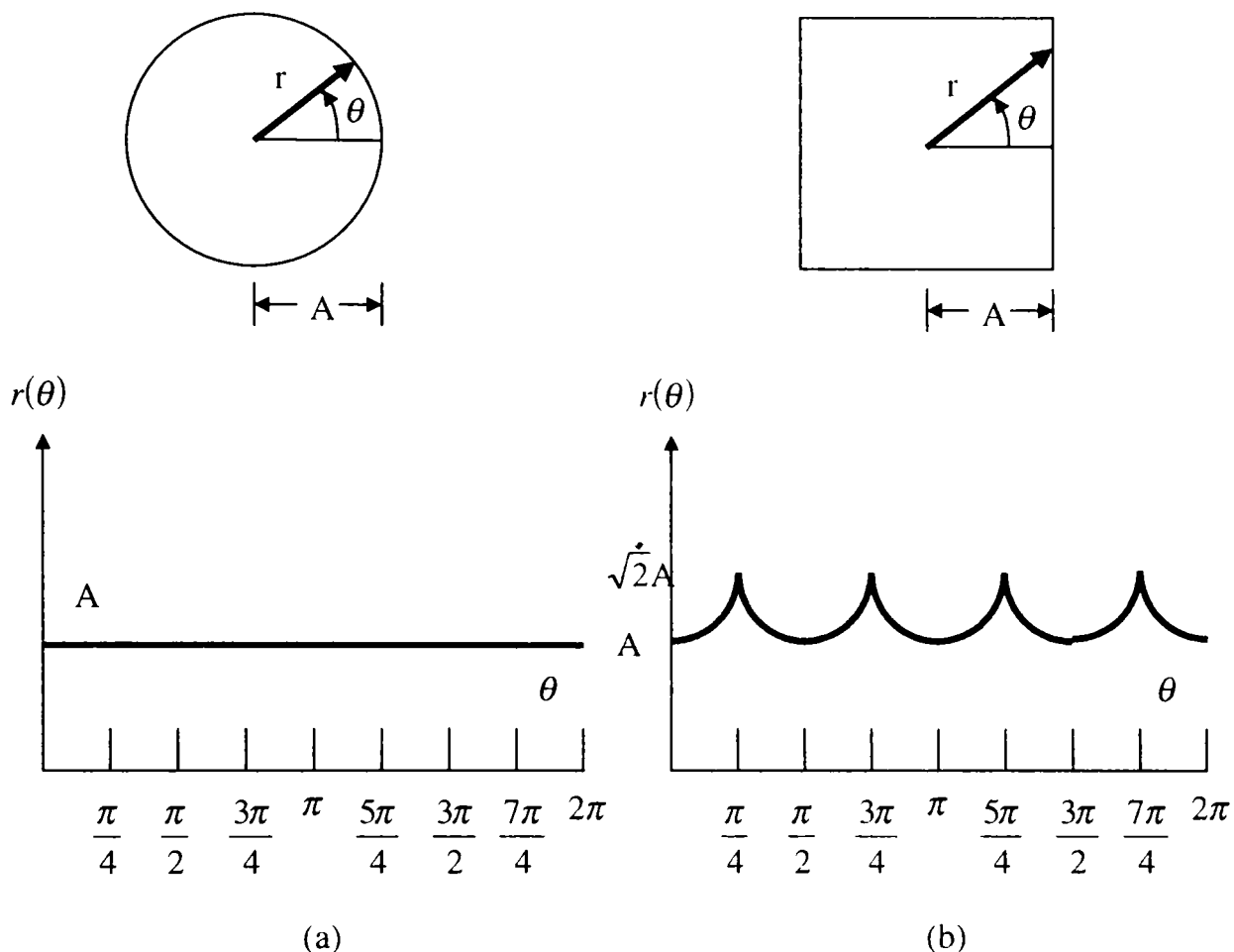


Fig. 2.2.4
 Două contururi simple și semnăturile lor unghi
 (a) $r(\theta)$ este constant.
 (b) $r(\theta) = A \sec \theta$

O dată ce s-a obținut o semnătură, mai rămâne problema de a o descrie într-un mod care să permită diferențierea față de alte semnături corespunzătoare cu alte forme de contur. Această problemă, este mai simplă, deoarece acestea sunt doar funcții unidimensionale.

O abordare folosită în mod frecvent pentru a caracteriza o semnătură este calcularea *momentelor* ei. Se presupune că a este o variabilă aleatoare discretă care reprezintă variații de amplitudine într-o semnătură, și fie $p(a_i)$, $i = 1, 2, \dots, K$,

histograma corespunzătoare, unde K este numărul de incremente discrete de amplitudine ale lui a . Al n -lea moment al lui a este definit ca:

$$\mu_n = \sum_{i=1}^K (a_i - m)^n p(a_i) \quad (2.2.1)$$

unde

$$m = \sum_{i=1}^K a_i p(a_i) \quad (2.2.2)$$

- m reprezintă media valorilor lui a
- μ_2 reprezintă variația lui

Doar primele câteva momente sunt în general necesare pentru a diferenția între semnăturile unor forme evident distincte.

➤ Aproximări poligonale

Un contur digital poate fi aproximat cu o precizie arbitrară de un poligon. Pentru o curbă închisă, aproximația este exactă când numărul de laturi ale poligonului este egal cu numărul de puncte din contur în așa fel încât fiecare pereche de puncte adiacente să definească o latură de poligon.

În practică, scopul aproximării poligonale este capturarea esenței unei forme de contur cu cât mai puține segmente poligonale posibile. Cu toate că această problemă nu este simplă și poate deveni foarte ușor o procedură mare consumatoare de timp, există un număr de tehnici de aproximare poligonală a căror complexitate modestă și necesar de procesare le recomandă pentru aplicații de vederea artificială.

O primă metodă ar urmări determinarea poligoanelor de perimetru minim. Spre exemplu, făcând referire la figura 2.2.5, se presupune că se include un contur dat într-un set de celule concatenate, ca în figura 2.2.2,a. Se poate vizualiza această includere ca două ziduri corespunzătoare conturilor exterioare și interioare ale celulelor de demarcație și se imaginează conturul obiectului ca un material elastic ce se întinde între acești pereți. Dacă se permite materialului elastic să se micșoreze, el va lua forma din figura 2.2.2,b, realizând astfel un poligon de perimetru minim care se potrivește în geometria stabilită de celulele de demarcație. Dacă celulele sunt alese în așa fel încât fiecare celulă încercuiește doar câte un punct din contur, atunci eroarea din fiecare celulă dintre conturul original și aproximarea prin materialul elastic va fi

de cel mult $\sqrt{2}d$, unde d este distanța dintre pixeli. Această eroare poate fi redusă la jumătate forțând fiecare celulă să fie centrată pe pixelul corespunzător.

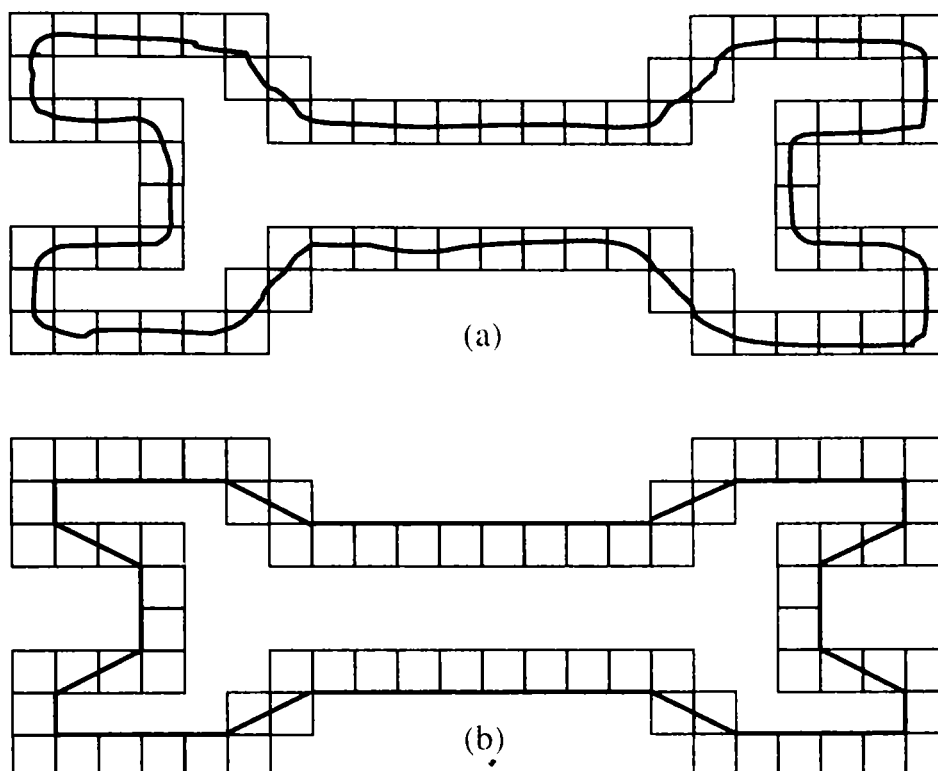


Fig. 2.2.5
 (a) conturul obiectului încercuit de celule.
 (b) Poligonul de perimetru minim.

➤ **Numere de formă**

Un contur codificat înlănțuit are mai multe prime diferențe, în funcție de punctul de start. **Numărul de formă** al unui astfel de contur, bazat pe codul 4 direcțional din figura 2.2.1,a este definit ca prima diferență de cea mai mică mărime. **Ordinul n** al unui număr de formă este definit ca numărul de digiți din reprezentarea sa.

Figura 2.2.6 prezintă toate formele de ordinul 4, 6 și 8, împreună cu reprezentarea codului de înlănțuire, prima diferență, și numerele de formă corespunzătoare. Trebuie subliniat faptul că prima diferență este calculată tratând codul înlănțuit ca pe o secvență circulară în manieră discutată anterior [1], [9], [15], [17], [22], [25], [87], [90], [95], [99], [100], [108], [109], [117], [133].

Cu toate că prima diferență a unui cod înlănțuit este independentă de rotație, conturul codificat în general va depinde de orientarea rastrului de codificare.

Una din metodele de normalizare a rastrului este următoarea: *Axa mare* a conturului este o linie dreaptă care unește punctele cele mai depărtate una de alta. *Axa mică* este perpendiculară pe axa mare și are lungimea în așa fel aleasă încât să formeze un dreptunghi care cuprinde exact conturul selectat. Raportul între axa mare și axa mică este numit *excentricitatea* conturului, iar dreptunghiul descris anterior este numit *dreptunghiul de bază*.

În cele mai multe cazuri un număr de formă unic se va obține prin alinierea rastrului codului de înlănțuire cu marginile dreptunghiului de bază.

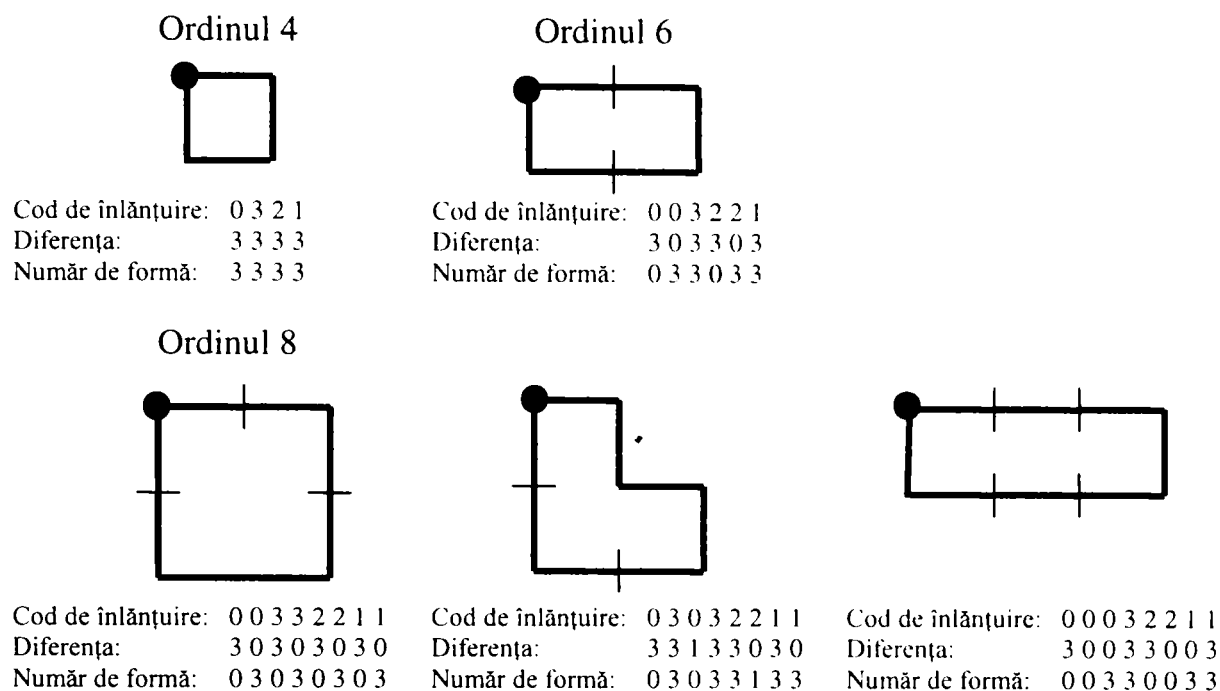


Fig. 2.2.6

Toate formele de ordinul 4, 6 și 8.

Direcțiile sunt date de figura 2.2.1, iar punctul indică poziția de start.

În practică, fiind dat un ordin de formă dorit, se va găsi dreptunghiul de ordinul n a cărui excentricitate aproximează cel mai bine dreptunghiul de bază și se va folosi acest nou dreptunghi pentru a determina dimensiunea rastrului. De exemplu, dacă $n = 12$, toate dreptunghiurile de ordin 12 (acelea al căror perimetru este 12) sunt 2×4 , 3×3 , și 1×5 . Dacă excentricitatea dreptunghiului 2×4 se potrivește cel mai bine cu cea a dreptunghiului de bază al unui contur dat, se va stabili un rastru 2×4 centrat pe dreptunghiul de bază și se va folosi procedura prezentată deja pentru obținerea codului de înlănțuire.

Numerele de formă rezultă din prima diferență a acestui cod, așa cum s-a indicat mai sus. Deși ordinul numărului de formă rezultat va fi de obicei egal cu n din cauza felului în care a fost selectată spațierea rastrului, contururile cu depresiuni

comparabile cu spațierea vor genera uneori numere de formă de ordin mai mare decât n . În acest caz, se specifică un dreptunghi de ordin mai mic decât n și se repetă procedura până când numărul de formă rezultat va avea ordinul n .

Fie în spațiul de lucru bidimensional în care evoluează un robot, un obiect de forma din figura 2.2.7 care va trebui descris prin metoda numerelor de formă.

Se presupune că este specificat $n = 22$ pentru conturul din figura 2.2.7,a. În vederea obținerii unui număr de formă de acest ordin se urmăresc pașii menționați.

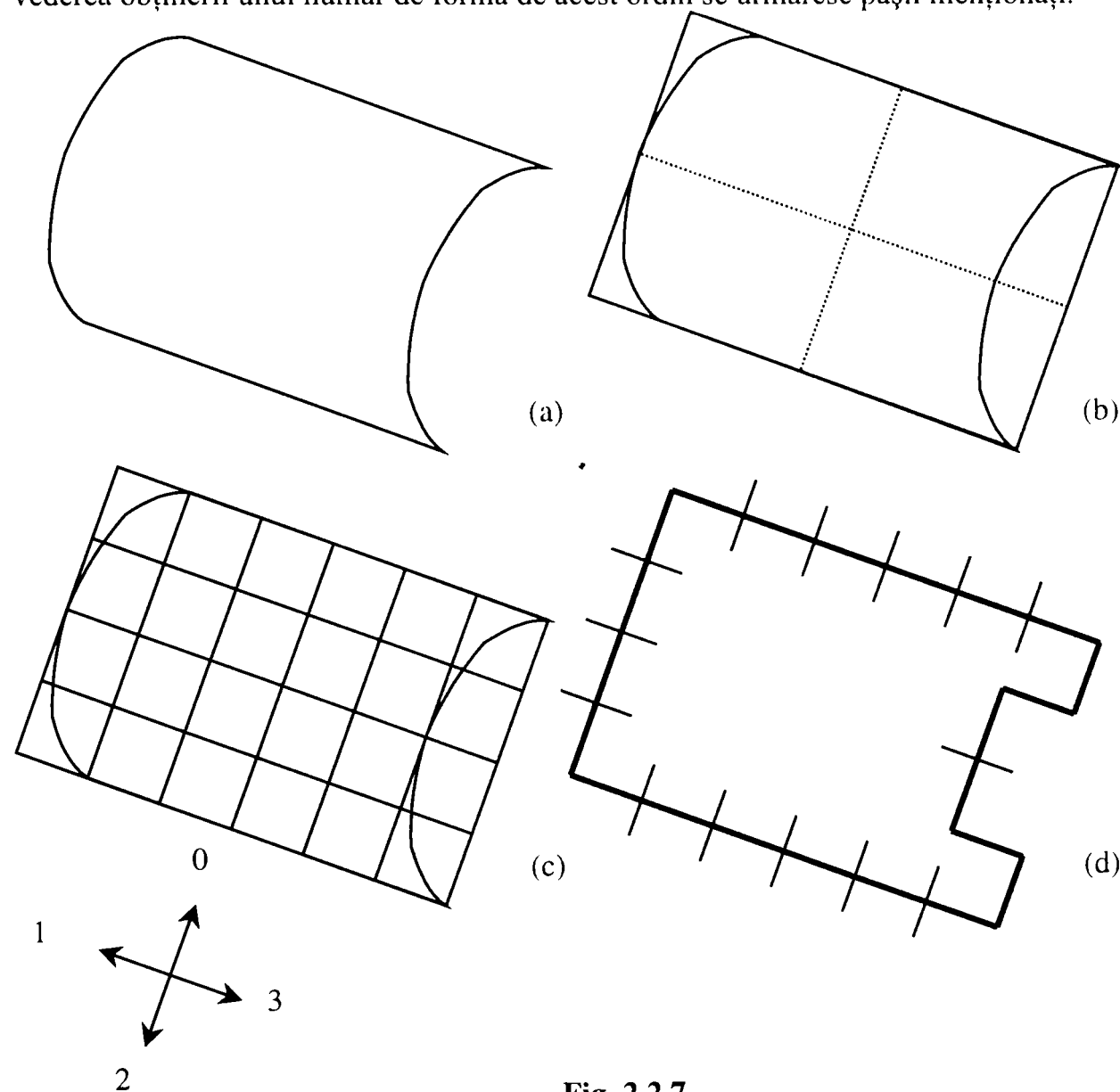


Fig. 2.2.7

Pași în generarea numărului de formă

Cod de înlănțuire:	1111110000333333212232
Prima diferență:	3000003000300000331013
Număr de formă:	0000030003000003310133

În primul rând se determină dreptunghiul de bază, (figura 2.2.7,b), cel mai apropiat dreptunghi de ordinul 22 fiind un dreptunghi 4 x 6. Se împarte dreptunghiul de bază așa ca în figura 2.2.7,c, unde se remarcă faptul că direcțiile codului de

înlănțuire sunt aliniate cu rastrul rezultat. În final, se obține codul de înlănțuire și se folosește prima diferență pentru a calcula numărul de formă, așa cum se prezintă în figura 2.2.7,d.

➤ **Utilizarea numerelor de formă în descrierea figurilor geometrice plane**

Problema principală, este descrierea figurilor geometrice plane uzuale: cerc, pătrat, dreptunghi și triunghi echilateral, ce pot intra ca elemente constitutive în orice figură complexă. Ca element de descriere s-au folosit numerele de formă. Numărul de formă de ordin 20 a fost ales pentru că putea permite descrierea unică cea mai simplă și cea mai reprezentativă. Numerele de formă mai mici prezintă probleme de descriere iar cele mari sunt prea sensibile la zgomote. Astfel utilizând acest număr de ordin și utilizând o înlănțuire 4-direcțională vor exista următoarele forme de contur care să reprezinte cele patru figuri geometrice selectate (figura 2.2.8).

În scopul recunoașterii acestor figuri geometrice indiferent de dimensiunea sau orientarea lor, precum și de punctul start din care se începe generarea codului de înlănțuire, trebuie aplicate trei metode de normalizare a acestui cod:

- la orientare
- la mărime
- la poziția punctului de start

❖ **Normalizarea la orientare**

Cel mai simplu mod de normalizare la orientare este alinierea figurii geometrice după axele sale (mare și mică). Dar, această metodă nu este ușor de utilizat în cazul dreptunghiurilor și pătratelor, pentru că în cazul acestor figuri geometrice axa mare este una dintre diagonale, iar o orientare după diagonală ar face descrierea dreptunghiului foarte dificilă (figura 2.2.9). Cea mai bună orientare pentru descrierea dreptunghiului este de-a lungul laturii lui mari, însă determinarea acesteia pentru un dreptunghi cu orientare oarecare necesită utilizarea unui algoritm special care trebuie să fie valabil atât în cazul pătratului, cercului sau triunghiului, cât și în cazuri mai generale.

Ideea principală a întregului algoritm este rotirea punctelor periferice ale corpului din grad în grad de la 0° la 180° și determinarea minimului distanței celei

mai mari dintre două puncte ale corpului pe axa Ox și reținerea unghiului care a generat acea distanță.

Există două moduri de abordare a problemei: unul care pune accent pe viteza de calcul și altul care pune accent pe precizie. În principiu ele sunt asemănătoare diferența constând în cantitatea de puncte care se utilizează în cadrul algoritmului pentru determinarea laturii mari.

Cel mai precis mod de determinare a laturii mari este rotirea tuturor punctelor rezultate în urma detecției de contur. Datorită numărului mare de puncte care descriu astfel un contur, metoda este lentă dar foarte precisă excluzând posibilitatea încadrării într-o altă clasă a corpului.

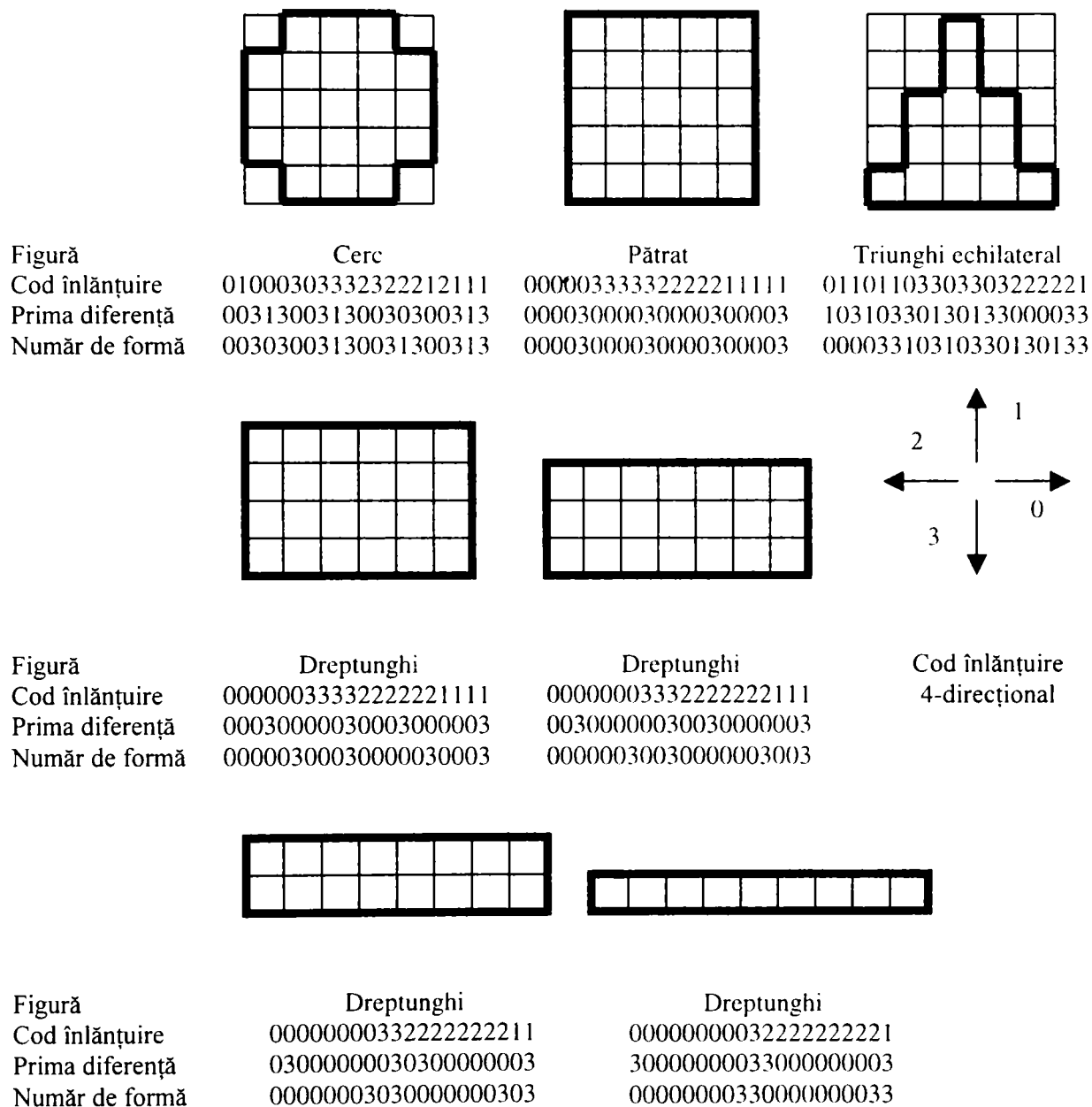


Fig. 2.2.8
Codurile de înlanțuire, primele diferențe și numerele de formă ale principalelor figuri geometrice plane pentru ordinul 20

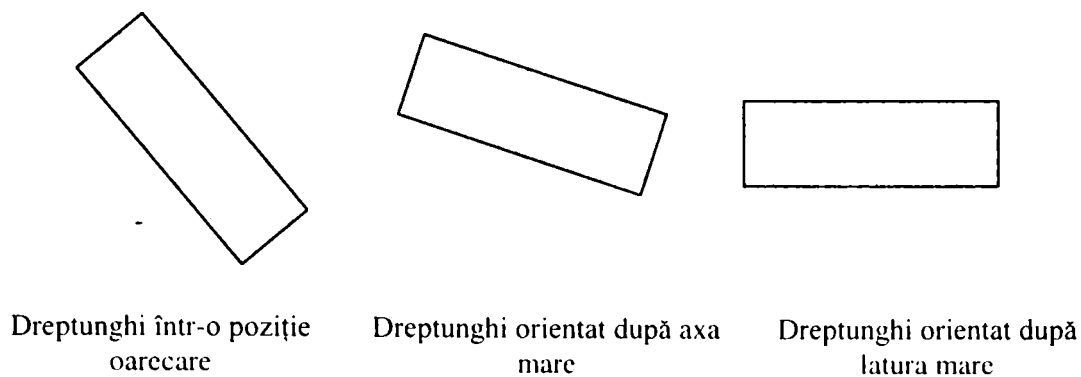


Fig. 2.2.9
Moduri de normalizare la orientare a unui dreptunghi

Cea de-a doua metodă presupune descrierea corpului prin punctele rezultate în urma aplicării unui rastru. Cel mai mic rastru aplicabil este de 4 pixeli, deoarece în urma detecției de contur grosimea conturului este de 2 pixeli. Numărul de puncte astfel rezultat este mult mai mic dar există posibilitatea unei erori de încadrare care să nu ducă la rezultat corect, în special în cazul corpurilor de dimensiuni mici.

Acest algoritm de orientare după latura mare se poate aplica cu succes și la pătrate care nu sunt decât dreptunghiuri cu laturile egale, la cercuri la care nu contează rotația cât și la triunghiuri. Acestea din urmă vor fi aliniat cu latura cea mai mare pe axa Ox (ceea ce nu este cazul la cele echilaterale, dar metoda se poate extinde și la alte tipuri de triunghiuri). Ambele metode pot fi mult îmbunătățite din punct de vedere al vitezei pentru a fi compatibile cu calculul în timp real prin utilizarea tehnicilor de rotire din grafica 3D (exemplu: folosirea de tabele de sinusuri în loc de calculul efectiv al acestora). Implementarea acestui algoritm este prezentată în cadrul funcției GetShapeNumbers de la sfârșitul acestui capitol.

❖ Normalizarea la mărime

Faza următoare determinării unghiului de orientare și rotirii adecvate, este generarea unui cod de înlănțuire de același ordin indiferent de dimensiunea corpului. Pentru a realiza această operație trebuie determinat un rastru de dimensiune variabilă, funcție de dimensiunea corpului, astfel încât ordinul numărului de formă rezultat să fie întotdeauna 20.

În acest scop se determină dreptunghiul de bază al corpului, adică dreptunghiul de dimensiuni minime care să cuprindă toate punctele corpului [26],[27], [28]. Deoarece corpul este deja orientat după latura mare, determinarea dreptunghiului este foarte simplă, el fiind generat de punctele extreme ale corpului.

Având determinat dreptunghiul de bază urmează determinarea excentricității acestuia ca fiind raportul dintre latura mare și latura mică a acestuia. Cu excentricitatea calculată, se va determina dreptunghiul de ordinul 20 a cărui excentricitate aproximează cel mai bine dreptunghiul de bază. Există 5 dreptunghiuri de ordinul 20, și anume: 1X9, 2X8, 3X7, 4X6 și 5X5.

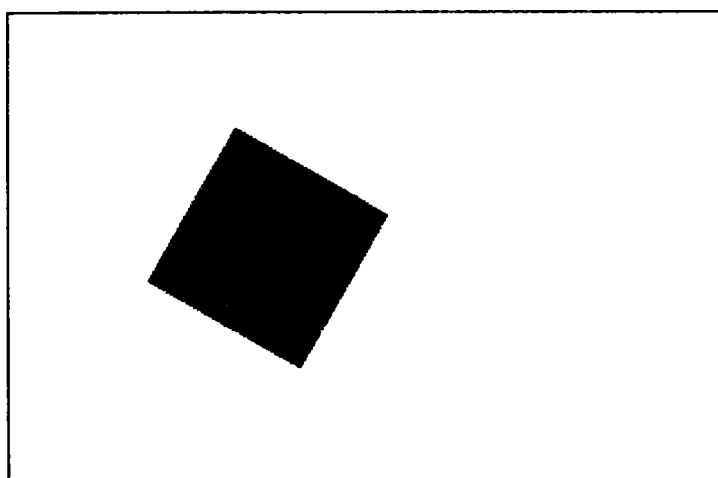
După determinarea excentricității standard se va calcula dimensiunea rastrului astfel încât dreptunghiul de bază să fie centrat pe acest rastru, și în acest scop se va translata corpul astfel încât colțul stânga sus al acestuia să fie colțul dreapta jos al primului element din rastru.

❖ Normalizarea la punctul de start

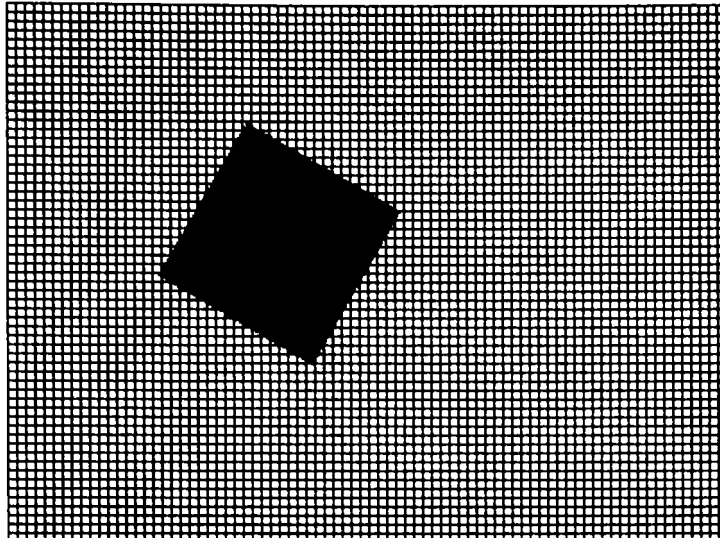
Este de remarcat faptul că, stabilirea codului de înlănțuire al unui anumit contur depinde de punctul de start. Este totuși posibil să se normalizeze acest cod prin următoarea procedură: fiind dat un cod de înlănțuire generat prin pornirea dintr-un punct arbitrar, el se va trata ca o secvență circulară de numere de direcție și se va redefini punctul de start în așa fel încât secvența rezultată să formeze un număr de magnitudine minimă [26],[27],[28].

În locul acestui procedeu se poate utiliza normalizarea la orientare folosind prima diferență a codului de înlănțuire. Diferența este calculată simplu numărând (în sens antitrigonometric) numărul de direcții care separă două elemente adiacente din cod. De exemplu, prima diferență a codului înlănțuit 10103322 este 3133030 [26].

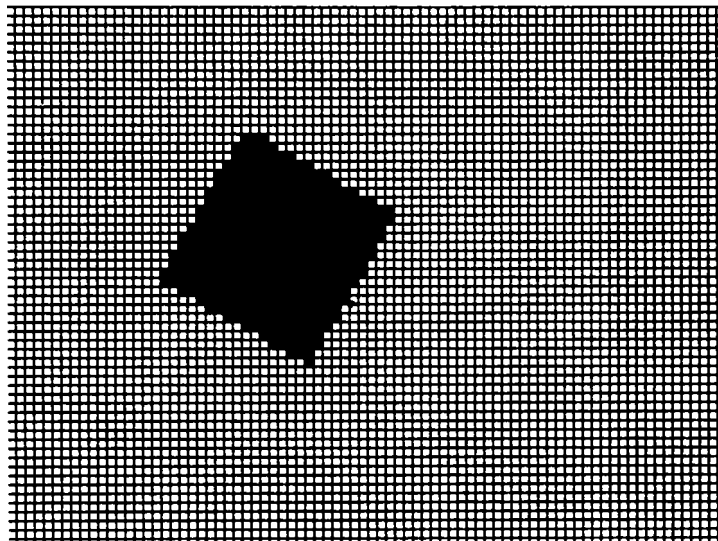
❖ Etapele procesului de descriere



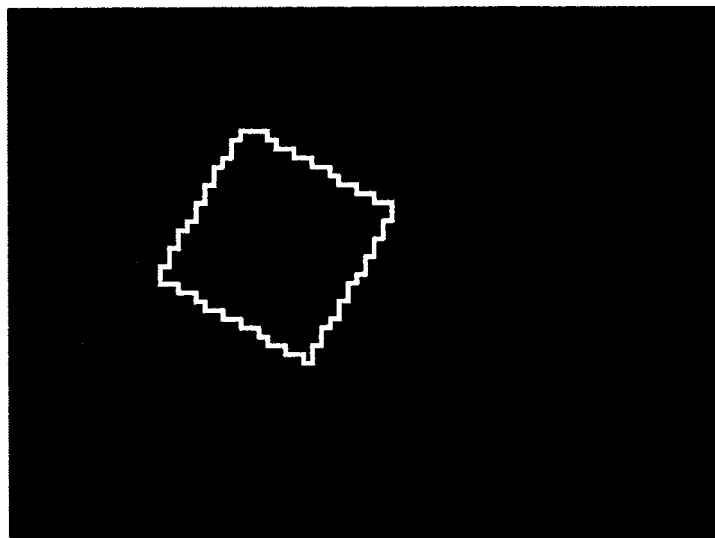
Sesizarea imaginii unui pătrat într-o poziție oarecare



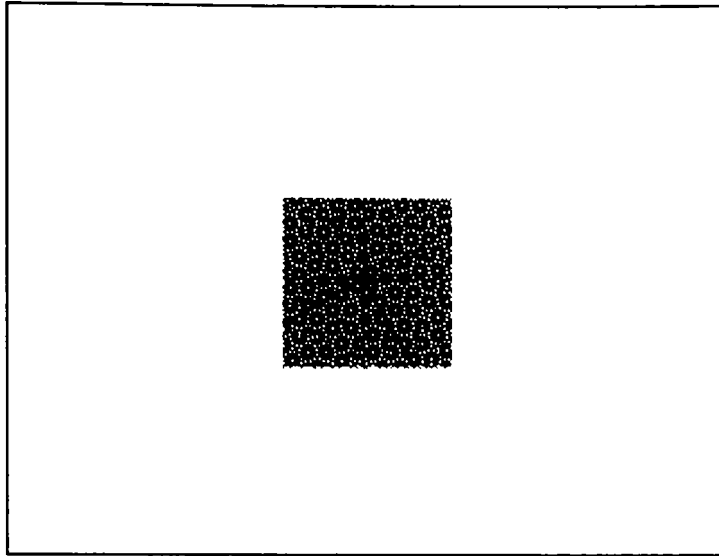
Selectarea unui rastru de dimensiune 4X4



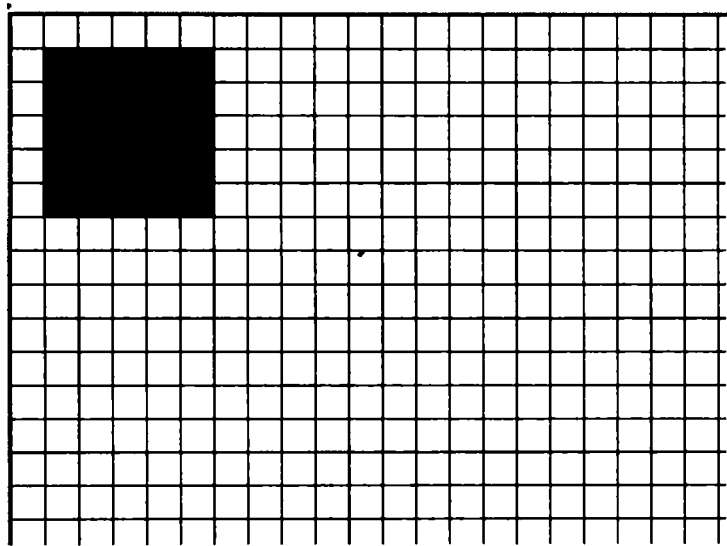
Rezultatul aplicării rastrului



Obținerea conturului corpului în urma detecției de contur



Rezultatul rotirii corpului după latura mare.
Din cauza utilizării numerelor naturale pentru pixeli, după rotire trebuie aplicat un filtru binar.



Rezultatul translatării corpului în colțul din dreapta jos al primului ochi de rastru, a cărei dimensiune s-a calculat astfel încât dreptunghiul de bază să aibă perimetru 5X5

Fig. 2.2.10
Prezentarea etapelor procesului de descriere

Funcția care implementează algoritmul de segmentare și de generare a codului de înlănțuire este :

```

CROBOVIEWDoc *CMainFrame::ChainCode(int height, int width, int treshold, BOOL
                                     NewDocument, CROBOVIEWDoc **ReturnSourceDoc)
{
    CROBOVIEWDoc *SourceDoc;
    CROBOVIEWDoc *DestinDoc;
    CROBOVIEWDoc *OriginalDoc;
    CDC *ActiveFrameDC;
    ChainCodeDlg ChainCodeDialogBox;
    short x,y,i,j,Xstart,Ystart,NumberOfBlackPixels;
    CPen SolidRedPen(PS_SOLID,1,RGB(255,0,0));
    CPen *OldPen;
    BOOL EdgePixelFound = TRUE;

```

```

CString          ChainCode;
unsigned char    LastDirection;
CCorp *         CurrentCorp;
POINT           point;
char            TempString[4]={0,0,0,0};
BYTE            BitmapMatrix[320][240];

if(height == -1 && width == -1 && treshold == -1)
{
width = height = 10;
treshold = 50;
ChainCodeDialogBox.m_treshold = treshold;
itoa(height,TempString,10);
ChainCodeDialogBox.m_height = TempString;
itoa(width,TempString,10);
ChainCodeDialogBox.m_width = TempString;
ChainCodeDrawGrid(height,width);
if(ChainCodeDialogBox.DoModal() == IDOK)
{
treshold = ChainCodeDialogBox.m_treshold;
height = atoi(ChainCodeDialogBox.m_height);
width = atoi(ChainCodeDialogBox.m_width);
RedrawWindow(NULL,NULL,RDW_INVALIDATE | RDW_UPDATENOW );
ChainCodeDrawGrid(height,width);
}
}
else
return NULL;
}
else
ChainCodeDrawGrid(height,width);
OriginalDoc = SourceDoc = GetActiveSourceDocument();
if(NewDocument)
DestinDoc = OpenNewDestinationDocument(SourceDoc->BitmapColorType);
else
memset(&BitmapMatrix,0xFF,320*240);
for(x=0;x<Xmax;x+=width)
for(y=0;y<REALYMAX;y+=height)
{
NumberOfBlackPixels = 0;
for(i=0;i<width;i++)
for(j=0;j<height;j++)
{
if(x+i<Xmax && y+j<REALYMAX)
if(SourceDoc->BitmapMatrix[x+i][y+j][0] == 0)
NumberOfBlackPixels++;
}
}
if(NumberOfBlackPixels >= (width*height*treshold)/100)
for(i=0;i<width;i++)
for(j=0;j<height;j++)
{
if(x+i<Xmax && y+j<REALYMAX)
if(NewDocument)
DestinDoc->BitmapMatrix[x+i][y+j][0] = DestinDoc->BitmapMatrix[x+i][y+j][1] =
DestinDoc->BitmapMatrix[x+i][y+j][2] = 0;
else
BitmapMatrix[x+i][y+j] = 0;
}
}
else
for(i=0;i<width;i++)
for(j=0;j<height;j++)

```

```

    {
    if(x+i<Xmax && y+j<REALYMAX)
    if(NewDocument)
        DestinDoc->BitmapMatrix[x+i][y+j][0] = DestinDoc->BitmapMatrix[x+i][y+j][1] =
            DestinDoc->BitmapMatrix[x+i][y+j][2] = 0xFF;
    else
        BitmapMatrix[x+i][y+j] = 0xFF;
    }
}
if(NewDocument)
    DestinDoc->BitmapColorType = BINARY;
else
    {
    for(x=0;x<Xmax;x++)
    for(y=0;y<REALYMAX;y++)
        SourceDoc->BitmapMatrix[x][y][0] = SourceDoc->BitmapMatrix[x][y][1] =
            SourceDoc->BitmapMatrix[x][y][2] = BitmapMatrix[x][y];
    }
GetActiveFrame()->RedrawWindow();
ActiveFrameDC = GetActiveFrame()->GetDC();
OldPen = ActiveFrameDC->SelectObject(&SolidRedPen);
for(x=1;x<Xmax;x+=width)
    {
    ActiveFrameDC->MoveTo(x,1);
    ActiveFrameDC->LineTo(x,REALYMAX);
    }
for(y=1;y<REALYMAX;y+=height)
    {
    ActiveFrameDC->MoveTo(1,y);
    ActiveFrameDC->LineTo(Xmax,y);
    }
ActiveFrameDC->SelectObject(OldPen);
ReleaseDC(ActiveFrameDC);
EdgeDetection(IDC_RADIO_FREEMAN,NewDocument);
SourceDoc = GetActiveSourceDocument();
while(EdgePixelFound)
    {
    EdgePixelFound = FALSE;
    for(x=width;x<Xmax;x+=width)
        {
        for(y=height;y<REALYMAX;y+=height)
            if(SourceDoc->BitmapMatrix[x][y][0] == 0xFF && !(SourceDoc->PixelBelongsToACorp(x,y)))
                {
                EdgePixelFound = TRUE;
                break;
                }
        }
    if(EdgePixelFound)
        break;
    }
if(!EdgePixelFound)
    break;
CurrentCorp = SourceDoc->NewCorp();
point.x = Xstart = x;
point.y = Ystart = y;
CurrentCorp->m_pointArray.Add(point);
point.x += width;
if(SourceDoc->BitmapMatrix[point.x][point.y][0] == 0xFF)
    CurrentCorp->m_pointArray.Add(point);
ChainCode = "0";
while(point.x != Xstart || point.y != Ystart)

```

```

{
LastDirection = ChainCode[ChainCode.GetLength()-1];
if(LastDirection != '2')
if(SourceDoc->BitmapMatrix[point.x+width/2][point.y][0] == 0xFF)
{
point.x += width;
CurrentCorp->m_pointArray.Add(point);
ChainCode += "0";
continue;
}
if(LastDirection != '0')
if(SourceDoc->BitmapMatrix[point.x-width/2][point.y][0] == 0xFF)
{
point.x -= width;
CurrentCorp->m_pointArray.Add(point);
ChainCode += "2";
continue;
}
if(LastDirection != '3')
if(SourceDoc->BitmapMatrix[point.x][point.y-height/2][0] == 0xFF)
{
point.y -= height;
CurrentCorp->m_pointArray.Add(point);
ChainCode += "1";
continue;
}
if(LastDirection != '1')
if(SourceDoc->BitmapMatrix[point.x][point.y+height/2][0] == 0xFF)
{
point.y += height;
CurrentCorp->m_pointArray.Add(point);
ChainCode += "3";
continue;
}
}
CurrentCorp->m_ChainCode = ChainCode;
}
*ReturnSourceDoc = SourceDoc;
return OriginalDoc;
}

```

Funcția care implementează extragerea numerelor de formă este prezentată în continuare:

```

void CROBOVIEWDoc::GetShapeNumbers(CROBOVIEWDoc *OriginalDoc)
{
POSITION CurrentPosition, DestinCurrentPosition;
CCorp *CurrentCorp, *DestinCurrentCorp;
int i, j, x, y, NumberOfPoints;
double Angle;
POINT RotationCenter;
struct YDistance{
POINT Point1;
POINT Point2;
double Angle;
}MaximY, MinimY;
struct BASICRECTANGLE{
RECT Rect;

```

```

        int MajorAxis;
        int MinorAxis;
        double Eccentricity;
    }BasicRectangle,BestMatchRectangle;
POINT    TestPoint_i,TestPoint_j,TestPoint_k,Translate,GridSize;
CROBOVIEWDoc    *DestinDoc;
CROBOVIEWDoc    *TempDoc;
int    ShapeNumberOrder = 20;
double    MinimDifference;
BYTE    BitmapMatrix[320][240];

DestinDoc = ((CMainFrame*)AfxGetMainWnd()->OpenNewDestinationDocument(BINARY);
CurrentPosition = m_CorpList.GetHeadPosition();
while(CurrentPosition)
{
    MaximY.Point1.x = 0;
    MinimY.Point1.x = 10000;
    MaximY.Point1.y = 0;
    MinimY.Point1.y = 10000;
    MaximY.Point2.x = MinimY.Point2.x = 0;
    MaximY.Point2.y = MinimY.Point2.y = 0;
    MaximY.Angle = MinimY.Angle = 0;
    BasicRectangle.Rect.left = 10000;
    BasicRectangle.Rect.right = 0;
    BasicRectangle.Rect.top = 10000;
    BasicRectangle.Rect.bottom = 0;
    CurrentCorp = m_CorpList.GetNext(CurrentPosition);
    NumberOfPoints = CurrentCorp->m_pointArray.GetSize();
    //Determine bounding rectangle of the given object
    for(i=0;i<NumberOfPoints;i++)
    {
        if(CurrentCorp->m_pointArray[i].x < BasicRectangle.Rect.left)
            BasicRectangle.Rect.left = CurrentCorp->m_pointArray[i].x;
        if(CurrentCorp->m_pointArray[i].x > BasicRectangle.Rect.right)
            BasicRectangle.Rect.right = CurrentCorp->m_pointArray[i].x;
        if(CurrentCorp->m_pointArray[i].y < BasicRectangle.Rect.top)
            BasicRectangle.Rect.top = CurrentCorp->m_pointArray[i].y;
        if(CurrentCorp->m_pointArray[i].y > BasicRectangle.Rect.bottom)
            BasicRectangle.Rect.bottom = CurrentCorp->m_pointArray[i].y;
    }
    //Determine the rotation center of the bounding rectangle of the given object
    RotationCenter.x = (int)((BasicRectangle.Rect.left+BasicRectangle.Rect.right)/2);
    RotationCenter.y = (int)((BasicRectangle.Rect.top +BasicRectangle.Rect.bottom)/2);
    //Determine the angle of rotation so that the major axis will be along x and the minor axis along y
    for(Angle = 0;Angle < PI;Angle += 0.02)
    {
        memset(&MaximY,0,sizeof(YDistance));
        for(i=0;i<NumberOfPoints-1;i++)
            for(j=i+1;j<NumberOfPoints;j++)
            {
                TestPoint_i = Rotate(CurrentCorp->m_pointArray[i],Angle,RotationCenter);
                TestPoint_j = Rotate(CurrentCorp->m_pointArray[j],Angle,RotationCenter);
                if(abs(MaximY.Point2.y-MaximY.Point1.y) < abs(TestPoint_i.y-TestPoint_j.y))
                {
                    MaximY.Point1.y = TestPoint_i.y;
                    MaximY.Point2.y = TestPoint_j.y;
                }
            }
    }
    if(abs(MaximY.Point2.y-MaximY.Point1.y) <= abs(MinimY.Point2.y-MinimY.Point1.y))
    {

```

```

    MinimY.Point1.y = MaximY.Point1.y;
    MinimY.Point2.y = MaximY.Point2.y;
    MinimY.Angle = Angle;
}
}
//Rotate all the pixels of the given corp with the selected angle and translate them so that the rotation
center will be in the center of the bitmap
TestPoint_k.x = Xmax/2 - RotationCenter.x;
TestPoint_k.y = REALYMAX/2 - RotationCenter.y;
memset(&DestinDoc->BitmapMatrix,0xFF,320*240*3);
for(TestPoint_i.x=BasicRectangle.Rect.left-4; TestPoint_i.x<=BasicRectangle.Rect.right+4;
                                           TestPoint_i.x++)
for(TestPoint_i.y=BasicRectangle.Rect.top-4; TestPoint_i.y<=BasicRectangle.Rect.bottom+4;
                                           TestPoint_i.y++)
{
if(OriginalDoc->BitmapMatrix[TestPoint_i.x][TestPoint_i.y][0] == 0)
{
TestPoint_j = Rotate(TestPoint_i.MinimY.Angle,RotationCenter);
TestPoint_j.x += TestPoint_k.x;
TestPoint_j.y += TestPoint_k.y;
DestinDoc->BitmapMatrix[TestPoint_j.x][TestPoint_j.y][0] =
DestinDoc->BitmapMatrix[TestPoint_j.x][TestPoint_j.y][1] =
DestinDoc->BitmapMatrix[TestPoint_j.x][TestPoint_j.y][2] = 0;
}
}
((CMainFrame*)AfxGetMainWnd()->SmoothingBinaryImages(FALSE);
//Determine the basic rectangle of the given object,
BasicRectangle.Rect.left = 10000;
BasicRectangle.Rect.right = 0;
BasicRectangle.Rect.top = 10000;
BasicRectangle.Rect.bottom = 0;
for(x=0;x<Xmax;x++)
for(y=0;y<REALYMAX;y++)
{
if(DestinDoc->BitmapMatrix[x][y][0] == 0)
{
if(x < BasicRectangle.Rect.left)
BasicRectangle.Rect.left = x;
if(x > BasicRectangle.Rect.right)
BasicRectangle.Rect.right = x;
if(y < BasicRectangle.Rect.top)
BasicRectangle.Rect.top = y;
if(y > BasicRectangle.Rect.bottom)
BasicRectangle.Rect.bottom = y;
}
}

BasicRectangle.MajorAxis = BasicRectangle.Rect.bottom-BasicRectangle.Rect.top;
BasicRectangle.MinorAxis = BasicRectangle.Rect.right-BasicRectangle.Rect.left;
BasicRectangle.Eccentricity= (double)BasicRectangle.MajorAxis/
(double)BasicRectangle.MinorAxis;
//Determine the best match rectangle of order 20 of the given object
MinimDifference = 10000;
for(i=1;i<=ShapeNumberOrder/2-i;i++)
{
if((double)i/(double)((double)ShapeNumberOrder/2-(double)i)-BasicRectangle.Eccentricity <
MinimDifference)
{
BestMatchRectangle.MinorAxis = i;
BestMatchRectangle.MajorAxis = ShapeNumberOrder/2-i;
}
}

```



```

    BestMatchRectangle.Eccentricity = (double)i/((double)((double)ShapeNumberOrder/2-(double)i);
    MinimDifference = fabs(BestMatchRectangle.Eccentricity-BasicRectangle.Eccentricity);
}
}
GridSize.x = round((double)((double)(BasicRectangle.Rect.right-
    BasicRectangle.Rect.left)/(double)BestMatchRectangle.MajorAxis));
GridSize.y = round((double)((double)(BasicRectangle.Rect.bottom-
    BasicRectangle.Rect.top)/(double)BestMatchRectangle.MinorAxis));
memset(&BitmapMatrix,0xFF,320*240);
//Translate all the pixels of the object to the first grid
Translate.x = BasicRectangle.Rect.left-GridSize.x;
Translate.y = BasicRectangle.Rect.top -GridSize.y;
for(x=0;x<Xmax;x++)
    for(y=0;y<REALYMAX;y++)
        if(DestinDoc->BitmapMatrix[x][y][0] == 0)
            BitmapMatrix[x-Translate.x][y-Translate.y] = 0;
for(x=0;x<Xmax;x++)
    for(y=0;y<REALYMAX;y++)
        DestinDoc->BitmapMatrix[x][y][0]=DestinDoc->BitmapMatrix[x][y][1] =
            DestinDoc->BitmapMatrix[x][y][2]=BitmapMatrix[x][y];
((CMainFrame*)AfxGetMainWnd()->ChainCode(GridSize.y,GridSize.x,50,FALSE,&TempDoc);
DestinCurrentPosition = DestinDoc->m_CorpList.GetHeadPosition();
DestinCurrentCorp = DestinDoc->m_CorpList.GetNext(DestinCurrentPosition);
DestinCurrentCorp->m_FirstDifference = NormalizeChainCodeForRotation(
    DestinCurrentCorp->m_ChainCode);
DestinCurrentCorp->m_ShapeNumber = NormalizeChainCodeForStartingPoint(
    DestinCurrentCorp->m_FirstDifference);
DestinCurrentCorp->m_Geometric = Recognition(DestinCurrentCorp->m_ShapeNumber);
CurrentCorp->m_ChainCode = DestinCurrentCorp->m_ChainCode;
CurrentCorp->m_FirstDifference = DestinCurrentCorp->m_FirstDifference;
CurrentCorp->m_ShapeNumber = DestinCurrentCorp->m_ShapeNumber;
CurrentCorp->m_Geometric = DestinCurrentCorp->m_Geometric;
DestinDoc->DeleteCorps();
}
}

```

➤ Descriptori Fourier

Transformata Fourier discretă, unidimensională poate fi deseori folosită pentru a descrie un contur bidimensional [6], [10], [12], [19], [30], [96], [102], [103], [114], [118], [134], [140], [142], [156].

Se presupune că sunt disponibile M puncte ale conturului. Dacă, așa cum se arată în figura 2.2.11, se vizualizează acest contur ca fiind plasat în planul complex, fiecare punct de contur bidimensional (x, y) fiind redus la un număr complex $x + iy$. Secvența de puncte de-a lungul conturului formează o funcție a cărei transformată Fourier este $F(u)$, $u = 0, 1, 2, \dots, M-1$. Dacă M este o putere întregă a lui 2, $F(u)$ poate fi calculată folosind un algoritm TFR.

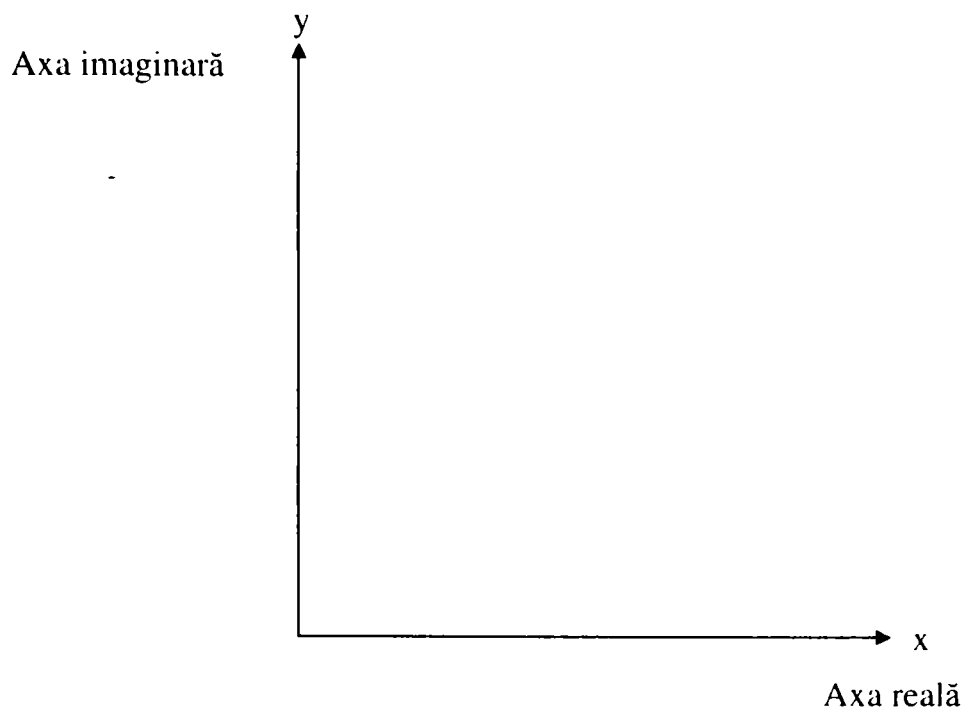


Fig. 2.2.11
Reprezentarea unei regiuni de contur în domeniul de frecvență

Motivul pentru care se face această abordare a problemei este faptul că doar primele câteva componente ale lui $F(u)$, sunt în general necesare pentru a distinge între forme care sunt distincte într-un mod rezonabil.

Transformata Fourier este ușor de normalizat relativ la dimensiune, rotație și punct de start pentru un contur.

Pentru a schimba dimensiunea unui contur se vor înmulți componentele lui $F(u)$ cu o constantă. Se poate demonstra faptul că deplasarea punctului de start al conturului în domeniul spațial corespunde înmulțirii componentei k a lui $F(u)$ cu e^{ikT} unde T este în intervalul $[0, 2\pi]$. Când T se deplasează de la 0 la 2π , punctul de start traversează întregul contur o dată. Această informație poate fi folosită drept bază pentru normalizare.

2.2.2. Descriptorii regiunilor

O regiune de interes poate fi descrisă de forma conturului sau de caracteristicile interne [4], [5], [16], [89], [94], [135], [136], [146], [150].

Astfel, un mare număr de sisteme de vedere artificiale industriale existente sunt bazate pe descriptorii regionali care sunt simpli și astfel au o mare atractivitate din punct de vedere al calculului. Utilizarea acestor descriptorii este limitată la situații în

care obiectele de interes sunt foarte distincte încât câțiva descriptori globali sunt suficienți pentru caracterizarea lor.

Aria unei regiuni este definită ca numărul de pixeli conținuți în conturul ei. Aceasta este un descriptor foarte util când geometria de vizionare este fixă și obiectele sunt întotdeauna analizate aproximativ la aceeași distanță față de cameră. O aplicație tipică este recunoașterea obiectelor ce se mișcă pe o bandă rulantă prin fața camerei video.

Axa mare și axa mică a unei regiuni sunt definite în funcție de contur și sunt utile pentru determinarea orientării unui obiect. Raportul lungimilor acestor axe, numit **excentricitatea** regiuni, este de asemenea un important descriptor global al formei sale.

Perimetrul unei regiuni este lungimea conturului acelei regiuni. Deși uneori el este utilizat ca și descriptor, cea mai frecventă aplicație a sa este stabilirea unei măsuri a **compactității** unei regiuni, definită ca $\text{perimetru}^2/\text{arie}$. Compactitatea este cantitate adimensională (fiind astfel este insensibilă la schimbări de scală) și este minimă pentru o regiune în formă de disc.

O **regiune conexă** este o regiune în care toate perechile de puncte pot fi conectate de o curbă ce se află complet în interiorul regiunii. Pentru un set de regiuni conexe, unele care pot să aibă găuri, este util să considerăm **numărul lui Euler** ca pe un descriptor. Numărul lui Euler este definit simplu ca numărul de regiuni conexe minus numărul de găuri. De exemplu, numerele lui Euler ale literelor A și B sunt 0 respectiv -1. În continuare se vor discuta și alți descriptori ai regiunilor [111], [119], [152].

➤ Textura

Identificarea obiectelor sau regiunilor dintr-o imagine poate fi deseori realizată, cel puțin parțial, cu ajutorul descriptorilor de textură [8]. Deși nu există o definiție formală a texturii, se poate imagina acest descriptor ca realizând măsurări cantitative ale proprietăților cum ar fi netezimea, asprimea, și regularitatea.

Principalele metode de abordare ale descriptorilor de textură sunt statistice și de structură. Metodele statistice vor genera caracteristici ale texturii ca fiind netede, aspre, granulare, și așa mai departe. Tehnicile structurale, tratează aranjamentul imaginilor primitive, cum ar fi descrierea texturii bazate pe linii paralele spațiate regulat.

Una din cele mai simple abordări pentru descrierea texturii este utilizarea momentelor histogramei de intensitate a unei imagini sau regiuni.

Fie z o variabilă aleatoare care reprezintă intensitatea discretă a imaginii, și fie $p(z_i)$, $i = 1, 2, \dots, L$, histograma corespunzătoare, unde L este numărul de nivele de intensitate distincte. Al n -lea moment al lui z deasupra mediei este definit ca

$$\mu_n(z) = \sum_{i=1}^L (z_i - m)^n p(z_i) \quad (2.2.3)$$

unde m este valoarea medie a lui z (intensitate medie a imaginii):

$$m = \sum_{i=1}^L z_i p(z_i) \quad (2.2.4)$$

Se observă din relația (2.2.3) că $\mu_0 = 1$ și $\mu_1 = 0$.

Momentul de ordinul 2 este de o importanță particulară în descriptorii de textură. El este o măsură a contrastului de intensitate care poate fi folosit pentru determinarea descriptorilor de netezime relativă. De exemplu, măsura sa :

$$R = 1 - \frac{1}{1 + \sigma^2(z)} \quad (2.2.5)$$

este 0 pentru zonele de intensitate constantă ($\sigma^2(z) = 0$ dacă toți z_i au aceeași valoare) și se apropie de 1 pentru valori mari ale lui $\sigma^2(z)$. Momentul de ordinul 3 este o măsură a înclinării histogramei, în timp ce momentul de ordinul 4 este o măsură a planeității relative. Momentele de ordinul 5 și cele mai mari nu sunt atât de simplu de legat de forma histogramei, dar ele pot introduce diferențe cantitative ulterioare ale texturii.

Măsurile calculate ale texturii folosind histograme, sunt limitate de faptul că nu conțin informații referitoare la poziția relativă a pixelilor unul față de altul. Una din modalitățile prin care se poate aduce această informație în analiza de textură este luarea în considerare nu doar a distribuției intensității dar și a poziției pixelilor cu intensități egale sau aproape egale.

Fie P un operator de poziție și fie A o matrice $k \times k$ ale cărei elemente a_{ij} arată de câte ori punctele cu intensitatea z_i apar (în poziția specificată de P) față de punctele cu intensitatea z_j , cu $1 \leq i, j \leq k$. De exemplu, se consideră o imagine cu trei intensități, $z_1 = 0$, $z_2 = 1$, și $z_3 = 2$:

0 0 0 1 2
 1 1 0 1 1
 2 2 1 0 0
 1 1 0 2 0
 0 0 1 0 1

Dacă se definește operatorul de poziție P ca "un pixel la dreapta și un pixel în jos", atunci se va obține următoarea matrice A 3×3 :

$$A = \begin{bmatrix} 4 & 2 & 1 \\ 2 & 3 & 2 \\ 0 & 2 & 0 \end{bmatrix}$$

unde, a_{11} (colțul stânga sus) arată de câte ori un punct cu nivel de intensitate $z_1 = 0$ apare cu o locație de pixel mai jos și mai la dreapta de un pixel cu aceeași intensitate, în timp ce a_{13} (colțul dreapta sus) arată de câte ori un punct cu nivelul $z_1 = 0$ apare mai jos și mai la dreapta de un punct cu intensitatea $z_3 = 2$.

Este important de remarcat faptul că dimensiunea lui A este determinată strict de numărul de intensități distincte din imaginea de intrare. Problema este realizarea matricei A cu dimensiuni cât mai mici.

Fie n numărul total de perechi de puncte din imagine care satisface P (în exemplul anterior $n=16$). Dacă se definește o matrice C formată prin divizarea fiecărui element a lui A cu n , atunci c_{ij} este o estimare a probabilității de unire ca o pereche de puncte satisfăcând P , să aibă valorile (z_i, z_j) .

Matricea C este denumită **matrice de concurență a nivelelor de gri**, unde prin nivel de gri se înțelege intensitatea unui pixel monocrom sau a imaginii. Deoarece C depinde de P , este posibil să se detecteze prezența unor modele de textură date prin alegerea unui operator de poziție adecvat. De exemplu, operatorul folosit în exemplul anterior este sensibil la benzi de intensitate constantă ce se întind la -45° (de remarcat că cea mai mare valoare din A era $a_{11} = 4$, parțial datorită liniei de puncte cu intensitate 0 ce se află la -45°).

➤ Scheletul unei regiuni

O metodă importantă pentru a reprezenta forma structurală a unei regiuni plane este reducerea ei la un graf [3], [13], [18], [97]. Acest lucru se realizează prin

obținerea *scheletului* regiunii prin algoritm de subțiere. Procedurile de subțiere joacă un rol central într-o mare gamă de probleme din vederea artificială.

Scheletul unei regiuni poate fi definit cu ajutorul *transformatei axelor mediane (TAM)*. Transformarea TAM a unei regiuni R cu marginea B se realizează astfel :

Pentru fiecare punct p din R , se va găsi cel mai apropiat vecin din B . Dacă p are mai mulți astfel de vecini, atunci se spune că aparține axelor mediane (scheletului) lui R . Se observă că formularea "cel mai apropiat" depinde de definiția distanței și, astfel, rezultatele unei operații TAM vor fi influențate de alegerea unei metrici. Câteva exemple folosind distanța euclidiană sunt prezentate în figura 2.2.12.

Deși algoritmul TAM generează un schelet foarte bun, o implementare directă a definiției de mai sus este incompatibilă din punct de vedere al calcului necesar, impunându-se calcularea distanței de la fiecare punct interior la fiecare punct de pe contur.

Au fost propuși mai mulți algoritmi pentru îmbunătățirea eficienței calculului și, în același timp, s-a încercat reprezentarea median axială a unei regiuni date. În mod normal, acești algoritmi de subțiere care șterg iterativ punctele de pe marginea unei regiuni pornind de la restricția că ștergând aceste puncte :

1. nu se vor elimina și punctele finale
2. nu se întrerupe conectivitatea
3. nu se va cauza o eroziune excesivă a regiunii

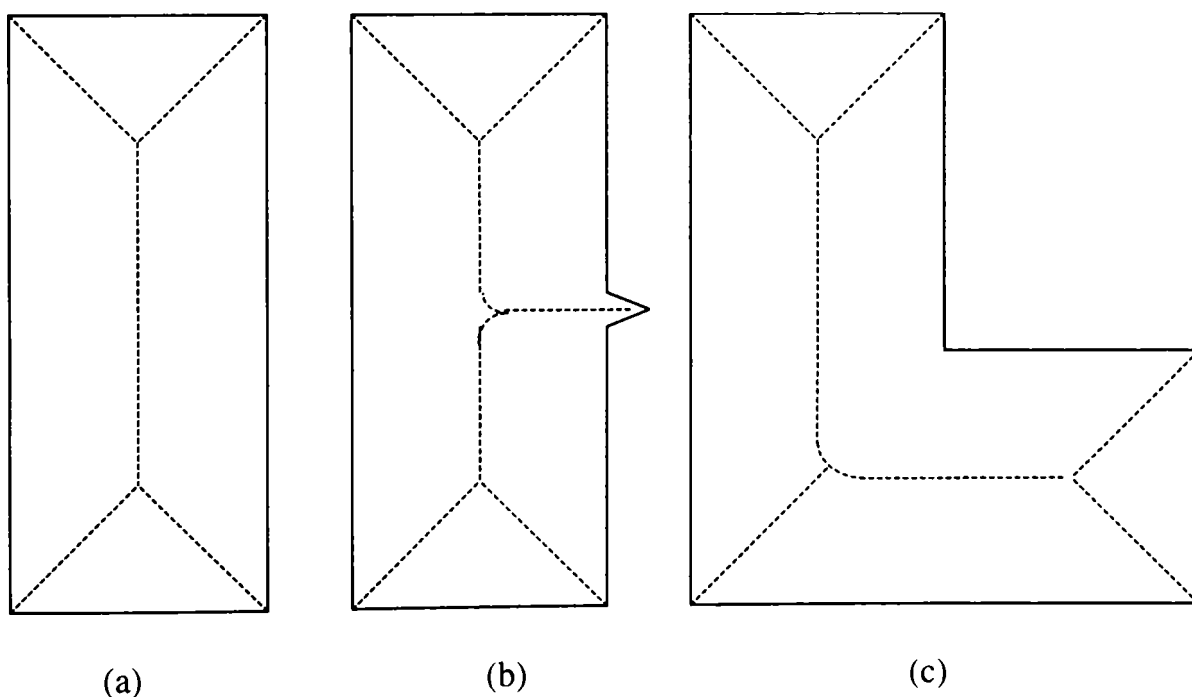


Fig. 2.2.12
Axele mediane a trei regiuni simple.

Deși s-au făcut încercări de a aplica acești algoritmi imaginilor cu nivele de gri, totuși acest tip de reprezentare este de obicei folosit imaginilor binare.

Procedura prezentată în continuare este rapidă, are o implementare liniară și va genera schelete care sunt, în multe cazuri, superioare celor obținute cu algoritmi de subțiere.

Algoritmul necesită prin câteva definiții :

- Se presupune că există date binare, punctele regiunii fiind marcate cu 1 iar fondul cu 0. Acestea vor fi numite puncte *întunecate* și respectiv *luminoase*
- Un *punct de margine* este un punct întunecat care are cel puțin un vecin de tip 4 luminos
- Un *punct final* este un punct întunecat care are unul și numai unul din vecinii de tip 8 întunecat
- Un *punct de întrerupere* este un punct întunecat a cărui ștergere va întrerupe conectivitatea.

La algoritmi de subțiere, zgomotul și orice variație eronată de-a lungul conturului poate modifica semnificativ scheletul rezultat (figura 2.2.12,b este un exemplu elocvent). În consecință se presupune, a priori, că toate contururile regiunilor au fost netezite anterior de subțiere.

Făcând referire la aranjamentul vecinilor prezentat în figura 2.2.13, algoritmul de subțiere identifică un punct de margine p ca pe un punct ce aparține unuia sau mai multora dintre tipurile următoare:

1. un *punct de margine stânga* ce are vecinul din stânga n_4 luminos
2. un *punct de margine dreapta* ce are n_0 luminos
3. un *punct de margine sus* ce are n_2 luminos
4. un *punct de margine jos* ce are n_6 luminos

Este posibil ca p să fie clasificat în mai multe din aceste tipuri deodată. De exemplu, un punct întunecat p ce are n_0 și n_4 luminoși, va fi un punct de margine dreapta și stânga simultan.

În continuare procedura începe cu identificarea punctelor de margine stânga care trebuie șterse. Ea va continua în același mod și cu celelalte tipuri.

n_3	n_2	n_1
n_4	p	n_0
n_5	n_6	n_7

Fig. 2.2.13

Notarea vecinilor lui p folosită în algoritmul de subțiere.

Un punct de margine este marcat dacă nu este un punct final sau unul de întrerupere sau dacă ștergerea lui va produce eroziune excesivă. Testele pentru aceste condiții sunt realizate prin compararea vecinătăților 8 a lui p cu ferestrele prezentate în figura 2.2.14, unde p și asterixul sunt puncte întunecate iar d și e sunt puncte "orice", adică pot fi și întunecate și luminoase.

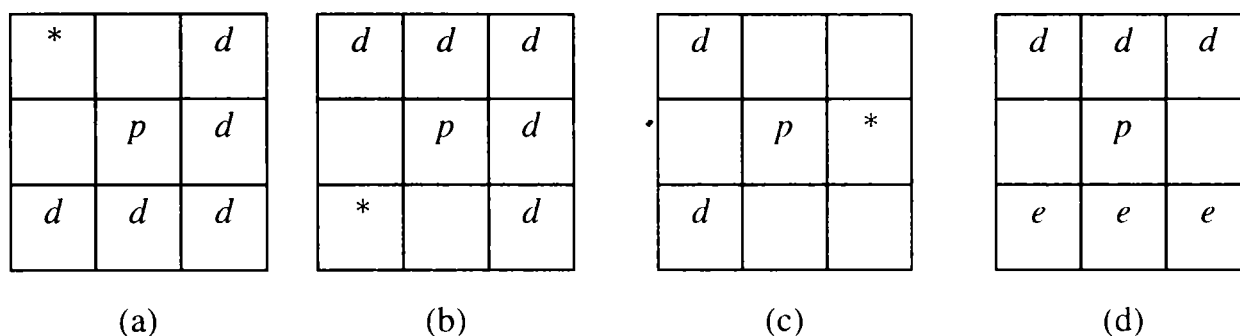


Fig. 2.2.14

Dacă vecinătatea de tip 8 a unui punct p corespunde uneia din ferestrele de mai sus, punctul p nu va fi marcat. Asterixul înseamnă un punct întunecat, iar d și e pot fi fie întunecate fie luminoase.

Dacă vecinătatea lui p corespunde cu ferestrele (a) ... (c), pot apărea două cazuri :

1. dacă toate punctele d sunt luminoase, atunci p este un punct final,
2. dacă cel puțin un punct d este întunecat, atunci p este un punct de întrerupere

În ambele cazuri p nu trebuie marcat.

Analiza ferestrei (d) este puțin mai complicată. Dacă cel puțin unul dintre d și e este întunecat, atunci p este un punct de întrerupere și nu trebuie marcat.

Trebuie luate în considerare totuși și alte aranjamente. Se presupune că toate punctele d sunt luminoase și că toate punctele e pot fi orice. Această condiție va genera 8 posibilități prezentate în figura 2.2.15.

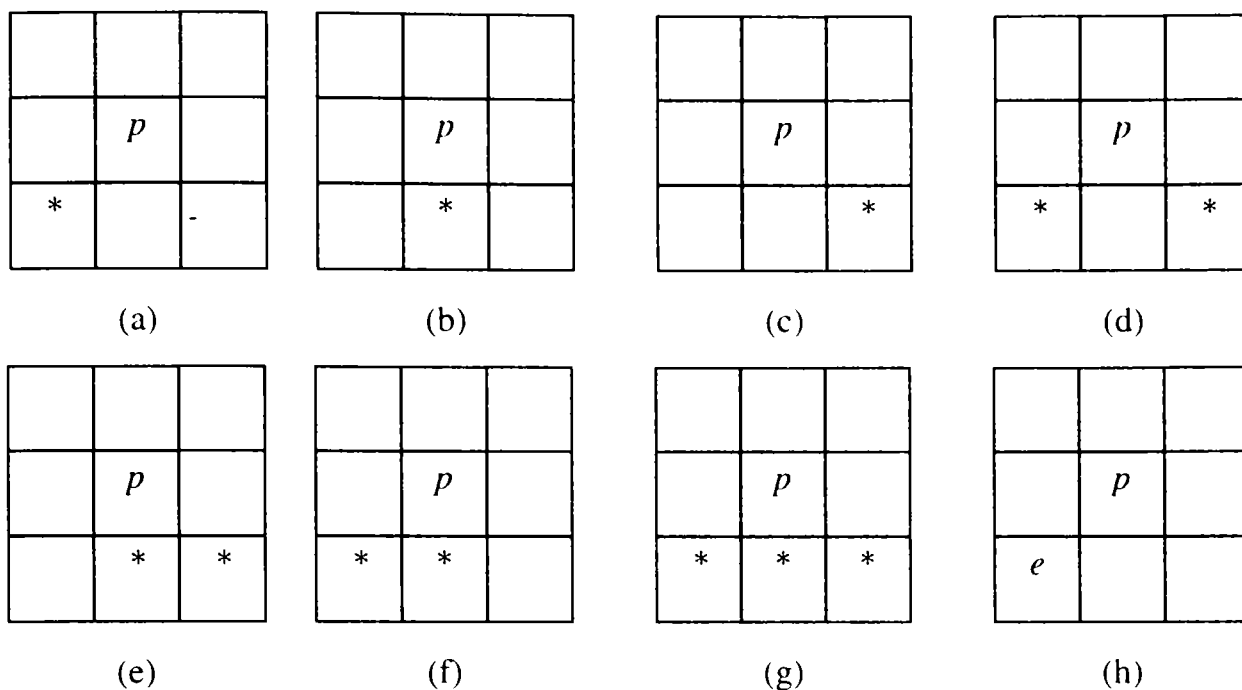


Fig. 2.2.15

Toate configurațiile posibile dacă d este luminos în figura 22, iar e poate fi întunecat, *, sau luminos.

Configurațiile (a) ... (c) îl fac pe p punct final, iar configurația (d) îl face punct de întrerupere.

Dacă p ar fi șters în configurațiile (e) și (f), este foarte ușor de arătat faptul că ștergerea lui va cauza o eroziune prea mare în regiunile înclinate de lățime 2. În configurația (g), p este un punct ce se numește *umflătură*, de obicei datorat unei ieșituri a regiunii. Deoarece se presupune că regiunea a fost inițial netezită, apariția unei umflături în timpul subțierii este considerată importantă pentru formă, și p nu va trebui șters.

În final, dacă toate punctele izolate au fost inițial eliminate, apariția unei configurații ca în (h) pe timpul procesului de subțiere indică faptul că regiunea a fost redusă la un singur punct. Ștergerea lui va elimina ultima bucată existentă de regiune.

Argumente similare se pot aduce dacă rolurile lui d și e ar fi interschimbate. Important este că oricare punct de margine stânga p a cărui vecinătate 8 coincide cu una din ferestrele din figura 2.2.14, nu trebuie marcat.

Testarea vecinătății 8 a lui p cu ferestrele din figura 2.2.14 are o reprezentare booleană particulară și simplă dată de

$$B_4 = n_0 \cdot (n_1 + n_2 + n_6 + n_7) \cdot (n_2 + \overline{n_3}) \cdot (\overline{n_5} + n_6) \quad (2.2.6)$$

unde :

- indicele lui B indică faptul că n_4 este luminos (p este un punct de margine stânga)
- " \bullet " este operația logică "și"
- "+" este operația logică "SAU"
- " $\bar{}$ " este complementul logic
- n -urile sunt definite ca în figura 2.2.13.

Ecuția (2.2.6) este evaluată prin atribuirea punctelor întunecate, **punctele nemarcate anterior** să ia valoarea 1, iar cele luminoase sau marcate să ia valoare 0. Astfel dacă B_4 este 1, se va marca pe p . În caz contrar, p rămâne nemarcat.

Expresii similare se obțin pentru punctele de margine dreapta,

$$B_6 = n_4 \bullet (n_2 + n_3 + n_5 + n_6) \bullet (n_6 + \bar{n}_7) \bullet (\bar{n}_1 + n_2) \quad (2.2.7)$$

pentru punctele de margine sus,

$$B_2 = n_6 \bullet (n_0 + n_4 + n_5 + n_7) \bullet (n_0 + \bar{n}_1) \bullet (\bar{n}_3 + n_4) \quad (2.2.8)$$

și pentru punctele de margine jos,

$$B_2 = n_2 \bullet (n_0 + n_1 + n_3 + n_4) \bullet (n_4 + \bar{n}_5) \bullet (\bar{n}_0 + n_7) \quad (2.2.9)$$

Utilizând expresiile (2.2.6)-(2.2.9), algoritmul de subțiere va realiza două scanări ale imaginii. Secvența de scanare se realizează fie lungul rândurilor, fie de-a lungul coloanelor, dar alegerea va afecta în general rezultatul final. În prima scanare se vor folosi B_4 și B_0 pentru a marca punctele de margine stânga și dreapta; în cea de-a doua scanare se vor folosi B_2 și B_6 pentru a marca punctele de margine sus și jos.

Dacă nu au fost marcate noi puncte de margine în timpul celor două scanări, algoritmul se oprește, iar punctele nemarcate constituie scheletul; în caz contrar, procedura se repetă.

Este de subliniat faptul că punctele marcate anterior sunt tratate ca 0 în evaluarea expresiilor booleene.

O procedură alternativă este setarea oricărui punct marcat la 0 pe timpul execuției algoritmului, astfel rezultând doar scheletul și punctele de fond în final. Acest procedeu este mai ușor de implementat, dar pierde toate celelalte punctele din regiune.

2.3. Recunoașterea

Recunoașterea este un proces de etichetare, ce urmărește identificarea fiecărui obiect segmentat dintr-o scenă și atribuirea unei etichete acelui obiect. În cele mai multe cazuri, etapa de recunoaștere în sistemele industriale de vedere artificială existente, se bazează pe presupunerea că obiectele din scenă au fost segmentate ca unități individuale. O altă restricție firească în aplicații impune ca imaginile să fie achiziționate într-o geometrie de vedere cunoscută (de obicei perpendiculară pe spațiul de lucru). Acest lucru micșorează variația de caracteristici de formă și simplifică segmentarea și descrierea reducând posibilitatea suprapunerii. Variația în orientarea obiectelor este tratată prin alegerea de descriptori invarianți la rotație sau prin utilizarea axei principale a unui obiect pentru al orienta într-o direcție predefinită.

Metodele de recunoaștere utilizate în prezent sunt [23], [29], [91], [107], [110], [113], [121], [132], [139], [149], [153], [154] :

- *de decizii teoretice*
- *de decizie structurală*

Metodele de decizie teoretică sunt bazate pe descriptori cantitativi (textură statistică), în timp ce metodele structurale se bazează pe descriptori simbolici și pe relațiile lor (secvența direcțiilor dintr-un contur codat înlănțuit). Cu câteva excepții, procedurile prezentate în acest capitol sunt în general utilizate pentru recunoașterea obiectelor într-o reprezentare bidimensională.

2.3.1. Metode de decizie teoretică

Recunoașterea modelelor prin decizie teoretică este bazată pe utilizarea *funcțiilor de decizie* (*discriminatorii*).

Fie $x = (x_1, x_2, \dots, x_n)^T$ un *vector model coloană* cu componente reale, unde x_i este al i -lea descriptor al unui obiect dat (arie, media intensității, perimetru).

Fiind dată o clasă de obiecte M , dată de w_1, w_2, \dots, w_M , problema de bază în recunoașterea modelelor prin decizie teoretică este identificarea a M funcții de decizie, $d_1(x), d_2(x), \dots, d_M(x)$, cu proprietatea că :

$$d_i(x^*) > d_j(x^*) \quad j = 1, 2, \dots, M; \quad j \neq i \quad (2.3.1)$$

relație care este valabilă pentru orice vector model x^* ce aparține clasei w_i .

Adică, un obiect necunoscut reprezentat de vectorul x^* este recunoscut ca aparținând clasei de obiecte i dacă, după înlocuirea lui x^* în toate funcțiile de decizie, $d_i(x^*)$ produce cea mai mare valoare.

Utilitatea cea mai mare a funcțiilor de decizie în sistemele de vedere artificială industriale este *potrivirea*. Se presupune că fiecare clasă de obiecte este reprezentată printr-un vector *prototip* (sau *medie*):

$$m_i = \frac{1}{N} \sum_{k=1}^N x_k \quad i = 1, 2, \dots, M \quad (2.3.2)$$

unde : x_k sunt mostre de vectori despre care se știe că aparțin clasei w_i .

Fiind dat un vector necunoscut x^* , una din modalitățile de a determina apartenența lui la o clasă este să i se atribuie clasa prototipului celui mai apropiat de el. Dacă se folosește distanța euclidiană pentru a determina apropierea, problema se reduce la calcularea mărimii distanței :

$$D_j(x^*) = \| x^* - m_j \| \quad j = 1, 2, \dots, M \quad (2.3.3)$$

unde $\| a \| = (a^T a)^{1/2}$ este norma euclidiană. •

După aceea se atribuie x^* clasei w_i dacă $D_i(x^*)$ este distanța cea mai mică. Nu este dificil de arătat că aceasta este echivalentă cu evaluarea funcțiilor :

$$d_j(x^*) = (x^*)^T m_j - 1/2 m_j^T m_j \quad j = 1, 2, \dots, M \quad (2.3.4)$$

selectând valoarea cea mai mare.

Această formulare este în concordanță cu conceptele funcțiilor de decizie, așa cum sunt definite în relația (2.3.1).

O altă aplicație de potrivire este căutarea aparițiilor unei subimagini $w(x, y)$ într-o imagine mai mare $f(x, y)$. La fiecare locație (x, y) a lui $f(x, y)$ se definește *coeficientul de corelație* ca fiind

$$\gamma(x, y) = \frac{\sum_s \sum_t [w(s, t) - m_w][f(s, t) - m_f]}{\left\{ \sum_s \sum_t [w(s, t) - m_w]^2 \sum_s \sum_t [f(s, t) - m_f]^2 \right\}^{1/2}} \quad (2.3.5)$$

unde se presupune că $w(s, t)$ este centrată la coordonatele (x, y) . Sumele sunt luate peste coordonatele imaginii comune celor două regiuni, m_w fiind media intensității lui w .

Este de subliniat faptul că, în general, $\gamma(x, y)$ va varia de la o locație la alta și că poate lua valori în intervalul $[-1, 1]$, cu valoarea 1 corespunzătoare unei potriviri perfecte.

Procedura va calcula în continuare $\gamma(x,y)$ la fiecare locație (x,y) și va selecta cea mai mare valoare pentru a determina cea mai bună potrivire a lui w în f .

Calitatea potrivirii poate fi controlată acceptând coeficientul de corelație doar dacă depășește o valoare prestabilită (de exemplu 0,9).

Deoarece această metodă constă în compararea directă a două regiuni, este evident sensibilă la variații ale dimensiunii și orientării obiectelor. Variațiile de intensitate sunt normalizate de către numitor în expresia (2.3.5).

2.3.2. Metode structurale

Tehnicile discutate anterior tratează modelele pornind de la baze cantitative, ignorând orice relație geometrică care poate fi moștenită într-o formă a unui obiect.

Metodele structurale, pe de altă parte, încercă să realizeze o discriminare între obiecte bazându-se pe aceste relații. Punctul central în recunoașterea structurală este descompunerea unui obiect în **modele primitive** [3], [6], [11], [14], [20], [21], [86], [92], [93], [101], [105], [116], [120], [145], [148].

Această idee este ușor de explicat cu ajutorul figurii 2.3.1. Partea (a) a acestei figuri prezintă un contur de obiect simplu, iar figura (b) arată un set de elemente primitive de lungime și direcție dată.

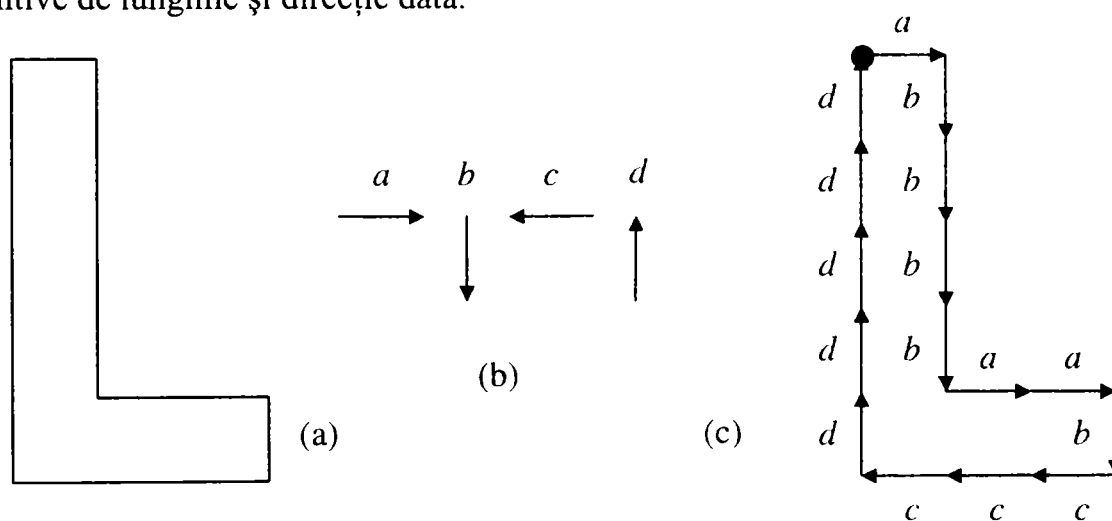


Fig. 2.3.1

Descrierea primitivelor unei forme date

- (a) Conturul obiectului.
- (b) Primitive.
- (c) Conturul obiectului codificat după primitive, rezultatul fiind șirul

Pornind din colțul stânga sus, urmărind conturul obiectului în sens antitrigonometric, și identificând instanțele primitivelor, se obține conturul codificat din figura 2.3.1,c. În final, se reprezintă conturul prin codul *abbbbaabcccd*.

Lungimea și direcția cunoscută a acestor primitive, împreună cu ordinea în care apar, stabilesc structura obiectului ca pe o reprezentare particulară. Scopul acestui capitol este scoaterea în evidență a tehnicilor adecvate pentru tratarea acestor tipuri cât și a altora de descriptori de modele structurale.

➤ **Potrivirea numerelor de formă**

O procedură similară cu conceptul distanței minime poate fi formulată pentru compararea a două contururi de obiecte care sunt descrise cu numere de formă [26],[27],[28].

Gradul de asemănare k dintre două contururi de obiecte, A și B , este definit ca cel mai mare ordin pentru care numerele lor de formă coincid. Adică :

$$s_4(A)=s_4(B), s_6(A)=s_6(B), s_8(A)=s_8(B), \dots, s_k(A)=s_k(B), s_{k+2}(A) \neq s_{k+2}(B), \\ s_{k+4}(A) \neq s_{k+4}(B), \dots, \quad (2.3.6)$$

unde :

- s reprezintă numărul de formă
- k indicele reprezintă ordinul

Distanța dintre două forme A și B este definită ca inversul gradului lor de similaritate:

$$D(A, B) = \frac{1}{k} \quad (2.3.7)$$

Această distanță satisface proprietățile :

- $D(A, B) \geq 0$
- $D(A, B) = 0$ dacă $A = B$ (2.3.8)
- $D(A, C) \leq \max[D(A, B), D(B, C)]$

În scopul comparării a două forme, se poate folosi fie k fie D . Dacă se utilizează gradul de asemănare, atunci rezultă din cele de mai sus faptul că, cu cât k este mai mare, cu atât formele sunt mai similare (k este infinit pentru forme identice). În cazul utilizării distanței problema se pune invers.

Se consideră, spre exemplificare că robotul trebuie să recunoască dintr-o mulțime de contururi pe cel pe care l-a analizat și căruia i-a atribuit numărul de formă N conform conform figurii 2.2.7 . Dintr-o mulțime de contururi el va trebui să-l selecteze pe cel căutat.

Metoda de căutare este ilustrată în figura 2.3.2,a. Situația este analogă cu problema deținerii a cinci modele de formă ale căror identități sunt cunoscute. Se determină care dintre acestea constituie cea mai bună potrivire cu o formă necunoscută.

Căutarea poate fi vizualizată cu ajutorul *arborelui de similitudine* (figura 2.3.2,b). Rădăcina acestui arbore corespunde celui mai mic grad de similitudine considerat, adică 4. Așa cum se vede în arbore, toate formele sunt identice până la gradul 8, cu excepția formei C. Astfel, gradul de similitudine al acestei forme în raport cu toate celelalte este 6. Parcurgând descendent arborele se va descoperi că forma D are gradul de similitudine 8 în raport cu formele rămase, ș.a.m.d. În acest caz particular, forma E rezultă cu cea mai apropiată potrivire de forma N.

Aceeași informație se poate obține din *matricea de similitudine* din figura 2.3.2,c.

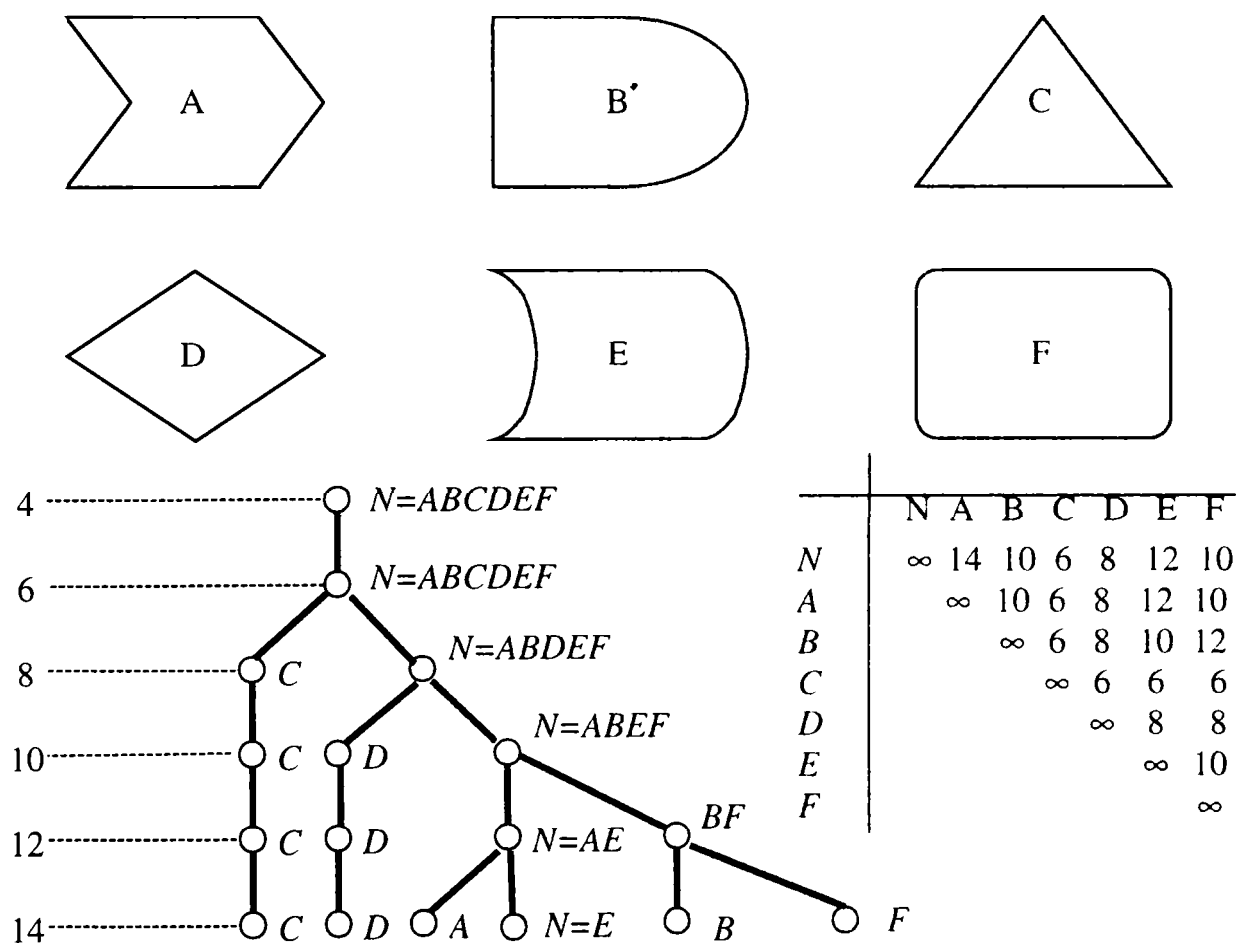


Fig. 2.3.2
 Construcția unui arbore de similitudine pentru recunoașterea formei
 (a) Forme, (b) Arborele de similaritate, (c) Matricea de similaritate

➤ Crearea unei baze de date cu numere de formă

O altă metodă de abordare a recunoașterii este construirea unei baze de date formată din numere de formă, care să identifice obiectele de interes, metodă ce se poate folosi-în special în cazul unui număr limitat și cunoscut dinainte de obiecte, deoarece în acest caz se pot anticipa și efectele zgomotului.

Reluând exemplul de la descrierea cu ajutorul numerelor de formă, se poate utiliza pentru recunoașterea figurilor geometrice plane următoarea bază de date, bază care se poate dezvolta pe măsură ce rezultatele experimentale o demonstrează ca necesară :

```
CString Recognition(CString ShapeNumber)
{
    CString Geometric;

    if(ShapeNumber.Compare("00003000030000300003")==0)
        Geometric = "SQUARE";
    else
        if(ShapeNumber.Compare("00000000330000000033")==0 ||
           ShapeNumber.Compare("00000003030000000303")==0 ||
           ShapeNumber.Compare("00000030030000003003")==0 ||
           ShapeNumber.Compare("00000300030000030003")==0)
            Geometric = "RECTANGLE";
        else
            if(ShapeNumber.Compare("00303003130031300313")==0)
                Geometric = "CIRCLE";
            else
                if(ShapeNumber.Compare("00003310310330130133")==0 ||
                   ShapeNumber.Compare("00003300300330130133")==0 ||
                   ShapeNumber.Compare("00000033003033131033")==0 ||
                   ShapeNumber.Compare("00000033030033131033")==0 ||
                   ShapeNumber.Compare("00000330030331313133")==0 ||
                   ShapeNumber.Compare("00000331310303013133")==0 ||
                   ShapeNumber.Compare("00000331031330103133")==0 ||
                   ShapeNumber.Compare("00000331310331030133")==0)
                        Geometric = "TRIANGLE";
                else
                    if(ShapeNumber.Compare("00003000313003130003")==0 ||
                       ShapeNumber.Compare("00003000301303130003")==0)
                        Geometric = "ROBOT";
                    else
                        Geometric = "NOMATCH";
            return Geometric;
}
```

Folosind funcțiile implementate se poate crea o funcție de recunoaștere automatizată care va afișa în final figurile geometrice recunoscute după un cod al culorilor:

```
void CROBOVIEWDoc::RecognizeObjectsByColor(CROBOVIEWDoc *OriginalDoc)
{
    CROBOVIEWDoc *DestinDoc;
```



```

CCorp          *CurrentCorp;
POSITION      CurrentPosition;
int           i,x,y,NumberOfPoints;
struct        BASICRECTANGLE{
                                RECT Rect;
                                int MajorAxis;
                                int MinorAxis;
                                double Eccentricity;
                                }BasicRectangle;

```

```

DestinDoc = ((CMainFrame*)AfxGetMainWnd()->GetActiveSourceDocument());
memset(&DestinDoc->BitmapMatrix,0xFF,320*240*3);
CurrentPosition = m_CorpList.GetHeadPosition();
while(CurrentPosition)
{
    BasicRectangle.Rect.left = 10000;
    BasicRectangle.Rect.right = 0;
    BasicRectangle.Rect.top = 10000;
    BasicRectangle.Rect.bottom = 0;
    CurrentCorp = m_CorpList.GetNext(CurrentPosition);
    NumberOfPoints = CurrentCorp->m_pointArray.GetSize();
// Determine bounding rectangle of the given object
    for(i=0;i<NumberOfPoints;i++)
    {
        if(CurrentCorp->m_pointArray[i].x < BasicRectangle.Rect.left)
            BasicRectangle.Rect.left = CurrentCorp->m_pointArray[i].x;
        if(CurrentCorp->m_pointArray[i].x > BasicRectangle.Rect.right)
            BasicRectangle.Rect.right = CurrentCorp->m_pointArray[i].x;
        if(CurrentCorp->m_pointArray[i].y < BasicRectangle.Rect.top)
            BasicRectangle.Rect.top = CurrentCorp->m_pointArray[i].y;
        if(CurrentCorp->m_pointArray[i].y > BasicRectangle.Rect.bottom)
            BasicRectangle.Rect.bottom = CurrentCorp->m_pointArray[i].y;
    }
    for(x=0;x<Xmax;x++)
        for(y=0;y<REALYMAX;y++)
        {
            if(OriginalDoc->BitmapMatrix[x][y][0] == 0 && x>=BasicRectangle.Rect.left-4 &&
                x<=BasicRectangle.Rect.right+4 && y>=BasicRectangle.Rect.top-4 &&
                y<=BasicRectangle.Rect.bottom+4)
            {
                DestinDoc->BitmapMatrix[x][y][0] = GetRValue(GetObjectColor(CurrentCorp->m_Geometric));
                DestinDoc->BitmapMatrix[x][y][1] = GetGValue(GetObjectColor(CurrentCorp->m_Geometric));
                DestinDoc->BitmapMatrix[x][y][2] = GetBValue(GetObjectColor(CurrentCorp->m_Geometric));
            }
        }
}
((CMainFrame*)AfxGetMainWnd()->GetActiveFrame()->RedrawWindow());
}

```

```

void CMainFrame::OnUpdateToolsShapeNumber(void)
{
    CROBOVIEWDoc *SourceDoc=NULL;
    CROBOVIEWDoc *OriginalDoc=NULL;

    OriginalDoc = ChainCode(4,4,50,TRUE,&SourceDoc);
    SourceDoc->GetShapeNumbers(OriginalDoc);
    SourceDoc->RecognizeObjectsByColor(OriginalDoc);
}

```

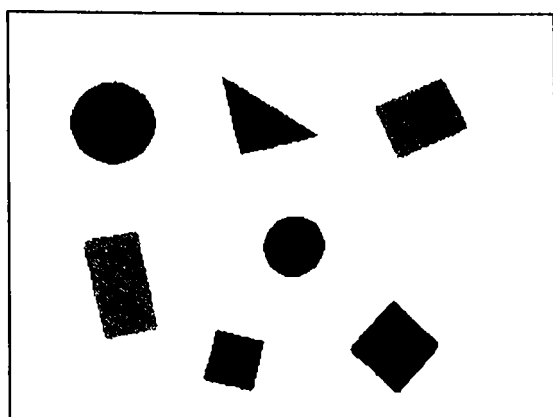


Fig. 2.3.3

Rezultatul recunoașterii figurilor geometrice și a unui robot efector, rezultat afișat prin colorarea fiecărei clase de obiecte într-o anumită culoare

Partea III-a

Planificarea mișcărilor roboților autonomi pe baza informațiilor obținute prin vedere artificială

3.1 Conducerea unui robot într-un spațiu de lucru populat cu obstacole plane

Experimentul constă din achiziționarea unei imagini statice a unui mediu format din figuri geometrice plane în cadrul cărora se află un robot de dimensiuni reduse 10 x 10 cm. Camera de achiziție este plasată deasupra mediului la o distanță care să permită cuprinderea tuturor obiectelor de interes. Pentru realizarea unui contrast cât mai mare între fundal și obiecte, fundalul este de culoare albă, iar figurile geometrice sunt de culoare neagră pentru a avea un contrast cât mai mare. Având în vedere scara întregului ansamblu rezultă faptul că robotul efector trebuia să fie de dimensiuni reduse, comparabile cu cele ale figurilor geometrice existente. Confecționarea artizanală a acestui robot, a urmărit :

- să poată fi ușor comandat printr-o interfață existentă la un calculator obișnuit
- să se poată deplasa înainte și înapoi pe aceeași direcție
- să poată să-și schimbe direcția

Odată realizat un robot [88] cu caracteristicile de mai sus procesul de conducere a acestuia printre figurile geometrice constă în recunoașterea figurilor geometrice și a robotului efector, stabilirea unei sarcini de lucru, determinarea traiectoriei și comanda efectivă a robotului pentru parcurgerea acestuia.

3.1.1 Descrierea robotului efector.

Deoarece robotul efector trebuie să îndeplinească condițiile menționate, soluția cea mai simplă a fost realizarea sa prin folosirea a două motoare pas cu pas de dimensiuni reduse, cu patru faze comandate monopolar [88], [7], [106]. Deoarece cele două motoare pas cu pas au nevoie de 8 semnale de comandă, folosirea portului paralel cu cele 8 ieșiri de date ale sale se recomandă de la sine. Deoarece puterea pe ieșirile portului paralel este prea mică, a fost necesară crearea unei interfețe cu rol de amplificator de curent.

Întregul ansamblu format din motoarele pas cu pas și interfața necesară a fost realizată într-o carcasă construită din bucăți de circuit imprimat cositorite între ele. Pe axele de rotație ale celor două motoare pas cu pas au fost amplasate două roți dințate care asigură deplasarea robotului efector. Din cauza aderenței reduse a roților dințate,

suprafața de deplasare trebuie să aibă un coeficient de frecare ridicat. Cea mai bună soluție care îndeplinește aceste condiții este o bucată de polistiren întrucât și culoarea fondului (albă) este asigurată în acest mod. De asemenea din cauza faptului că circuitul imprimat din care este confecționată carcasa robotului nu este de culoare neagră, a fost necesară confecționarea unui înveliș din carton negru cu reflexie redusă. În aceeași idee a evidențierii conturului robotului efector, cablul paralel de legătură cu calculatorul trebuie mascat printr-o prelungire de culoare albă de data aceasta, a învelișului de carton.

În figura 3.1.1 sunt prezentate câteva imagini ale robotului efector cu și fără învelișul de camuflaj.

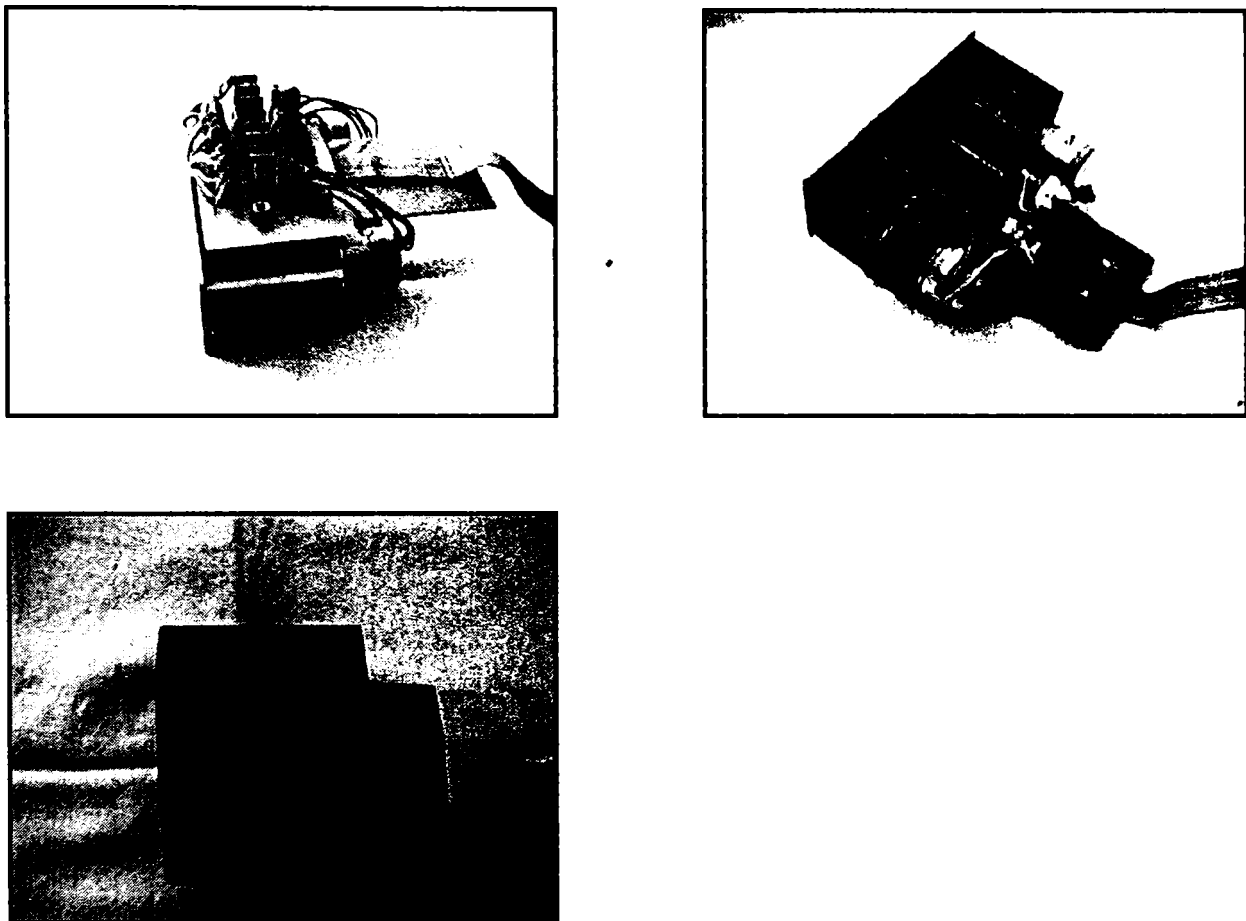


Fig. 3.1.1

- (a) Interfața robotului
- (b) Partea mecanică de acționare
- (c) Robotul îmbrăcat în învelitoarea de carton negru

3.1.2. Detalii constructive

➤ Principiul de funcționare al motoarelor pas cu pas

Motoarele pas cu pas reprezintă mașini electrice sincrone modificate ale căror înfășurări de comandă se alimentează cu un sistem m-fazat de impulsuri de tensiune practic dreptunghiulare, rotorul fiind executat fără înfășurări auxiliare de pornire. Tensiunea sub formă de impulsuri aplicată fazelor motorului determină o repartizare discretă a câmpului magnetic în întrefierul mașinii, și ca urmare, mișcarea rotorului constă din deplasări unghiulare elementare succesive [7],[88], [106].

Spre deosebire de motoarele sincrone clasice, motoarele pas cu pas intră în sincronism fără alunecare, iar frânarea se realizează fără ieșirea din sincronism. Datorită acestui fapt ele asigură în domeniul de funcționare porniri bruște, opriri și reversări fără pierderea informației sau fără omisiuni de pas.

Particularitățile utilizărilor cărora le sunt destinate motoarele pas cu pas, au determinat apariția unor tipuri constructive speciale care se deosebesc de mașinile sincrone clasice. Astfel, motoarele pas cu pas se execută cu un diametru rotoric minim și cu un număr mărit de poli, ceea ce permite obținerea unei valori unghiulare mici a pasului.

Înfășurările de comandă ale motoarelor pas cu pas se pot alimenta în mod separat sau în grupuri în diferite combinații. Fiecărei combinații sau tact de comutație îi corespunde o orientare spațială determinată a câmpului magnetic rezultat în întrefierul mașinii.

Ca și motoarele sincrone clasice, motoarele pas cu pas se clasifică în funcție de construcția circuitului magnetic și de numărul înfășurărilor de comandă. Se deosebesc două tipuri de bază:

- Motoare de tip reactiv cu rotorul format numai din jug confecționat din tole.
- Motoare de tip activ cu rotor format dintr-un jug la care se adaugă electromagneți sau magneți permanenți.

Motoarele pas cu pas de tip reactiv au rotorul executat sub forma unui cilindru feromagnetic dințat ce poate fi executat cu un număr mare de poli. Astfel de motoare se execută cu un pas până la un grad, ceea ce este satisfăcător pentru micșorarea erorii unghiulare absolute. La o frecvență ridicată a impulsurilor de comandă (sute de Hz) aceste motoare au viteza de rotație scăzută și prin urmare pot fi utilizate fără reductor.

Motoarele pas cu pas de tip activ au în componența rotorului magneți permanenți sau electromagneți cu înfășurări de excitație a căror capete sunt scoase la inele colectoare. Motoarele pas cu pas de tip activ se execută cu pași mari deoarece pasul polar al rotorului cu magneți permanenți sau electromagneți de excitație nu poate fi micșorat prea mult din considerente de ordin constructiv. Din această cauză motoarele pas cu pas cu rotor activ se utilizează în sistemele cu viteze de rotație relativ mari.

Tipurile de bază indicate se mai clasifică în:

- Motoare pas cu pas cu mai multe statoare (polistatorice).
- Motoare pas cu pas polifazate.

Motoarele pas cu pas cu mai multe statoare constau din m sisteme stator-rotor dispuse coaxial în care fiecare sistem, asemănător înfășurărilor motoarelor polifazate, este rotit unul față de altul. Între motoarele pas cu pas polifazate și polistatorice nu există deosebire în ce privește explicarea funcționării și tratarea matematică.

Motorul robotului realizat este un motor pas cu pas cu patru statoare ($m=3$). Cele patru sisteme stator-rotor sunt dispuse pe un ax comun. Circuitul magnetic al fiecărui stator este realizat sub formă de poli aparenti distribuiți uniform pe circumferința statorului.

Cele patru rotoare sunt executate din pachete de tole având pe circumferință același număr de poli ca și statoarele.

Polii celor m statoare sunt axiali, pe când polii celor m rotoare sunt decalati cu $1/m$ pași polari. Înfășurările polilor unui stator sunt conectate astfel încât prin alimentarea lor cu curent continuu se realizează pe circumferința statorului o succesiune de poli nord-sud.

În poziția inițială este alimentată înfășurarea statorului 1 și rotorul este plasat astfel încât reluctanța circuitului magnetic este minimă și deci polii rotorici se vor așeza în fața polilor statorici. Prin decuplarea înfășurării statorului 1 și cuplarea în același timp a înfășurării statorului 2, rotorul se rotește în sens invers acelor de ceasornic cu un unghi θ_p . Pentru executarea următorului pas se decuplează înfășurarea statorului 2 și se cuplează înfășurarea statorului 3, pentru realizarea pasului următor se decuplează înfășurarea statorului 3 și se cuplează înfășurarea statorului 4, iar pentru ultimul pas se decuplează înfășurarea statorului 4 și se cuplează înfășurarea statorului 1.

În felul acesta rotorul s-a rotit cu un unghi total $m\theta_p$, care corespunde unui pas polar și se află într-o poziție identică cu cea inițială. Pentru realizarea unei rotații complete succesiunea cuplării înfășurărilor se repetă de un număr de ori egal cu numărul polilor. În cadrul motorului cu patru statoare și 16 poli, la o rotație completă se realizează 64 de pași sau în caz general în $2mp$ pași, unde p este numărul perechilor de poli. Deplasarea rotorului cu un pas are loc sub acțiunea unui cuplu reactiv.

Prin alimentarea înfășurării unui stator în curent continuu, forma cuplului static care acționează asupra rotorului la deplasarea acestuia dintr-o poziție fixă.

În studiul regimurilor de funcționare ale motoarelor pas cu pas, precum și pentru aprecierea comparativă a performanțelor diferitelor tipuri de motoare pas cu pas, este necesară cunoașterea mărimilor lor caracteristice. Acestea sunt :

- **Unghiul de pas** (pasul motorului) - reprezintă unghiul de rotație al rotorului corespunzător unui tact de comandă. Din punct de vedere cantitativ el depinde de numărul de perechi de poli și de numărul înfășurărilor de comandă decalate spațial una de alta; în cazul motorului pas cu pas de tip activ de numărul dinților rotorici iar în cazul motorului pas cu pas de tip reactiv de numărul înfășurărilor de comandă. De asemenea, unghiul de pas depinde, la ambele tipuri de motoare, de secvența de comandă a înfășurărilor statorului. Spre exemplu, în cazul unei secvențe de tipul 1-1, 2-2-2, 3-3... se obține un pas egal cu jumătate din valoarea corespunzătoare unei secvențe simple 1-2-3.
- **Cuplul static sincronizat** - caracteristica cuplului static sincronizat reprezintă variația cuplului electromagnetic dezvoltat de motor în funcție de unghiul de decalaj al axei magnetice a rotorului față de axa fluxului rezultat statoric, în cazul când înfășurările de comandă sunt parcurse de curent. În general cuplul electromagnetic variază periodic cu unghiul de rotație după o funcție apropiată de o sinusoidă.
- **Cuplurile limită** - o deosebită importanță în alegerea domeniului de funcționare a motoarelor pas cu pas o are cunoașterea valorilor maxime ale cuplului aplicat pe arborele motorului. În regim permanent de funcționare se definește un cuplu critic cvasi-staționar ca fiind valoarea maximă la care poate mări cuplul rezistent, la o frecvență de comandă dat, fără a cauza ieșirea din sincronism a motorului (pierderea pașilor). La frecvențe de comandă mai mari, cuplul critic cvasi-staționar este mai mic. Variația cuplului critic cvasi-

staționar cu frecvența de comandă reprezintă *caracteristica de sarcină limită* a motorului pas cu pas. La pornire se definește un cuplu critic de pornire, care reprezintă valoarea maximă a cuplului rezistent la care motorul poate porni cu o frecvență dată fără pierdere de pași. Variația cuplului critic de pornire cu frecvența de comandă se numește caracteristica limită de pornire. În mod similar se definesc cuplurile critice de oprire și reversare.

- **Frecvențele limită** - caracteristica de sarcină limită, precum și cele dinamice (de oprire, pornire și reversare), s-au stabilit luând ca reper o frecvență de comandă dată. Astfel, s-au definit cuplurile limită. Dacă se ia ca referință un cuplu rezistent dat se pot defini în mod similar frecvențele limită (critice) la funcționarea în regim static și dinamic (pornire, oprire, reversare). Toate mărimile critice depind în cea mai mare măsură de panta curentului ce se stabilește în înfășurările de comandă și de inerția sistemului de acționare. Caracteristicile statice și dinamice cuplu-frecvență au forme ce se apropie de hiperbolă, prezentând una sau mai multe paliere datorită prezenței fenomenului de rezonanță mecanică. La nivelul superior se situează caracteristica limită de oprire, aceasta din cauză că efectul de oprire este favorizat de sensul cuplului rezistent. Sub caracteristica limită de oprire urmează, în ordine, caracteristicile de sarcină limită, de pornire și de reversare, aceasta din urmă exprimând regimul cel mai greu de funcționare sincronă a motorului pas cu pas. De altfel, caracteristica limită de reversare este acoperitoare în sensul că alegerea domeniului de funcționare fără pierderi de pași în orice regim de funcționare.

❖ **Motoare pas cu pas cu trei sau mai multe înfășurări de comandă**

Din punct de vedere constructiv, motoarele pas cu pas cu trei sau mai multe înfășurări de comandă se pot clasifica astfel:

- Motoare pas cu pas cu mai multe statoare, pe fiecare stator fiind dispusă câte o înfășurare de comandă.
- Motoare pas cu pas cu un stator și mai multe înfășurări de comandă.
- Motoare pas cu pas de tip activ cu două statoare și patru înfășurări de comandă.

În stadiul actual de perfecționare constructivă a motoarelor pas cu pas reactive, cea mai mare răspândire o au motoarele pas cu pas trifazate cu un stator și trei statoare și motoarele pas cu pas cu un stator și patru faze ca cele folosite în acest experiment.

Dinții rotorici care se găsesc sub dinții polilor vecini sunt decalajați față de aceștia cu $\frac{1}{4}$ din pasul polar, adică cu un unghi egal cu θ_p . Prin comutarea alimentării de la înfășurarea 1 la înfășurarea 2 rotorul se rotește din nou cu un unghi corespunzător pasului θ_p și ocupă poziția corespunzătoare reluctanței magnetice minime a întrefierului de sub polul II.

În realitate la acest tip de motor se pot cupla și două înfășurări de comandă succesive, ceea ce duce la mărirea cuplului de rotație. În acest caz fuxul magnetic se închide prin polii vecini, iar poziția rotorului pentru care se obține reluctanța magnetică minimă a întrefierului se deplasează cu $\theta_p/2$ și coincide cu axa de simetrie a polilor statorici pe care se găsesc înfășurările alimentate.

Motorul pas cu pas reactiv cu patru înfășurări de comandă și cu sistem magnetic nesimetric, în principiu funcționează asemănător cu motoarele pas cu pas reactive având circuitul magnetic simetric. Motorul are numai patru poli aparenti pe care sunt dispuse patru înfășurări de comandă, fiecare înfășurare fiind alcătuită dintr-o singură secțiune.

Avantajul acestui motor constă în faptul că dezvoltă un cuplu mai mare pe unitatea de greutate decât în cazul motoarelor cu sistem magnetic simetric. Dezavantajul constă în existența unor cupluri de frecări suplimentare în lagăre și a unui zgomot în funcționare cauzat de prezența unor forțe de atracție nesimetrice.

Motorul pas cu pas cu opt înfășurări de comandă și cu sistem magnetic nesimetric realizează valori unghiulare ale pasului θ_p mai mici, pentru același număr de dinți statorici și rotorici. Statorul acestui tip de motor are opt poli aparenti pe care sunt dispuse opt bobine, ce realizează cele opt înfășurări de comandă. Înfășurările de comandă se alimentează cu impulsuri de aceeași polaritate, iar pentru mărirea cuplului se pot alimenta simultan două sau trei înfășurări. Și în cazul acestui tip de motor apar aceleași forțe magnetice de atracție nesimetrice, ceea ce la motoarele peste o anumită putere creează un zgomot în funcționare supărător.

În cazul tuturor motoarelor reactive cu un stator și mai multe înfășurări de comandă, pentru ca să se asigure o rotație uniformă a rotorului, este necesar ca între dinții rotorici și cei statorici care aparțin polilor a căror înfășurări urmează să fie

alimentate să existe un decalaj unghiular de $360/m \cdot z_r$ (unde z_r este numărul dinților rotorici). Pentru fiecare înfășurare a dinților de comandă, axa câmpului magnetic statoric se rotește cu un unghi egal cu distanța polară statorică $\theta = 360/2p$ unde $2p$ este numărul polilor statorici. În acest caz rotorul se va roti cu un unghi egal cu un pas $\theta = 360/m \cdot z_r$.

Se observă că rotorul se rotește diferit de câmpul magnetic statoric de θ/θ_p ori. Raportul θ/θ_p se numește *coeficientul de reducere electromagnetic*, iar motoarele pas cu pas reactive se numesc *reductor*.

❖ Probleme specifice cu privire la motoarele pas cu pas

Motorul electric pas cu pas este un convertor electromagnetic, care realizează conversia unui tren de impulsuri de comandă, aplicate înfășurărilor de fază ale motorului, într-o mișcare de rotație ce constă din deplasări unghiulare discrete, de mărime egală. Unghiul de rotație pe care îl execută rotorul, la aplicarea unui impuls de comandă, reprezintă unghiul de pas al motorului. Numărul pașilor efectuați trebuie să corespundă, în cazul unei funcționări corecte cu numărul impulsurilor de comandă.

Majoritatea motoarelor pas cu pas sunt bidirecționale și permit o accelerare, oprire și reversare rapidă, fără pierderi de pași, dacă sunt comandate cu impulsuri a căror frecvență de repetiție este inferioară frecvenței limită, corespunzătoare unui cuplu rezistent și un moment de inerție dat. Pentru extinderea funcționării motoarelor pas cu pas la viteze mai mari decât viteza corespunzătoare frecvenței limită, este necesară o accelerare prin creșterea treptată a frecvenței impulsurilor de comandă.

Motoarele pas cu pas sunt utilizate, în special, în aplicațiile unde se dorește realizarea unei mișcări incrementale, folosind sisteme de comandă numerică.

Utilizarea motoarelor pas cu pas conferă, următoarele avantaje:

- Asigură univocitatea conversiei număr de impulsuri-deplasare și pot fi utilizate în circuit deschis.
- Gama largă de frecvențe de comandă.
- Precizie de poziționare și rezoluție mare.
- Permit porniri, opriri, reversări, fără pierderea de pași.
- Memorează poziția.
- Sunt compatibile cu comanda numerică.

Dezavantajele utilizării motoarelor pas cu pas:

- Unghi de pas, deci increment de rotație, de valoare fixă pentru un motor dat.
- Viteză de rotație relativ scăzută.
- Putere dezvoltată la arbore, de valoare redusă.
- Randament energetic scăzut.
- Necesită o schemă de comandă adaptabilă la tipul constructiv.
- Necesită o schemă de comandă complexă pentru asigurarea unei funcționări la viteze mari.

❖ **Modalitățile de comandă a fazelor motoarelor pas cu pas**

Principial, fazele motoarelor pas cu pas se alimentează cu impulsuri de curent de amplitudine constantă, care se comută de pe o fază pe alta, în ritmul unui tact de comandă. Modalități de comandă a fazelor motoarelor pas cu pas pot fi asigurate prin:

1. Comanda potențială sau prin impulsuri.
2. Comanda monopolară sau bipolară.
3. Comanda simetrică (simplă sau dublă) sau nesimetrică.

Un circuit concret de alimentare a fazelor unui motor pas cu pas asigură realizarea simultană a 3 (una de tip 1, una de tip 2, și una de tip 3) dintre cele 6 modalități de comandă prezentate mai sus.

Comanda potențială se referă la durata alimentării unei faze, în raport cu durata între 2 tacturi de comandă $1/f$, f fiind frecvența de comandă a motorului pas cu pas. Dacă durata alimentării unei faze este cel puțin egală cu $1/f$, atunci comanda este potențială. În acest caz, durata aplicării tensiunii pe o fază variază invers proporțional cu frecvența. Dacă durata alimentării este constantă și întotdeauna mai mic decât $1/f$, atunci este vorba de o comandă prin impulsuri.

Deși majoritatea schemelor de comutație a fazelor motoarelor pas cu pas sunt cu comandă potențială, s-a consacrat denumirea de comandă prin impulsuri, probabil datorită formei de variație în timp a tensiunilor de alimentare.

Comanda monopolară asigură un sens unic al curentului prin fiecare înfășurare a motorului, în tot timpul funcționării. Comanda bipolară determină ca, pe parcursul unui ciclu complet de comenzi aplicate înfășurărilor, sensul curentului prin fiecare înfășurare să se schimbe succesiv.

Comanda este *simetrică* dacă, la un moment dat, sunt alimentate un număr egal de faze și nesimetrică, dacă numărul fazelor alimentate simultan se schimbă alternativ la fiecare comandă de tact.

Comanda simetrică este numită *simplă* sau *dublă*, după cum sunt alimentate câte una sau două înfășurări simultan. Prin utilizarea comenzii duble, pentru un motor pas cu pas cu patru faze se mărește atât cuplul dezvoltat, cât și amortizarea, dar cresc consumul de putere și temperatura motorului. În figura 3.1.2 sunt prezentate formele de variație în timp ale tensiunilor de alimentare pe faze, pentru comanda monopolară a unui motor pas cu pas cu patru faze, pentru a exemplifica diferite moduri de comandă.

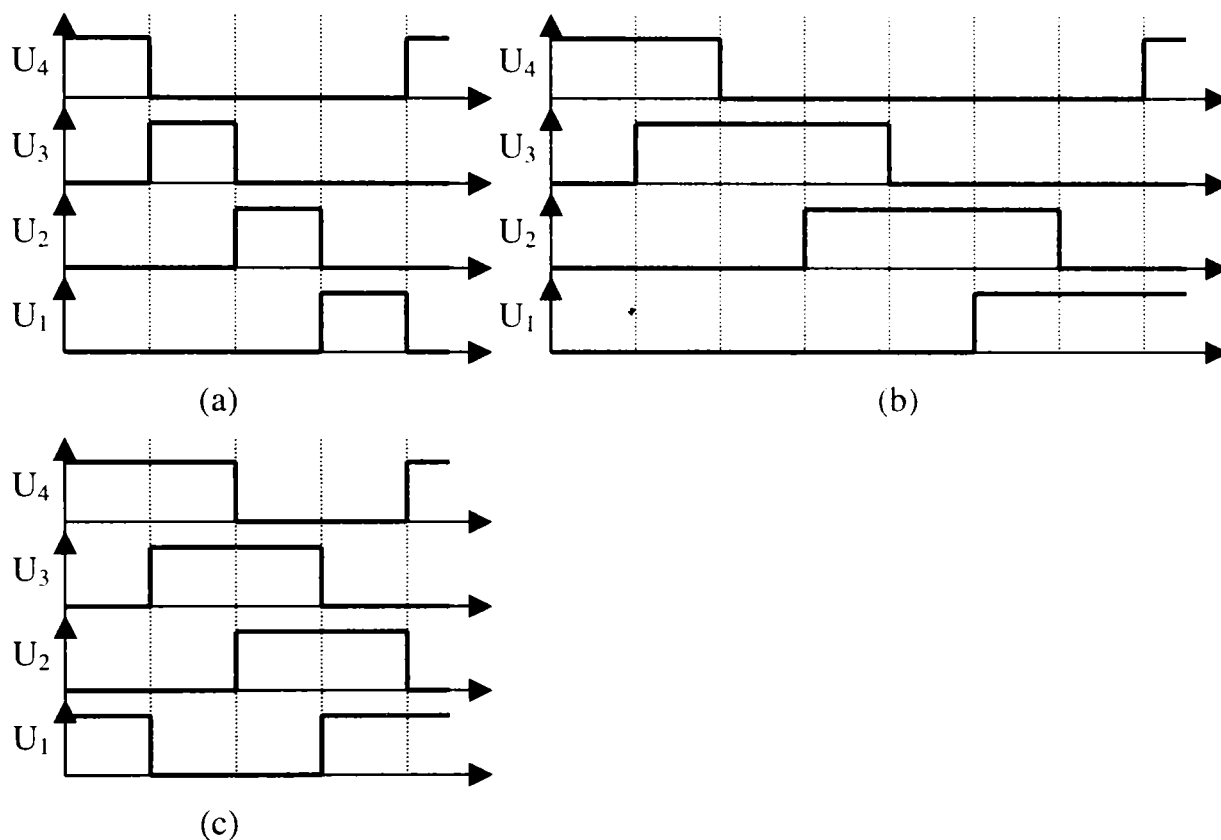


Fig. 3.1.2

Formele de variație în timp a tensiunilor de alimentare pe faze, pentru comanda monopolară a unui motor pas cu pas cu patru faze

În figura 3.1.2 sunt prezentate formele de variație în timp a tensiunilor de alimentare pe faze, pentru comanda monopolară a unui motor pas cu pas cu patru faze, pentru a exemplifica diferite moduri de comandă.

Pentru inversarea sensului de rotație, impulsurile reprezentate în secvențele din figura 3.1.2 se aplică în ordine inversă: $U_4-U_3-U_2-U_1$, etc.

În figura 3.1.3 este prezentat modul de comandă bipolară simetrică dublă a unui motor pas cu pas cu patru faze. Comanda necesită o schemă de comandă complexă, care să asigure circulația curenților din înfășurări, în ambele sensuri.

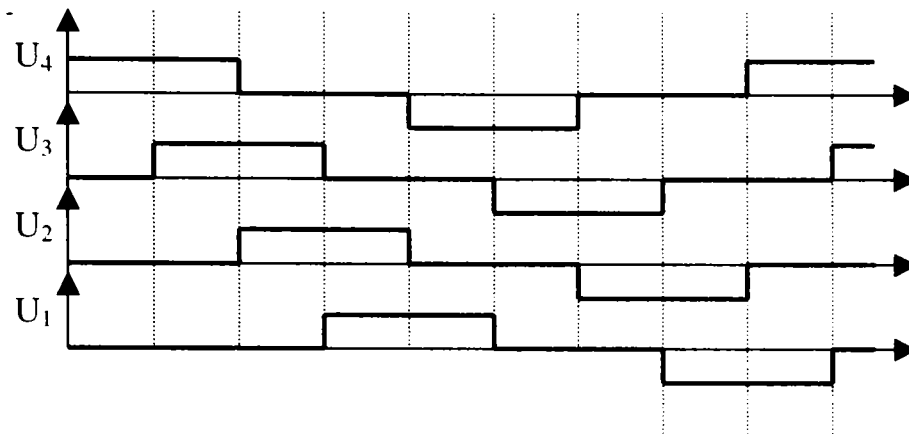


Fig. 3.1.3

Comanda bipolară simetrică dublă a unui motor pas cu pas cu patru faze

❖ Schema bloc de comandă a motoarelor pas cu pas

Performanțele unui motor pas cu pas sunt strâns legate de tipul schemei sale de comandă. Astfel, amortizarea, frecvența maximă de mers, cuplul dinamic maxim, precum și randamentul sau puterea disipată depind în mare măsură de schema de alimentare utilizată. În general, comanda unui motor pas cu pas se face printr-un circuit electronic de putere care alimentează secvențial înfășurările motorului. Sensul de distribuție al alimentării, ca și tipul secvenței (simetrică, nesimetrică, număr de ieșiri), precum și frecvența de comutare a înfășurărilor sunt realizate prin prelucrare logică secvențială cu circuite integrate, în timp ce curentul în fazele motorului este asigurat printr-un etaj de comutație statică forțată.

Rolul circuitului de comandă este de a prelua semnale standard TTL (impulsuri de comandă și nivel de sens), a le amplifica și apoi de a le aplica fazelor motorului. În acest fel, schema de comandă a unui motor pas cu pas îmbină semnale discrete standard cu mărimi electrice de putere.

Schema bloc de comandă generală a unui motor pas cu pas este prezentată în figura 3.1.4 și reprezintă comanda în circuit deschis (fără reacție) a unui motor pas cu pas. Impulsurile de comandă pot proveni de la un generator propriu, reglabil manual, sau de la un calculator numeric de proces.

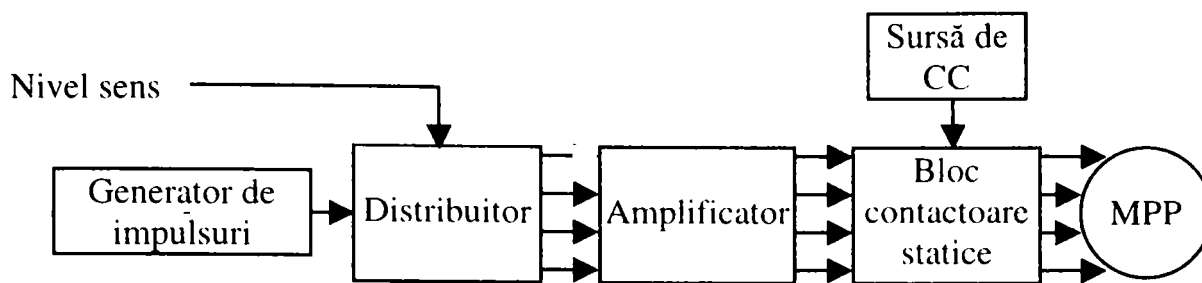


Fig. 3.1.4

Scemă bloc de comandă generală a unui motor pas cu pas

❖ **Blocul contactoarelor statice**

Semnalele de la distribuitor trebuie amplificate pentru a transmite puterea adecvată motorului. În mod uzual, sunt folosite etaje cu tranzistoare de putere cuplate direct sau tiristoare, pentru curenți mai mari. Se deosebesc contactoare statice pentru alimentare unipolară și contactoare statice pentru alimentare bipolară, de obicei patru tranzistoare de putere în punte.

Înfășurarea unui motor pas cu pas este o sarcină rezistiv-inductivă, cu inductivitate constantă sau periodic variabilă cu unghiul de rotație. În plus, mișcarea rotorului generează o tensiune electromotoare E , cu sens invers față de tensiunea de alimentare. O schemă echivalentă este reprezentată în figura 3.1.5.

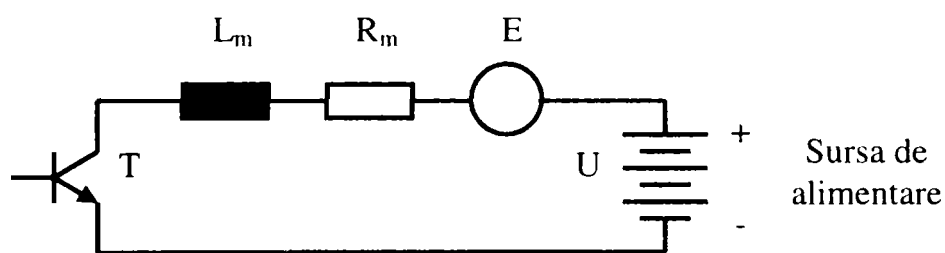


Fig. 3.1.5

Schema echivalentă a unui motor pas cu pas

Rezistența înfășurării variază datorită toleranțelor de fabricație cu 10%. În plus, rezistența înfășurării crește în timpul funcționării motorului, pentru că cele mai multe motoare pas cu pas sunt destinate a funcționa la o temperatură de ordinul a 100° C deci, practic fierbinți. Se acceptă o variație cu temperatura a rezistenței înfășurării de 25%. Totodată, cele mai multe motoare pas cu pas sunt destinate a lucra în condiții de saturație a circuitului magnetic, mai ales când viteza unghiulară este scăzută, deoarece, în cazurile practice, amplitudinea impulsului de curent prin înfășurare se

modifică (crește cu scăderea vitezei de rotație). Rezultă, implicit, o variație a inductanței înfășurării, funcție de curentul de înfășurare.

Circuitele de alimentare sunt de curenți mari, care utilizează tranzistoare de putere capabile să suporte vârfuri de putere. Tranzistoarele se aleg luând în considerare cele mai grele condiții de lucru. De asemenea, înfășurările reprezintă sarcini inductive care sunt conectate și deconectate și, deci. Tranzistoarele de putere trebuie protejate contra supratensiunilor inductive tranzitorii.

Curentul prin faza motorului are expresia:

$$i(t) = \frac{U}{R_m} \left(1 - e^{-\frac{t}{T_m}} \right) \quad (3.1.1)$$

unde :

- $T_m = L_m / R_m$ este constanta de timp a fazei
- L_m este inductivitatea proprie medie
- R_m este inductivitatea rezistența fazei
- U este tensiunea continuă de alimentare.

Pentru ca motorul pas cu pas să răspundă la frecvențe cât mai mari este necesar ca timpul de stabilire al curentului la valoarea U/R_m să fie cât mai mic. Blocul contactoarelor statice trebuie să asigure și forțarea pantei curentului prin fazele motorului.

Tehnicile cunoscute de micșorare a timpului de creștere a curentului prin faze sunt:

- Forțarea prin rezistență de serie
- Forțarea prin tensiune
- Forțarea cu rezistență și condensator
- Forțarea tip chopper

Cea mai simplă din punct de vedere constructiv este cea prin rezistență serie. Acesta este motivul pentru care această tehnică a fost adaptată în cadrul acestui experimentului.

❖ Forțarea prin rezistență serie

Aceasta se bazează pe micșorarea constantei de timp T_m prin inserarea de rezistențe cu fazele motorului. Constanta de timp se reduce de la L_m/R_m la $L_m/(R_m+R)$,

iar tensiunea de alimentare crește de la $U=R_m \cdot I$ la $U_1=(R_m+R) \cdot I$, I fiind curentul nominal al fazei.

Dezavantajele metodei constau în randamentul slab, datorat surplusului de putere disipată pe rezistența exterioară și accentuarea oscilațiilor în răspunsul motorului pas c pas, precum și a fenomenului de rezonanță mecanică a motorului.

Schema electrică a interfeței de comandă a motoarelor pas cu pas utilizată în realizarea practică a robotului efector este prezentată în figura 3.1.6.

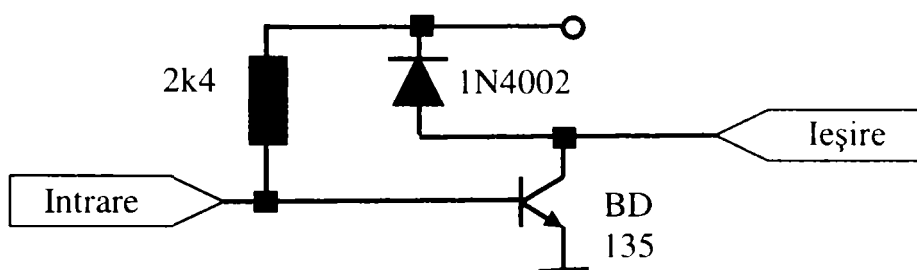


Fig. 3.1.6

Schema electrică a interfeței de comandă a motoarelor pas cu pas utilizată

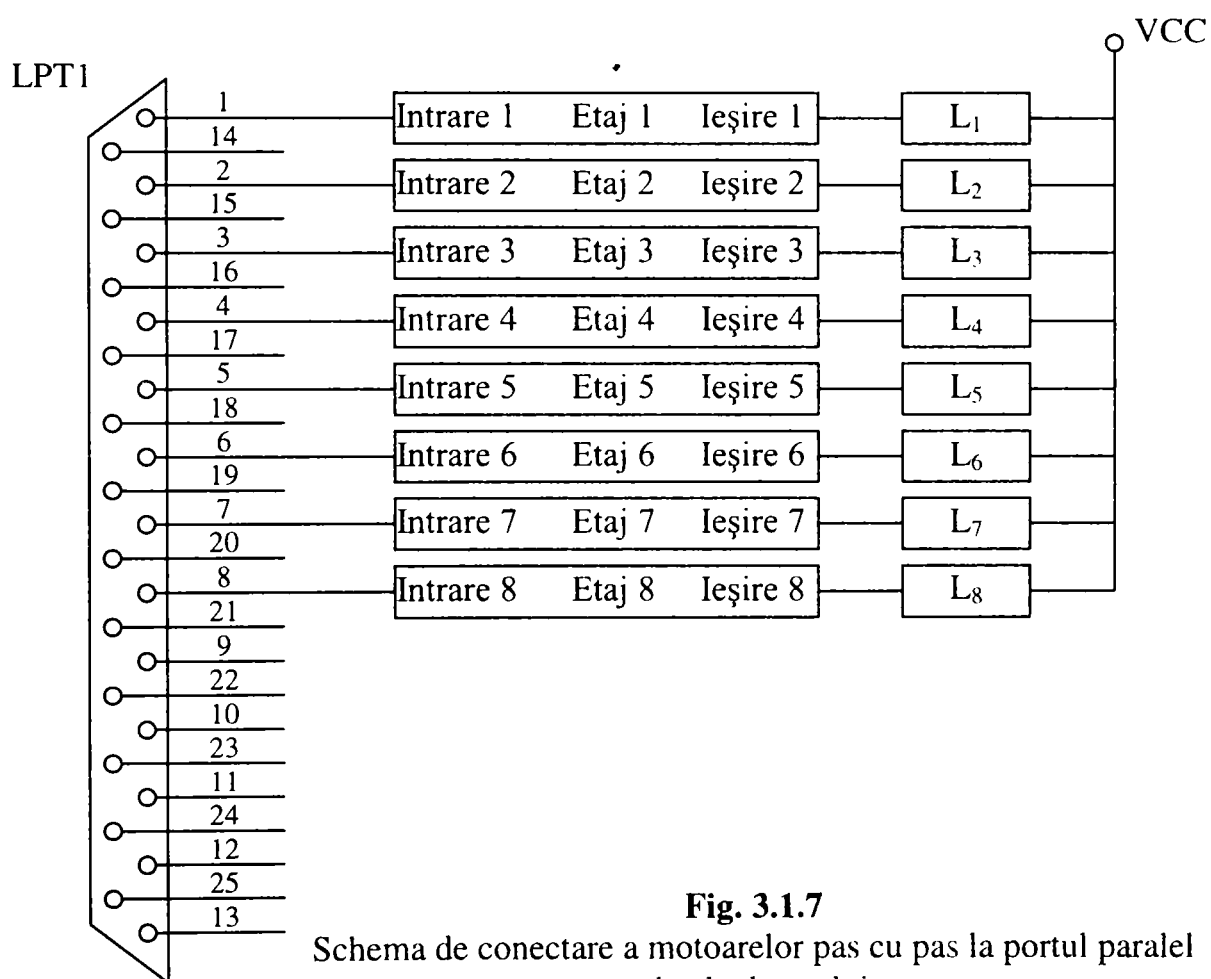


Fig. 3.1.7

Schema de conectare a motoarelor pas cu pas la portul paralel al calculatorului

Schema se compune din 8 blocuri elementare de comandă identice. Borna de intrare a acestor blocuri se leagă la liniile de date ale portului paralel al unui calculator. Rezistorul R are rolul de rezistență de colector pentru tranzistorul din portul paralel.

Borna de ieșire se conectează la înfășurarea corespunzătoare a motorului pas cu pas. Conectarea celor 8 blocuri elementare la portul paralel este realizată conform figurii 3.1.7.

3.1.3 Descrierea rutinelor de comandă

Robotul efector trebuie să fie capabil de următoarele mișcări: deplasare înainte, înapoi, viraj la stânga și la dreapta. Pentru realizarea acestor mișcări se folosesc funcțiile de comandă. Fiind un program Windows este indicat să se utilizeze procedurile de lucru cu fișiere în scopul accesării portului paralel în locul celor stil DOS cu rutinele outp().

Pentru aceasta, trebuie mai întâi deschis și inițializat portul paralel:

```
void InitializeLPT1Port(void)
{
    BOOL fSuccess;
    DCB dcb;

    G_hCom = CreateFile("LPT1",
                       GENERIC_WRITE,
                       0, // exclusive access
                       NULL, // no security attrs
                       OPEN_EXISTING,
                       0, // not overlapped I/O
                       NULL
                       );
    if (g_hCom == INVALID_HANDLE_VALUE)
    {
        ShowErrorMessage("LPT1 device cannot be opened\n");
        return;
    }
    fSuccess = GetCommState(g_hCom, &dcb);
    if (!fSuccess)
    {
        ShowErrorMessage("Cannot get LPT1 current configuration\n");
        return;
    }
    dcb.DCBlength = sizeof(DCB);
    dcb.BaudRate = 12358;
    dcb.fBinary = TRUE;
    dcb.fParity = FALSE;
    dcb.fOutxCtsFlow = FALSE;
    dcb.fOutxDsrFlow = FALSE;
    dcb.fDtrControl = DTR_CONTROL_DISABLE;
    dcb.fDsrSensitivity = FALSE;
    dcb.fOutX = FALSE;
    dcb.fInX = FALSE;
    dcb.fRtsControl = RTS_CONTROL_DISABLE;
    dcb.fAbortOnError = TRUE;
    dcb.wReserved = 0;
    dcb.ByteSize = 8;
    dcb.Parity = NOPARITY;
    dcb.StopBits = ONESTOPBIT;
}
```

```

fSuccess = SetCommState(hCom, &dcb);
if (!fSuccess)
{
    ShowErrorMessage("Cannot set LPT1 new configuration\n");
    return;
}
}

```

Având în vedere inerția mecanică a părților în mișcare trebuie introduse stări suplimentare de așteptare pentru a permite motorului să efectueze un pas complet.

Funcțiile de rotire al unuia dintre motoare sunt:

```

void RightEngineForward(void)
{
    unsigned char OutChar;
    BOOL          fSuccess;
    DWORD         WrittenBytes;

    OutChar = 0x05;
    fSuccess = WriteFile(g_hCom,&OutChar,1,&WrittenBytes,NULL);
    OutChar = 0x09;
    fSuccess = WriteFile(g_hCom,&OutChar,1,&WrittenBytes,NULL);
    OutChar = 0x0A;
    fSuccess = WriteFile(g_hCom,&OutChar,1,&WrittenBytes,NULL);
    OutChar = 0x06;
    fSuccess = WriteFile(g_hCom,&OutChar,1,&WrittenBytes,NULL);
}

```

```

void RightEngineBackward(void)
{
    unsigned char OutChar;
    BOOL          fSuccess;
    DWORD         WrittenBytes;

    OutChar = 0x01;
    fSuccess = WriteFile(g_hCom,&OutChar,1,&WrittenBytes,NULL);
    OutChar = 0x04;
    fSuccess = WriteFile(g_hCom,&OutChar,1,&WrittenBytes,NULL);
    OutChar = 0x02;
    fSuccess = WriteFile(g_hCom,&OutChar,1,&WrittenBytes,NULL);
    OutChar = 0x08;
    fSuccess = WriteFile(g_hCom,&OutChar,1,&WrittenBytes,NULL);
}

```

```

void LeftEngineForward(void)
{
    unsigned char OutChar;
    BOOL          fSuccess;
    DWORD         WrittenBytes;

    OutChar = 0x50;
    fSuccess = WriteFile(g_hCom,&OutChar,1,&WrittenBytes,NULL);
    OutChar = 0x90;
    fSuccess = WriteFile(g_hCom,&OutChar,1,&WrittenBytes,NULL);
    OutChar = 0xA0;
    fSuccess = WriteFile(g_hCom,&OutChar,1,&WrittenBytes,NULL);
    OutChar = 0x60;
    fSuccess = WriteFile(g_hCom,&OutChar,1,&WrittenBytes,NULL);
}

```

```

void LeftEngineBackward(void)
{
    unsigned char OutChar;
    BOOL          fSuccess;
    DWORD         WrittenBytes;

    OutChar = 0x10;
    fSuccess = WriteFile(g_hCom,&OutChar,1,&WrittenBytes,NULL);
    OutChar = 0x40;
    fSuccess = WriteFile(g_hCom,&OutChar,1,&WrittenBytes,NULL);
    OutChar = 0x20;
    fSuccess = WriteFile(g_hCom,&OutChar,1,&WrittenBytes,NULL);
    OutChar = 0x80;
    fSuccess = WriteFile(g_hCom,&OutChar,1,&WrittenBytes,NULL);
}

```

Pentru mișcarea întregului robot înainte există două posibilități: trimiterea comenzilor la fiecare motor separat sau la ambele motoare simultan. Dacă se trimit comenzi separat, mișcarea robotului înainte este generată de următoarea secvență:

```

RightEngineForward();
LeftEngineForward();

```

Dacă se comandă simultan ambele motoare se realizează următoarea funcție:

```

void MoveRobotForward(void)
{
    unsigned char OutChar;
    BOOL          fSuccess;
    DWORD         WrittenBytes;

    OutChar = 0x55;
    fSuccess = WriteFile(g_hCom,&OutChar,1,&WrittenBytes,NULL);
    OutChar = 0x99;
    fSuccess = WriteFile(g_hCom,&OutChar,1,&WrittenBytes,NULL);
    OutChar = 0xAA;
    fSuccess = WriteFile(g_hCom,&OutChar,1,&WrittenBytes,NULL);
    OutChar = 0x66;
    fSuccess = WriteFile(g_hCom,&OutChar,1,&WrittenBytes,NULL);
}

```

Aceeași situație se poate întâlni și pentru mișcarea înapoi:

```

RightEngineBackward();
LeftEngineBackward();

```

sau

```

void MoveRobotBackward(void)
{
    unsigned char OutChar;
    BOOL          fSuccess;
    DWORD         WrittenBytes;

    OutChar = 0x11;
    fSuccess = WriteFile(g_hCom,&OutChar,1,&WrittenBytes,NULL);
    OutChar = 0x44;
    fSuccess = WriteFile(g_hCom,&OutChar,1,&WrittenBytes,NULL);
    OutChar = 0x22;
}

```

```
fSuccess = WriteFile(g_hCom,&OutChar,1,&WrittenBytes,NULL);
OutChar = 0x88;
fSuccess = WriteFile(g_hCom,&OutChar,1,&WrittenBytes,NULL);
}
```

Pentru rotirea robotului se folosește tehnica tancului. Una din roți se învâрте înainte cealaltă înapoi. Și aici există două variante de comandă: separată și simultană.

Rotirea la stânga:

```
RightEngineForward();
LeftEngineBackward();
```

sau

```
void RotateRobotLeft(void)
{
    unsigned char OutChar;
    BOOL          fSuccess;
    DWORD         WrittenBytes;

    OutChar = 0x15;
    fSuccess = WriteFile(g_hCom,&OutChar,1,&WrittenBytes,NULL);
    OutChar = 0x49;
    fSuccess = WriteFile(g_hCom,&OutChar,1,&WrittenBytes,NULL);
    OutChar = 0x2A;
    fSuccess = WriteFile(g_hCom,&OutChar,1,&WrittenBytes,NULL);
    OutChar = 0x86;
    fSuccess = WriteFile(g_hCom,&OutChar,1,&WrittenBytes,NULL);
}
```

Rotirea la dreapta:

```
RightEngineBackward();
LeftEngineForward();
```

sau

```
void RotateRobotRight(void)
{
    unsigned char OutChar;
    BOOL          fSuccess;
    DWORD         WrittenBytes;

    OutChar = 0x51;
    fSuccess = WriteFile(g_hCom,&OutChar,1,&WrittenBytes,NULL);
    OutChar = 0x94;
    fSuccess = WriteFile(g_hCom,&OutChar,1,&WrittenBytes,NULL);
    OutChar = 0xA2;
    fSuccess = WriteFile(g_hCom,&OutChar,1,&WrittenBytes,NULL);
    OutChar = 0x68;
    fSuccess = WriteFile(g_hCom,&OutChar,1,&WrittenBytes,NULL);
}
```

3.1.4 Recunoașterea și maparea spațiului de lucru

Având o cameră poziționată deasupra spațiului de lucru, se realizează achiziția unei imagini folosind procedurile librăriei Video for Windows. Deoarece imaginea

achiziționată va fi o imagine color, iar procedurile de recunoaștere lucrează pe imagini binare, ea va trebui preprocesată. Astfel, se va converti imaginea color la o imagine cu 256 nivele de gri și se va filtra median pentru atenuarea zgomotelor.

În continuare se vor aplica pașii descriși în capitolele de descriere și recunoaștere (2.2 și 2.3) ale tezei, pași care vor genera definirea figurilor geometrice și robotului prin puncte precum și identificarea lor.

Având identificarea făcută se poate determina raportul pixeli/cm deoarece se cunoaște dinainte dimensiunea în centimetri a robotului, iar în urma recunoașterii de imagini se cunosc și dimensiunile în pixeli ale acestuia. Astfel, se pot determina cu ușurință dimensiunile în cm ale figurilor geometrice precum și distanțele între ele. Având descrierea spațiului de lucru, se poate determina drumul ce trebuie să-l parcurgă robotul pentru a rezolva problema propusă.

➤ Aspecte ale planificării mișcării

În general, robotul inteligent trebuie să fie capabil să-și planifice propriile mișcări, și anume să decidă automat ce mișcări să execute pentru a realiza o sarcină specificată prin aranjamentul inițial și final al obiectelor din spațiul de lucru. Crearea roboților autonomi este o sarcină majoră în Robotică. Cu excepția anumitor domenii limitate, nu este real să se anticipeze și să se descrie explicit toate mișcărilor pe care robotul trebuie să le execute pentru a realiza sarcina cerută. Chiar și în cazurile când o asemenea descriere este posibilă, este util să se încorporeze dispozitive de planificare automată a mișcărilor în sistemele de programare off-line ale robotului. Aceasta permite utilizatorului să specifice sarcini stabilind mai degrabă ce dorește să realizeze decât cum să o facă. Deci robotul trebuie să realizeze mișcarea dorită și să-și activeze diferitele mecanisme în acord cu sarcina cerută.

Planificarea mișcărilor unui robot prezintă o varietate neașteptată de aspecte dificile de calcul. De fapt, inteligența operativă pe care oamenii o utilizează inconștient pentru a interacționa cu mediul înconjurător, necesară percepției și planificării mișcării, este foarte dificil de reprodus într-un program de calcul. Astfel, o problemă importantă în planificarea mișcărilor este complexitatea algoritmilor de calcul [32], [33], [40], [42], [47], [48], [51], [52], [53], [66], [68], [69], [75], [78], [80], [81], [84], [85], [126], [130], [144], [147].

Așa cum s-a precizat, planificarea mișcării este o problemă în crearea roboților autonomi, dar nu este singura. Aceasta interacționează cu alte probleme importante,

ca de exemplu: analiza cinematică directă și inversă, modelul dinamic direct și invers, generarea traiectoriilor, controlul mișcării în timp real, sistemul și planificarea sarcinii [39], [41], [45], [46], [55], [57],[62],[63],[74], [77], [127].

Scopul definirii problemei de bază a planificării mișcărilor este de a izola anumite probleme centrale și de a le studia în profunzime înainte de a considera anumite dificultăți adiționale.

Cea mai simplă problemă de planificare presupune că robotul este singurul obiect în mișcare în spațiul de lucru, care nu posedă proprietăți dinamice evitând astfel problemele temporale. Se consideră de asemenea că robotul nu intră în contact cu obiectele înconjurătoare, evitând astfel probleme legate de interacțiunea mecanică dintre două obiecte fizice. Aceste considerații transformă problema planificării “fizice” a mișcării într-o problemă pur geometrică. Mai mult, se consideră că robotul este singurul solid rigid a cărui mișcare este limitată doar de obstacole.

Cu aceste simplificări, problema de bază a planificării traiectoriilor unui robot se poate formula astfel:

- Fie A un singur solid rigid (robotul) care se mișcă într-un spațiu Euclidian W , numit spațiu de lucru, reprezentat prin R^N , cu $N=2$ sau 3 ; mișcarea lui A nu este limitată de nici o restricție cinematică.
- Fie B_1, \dots, B_q obiecte rigide fixe (obstacole) distribuite în poziții bine determinate în spațiul de lucru W .
- Cunoscând poziția și orientarea, la momentul inițial, ale robotului, precum și poziția finală și orientarea finală pentru acesta în spațiul de lucru W , să se genereze o traiectorie T , care să specifice o secvență continuă de poziții și orientări ale lui A , pornind de la configurația (poziția și orientare) inițială, evitând contactul cu obstacolele B_j și terminând în configurația finală.
- Dacă o astfel de traiectorie nu există, trebuie să se raporteze eroare.

Este evident că, deși problema de bază a planificării este super simplificată, ea este totuși o problemă dificilă cu mai multe soluții și cu extensii directe spre probleme mai complicate [36], [38], [44], [49], [50], [64], [65], [67], [72], [129].

Formularea problemei de bază a planificării traiectoriilor se bazează pe anumite presupuneri care limitează semnificativ utilizarea soluțiilor. Este foarte dificil să se reducă o problemă reală de robotică la problema de bază, să se rezolve această

problemă și să se adapteze soluțiile obținute astfel încât să se potrivească condițiilor problemei reale.

Problema de bază a planificării traiectoriei presupune că robotul parcurge cu exactitate traiectoria generată de planificator. De asemenea, se presupune că, atât geometria robotului, cât și geometria și pozițiile obstacolelor sunt cunoscute cu exactitate. În realitate, nici o problemă de planificare nu satisface aceste ipoteze. Mai mult, controlul roboților și modelele geometrice ale acestora nu sunt exacte. În condițiile în care robotul nu deține informații apriorice despre spațiul de lucru, acesta trebuie să se bazeze, în timpul execuției, pe sistemul său senzorial pentru înregistrarea informațiilor necesare realizării sarcinii. Se impune astfel explorarea spațiului de lucru și rezolvarea problemei de planificare în prezența incertitudinilor [34], [35], [43], [54], [56], [82], [83], [128].

➤ **Modelarea spațiului de lucru**

Stabilirea unei hărți de navigare în spațiul considerat se poate face fie independent de orice acțiune a robotului prin memorarea unei configurații date, care de regulă, reprezintă starea inițială a spațiului de lucru, fie pe baza informațiilor înregistrate de sistemul senzorial.

Pe baza cunoștințelor acumulate despre spațiul de lucru, acesta se împarte în celule independente. Aceste celule reprezintă zonele admise respectiv interzise pentru robot. Această operație se numește *modelarea spațiului de lucru al robotului*. Pe o astfel de modelare se bazează procesul propriu-zis de planificare a mișcărilor.

Pentru a se realiza o modelare corectă a spațiului de lucru, unul din principalele obiective care trebuie luate în considerare este ansamblul dimensiunilor robotului. Acestea vor modifica dimensiunile obstacolelor, rezultând așa numitele C-obstacole, după care robotul se poate trata ca un punct în mișcare [36]. Având reprezentate obstacolele în forma în care ele se iau în considerare, se poate proceda la împărțirea spațiului de lucru în zone accesibile și zone interzise. Există mai multe metode pentru realizarea modelării spațiului : metoda grilei omogene, metoda arborelui, metoda grilei neomogene, metoda poligoanelor convexe, metoda punctelor de trecere.

Pentru realizarea prezentelor experimentări s-a considerat metoda grilei neomogene ca fiind adecvată studierii geometrice plane a spațiului modelat pentru deplasarea robotului.

Această metodă presupune toate obstacolele de formă dreptunghiulară. Dacă ele nu au această formă se vor aproxima printr-un dreptunghi acoperitor. Existând n obstacole în spațiul de lucru, acesta se împarte printr-o grilă rezultată din prelungirea laturilor obstacolelor, obținându-se $(2n+1)^2$ dreptunghiuri sau, altfel spus, $2n+1$ benzi orizontale și $2n+1$ benzi verticale (figura 3.1.8).

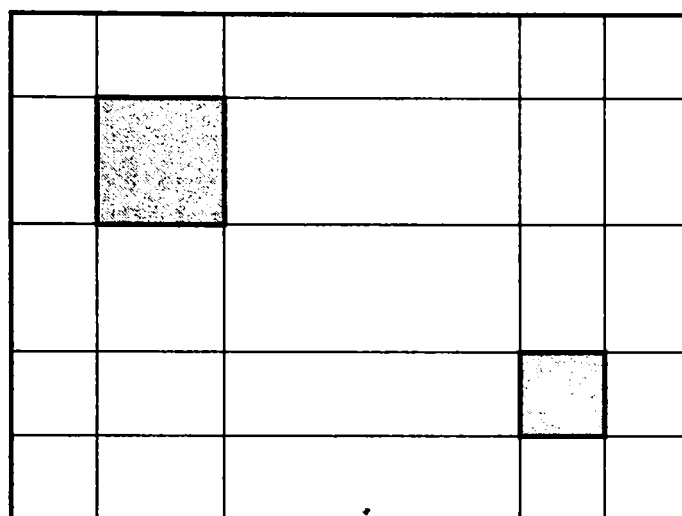


Fig. 1.3.8
Principiul metodei grilei neomogene

Fiecare regiune este reprezentată prin două lanțuri binare de câte $2n+1$ biți, dintre care unul reprezintă poziția relativă x , iar celălalt poziția relativă y . Un bit are valoarea "1" dacă celula este liberă și "0" în caz contrar pentru primul lanț. Al doilea lanț conține "1" pentru poziția verticală a celulei. Spre exemplu: 01000 00100

- Lanțul 01000 caracterizează situația în care obstacolul este pe poziția a doua pe orizontală, pornind de la stânga;
- Lanțul 001000 caracterizează situația în care obstacolul este al treilea pe verticală, pornind de sus.

De asemenea, pentru a cuprinde mai multe regiuni:

11000 00110

se realizează tablourile echivalente:

10000 00100

01000 00100

10000 00010

01000 00010

Modelarea se realizează în șase etape (un exemplu fiind prezentat în figura 3.1.9):

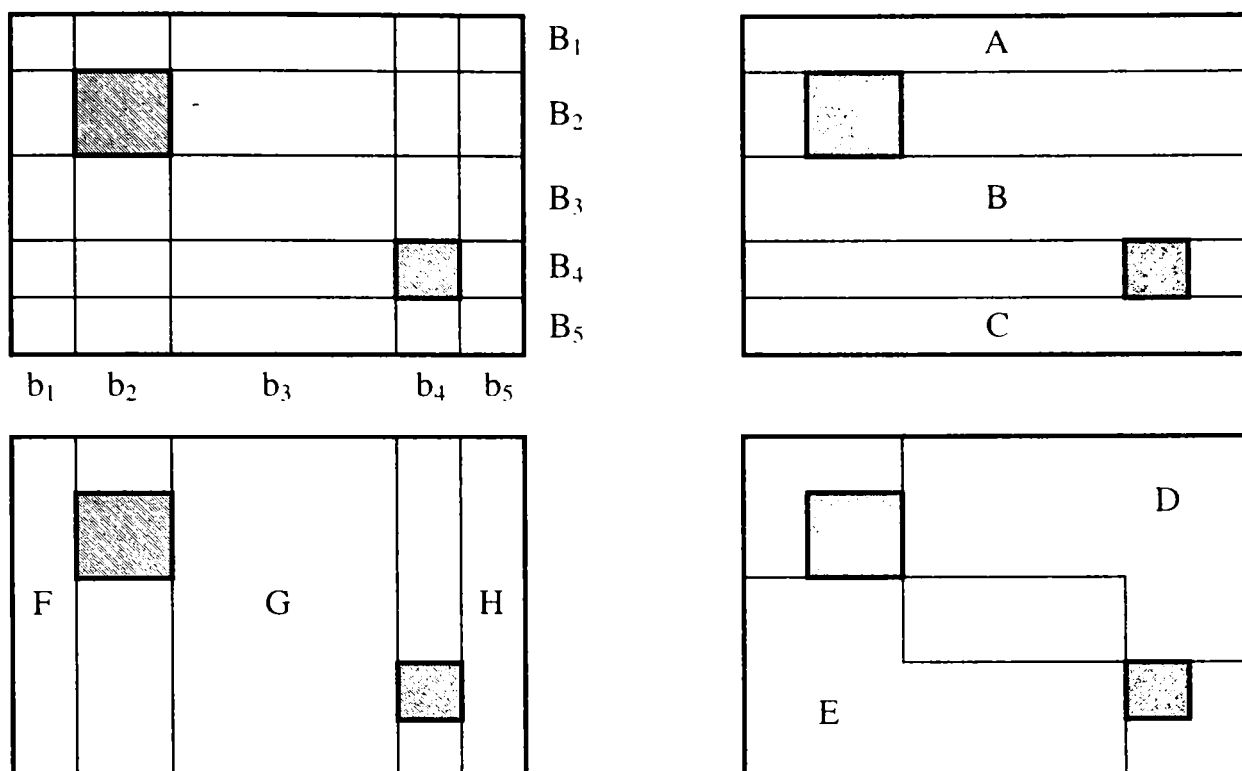


Fig. 1.3.9
Etapele modelării

Etapa 1: Reprezentarea fiecărei benzi orizontale prin $2n+1$ biți. Un bit are valoarea “1” dacă celula este liberă și “0” în caz contrar. Un al doilea lanț conține un singur “1” care corespunde la poziția verticală a benzii.

Etapa 2: Determinarea tuturor benzilor orizontale continue rezultate din separarea primului lanț în mai multe, fiecare având o suită de “1”. De exemplu:

11101 00010

devine:

11100 00010
00001 00010

Etapa 3: gruparea lanțurilor generate în etapa a doua, astfel:

- Lanțurile să fie regrupate în raport cu benzile care le-au generat;
- Grupele să fie ordonate în raport cu poziția verticală a benzilor generatoare.

Etapa 4: Generarea unei noi liste pornind de la cea precedentă conform următoarelor reguli:

- Noua grupă i de lanțuri este generată prin combinarea fiecărui lanț din vechea grupă i cu fiecare lanț din vechea grupă $i+1$ ($i=1,2,\dots$);

- Două lanțuri sunt combinate printr-un ȘI logic pentru lanțurile din stânga și SAU logic pentru lanțurile din dreapta; dacă toți biții sunt nuli, lanțul respectiv se elimină, dacă nu, se include pe listă;
- De fiecare dată când un lanț este adăugat la noua listă se elimină lanțurile de pe lista precedentă care sunt acoperite de această adăugare; un lanț S_1 este acoperit de către S_2 dacă un SAU logic între ele conduce la S_2 .

Etapa 5: Se repetă etapa 4 dacă noua listă are două sau mia multe grupe.

Etapa 6: Se stabilesc lanțurile neeliminate de pe liste care reprezintă o zonă fără obstacole.

Lista 1 (Etapa 1)

b_1 11111 10000 B_1
 b_2 10111 01000 B_2
 b_3 11111 00100 B_3
 b_4 11101 00010 B_4
 b_5 11111 00001 B_5

Lista 2 (Etapa2+3)

11111 10000 A

 10000 01000
 00111 01000

 11111 00100 B

 11100 00010
 00001 00010

 11111 00001 C

Lista 3 (Etapa 4)

10000 11000
 00111 11000

 10000 01100
 00111 01100

 11100 00110
 00001 00110

 11100 00011
 00001 00011

Lista 4 (Etapa 5)

10000 11100
 00111 11100 D

Lista 5 (Etapa 5)

10000 11110
 00100 11110
 00001 11110

10000 01110

00100 01110

00001 01110

10000 01111

00100 01111

00001 01111

11100 00111 E

00001 00111

Lista 6 (Etapa 5)

10000 11111 F

00100 11111 G

00001 11111 H

Metodei astfel descrise i se poate asocia un graf ale cărui noduri sunt zonele fără obstacole, așa cum este prezentat în figura 3.1.10.

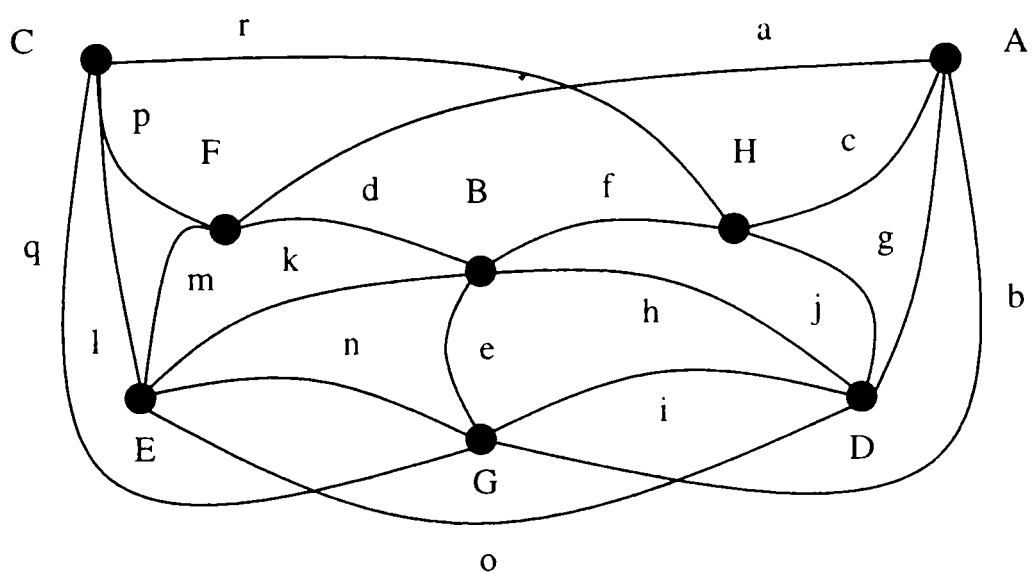
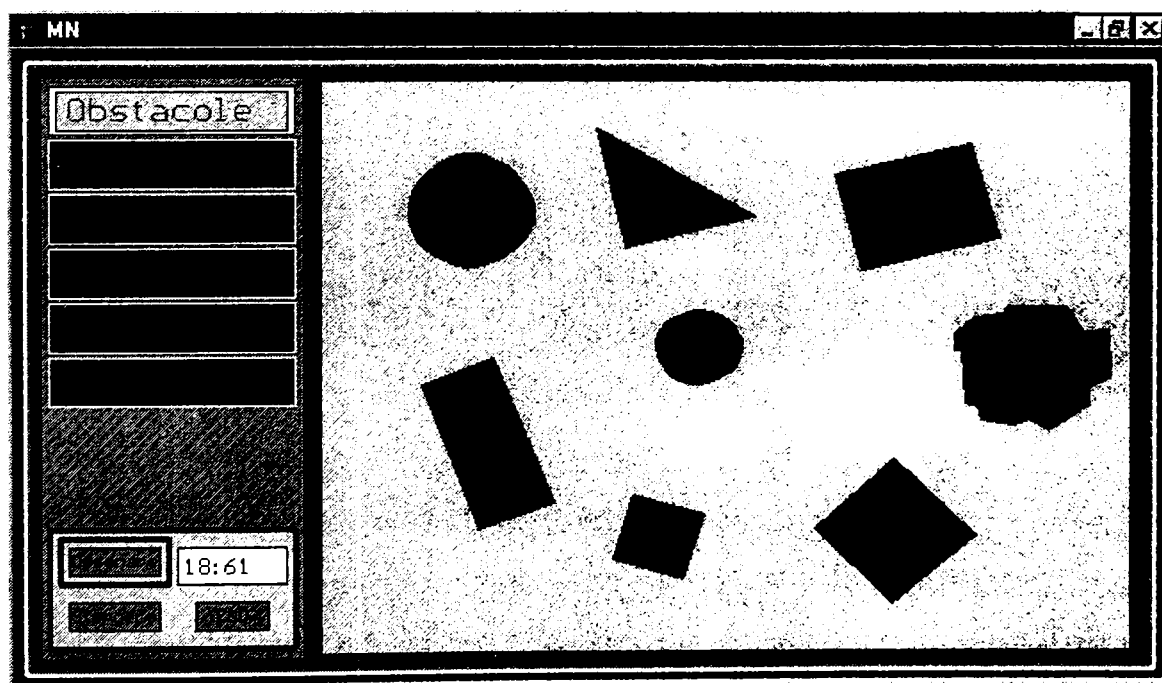


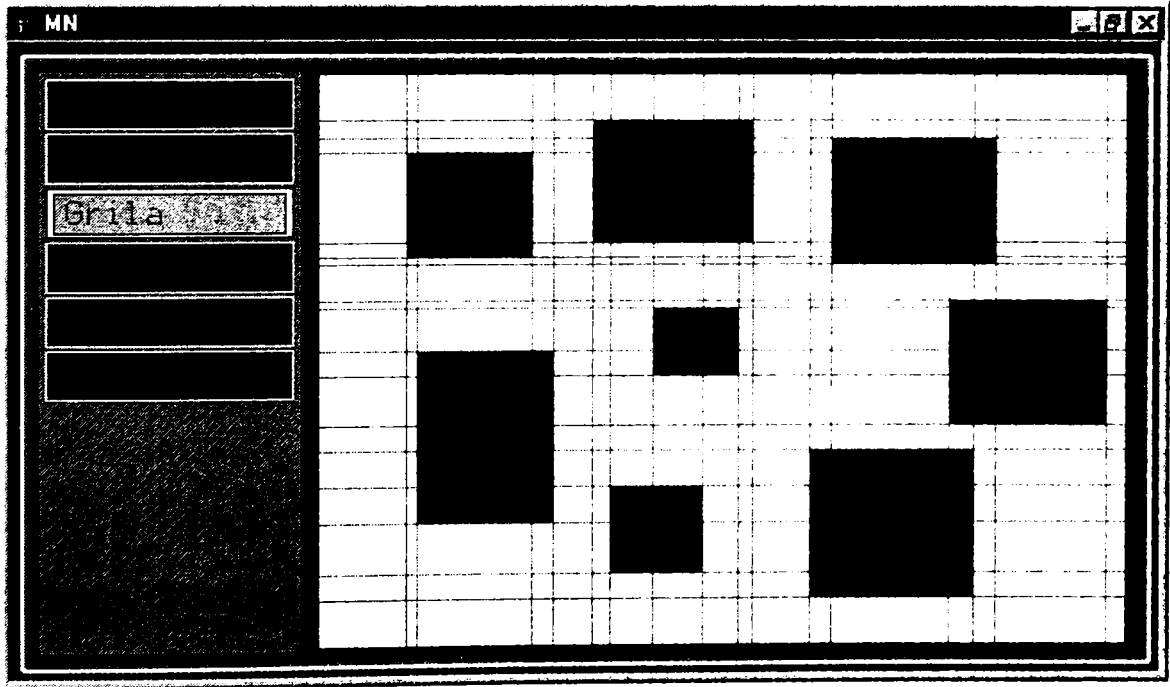
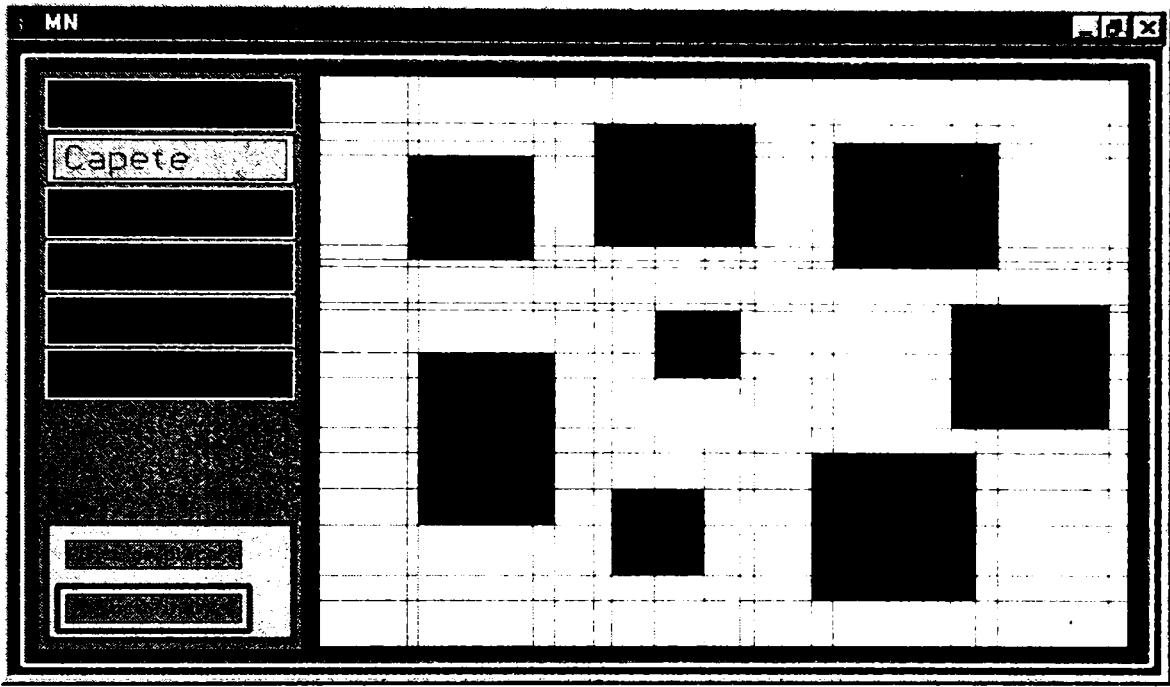
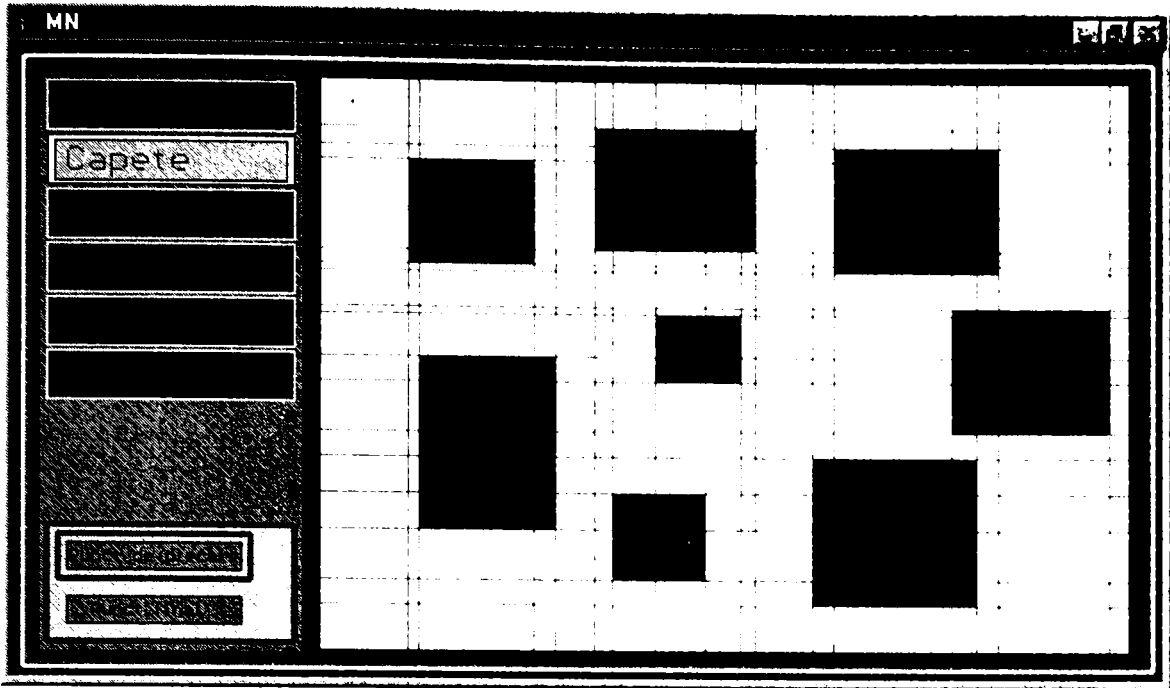
Fig. 3.1.10
Graful metodei grilei neomogene

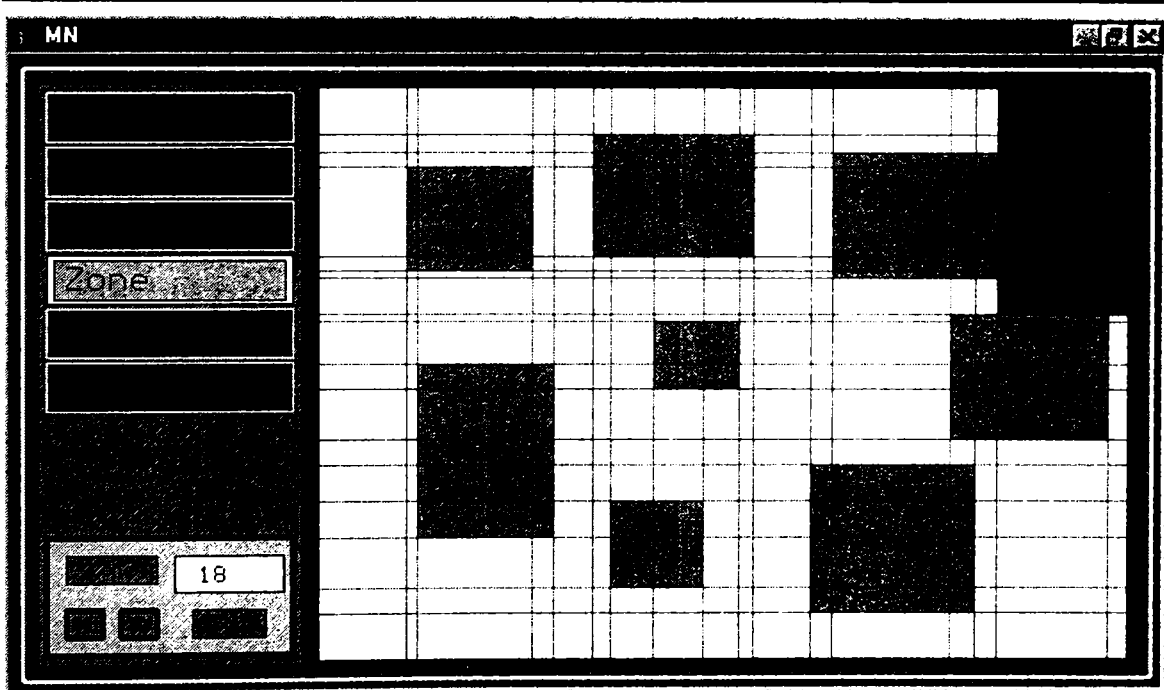
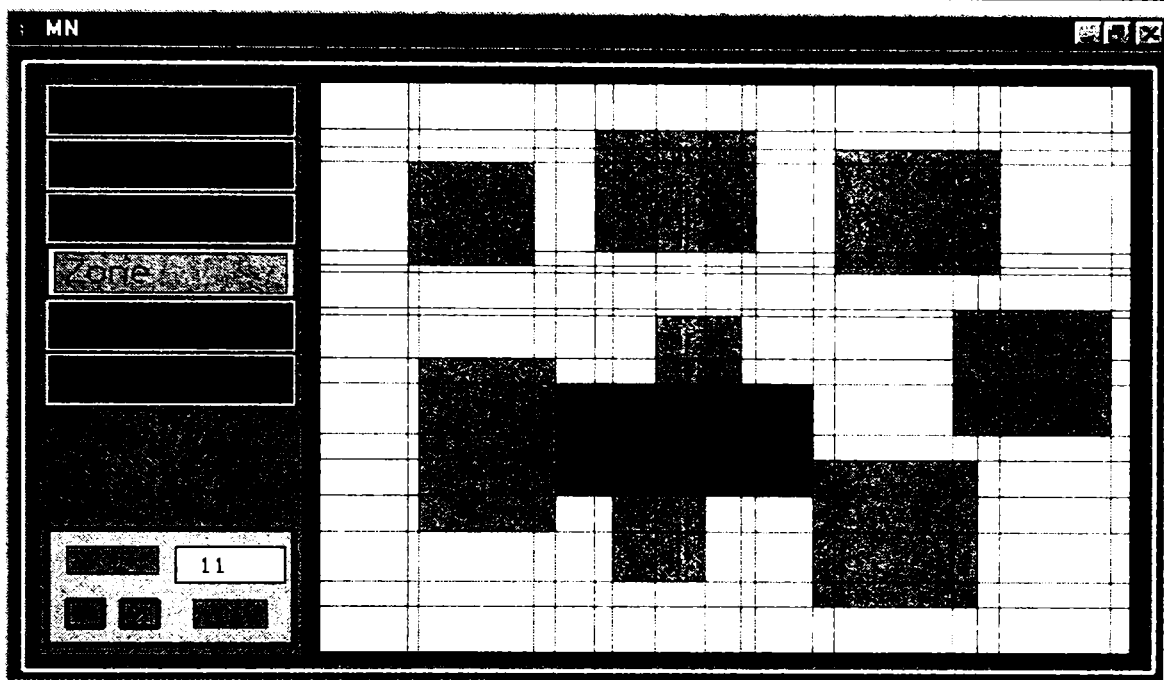
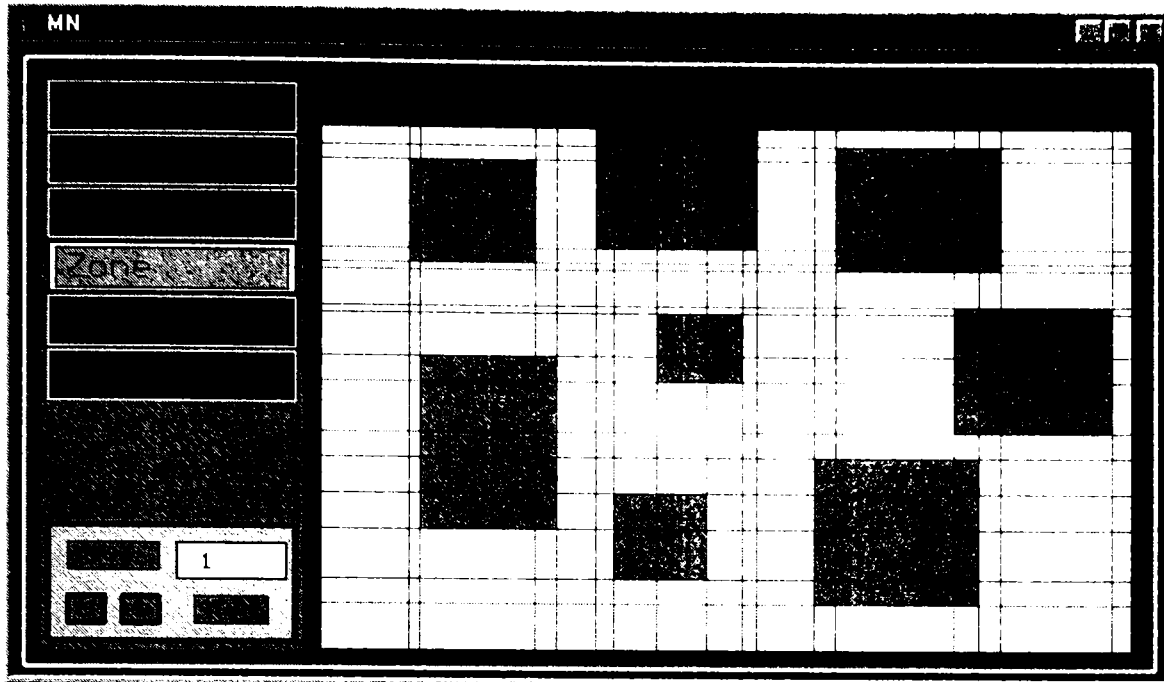
arce	noduri	intersecții
a	AF	10000 10000
b	AG	00100 10000
c	AH	00001 10000
d	BF	10000 00100
e	BG	00100 00100
f	BH	00001 00100
g	AD	00111 10000

h	BD	00111 00100
i	GD	00100 00111
j	HD	00001 00111
k	BE	11100 00100
l	CE	11100 00001
m	FE	10000 00111
n	GE	00100 00111
o	DE	00100 00100
p	CF	10000 00001
q	CG	00100 00001
r	CH	00001 00001

Aplicarea algoritmului pe spațiul de lucru ales este prezentată în figura 3.1.11. S-au eliminat în această figură anumite imagini de detecție de zone pentru că prezentarea integrală a etapelor era prea voluminoasă (35 de imagini diferite). În figură apar în diferite etape ale algoritmului, zone desenate în negru și care reprezintă zone integral libere și prin care traiectoria robotului poate trece. Ele corespund nodurilor din graful asociat. Excepție la această observație o constituie prima reprezentare di figura 3.1.11 în care prin culoarea neagră sunt prezentate obstacolele plasate pe placa albă de polistiren







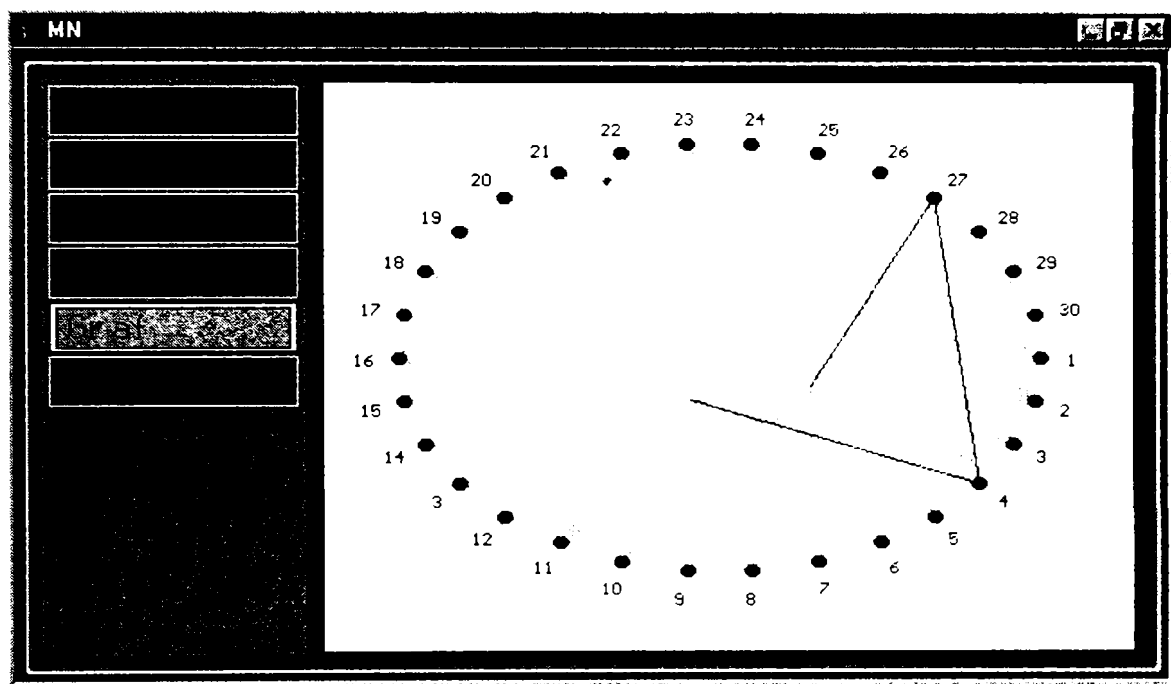
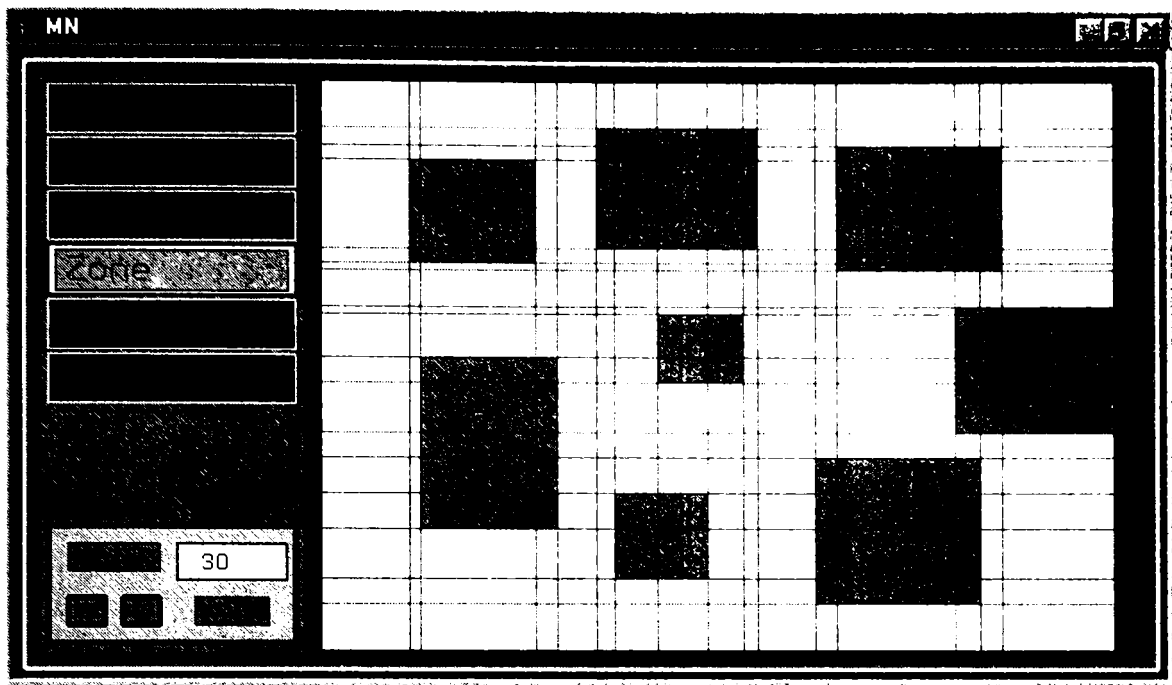


Fig. 3.1.11
Exemplificarea practică a algoritmului metodei grilei neomogene

S-au realizat experimente de deplasare a robotului descris anterior pe mai multe traiectorii posibile conform grafului. Variantele de traiectorie s-au stabilit în funcție de pozițiile inițială și finală impuse robotului.

➤ Metode de planificare

Metoda grilei neomogene deși este în principiu una de modelare a spațiului permite și planificarea succesiunii de celule goale prin care robotul poate trece. Ea poate deci realiza o planificare primară.

Problema planificării propriu-zise a traiectoriilor în prezența obstacolelor, poate fi abordată în două moduri (global și local), de unde rezultă două tipuri de metode de planificare: globale și locale.

Aplicarea unei metode globale necesită cunoașterea completă a priori a spațiului de lucru, modelarea corespunzătoare a spațiului liber, cercetarea tuturor traiectoriilor posibile și selectarea unei anumite traiectorii corespunzătoare unui criteriu de cost minim. O astfel de metodă garantează existența sau inexistența unei soluții. De asemenea, metodele globale de planificare se pot adapta ușor la programarea off-line.

Aplicarea unei metode locale necesită cunoașterea parțială a spațiului de lucru. O astfel de metodă nu garantează atingerea configurației finale, dar prezintă avantajul unei bune adaptări în timp real.

În ambele cazuri, rezolvarea problemei de planificare presupune rezolvarea unor probleme de natură geometrică (geometrie pură) sau de geometrie combinată cu cinematică și/sau dinamică. În astfel de situații se utilizează cu precădere rezultatele geometrie algoritmice.

Pentru un robot la un post de lucru fix, mobilele pentru care trebuie să se determine traiectoriile fără coliziuni sunt constrânse între ele de anumite legături. Astfel, o problemă de planificare este deci, a priori, complexă. Totuși, prin transformări adecvate, operate asupra obstacolelor, o problemă de planificare poate fi redusă la o problemă de navigare a unui robot punctiform, considerat ca un punct mobil liber care evoluează printre obstacolele transformate [37], [[58], [59], [70], [79].

Astfel, planificarea traiectoriilor unui robot comportă, în general, două etape:

- Transformarea obstacolelor (determinarea C-obstacolelor) astfel încât robotul să poată fi considerat un punct material.
- Cercetarea unei traiectorii, fără coliziune, pentru acest punct.

În cadrul unui sistem CAD/CAM dotat cu un algoritm de cercetare a spațiului liber se poate aplica planificarea traiectoriilor fără coliziuni, în mod interactiv cu operatorul, prin vizualizarea acestui spațiu.

În general, aplicarea unei metode de planificare trebuie să satisfacă anumite restricții, ca de exemplu: drumul cel mai sigur, drumul cel mai scurt, drumul prin puncte impuse, etc.

Din mulțimea metodelor de planificare cunoscute s-a ales pentru simplitatea algoritmului metoda grafului vizibilității.

Principiul metodei constă din construirea unei traiectorii semilibere ca o linie poligonală ce conectează configurația inițială $C_{\text{inițial}}$ de configurația finală C_{final} , trecând prin vârfuri ale spațiului configurațiilor obstacolelor (SCB) [36], [60], [61], [71],[73].

Se consideră un obiect poligonal A ce translatează cu orientare fixă în spațiul de lucru bidimensional $W=\mathbf{R}^2$. În acest caz, spațiul configurațiilor lui A este $SC=\mathbf{R}^2$, iar regiunea SCB a C -obstacolelor este o regiune poligonală a lui \mathbf{R}^2 . Spațiul SC_{liber} este completarea lui SCB pe SC.

Dacă există o traiectorie, atunci cu siguranță va exista și o traiectorie semiliberă T de lungime euclidiană minimă între aceste două configurații. Pentru ca traiectoria T să fie cea mai scurtă, ea trebuie să fie formată din subtraectorii care să fie cele mai scurte posibil între cele două configurații date. Aceasta înseamnă că, în orice configurație C , traversată de T , dacă C nu este un vârf al lui SCB, T trebuie să aibă curbura nulă. Deci, vârfurile traiectoriei poligonale T sunt vârfuri ale lui SCB.

Este evident că pentru a găsi o traiectorie semiliberă între oricare două configurații este suficient pentru un planificator să considere liniile poligonale ce unesc vârfurile lui SCB. Această mulțime de linii poligonale, numită **graf al vizibilității**, conține cu siguranță și cea mai scurtă traiectorie, așa cum este prezentat în figura 3.1.12.

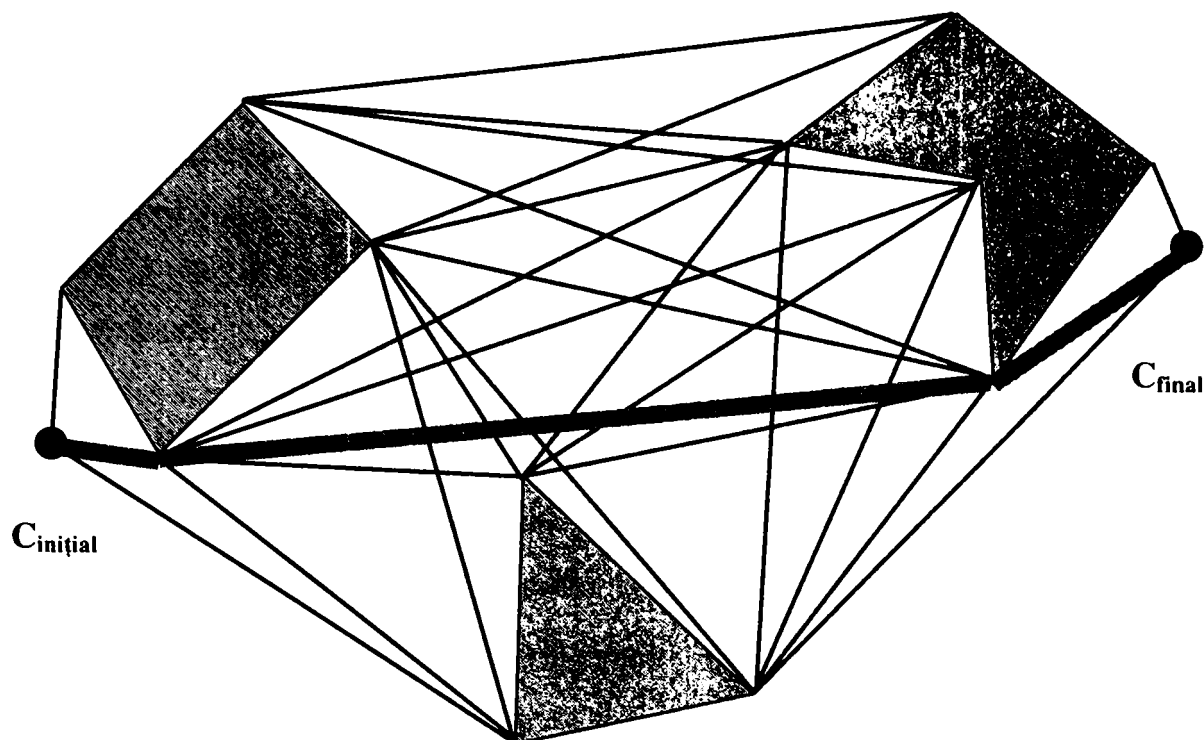


Fig. 3.1.12
Construcția grafului vizibilității

Figura ilustrează graful vizibilității în cazul unui spațiu al configurațiilor simplu, în care SCB constă din trei regiuni separate. Legăturile grafului include și muchiile lui SCB. Traectoria cea mai scurtă între $C_{\text{inițial}}$ și C_{final} este reprezentată cu linie îngroșată.

Din cele precizate rezultă că graful vizibilității este graful neorientat (GV), definit astfel :

- Nodurile lui (GV) sunt $C_{\text{inițial}}$, C_{final} , și vârfurile lui SCB;
- Două noduri ale lui (GV) sunt conectate printr-o legătură, dacă și numai dacă, fie segmentul de dreaptă ce le unește este o muchie a lui SCB, fie se află în întregime în SC_{liber} , condiție de la care sunt exceptate cele două capete [111].

❖ Algoritmul metodei

Algoritmul metodei grafului vizibilității conține în mod firesc următoarele etape:

- Se construiește graful vizibilității (GV);
- Se cercetează (GV) pentru a găsi o traiectorie între configurația inițială și cea finală;

- Dacă se găsește o traiectorie, se comunică aceasta, iar în caz contrar se comunică “eșec”.

Un algoritm primitiv de construire a lui (GV) ia în considerare toate perechile de puncte(X, X'), unde X și X' sunt fie $C_{\text{inițial}}$ și C_{final} , fie vârfuri ale lui SCB.

Dacă X și X' sunt capetele aceleiași muchii a lui SCB, atunci nodurile corespunzătoare sunt conectate printr-o legătură în (GV). În caz contrar, se calculează intersecția dreptei ce trece prin X și X' cu SCB; nodurile corespunzătoare lui X și X' sunt conectate printr-o legătură în (GV) dacă și numai dacă nici o intersecție nu se află în segmentul deschis ce unește cele două puncte.

Algoritmul poate fi îmbunătățit astfel:

- Pentru fiecare punct X din (GV) se calculează orientarea $\alpha_i \in [0, 2\pi]$ a fiecărei semidrepte ce pleacă din X și trece prin alt punct X_i a lui (GV) și se sortează orientările lui α_i ;
- Se rotește o semidreaptă ce pleacă din X de la orientarea 0 la orientarea 2π , oprindu-se la fiecare orientare α_i ; la fiecare oprire, se reînnoiește intersecția semidreptei cu SCB, se păstrează urma punctului în intersecția cea mai apropiată de X și se verifică dacă segmentul ce conectează X și X_i intersectează SCB.

❖ Graful vizibilității redus

Eficiența metodei grafului vizibilității poate fi crescută observând că unele legături nu sunt necesare. Pentru aceasta este însă necesar să se precizeze câteva noțiuni [32], [33], [77].

Se numește *sector convex* al unei traiectorii poligonale T în oricare vârf al său, regiunea convexă închisă cuprinsă între două semidrepte trasate prin X și conținând segmentele de dreaptă aparținând lui T și adiacente în X .

Pentru ca o traiectorie poligonală T să fie cea mai scurtă, fiecare vârf X al lui T trebuie să aibă o vecinătate U astfel încât $SCB \cap U$ să fie în întregime conținută în sectorul convex al lui T în X .

Dacă $SCB \cap U$ nu este conținută în sectorul convex al lui T în X , atunci T se poate modifica ușor într-o traiectorie semiliberă mai scurtă.

Astfel, porțiunea de traiectorie din figura 3.1.13a nu satisface această condiție, deci poate fi scurtată (linia întreruptă), în timp ce porțiunea de traiectorie din figura 3.1.13b verifică această condiție, și deci nu poate fi scurtată.

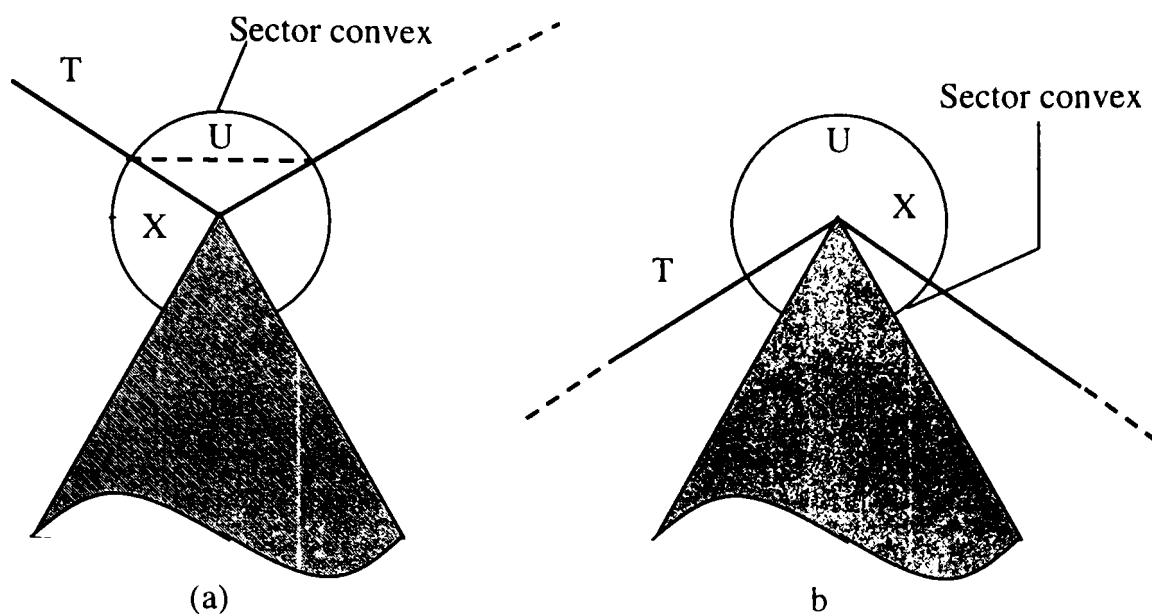


Fig. 3.1.13
Noțiunea de sector convex

Pentru simplificarea suplimentară a grafului vizibilității mai este necesară tratarea noțiunii de *segment tangent la SCB într-un vârf X*.

Astfel, dacă X este un vârf al lui SCB și L este un segment de dreaptă ce trece prin X , L este *tangent* la SCB în x dacă și numai dacă într-o vecinătate U a lui X interiorul lui SCB se află în întregime de o singură parte a lui L .

Se consideră două noduri X și x' ale lui (GV) . Segmentul ce unește X cu X' se numește *segment tangent* dacă și numai dacă:

- X fiind un vârf al lui SCB , L este tangent la SCB în X ;
- X' fiind un vârf al lui SCB , L este tangent la SCB în X .

În figura 3.1.14 sunt prezentate segmentele tangente cu linii continue și segmentele netangente cu linii întrerupte. Figura ilustrează două proprietăți simple ale segmentelor tangente:

- Între două poligoane convexe disjuncte există exact patru segmente tangente (figura 3.1.14,a) :
 - Două sunt segmente tangente "*suport*", cele două poligoane aflându-se de aceeași parte a dreptei care conține segmentul;
 - Două segmente tangente "*separatoare*", cele două poligoane aflându-se pe părți diferite ale dreptei care conține segmentul.
- Dacă un vârf X este concav, atunci nici un segment tangent nu se termină în X (figura 3.1.14,b).

Se poate proceda astfel la o simplificare a lui (GV) observând că, dacă un segment între X și X' nu este tangent, el nu trebuie introdus în graful de cercetat.

Subgraful (GV'), obținut din (GV) prin înlăturarea tuturor segmentelor netangente și a tuturor vârfurilor concave, se numește **graful vizibilității redus**.

De câte ori există o traiectorie semiliberă între $C_{\text{inițial}}$ și C_{final} , (GV') conține cea mai scurtă traiectorie în această configurații.

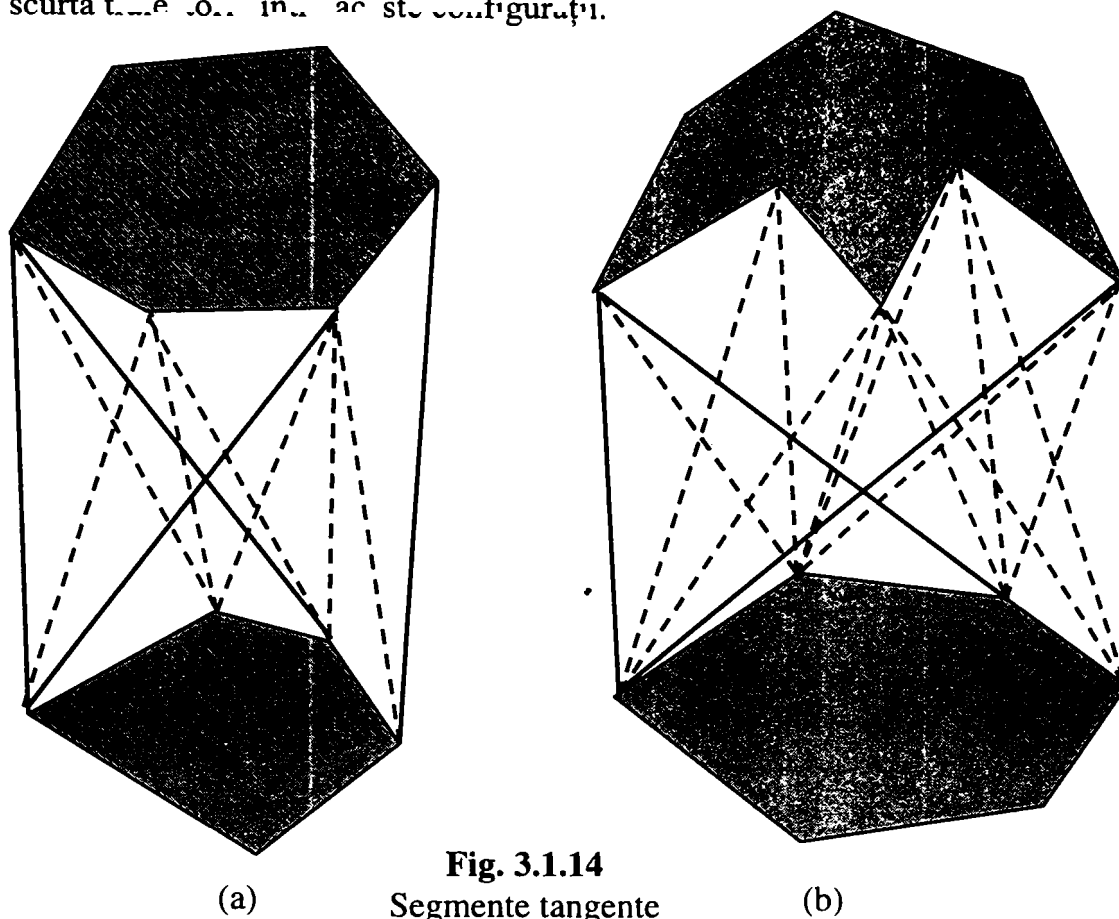


Fig. 3.1.14
Segmente tangente

Figura 3.1.15 prezintă graful vizibilității redus pentru același spațiu al configurațiilor ca și figura 3.1.12 și se observă că el este mult simplificat. Aceasta atrage și avantajul unui timp de operare redus.

Graful vizibilității redus este graful neorientat (GV') definit astfel:

- nodurile sunt $C_{\text{inițial}}$, C_{final} și toate vârfurile convexe ale lui SCB
- legăturile sunt muchiile lui SCB ce conectează vârfurile convexe și segmentele tangente între $C_{\text{inițial}}$, C_{final} și vârfurile lui SCB ce se află în spațiul liber.

Metoda grafului vizibilității poate fi extinsă în cazul în care C-obstacolele sunt poligoane generalizate, adică regiuni mărginite de segmente de dreaptă și/sau arce de cerc. Astfel de C-obstacole apar când A este un poligon generalizat care translatează printre obstacole modelate de asemenea ca poligoane generalizate. Modelarea obiectelor din spațiul de lucru ca poligoane generalizate este mai frecvent utilizată

deoarece caracterizează cu fidelitate conturul acestora și conduce la o precizie mai bună a metodei de planificare

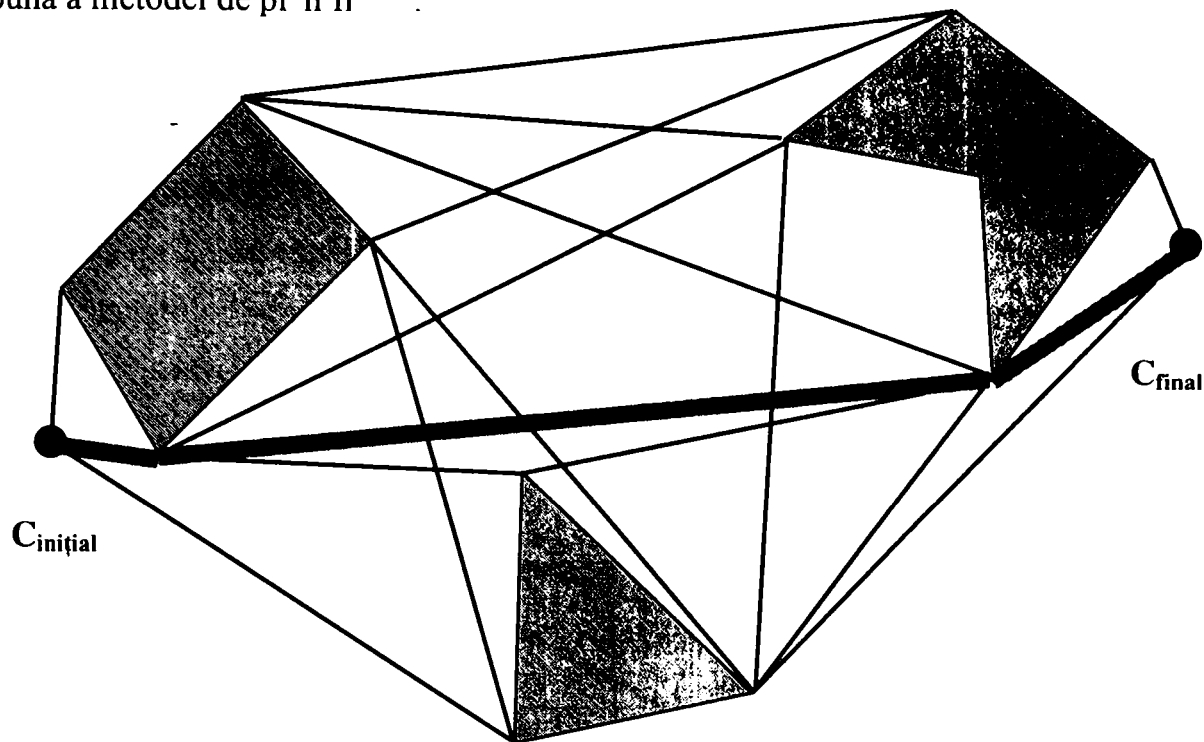


Fig. 3.1.15
Grafului vizibilității redus (GV')

Se consideră $SC = \mathbb{R}^2$ populat cu C-obstacole de tip poligoane generalizate, a căror reuniune este SCB.

Graful vizibilității (reduc) generalizat (GV'G) este definit astfel:

- C_i , C_r și vârfurile convexe ale lui SCB sunt nodurile lui (GV'G);
- Fie X și X' două noduri din cele definite mai sus. Dacă segmentul deschis care unește X și X' se află integral în SC_{liber} și este un segment tangent la SCB, atunci el este o legătură a lui (GV'G);
- Fie X un nod din cele definite mai sus și E' o latură circulară a lui SCB. Dacă există un punct X' care aparține lui E' , astfel încât segmentul deschis care unește X și X' se află integral în SC_{liber} și dreapta suport a acestui segment este tangentă la SCB în X și X' , atunci punctul X' este nod al lui (GV'G) și segmentul care unește X și X' este o legătură a lui (GV'G);
- Fie E și E' două laturi circulare ale lui SCB. Dacă există un punct X în E și un punct X' în E' , astfel încât segmentul deschis care unește X și X' se află integral în SC_{liber} și dreapta suport a acestui segment este tangentă la SCB în X și X' , atunci cele două puncte X și X' sunt noduri ale lui (GV'G) iar segmentul care le unește este o legătură a lui (GV'G);

- Fiecare latură dreaptă a lui SCB, care conectează două vârfuri convexe, este o legătură a lui (GV'G);
- Fiecare două noduri X și X' ale lui (GV'G), conținute în aceeași latură circulară E a lui SCB. Ele sunt conectate printr-o legătură în (GV'G), dacă nu există un alt nod X'' al lui (GV'G) care se află în E, între X și X'.

În figura 3.1.16 este prezentat graful vizibilității redus generalizat pentru un spațiu al configurațiilor $SC=\mathbf{R}^2$, populat cu C-obstacole de tip poligoane generalizate.

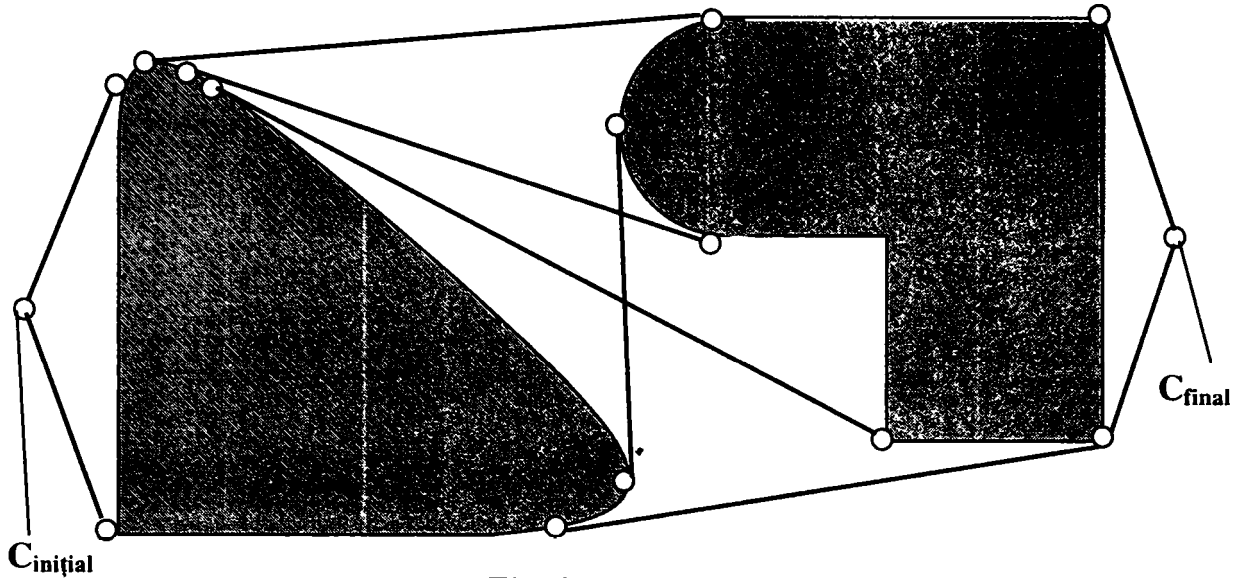


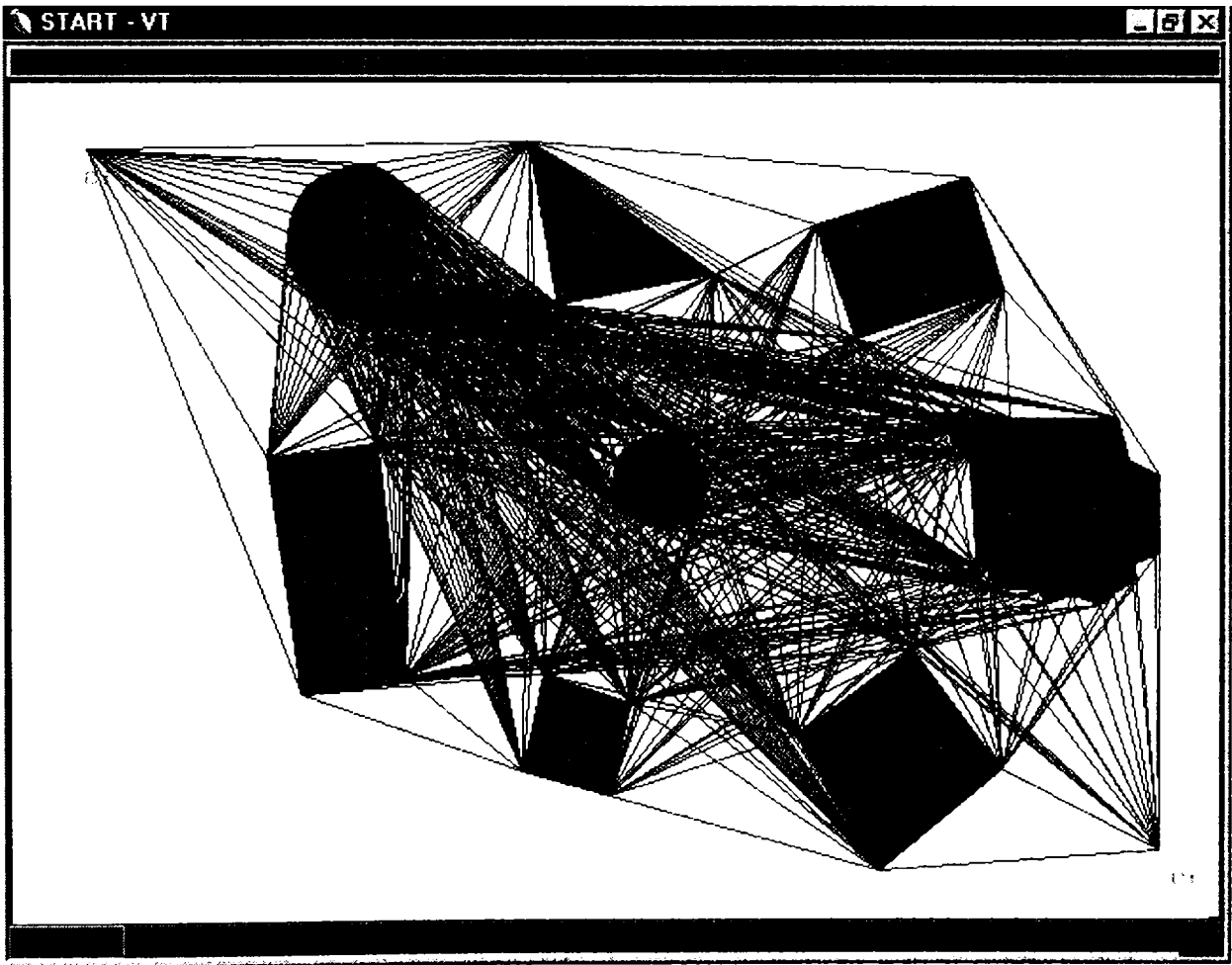
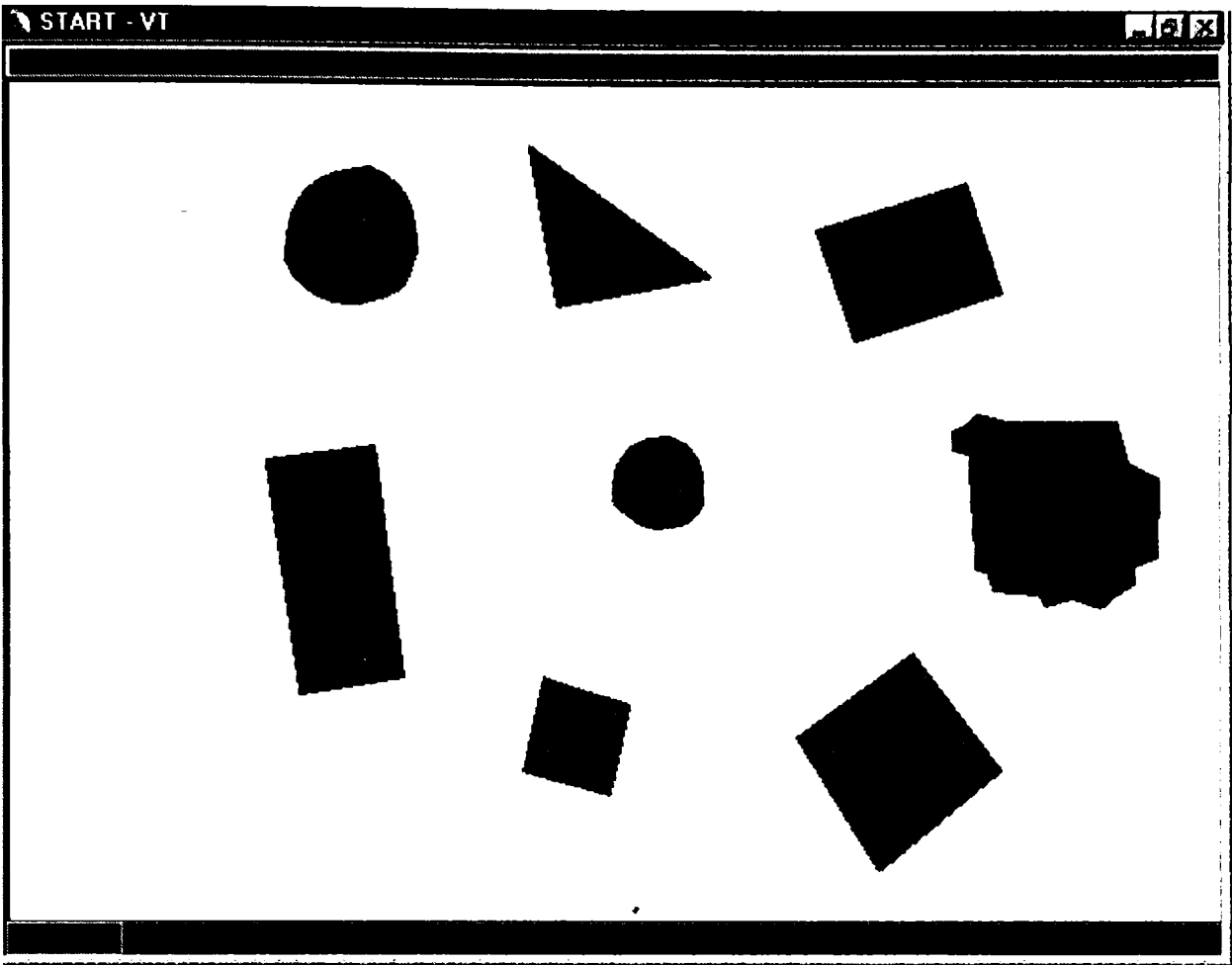
Fig. 3.1.16
Graful vizibilității redus generalizat

Se poate arăta că există o traiectorie semiliberă între $C_{\text{inițial}}$ și C_{final} dacă și numai dacă există o traiectorie între aceste două noduri în (GV'G). În plus, dacă există o traiectorie semiliberă, atunci (GV'G) o conține pe cea mai scurtă.

Fie n numărul total al vârfurilor lui SCB. Există cel mult două linii care sunt tangente la o latură circulară și trec printr-un punct dat. Există cel mult patru linii care sunt simultan tangente la două laturi circulare. Pentru fiecare pereche (punct, latură) și (latură, latură), aceste linii pot fi calculate într-un interval de timp constant. Astfel, numărul nodurilor în (GV'G) este $O(n^2)$ iar numărul legăturilor este de asemenea $O(n^2)$. (GV'G) poate fi construit ușor într-un interval de timp $O(n^3)$, iar cercetarea sa poate fi efectuată într-un interval de timp $O(n^2)$.

Metoda este de asemenea utilă când C-obstacolele poligonale sunt izotropic mărite pentru a se garanta o anumită distanță între traiectorie și C-obstacole.

În continuare este prezentat rezultatul aplicării acestei metode pe exemplul spațiului de lucru în care a evoluat robotul descris [151]:



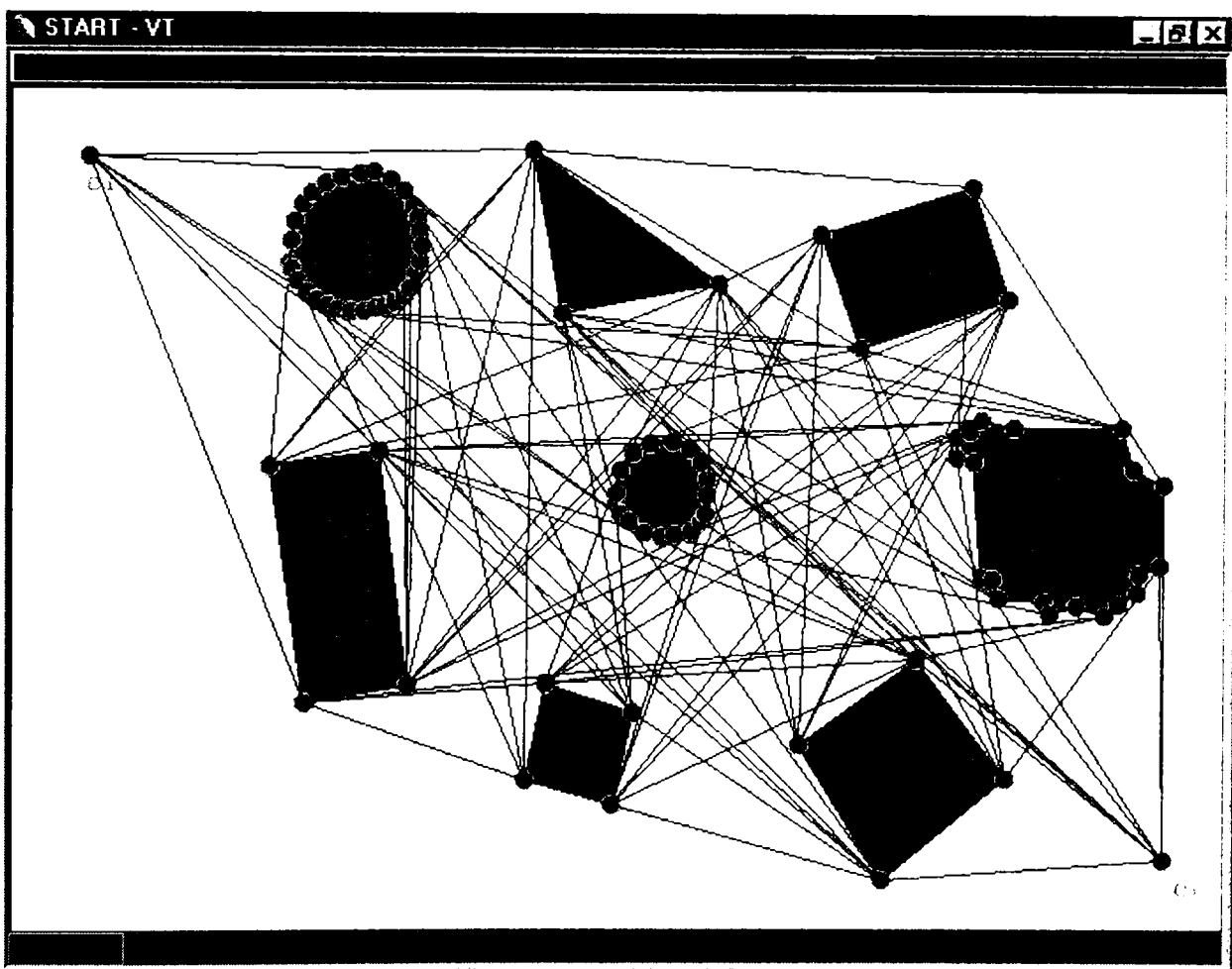
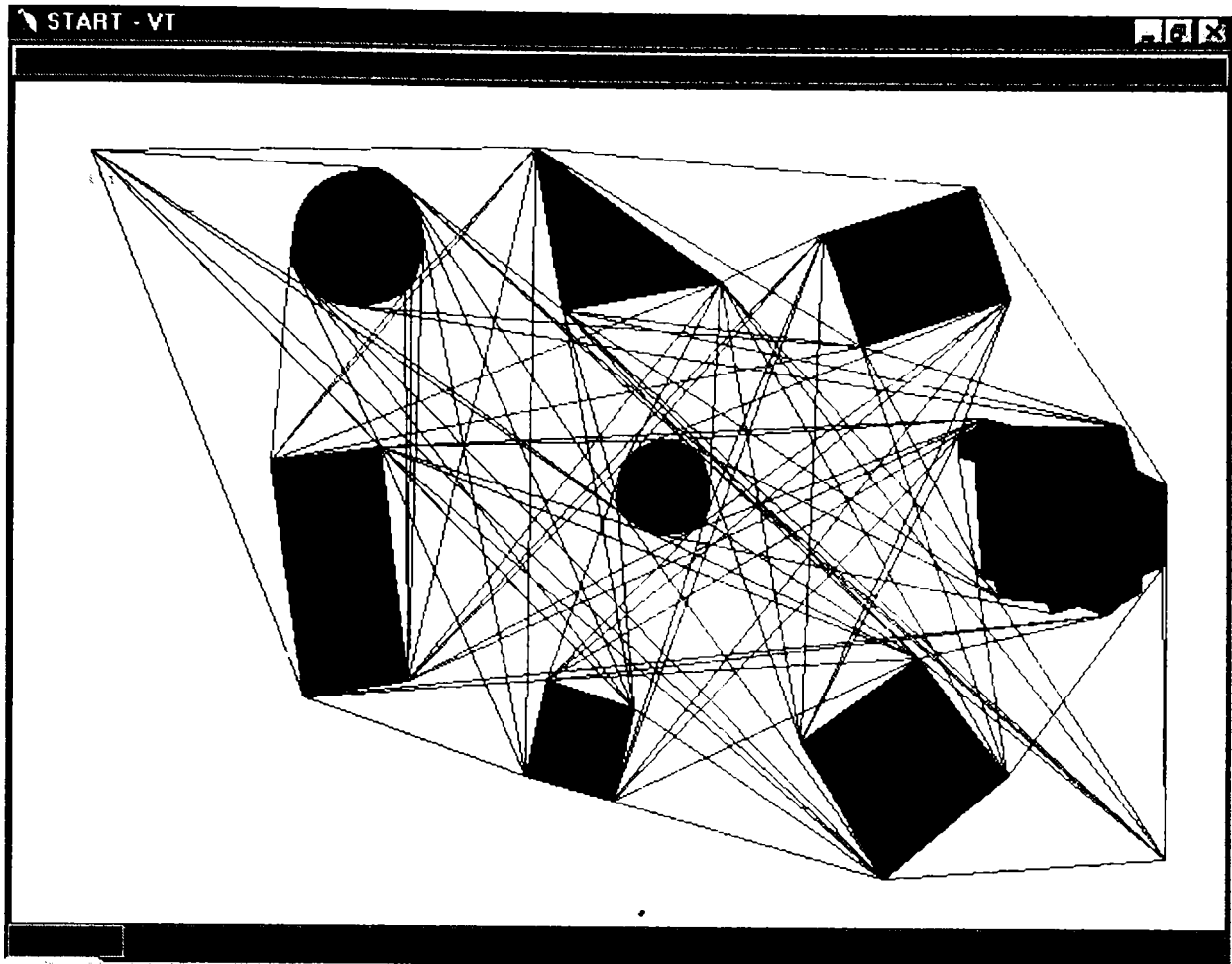


Fig. 3.1.17
Aplicarea metodei grafului vizibilității pe spațiul de lucru ales

Robotul putut fi deplasat pe orice traiectorie realizată din segmentele de dreaptă obținute conform algoritmului descris, între p configurație inițială și una finală stabilite prealabil.

3.2 Conducerea unui robot cu achiziția imaginii în timp real

Problema conducerii unui robot pe baza achiziției imaginii în timp real este una foarte complexă ce necesită un hardware foarte rapid și un software bine optimizat din punct de vedere al vitezei de calcul.

Experiențele s-au realizat cu un robot autonom (robocar) din dotarea Catedrei de Electronică Industrială a UPT [31], care poate fi comandat de calculator și care este prevăzut cu o cameră de luat vederi atașată roții motoare, ce este în același timp și roată directoare. Astfel, camera de luat vederi are direcția de observare identică cu direcția de deplasare a robocarului.

În continuare vor fi prezentate câteva imagini ale acestui robot :

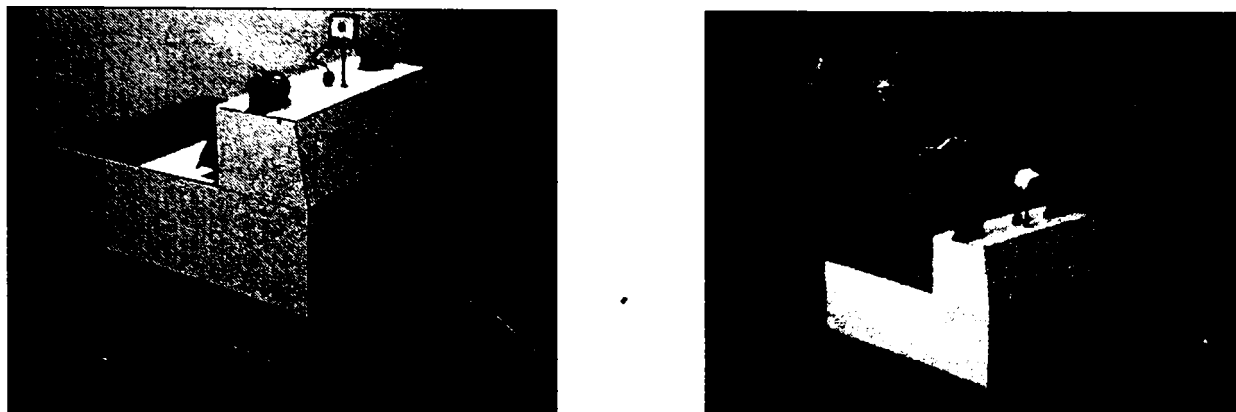


Fig. 3.2.1
Robot efector dotat cu cameră video

Ideea principală a experimentului este realizarea unui program care să permită acestui robot, urmărirea unui obiect de o anumită formă. Pentru simplificarea problemei s-au realizat următoarele particularizări:

- Întregul spațiu de lucru a fost acoperit cu pânze albe pentru eliminarea țințelor false.
- Pe o bucată de carton alb, s-a lipit o figură geometrică (pentru început un cerc) de culoare neagră.

Deoarece, în spațiul de lucru există un singur obiect de culoare neagră (cartonul fiind destul de mare, ca persoana care îl ține să nu intre în cadrul camerei de luat vederi), și deoarece problema recunoașterii obiectului nepunându-se în această primă fază, ci doar problema urmării obiectului de către robot, cea mai simplă rezolvare a acesteia este alinierea camerei, și implicit a roții directoare) după axa verticală a figurii geometrice ce trece prin centrul ei de greutate.

Odată pornit robotul, acesta se află în mișcare atâta timp cât senzorii de proximitate bazați pe ultrasunete nu indică apropierea de un obiect. Deci, atâta timp cât obiectul se află în mișcare, iar robotul nu este foarte aproape de el, robotul va trebui să urmărească cartonul cu figura geometrică fără nici o intervenție exterioară umană.

Robotul a fost realizat ca sistem mecanic mobil și autonom avându-se în vedere câteva criterii simple :

- costul materialelor și al manoperei cât mai redus
- performanțe dinamice bune
- greutate redusă
- posibilitatea modificării sau extinderii simple
- posibilitatea montării unui sistem de încărcare descărcare

Sistemul mecanic conține următoarele elemente :

- șasiul
- mecanismul de deplasare (rulare)
- mecanismul de direcție
- dispozitivul de protecție mecanic (bare antișoc)
- dispozitivul de încărcare / descărcare

Soluțiile adoptate pentru sistemul mecanic sunt:

- **șasiul** de formă paralelipipedică este ușor de realizat și oferă o structură rezistentă cu posibilitatea montării simple a tuturor subansamblurilor;
- **sistemul de rulare cu trei roți** poate fi folosit atât la mersul înainte cât și la mersul înapoi și prezintă o soluție simplă în ceea ce privește construcția mecanică. Nu necesită suspensie.
- **meccanismul de virare** care acționează asupra roții din față este simplu, și prin extinderea spre roțile din spate face posibilă virarea cu rază mică, atât înainte, cât și înapoi. Nu este necesar un mecanism cu cremalieră.
- **sistemul de tracțiune pe o roată** este soluția ce nu necesită o antrenare diferențială (electrică sau mecanică). Motorul este montat pe roata de virare prin intermediul reductorului.

► Șasiul

Acesta este realizat din țevă de oțel cu secțiunea dreptunghiulară (20×40) sudată, constituind structura de rezistență ce susține roțile, motoarele, sursele de alimentare, circuitele electronice, etc. (fig. 3.2.2).

Șasiul este acoperit cu tablă de aluminiu cu grosimea 0,8 mm, iar platforma din spate este realizată din tablă de oțel (grosimea 4 mm),

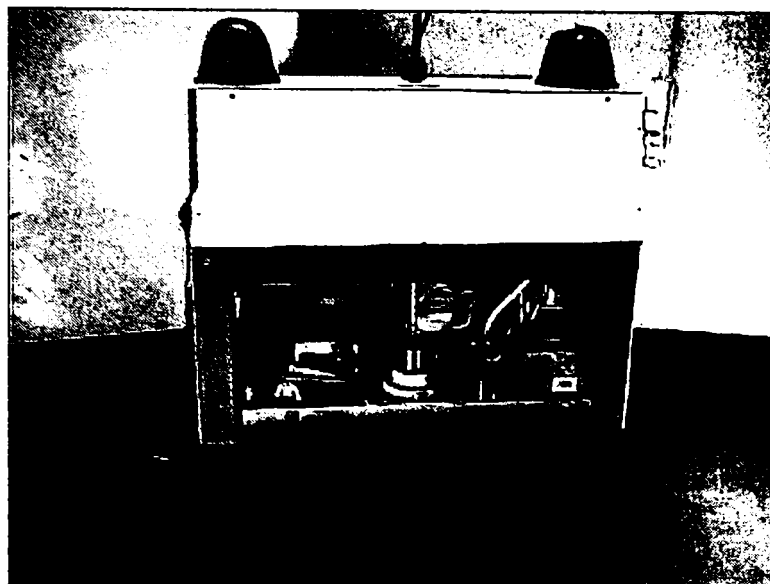


Fig. 3.2.2

Vedere asupra mecanismelor interioare ale robotului

constituind totodată suportul pentru robotul “SCORBOT”. În partea de deasupra față a cadrului se află un compartiment ce conține plăcile electronice și un monitor. Deasupra compartimentului se află două lămpi (avarie și mers) și camerele video.

În partea din spate, sub platformă, se montează modulul de comandă al robotului “SCORBOT-ER III”. Acesta este un robot articulat vertical, cu cinci grade de libertate. Sistemul SCORBOT-ER III constă în principal într-o structură mecanică și un controler. Toate cuplele cinematice ale robotului sunt cuple de rotație.

Schema cinematică a robotului este prezentată în figura 3.2.3. Cuplele cinematice ale robotului sunt: cupla 1-BASE, cupla 2-SHOULDER, cupla3-ELBOW, cupla 4-PITCH, cupla5-ROLL. Modelul geometric al robotului este determinat de matricea de transformare generală G_5^0 care exprimă poziția și orientarea efectorului final în raport cu sistemul de referință fix. Pentru calculul matricei de transformare s-a aplicat convenția Denavit-Hartenberg.

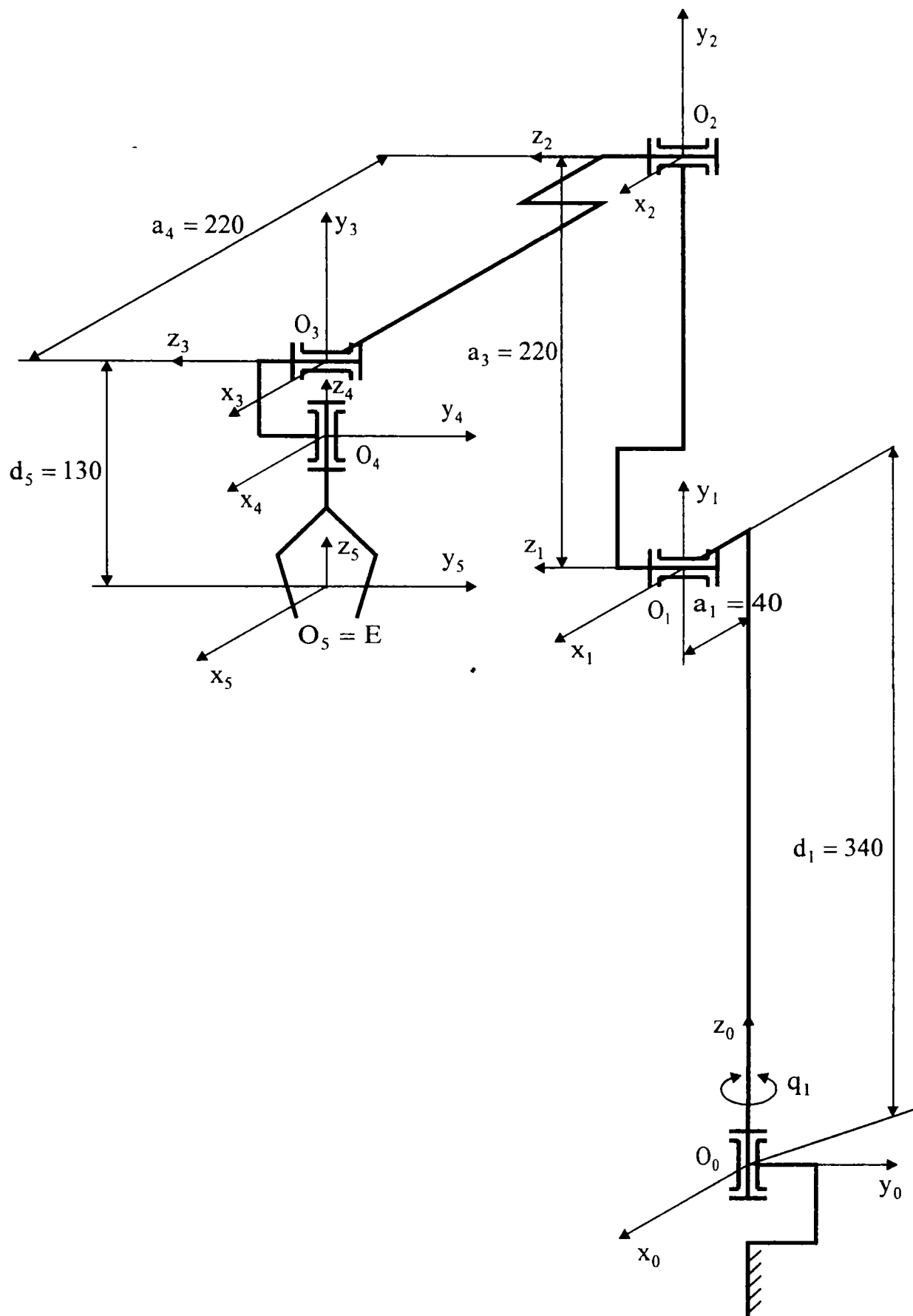


Fig. 3.2.3
 Schema cinematică a robotului SCORBOT-ER III

Modelarea geometrică a robotului a condus la ecuațiile cinematice:

$$\begin{aligned}
 n_x &= \cos\theta_1 \cos\theta_5 \cos(\theta_2 + \theta_3 + \theta_4) - \sin\theta_1 \sin\theta_5 \\
 n_y &= \sin\theta_1 \cos\theta_5 \cos(\theta_2 + \theta_3 + \theta_4) + \cos\theta_1 \sin\theta_5 \\
 n_z &= \cos\theta_5 \sin(\theta_2 + \theta_3 + \theta_4) \\
 o_x &= -\cos\theta_1 \sin\theta_5 \cos(\theta_2 + \theta_3 + \theta_4) - \sin\theta_1 \cos\theta_5 \\
 o_y &= -\sin\theta_1 \sin\theta_5 \cos(\theta_2 + \theta_3 + \theta_4) + \cos\theta_1 \cos\theta_5 \\
 o_z &= -\sin\theta_5 \sin(\theta_2 + \theta_3 + \theta_4) \\
 a_x &= -\cos\theta_1 \sin(\theta_2 + \theta_3 + \theta_4) \\
 a_y &= -\sin\theta_1 \sin(\theta_2 + \theta_3 + \theta_4) \\
 a_z &= \cos(\theta_2 + \theta_3 + \theta_4) \\
 p_x &= \cos\theta_1 [-a_1 + a_2 \cos\theta_2 + a_3 \cos(\theta_2 + \theta_3) - d_5 \sin(\theta_2 + \theta_3 + \theta_4)] \\
 p_y &= \sin\theta_1 [-a_1 + a_2 \cos\theta_2 + a_3 \cos(\theta_2 + \theta_3) - d_5 \sin(\theta_2 + \theta_3 + \theta_4)] \\
 p_z &= d_1 + a_2 \sin\theta_2 + a_3 \sin(\theta_2 + \theta_3) + d_5 \cos(\theta_2 + \theta_3 + \theta_4)
 \end{aligned} \tag{3.2.1}$$

Pentru alimentarea robocarului se utilizează două baterii de acumulare de 12 V / 45 Ah fiecare, legate în serie. Ele asigură o autonomie de cel puțin 8 ore dacă au fost încărcate la capacitatea maximă.

Acumulatorii sunt plasate în centrul robocarului, la înălțime de 5 cm față de sol, pentru a coborî centrul de greutate al vehiculului. Încărcarea acumulatorilor se face de la un redresor ce se cuplează la o mufă plasată în partea stângă a robocarului.

➤ **Mecanismul de tracțiune.**

Pentru robocarul construit s-a ales soluția cu trei roți (plasate ca în fig.3.2.4), din care două pasive (cele din spate) și una activă, antrenată de către motorul de deplasare și rotită în jurul axei verticale de către motorul direcției (roata din față).

Diametrul roților este $\Phi = 100$ mm. Ele sunt construite din oțel și au un înveliș exterior de cauciuc. Sunt fixate pe ax prin intermediul unui rulment .

Motorul ales pentru asigurarea deplasării este un motor de c.c. cu rotor disc având dimensiuni reduse și randament ridicat. Tensiunea de alimentare nominală este 24 V, iar curentul consumat de 1,5 A în sarcină. S-a ales acest motor din considerente

energetice. Este preferabil un motor cu randament foarte bun și caracteristici dinamice bune, pentru a asigura un consum redus și o eficiență ridicată la accelerare și frânare.

Reductorul are gabarit redus și un raport de transmitere de $i = 1 : 34,6$. El este cuplat direct cu axul roții motoare.

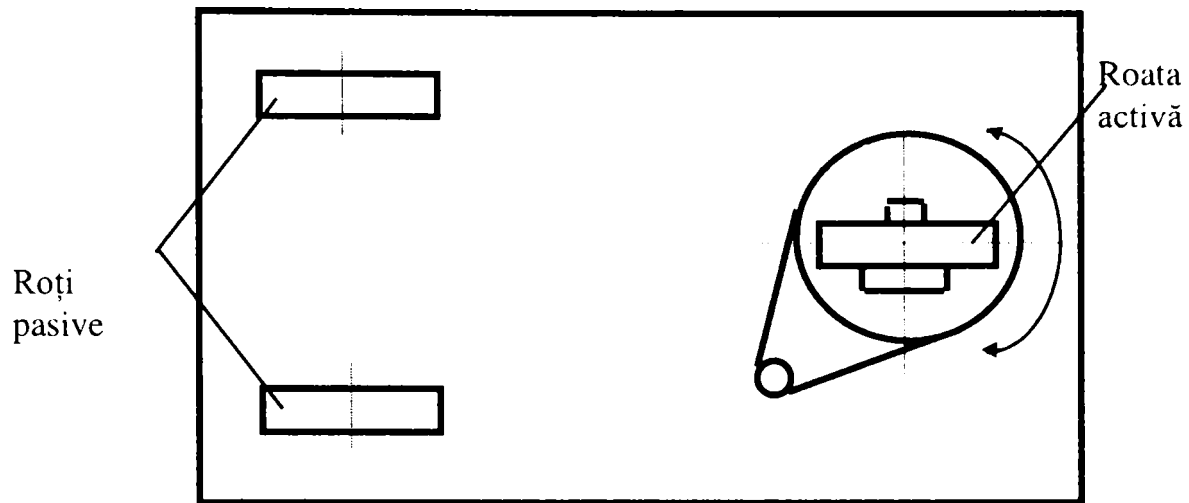


Fig. 3.2.4
Prezentarea soluției cu trei roți a robocarului

➤ **Achiziția imaginii în timp real și conducerea robotului**

Funcția care realizează întreaga operație de captură a imaginilor, de calcul a centrului de greutate și de conducere a robotului se prezintă astfel :

```
void CMainFrame::OnToolsRealtime()
{
    CROBOVIEWDoc *SourceDoc;
    unsigned char *ClipboardBuffer;
    short j,x,y;
    MSG msg;
    long m00,m10;
    POINT CentruGreutate;
    CDC *ActiveFrameDC;
    char sir[40];
    RECT rect = {10,480,50,500};
    short TypeOfCapture;
    BYTE PixelGrayValue;
    unsigned char OutChar;
    DWORD WrittenBytes;
    HANDLE hCom;
    BOOL fSuccess;
    DCB dcb;
    short count =0;
    hCom = CreateFile("COM2",
        GENERIC_READ | GENERIC_WRITE,
        0, // exclusive access
        NULL, // no security attrs
        OPEN_EXISTING,
        0, // not overlapped I/O
        NULL
    );
};
```



```

if (hCom == INVALID_HANDLE_VALUE)
{
    ShowErrorMessage("COM2 device cannot be opened\n");
    return;
}
// Omit the call to SetupComm to use the default queue sizes.
// Get the current configuration.
fSuccess = GetCommState(hCom, &dcb);
if (!fSuccess)
{
    ShowErrorMessage("Cannot get COM2 current configuration\n");
    return;
}
// Fill in the DCB: baud=9600, 8 data bits, no parity, 1 stop bit.
dcb.BaudRate = 9600;
dcb.ByteSize = 8;
dcb.Parity = NOPARITY;
dcb.StopBits = TWOSTOPBITS;
fSuccess = SetCommState(hCom, &dcb);
if (!fSuccess)
{
    ShowErrorMessage("Cannot set COM2 new configuration\n");
    return;
}
SourceDoc = GetActiveSourceDocument();
if(SourceDoc->BitmapBuffer == NULL)
    SourceDoc->BitmapBuffer= (BYTE *)malloc(DIBSIZE);
/--> Capturarea unei singure imagini si determinare caracteristici
MyEditCopy();
if(!MyOpenClipboard(NULL))
{
    MessageBox("Error opening clipboard", "Roboview", MB_OK);
    CloseHandle(hCom);
    return;
}
if(!(ClipboardBuffer = (unsigned char *)MyGetClipboardData(CF_DIB)))
{
    MessageBox("Error reading clipboard data", "Roboview", MB_OK);
    CloseHandle(hCom);
    return;
}
memcpy(SourceDoc->BitmapBuffer, ClipboardBuffer, DIBSIZE);
CloseClipboard();
if(SourceDoc->BitmapBuffer != NULL)
{
    SourceDoc->BitmapBits = GetDibBitsAddr(SourceDoc->BitmapBuffer);
    Xmax = GlobalBitmapInformation.XDimension = GetDibWidth(SourceDoc->BitmapBuffer);
    Ymax = GlobalBitmapInformation.YDimension = GetDibHeight(SourceDoc->BitmapBuffer);
}
for(y=Ymax-1; y>=0; y--)
    for(x=0; x<Xmax; x++)
    {
        SourceDoc->BitmapMatrix[x][y][0] = *(SourceDoc->BitmapBits+3*Xmax*(Ymax-1-y)+3*x);
        SourceDoc->BitmapMatrix[x][y][1] = *(SourceDoc->BitmapBits+3*Xmax*(Ymax-1-y)+3*x+1);
        SourceDoc->BitmapMatrix[x][y][2] = *(SourceDoc->BitmapBits+3*Xmax*(Ymax-1-y)+3*x+2);
    }
for(x=0; x<Xmax; x++)
    for(y=REALYMAX; y<Ymax; y++)
        SourceDoc->BitmapMatrix[x][y][0] = SourceDoc->BitmapMatrix[x][y][1] =
            SourceDoc->BitmapMatrix[x][y][2] = 0xFF;

```

```

TypeOfCapture = GRAYSCALE;
for(x=0;x<Xmax;x++)
  for(y=0;y<REALYMAX;y++)
    if((SourceDoc->BitmapMatrix[x][y][0]!= SourceDoc->BitmapMatrix[x][y][1]) ||
        (SourceDoc->BitmapMatrix[x][y][0]!= SourceDoc->BitmapMatrix[x][y][2]) ||
        (SourceDoc->BitmapMatrix[x][y][1] != SourceDoc->BitmapMatrix[x][y][2]))
      TypeOfCapture = TRUECOLOR;
//<-- Capturarea unei singure imagini si determinare caracteristici
TypeOfCapture = SourceDoc->BitmapColorType;
OutChar = '8';
fSuccess = WriteFile(hCom,&OutChar,1,&WrittenBytes,NULL);
if(!fSuccess || WrittenBytes != 1)
  {
  ShowErrorMessage("Cannot write to COM2\n");
  CloseHandle(hCom);
  return;
  }
//Bucla de captura si prelucrare
for(;;)
  {
  m00 = m10 = 0;
  MyEditCopy();
  if(!MyOpenClipboard(NULL))
    {
    MessageBox("Error opening clipboard","Roboview",MB_OK);
    CloseHandle(hCom);
    return;
    }
  if(!(ClipboardBuffer = (unsigned char *)MyGetClipboardData(CF_DIB)))
    {
    ShowErrorMessage("Error reading clipboard data\n");
    MyDriverDisconnect();
    MyDestroyWindow();
    VideoCapture();
    continue;
    }
  memcpy(SourceDoc->BitmapBuffer,ClipboardBuffer,DIBSIZE);
  if(SourceDoc->BitmapBuffer != NULL)
    SourceDoc->BitmapBits = GetDibBitsAddr(SourceDoc->BitmapBuffer);
  for(y=Ymax-1;y>=0;y--)
    for(x=0;x<Xmax;x++)
      {
      if(TypeOfCapture = TRUECOLOR)
        PixelGrayValue = (BYTE)(0.3*(*(SourceDoc->BitmapBits+3*Xmax*(Ymax-1-y)+3*x)) +
            0.59*(*(SourceDoc->BitmapBits+3*Xmax*(Ymax-1-y)+3*x+1)) +
            0.11*(*(SourceDoc->BitmapBits+3*Xmax*(Ymax-1-y)+3*x+2)));
      else
        PixelGrayValue = *(SourceDoc->BitmapBits+3*Xmax*(Ymax-1-y)+3*x);
      if(PixelGrayValue > 70)
        SourceDoc->BitmapMatrix[x][y][0] = SourceDoc->BitmapMatrix[x][y][1] =
            SourceDoc->BitmapMatrix[x][y][2] = 0xFF;
      else
        {
        SourceDoc->BitmapMatrix[x][y][0] = SourceDoc->BitmapMatrix[x][y][1] =
            SourceDoc->BitmapMatrix[x][y][2] = 0;

        m00++;
        m10 += x;
        }
      }
  }
if(m00 == 0)

```

```

    CentruGreutate.x = 160;
else
    CentruGreutate.x = m10/m00;
for(x=0;x<Xmax;x++)
    for(y=REALYMAX;y<Ymax;y++)
        SourceDoc->BitmapMatrix[x][y][0] = SourceDoc->BitmapMatrix[x][y][1] =
            SourceDoc->BitmapMatrix[x][y][2] = 0xFF;
SourceDoc->BitmapColorType = BINARY;
EmptyClipboard();
CloseClipboard();
SourceDoc->UpdateAllViews(NULL);
ActiveFrameDC = AfxGetMainWnd()->GetDC();
itoa(160-CentruGreutate.x,sir,10);
ActiveFrameDC->SetTextColor(RGB(255,0,0));
ActiveFrameDC->SetBkMode(OPAQUE);
ActiveFrameDC->ExtTextOut(10,480,ETO_OPAQUE,&rect,sir,strlen(sir),NULL);
if(abs(160 - CentruGreutate.x) > 10)
{
    if((160-CentruGreutate.x) > 0 /*&& count >= 10*/)
    {
        OutChar = '4';
        count = 0;
    }
    if((160-CentruGreutate.x) < 0 /*&& count >= 10*/)
    {
        OutChar = '6';
        count = 0;
    }
    fSuccess = WriteFile(hCom,&OutChar,1,&WrittenBytes,NULL);
    if(!fSuccess || WrittenBytes != 1)
    {
        ShowErrorMessage("Cannot write to COM2\n");
        CloseHandle(hCom);
        return;
    }
}
for(j=0;j<100;j++)
{
    if(PeekMessage(&msg,NULL,0,0,PM_REMOVE))
    {
        TranslateMessage(&msg);
        DispatchMessage(&msg);
        if(msg.message == WM_CHAR)
        {
            if(msg.wParam != ' ')
            {
                CloseHandle(hCom);
                return;
            }
        }
        else
        {
            for(;;)
            {
                if(PeekMessage(&msg,NULL,0,0,PM_REMOVE))
                {
                    if(msg.message == WM_CHAR)
                    {
                        if(msg.wParam == ' ')
                        {
                            CloseHandle(hCom);
                        }
                    }
                }
            }
        }
    }
}

```

```

        return;
    }
    OutChar = msg.wParam;
    fSuccess = WriteFile(hCom,&OutChar,1,&WrittenBytes,NULL);
    if(!fSuccess || WrittenBytes != 1)
    {
        ShowErrorMessage("Cannot write to COM2\n");
        CloseHandle(hCom);
        return;
    }
    TranslateMessage(&msg);
    DispatchMessage(&msg);
}
}
}
}
else
    break;
}
}
CloseHandle(hCom);
return;
}

```

Deoarece interfața robotului cu calculatorul comunică printr-un port serial funcția începe prin deschiderea portului COM2 în acces exclusiv. Dacă deschiderea a reușit, urmează procedurile de inițializare a portului cu valorile necesare comunicației cu hardware-ul de control.

Urmează determinarea tipului de cameră video existent, color sau alb negru. Acest lucru se realizează prin capturarea unei imagini în clipboard și prin compararea valorilor RGB ale tuturor pixelilor se determină dacă imaginea este color sau în nivele de gri. Dacă imaginea este o imagine color ea va fi convertită la o imagine cu 256 nivele de gri.

Următoarea fază a procedurii va trimite caracterul '8' către interfață, caracter ce înseamnă pornirea motorului și implicit a robotului. În acest moment în fața robotului trebuie să existe cartonul cu desenul figurii geometrice.

Odată pornit robotul, începe secvența de achiziționare de imagini. Pentru fiecare imagine achiziționată se realizează o binarizare a acesteia cu un prag de 70 nivel gri, și se determină centrul de greutate al pixelilor rezultați. Odată determinat centrul de greutate, se eliberează clipboard-ul și se pregătește pentru o nouă achiziție. În același timp se afișează pe ecran poziția determinată a centrului de greutate și se comandă direcția robotului în funcție de offsetul centrului de greutate față de linia verticală a ecranului.

Pentru a nu lua în considerare variații foarte mici ale ofsetului și evita mersul șerpuit al robotului, se ignoră ofseturile mai mici de 10 pixeli.

Deci, teoretic roata motoare își va schimba direcția atâta timp cât nu este perpendiculară pe centrul de greutate al figurii geometrice.

Ultima porțiune a funcției asigură transmiterea mesajelor Windows către librăria Video for Windows și o pregătesc pe aceasta pentru o nouă achiziție.

În concluzie robotul va urmări figura geometrică atâta timp cât senzorii de proximitate nu îl vor opri.

➤ **Recunoașterea obiectului urmărit.**

Din cauză că algoritmul de recunoaștere este unul mare consumator de timp, pentru acest experiment a fost necesară introducerea unor restricții suplimentare. În primul rând, cea mai mare pierdere de timp se realizează în faza de rotire a corpului de-a lungul laturii mari pentru procesul de recunoaștere. În vederea eliminării acestei operații, figura geometrică va fi desenată în poziție normală cu latura mare orizontală pe bucata de carton. O altă creștere de viteză, se mai poate obține prin apelarea procedurii de recunoaștere din 10 în 10 imagini, în rest orientarea realizându-se după centrul de greutate.

Pe lângă aceste restricții, o ultimă mare problemă o reprezintă reflexia luminii pe figura geometrică, reflexie care îi alterează contururile, mai ales deoarece cartonul cu figura geometrică este în continuă mișcare și nu se poate anticipa o achiziție corectă care să permită o recunoaștere 100% exactă.

➤ **Planificarea mișcării robocarului**

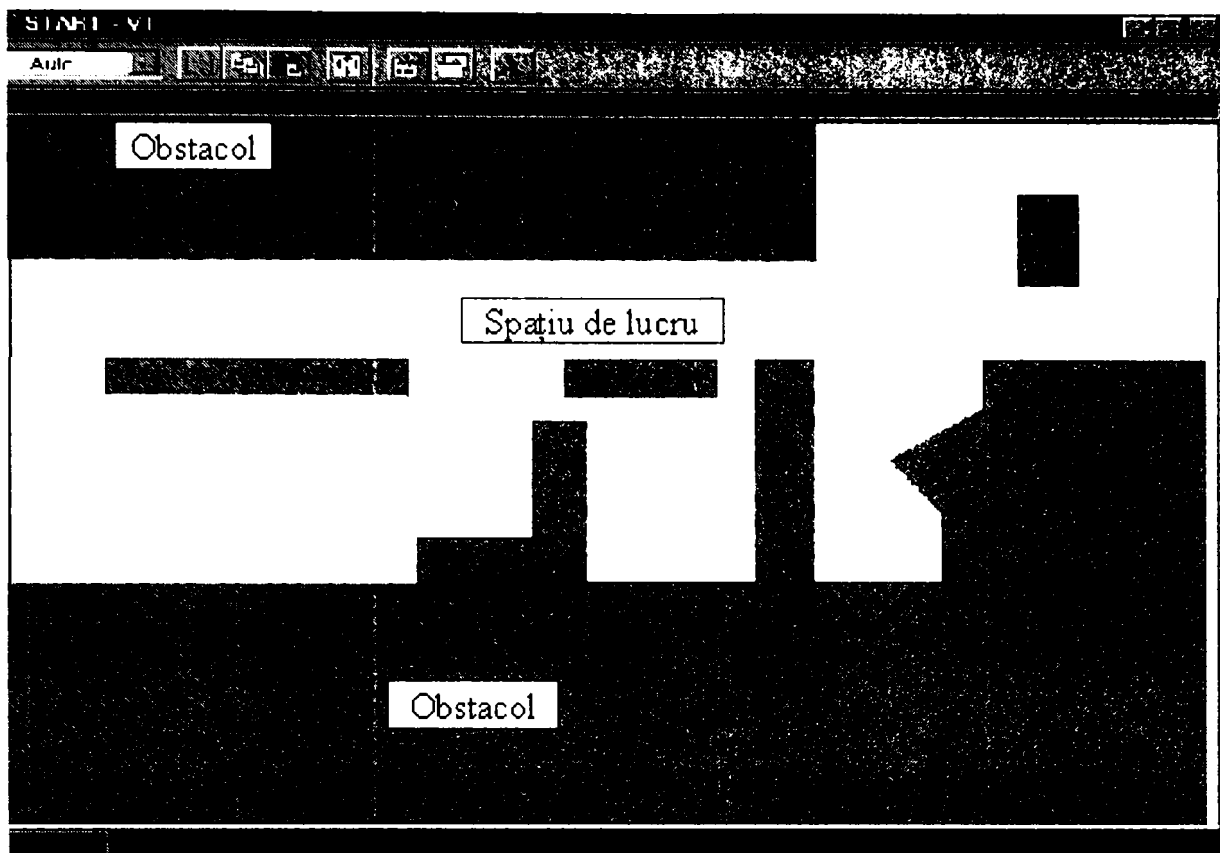
S-au realizat planificări ale mișcării robocarului în spațiul de lucru oferit de Laboratorul de Robotică al Catedrei de Organe de Mașini și Mecanism al UPT. Pentru că robotul se deplasează pe pardoseaua plană a laboratorului, s-a realizat o secțiune plană a spațiului populat cu obstacole și s-a reprezentat grafic.

Traectoria planificată pe baza observării spațiului de lucru s-a realizat în mai multe etape succesive prezentate în figura 3.2.5.

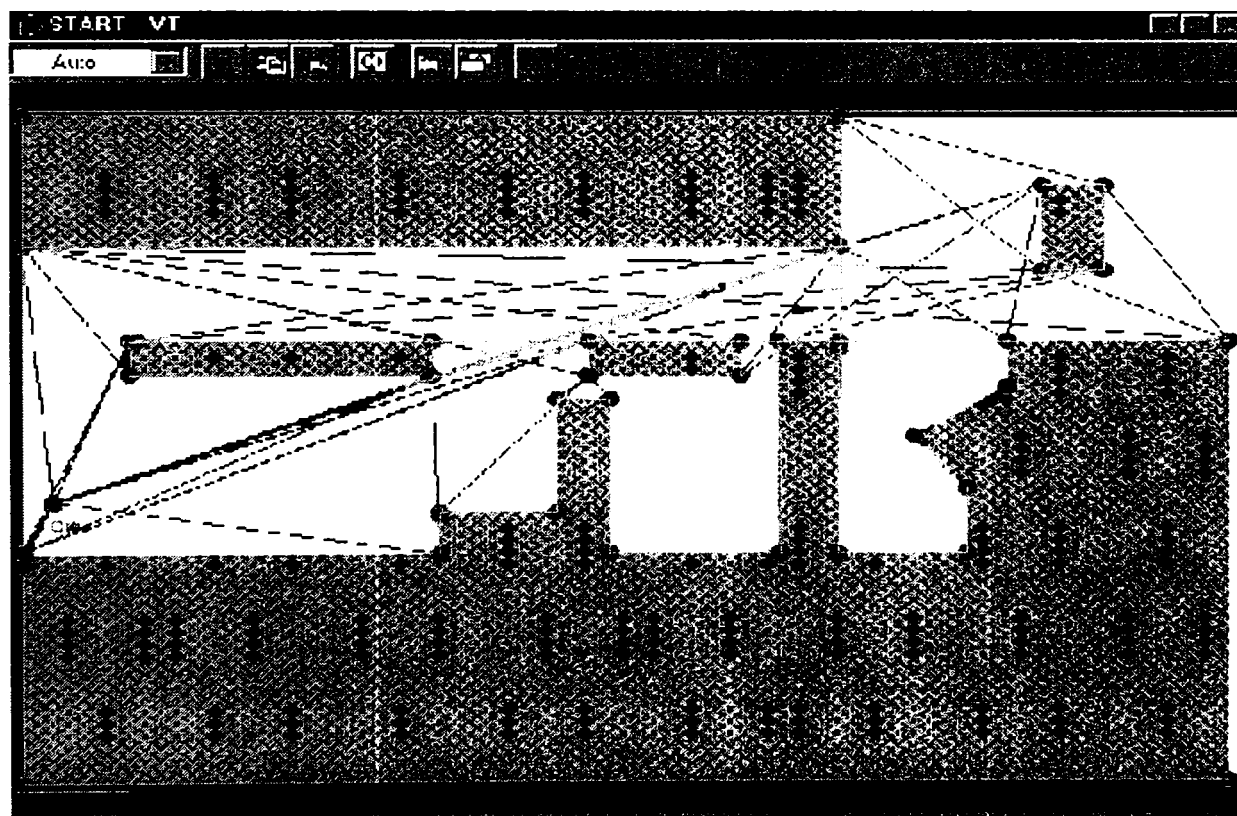
Planificarea traiectoriei robocarului s-a realizat prin metodele grafului vizibilității și grilei neomogene.

Se observă că pe vehicul s-a montat manipulatorul SCORBOT, acesta îndeplinind rolul de dispozitiv de încărcare-descărcare. Cu ajutorul lui au fost

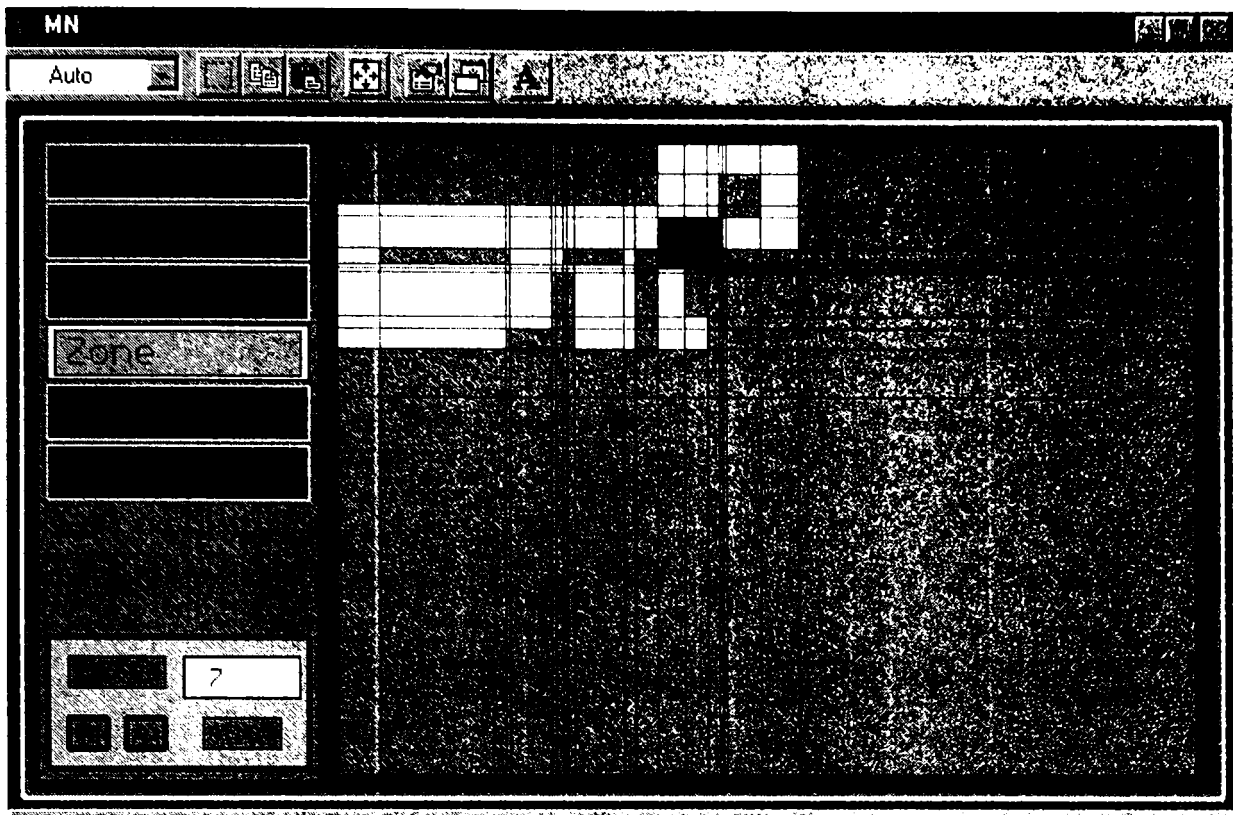
executate operații simple, cum ar fi: preluarea unor obiecte și transportul acestora la o destinație dinainte stabilită, deschiderea unor uși pentru a face posibilă trecerea robocarului, etc.



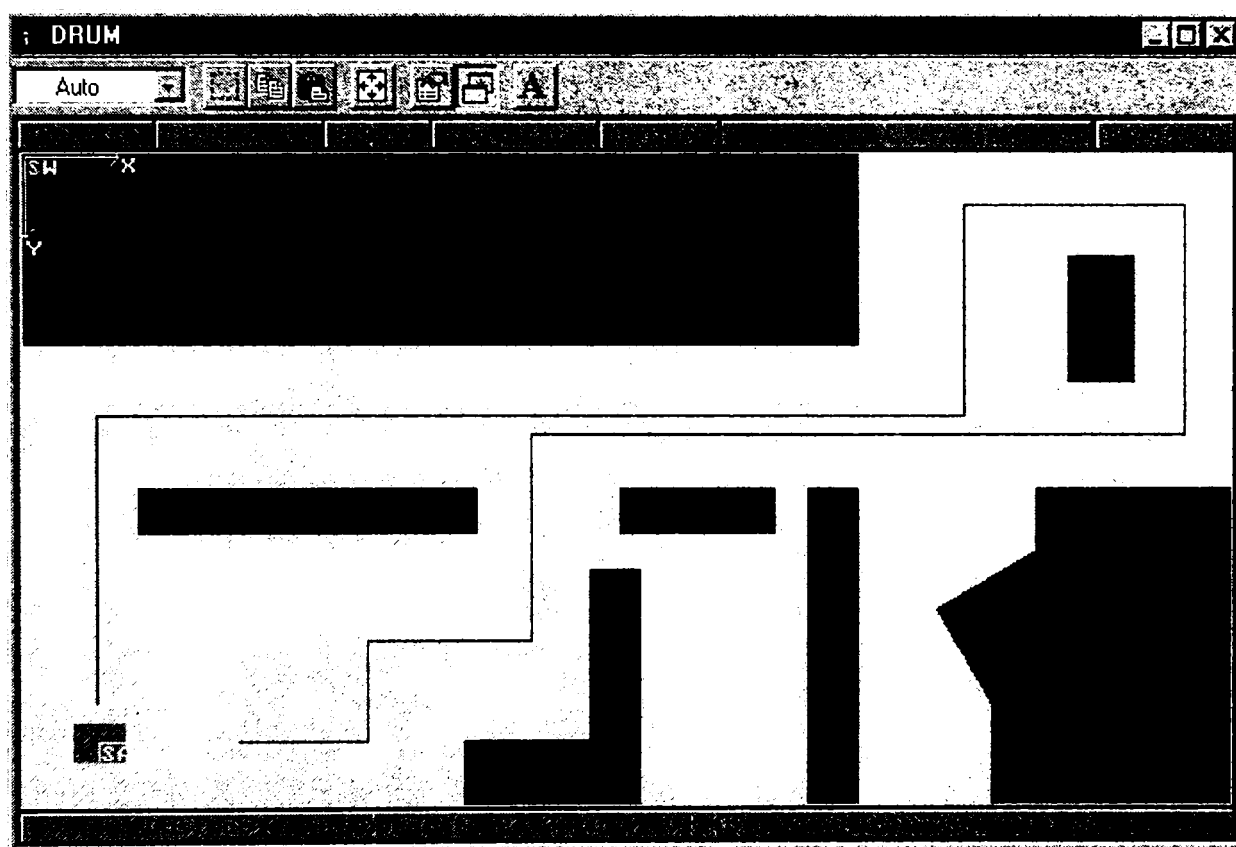
(a) Secțiune plană prin hala laboratorului



(b) Graful vizibilității



(c) O fază din desfășurarea metodei grilei neomogene



(d) Traectoria finală planificată

Fig. 3.2.5
Etaple succesive de determinare a traiectoriei



Fig. 3.2.6
Imaginea robocarului și a manipulatorului
SCORBOT în spațiul de lucru

3.3. Prezentarea programului principal de achiziție și prelucrare a imaginilor

Având în vedere faptul că algoritmi utilizați necesită lucrul cu diferite obiecte ce diferă ca formă și dimensiuni, pentru o modularizare a proiectului s-a lucrat în Visual C++ 5.0 sub librăria Microsoft Foundation Class (MFC)], limbaj ce oferă cele mai bune metode de programare obiectuală [133], [124]. În vederea maximizării vitezei de prelucrare a imaginilor, scopul final fiind o prelucrare în timp real, se utilizează copii ale imaginilor în memorie în locul interacțiunii directe cu ecranul, care este o procedură mult mai lentă și care nu s-ar preta scopului propus.

Obiectul de bază a întregului program este un document MFC care stochează imaginea recepționată în formatul Windows/OS2 Bitmap cu o adâncime de culoare de 24 de biți, adâncime care permite foarte ușor conversia imaginii la 256 de nivele de gri. Structura acestei clase conține:

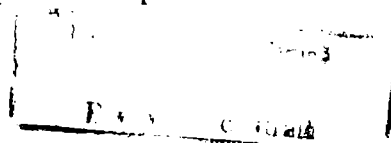
- informațiile referitoare la pixeli
- lista corpurilor conținute în cadrul unei imagini
- adâncimea de culoare a imaginii

Structura clasei ce conține o imagine este următoarea :

```
class CROBOVIEWDoc : public CDocument
{
protected:
    CROBOVIEWDoc();
    DECLARE_DYNCREATE(CROBOVIEWDoc)
public:
    BYTE *BitmapBits;
    BYTE *BitmapBuffer;
    BYTE BitmapMatrix[320][240][3];
    BYTE BitmapColorType;
    CTypedPtrList<CObList, CCorp*> m_CorpList;

    virtual BOOL OnNewDocument();
    virtual void Serialize(CArchive& ar);
    CCorp* NewCorp();
    void DeleteCorps();
    BOOL CROBOVIEWDoc::PixelBelongsToACorp(short x,short y);
    void CROBOVIEWDoc::GetShapeNumbers(CROBOVIEWDoc *OriginalDoc);
    void CROBOVIEWDoc::RecognizeObjectsByColor(CROBOVIEWDoc*OriginalDoc);
    virtual ~CROBOVIEWDoc();
#ifdef _DEBUG
    virtual void AssertValid() const;
    virtual void Dump(CDumpContext& dc) const;
#endif
protected:
    DECLARE_MESSAGE_MAP()
};
```

Pentru afișarea rapidă ca bitmap pe ecran se utilizează variabilele membre BitmapBuffer și BitmapBits, iar pentru parcurgerea imaginii pixel cu pixel se



folosește buferul BitmapMatrix care poate stoca o imagine având rezoluția 320x240 și cu o adâncime de culoare de 24 de biți. Variabila membră BitmapColorType permite o identificare ușoară în timpul prelucrării mai multor imagini a tipului de culoare existent: imagine colorată, nivele de gri sau binară. Variabila membră m_CorpList conține lista tuturor obiectelor din cadrul imaginii. Funcțiile membre ajută la obținerea de informații referitoare la imagine sau la obiectele care o constituie.

Afișarea rapidă a unui document pe ecran se face funcția membră OnDraw, astfel:

```
void CROBOVIEWView::OnDraw(CDC* pDC)
{
    HDC hdc;
    short x,y;
    CROBOVIEWDoc* pDoc = GetDocument();
    ASSERT_VALID(pDoc);

    if(pDoc->BitmapBuffer)
    {
        for(y=Ymax-1;y>=0;y--)
            for(x=0;x<Xmax;x++)
            {
                *(pDoc->BitmapBits+3*Xmax*(Ymax-1-y)+3*x) = pDoc->BitmapMatrix[x][y][0];
                *(pDoc->BitmapBits+3*Xmax*(Ymax-1-y)+3*x+1) = pDoc->BitmapMatrix[x][y][1];
                *(pDoc->BitmapBits+3*Xmax*(Ymax-1-y)+3*x+2) = pDoc->BitmapMatrix[x][y][2];
            }
        pDC->SetStretchBltMode(COLORONCOLOR);
        hdc = pDC->GetSafeHdc();
        if(GDI_ERROR==StretchDIBits(hdc, 0, 0, GlobalBitmapInformation.XDimension,
            GlobalBitmapInformation.YDimension, 0, 0, GlobalBitmapInformation.XDimension,
            GlobalBitmapInformation.YDimension, (LPSTR)pDoc->BitmapBits,
            (LPBITMAPINFO)pDoc->BitmapBuffer,DIB_RGB_COLORS,SRCCOPY))
        {
            pDC->TextOut(0,0,"Error opening bitmap",15);
            return;
        }
    }
}
```

Următoarea structură importantă este cea unui obiect din cadrul unei imagini și ea are următorul conținut:

```
class CCorp : public CObject
{
public:
    CCorp();
    CArray<CPoint,CPoint> m_pointArray;
    CString m_ChainCode;
    CString m_FirstDifference;
    CString m_ShapeNumber;
    CString m_Geometric;
};
```

În această structură un obiect este definit prin punctele care îi descriu conturul în variabila m_PointArray, de codurile ce servesc identificării : codul de înlănțuire,

prima diferență și numărul de formă, cât și de rezultatul recunoașterii acelui obiect care îi descrie forma geometrică în variabila membră `m_Geometric`.

Programul rulează la o rezoluție de 800 x 600 x 24 sau mai mare, deoarece afișează simultan pe ecran 4 imagini de 320 x 240 pixeli plus fereastra de vizionare a capturii curente.

Funcțiile principale ale programului au fost prezentate pe parcursul tezei, împreună cu exemplele de rulare adecvate. Pe lângă aceste funcții programul mai permite citirea și salvarea de imagini în format Bitmap.

Funcția care realizează citirea și salvarea documentelor este următoarea:

```
void CROBOVIEWDoc::Serialize(CArchive& ar)
{
    short x,y;
    if (ar.IsStoring())
    {
        ar.Write(&GlobalBitmapInformation.FileHeader,sizeof(BITMAPFILEHEADER));
        ar.Write(&GlobalBitmapInformation.InfoHeader,sizeof(BITMAPINFOHEADER));
        ar.Write(BitmapBits,3*320*240);
    }
    else
    {
        BitmapBuffer = ReadDib(&ar);
        if(BitmapBuffer != NULL)
        {
            BitmapBits = GetDibBitsAddr(BitmapBuffer);
            Xmax = GlobalBitmapInformation.XDimension = GetDibWidth(BitmapBuffer);
            Ymax = GlobalBitmapInformation.YDimension = GetDibHeight(BitmapBuffer);
        }
        for(y=Ymax-1;y>=0;y--)
            for(x=0;x<Xmax;x++)
            {
                BitmapMatrix[x][y][0] = *(BitmapBits+3*Xmax*(Ymax-1-y)+3*x);
                BitmapMatrix[x][y][1] = *(BitmapBits+3*Xmax*(Ymax-1-y)+3*x+1);
                BitmapMatrix[x][y][2] = *(BitmapBits+3*Xmax*(Ymax-1-y)+3*x+2);
            }
        for(x=0;x<Xmax;x++)
            for(y=REALYMAX;y<Ymax;y++)
                BitmapMatrix[x][y][0] = BitmapMatrix[x][y][1] = BitmapMatrix[x][y][2] = 0xFF;
        for(x=0;x<Xmax;x++)
            for(y=0;y<REALYMAX;y++)
                if((BitmapMatrix[x][y][0] != BitmapMatrix[x][y][1]) || (BitmapMatrix[x][y][0] !=
                    BitmapMatrix[x][y][2]) || (BitmapMatrix[x][y][1] != BitmapMatrix[x][y][2]))
                {
                    BitmapColorType = TRUECOLOR;
                    return;
                }
        for(x=0;x<Xmax;x++)
            for(y=0;y<REALYMAX;y++)
                if((BitmapMatrix[x][y][0] != 0) && (BitmapMatrix[x][y][0] != 255))
                {
                    BitmapColorType = GRAYSCALE;
                    return;
                }
        BitmapColorType = BINARY;
    }
}
```

```

}
}

```

Funcția de citire a unui fișier bitmap :

```

BYTE *ReadDib(CArchive *ar)
{
    BITMAPFILEHEADER bmfh;
    DWORD          DibSize,HeaderSize;
    BYTE          *DibBuffer;

    if(ar->Read(&bmfh,sizeof(BITMAPFILEHEADER)) != sizeof(BITMAPFILEHEADER))
        return NULL;
    memcpy(&GlobalBitmapInformation.FileHeader,&bmfh,sizeof(BITMAPFILEHEADER));
    if(bmfh.bfType != *(WORD *)"BM")
        return NULL;
    DibSize = bmfh.bfSize - sizeof(BITMAPFILEHEADER);
    DibBuffer = (BYTE *)malloc(DibSize);
    if(DibBuffer == NULL)
        return NULL;
    if(ar->Read(DibBuffer,DibSize) != DibSize)
    {
        free(DibBuffer);
        return NULL;
    }
    HeaderSize = GetDibInfoHeaderSize(DibBuffer);
    if(HeaderSize < 12 || (HeaderSize > 12 && HeaderSize < 16))
    {
        free(DibBuffer);
        return NULL;
    }
    memcpy(&GlobalBitmapInformation.InfoHeader,DibBuffer,HeaderSize);
    return DibBuffer;
}

```

Diverse funcții auxiliare pentru citirea unui fișier bitmap :

```

BYTE *GetDibBitsAddr(BYTE *DibBuffer)
{
    DWORD NumColors,ColorTableSize;
    WORD  BitCount;

    if(GetDibInfoHeaderSize(DibBuffer) == sizeof(BITMAPCOREHEADER))
    {
        BitCount = ((BITMAPCOREHEADER *)DibBuffer)->bcBitCount;
        if(BitCount != 24)    NumColors = 1L << BitCount;
        else    NumColors = 0;
        ColorTableSize = NumColors*sizeof(RGBTRIPLE);
    }
    else
    {
        BitCount = ((BITMAPINFOHEADER *)DibBuffer)->biBitCount;
        if(GetDibInfoHeaderSize(DibBuffer) >= 36)
            NumColors = ((BITMAPINFOHEADER *)DibBuffer)->biClrUsed;
        else
            NumColors = 0;
        if(NumColors == 0)
        {
            if(BitCount != 24) NumColors = 1L << BitCount;
            else NumColors = 0;
        }
    }
}

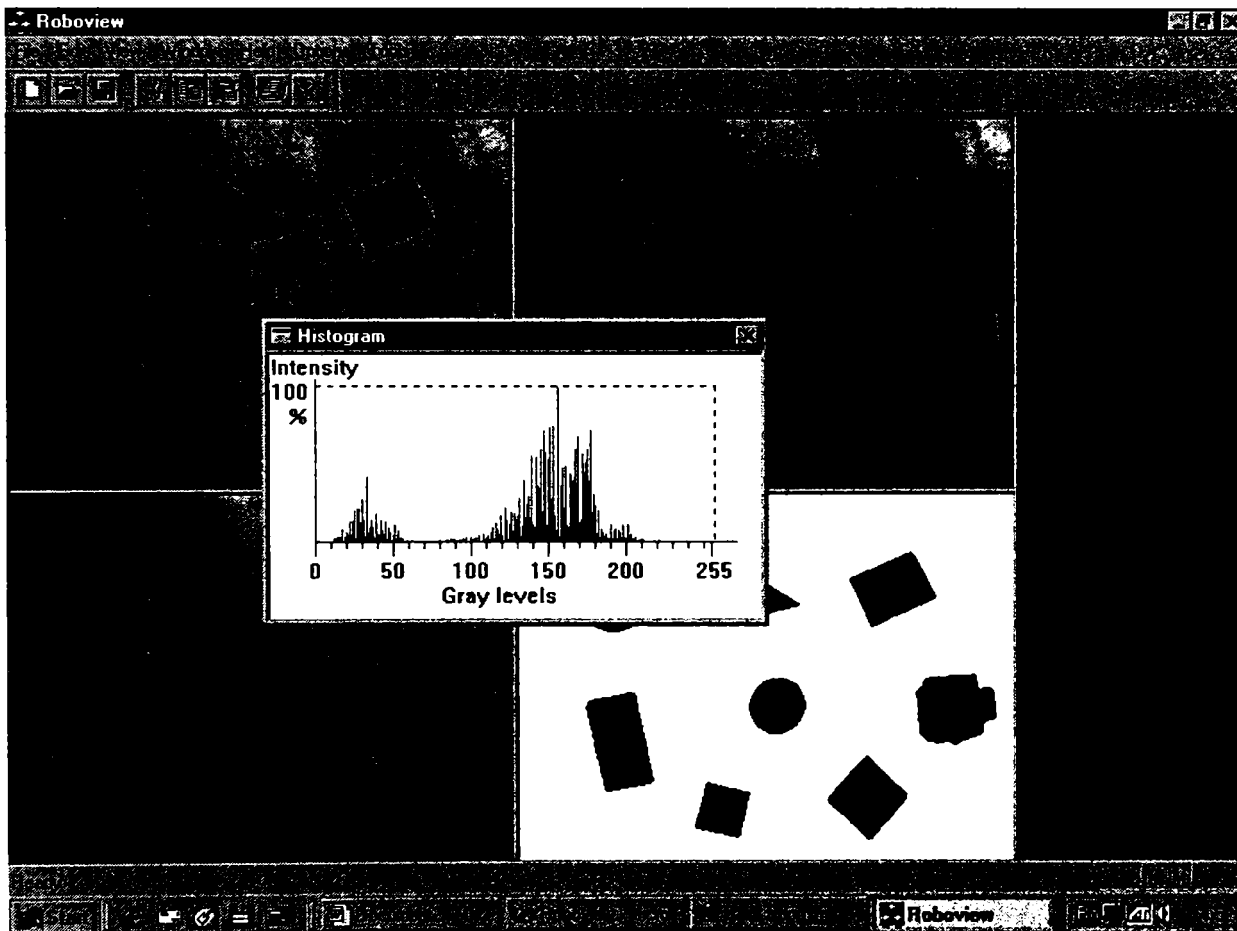
```

```

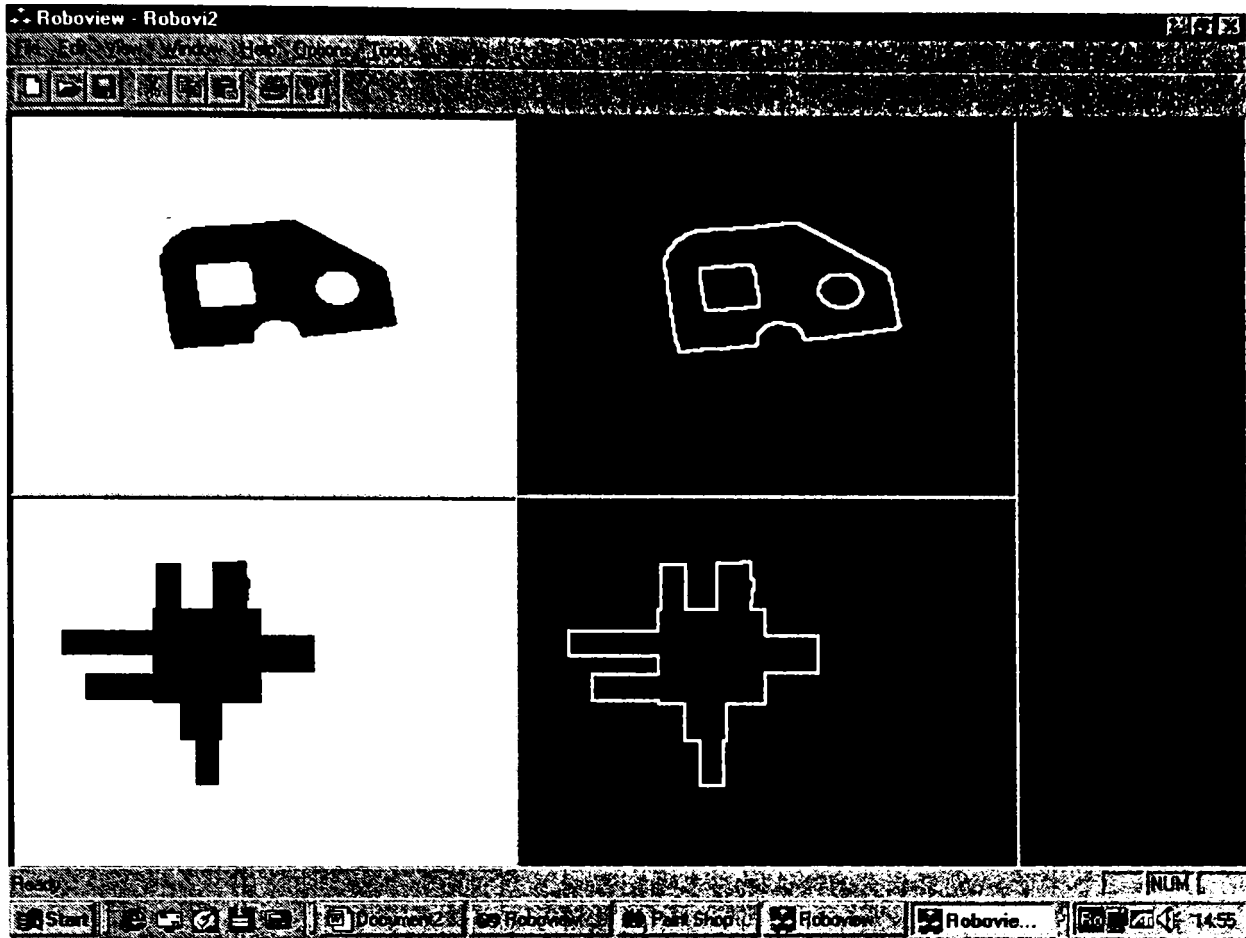
ColorTableSize = NumColors*sizeof(RGBQUAD);
}
return DibBuffer+GetDibInfoHeaderSize(DibBuffer)+ColorTableSize;
}
WORD GetDibWidth(BYTE *DibBuffer)
{
if(GetDibInfoHeaderSize(DibBuffer) == sizeof(BITMAPCOREHEADER))
return (WORD)(((BITMAPCOREHEADER *)DibBuffer)->bcWidth);
else
return (WORD)(((BITMAPINFOHEADER *)DibBuffer)->biWidth);
}
WORD GetDibHeight(BYTE *DibBuffer)
{
if(GetDibInfoHeaderSize(DibBuffer) == sizeof(BITMAPCOREHEADER))
return (WORD)(((BITMAPCOREHEADER *)DibBuffer)->bcHeight);
else
return (WORD)(((BITMAPINFOHEADER *)DibBuffer)->biHeight);
}
DWORD GetDibInfoHeaderSize(BYTE *DibBuffer)
{
return ((BITMAPINFOHEADER *)DibBuffer)->biSize;
}

```

În figura 3.3.1 sunt prezentate câteva imagini din cadrul rulării programului care se referă atât la spațiile de lucru în care au evoluat roboții (fig. 3.3.1,a, b și d) precum și alte imagini prelucrate (fig.3.3.1,c și d) :



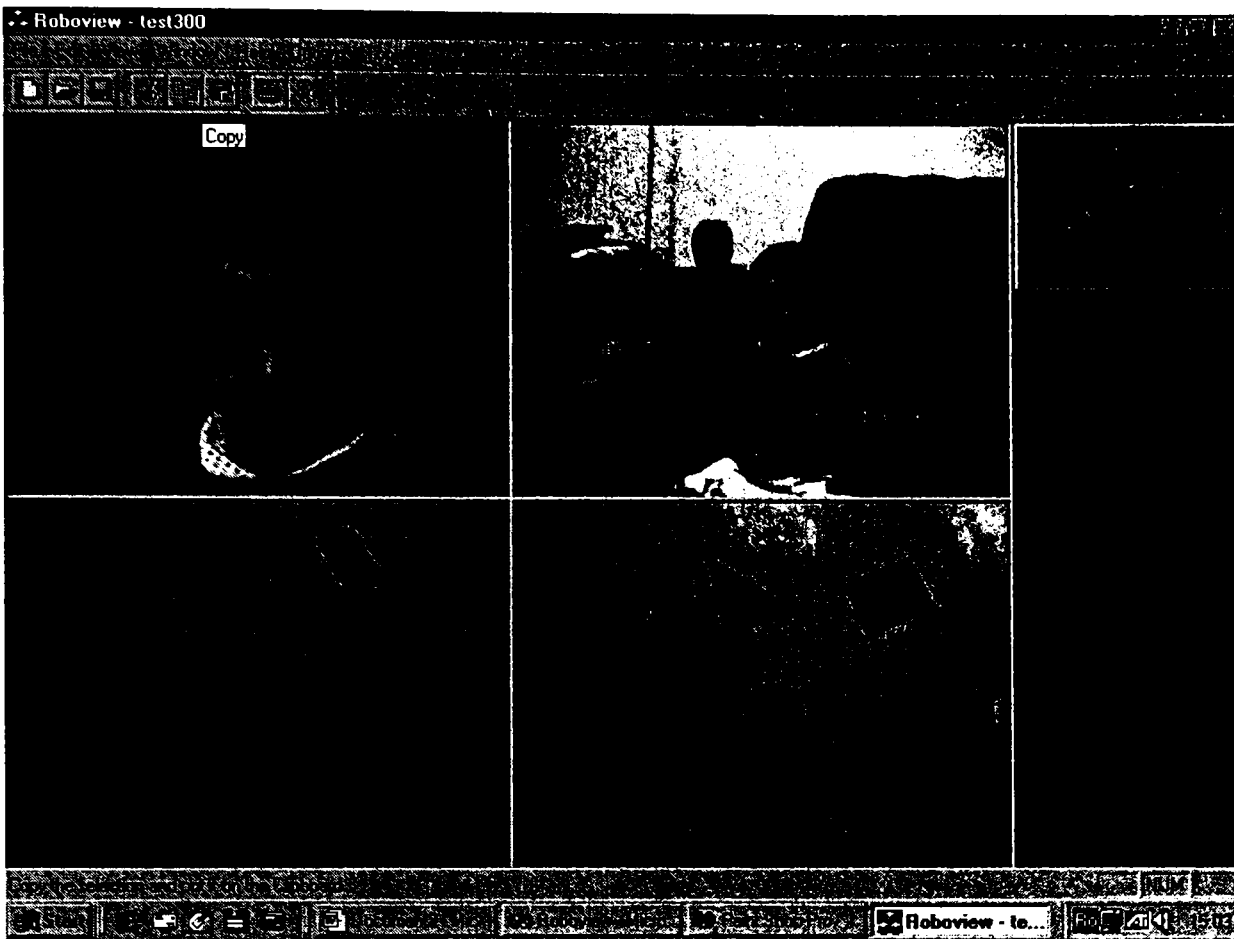
(a)



(b)



(c)



(d)

Fig. 3.3.1
Exemplificări ale aplicării algoritmilor de recunoașterea și
prelucrare a imaginilor în cadrul programului principal

Partea IV-a

Concluzii și contribuții personale

Principalul scop urmărit în teză este conducerea unui robot mobil printr-un spațiu populat cu obstacole. Toți algoritmi și toate metodele prezentate au fost selectate astfel încât să servească scopului final ales.

La majoritatea capitolelor pe lângă metodele implementate sunt prezentate din punct de vedere teoretic și alte metode pentru scoaterea în evidență a avantajelor și dezavantajelor metodelor utilizate practic.

Teza este structurată pe trei capitole, fiecare dintre acestea reprezentând cele trei nivele de vedere artificială. Tematica abordată, și contribuțiile personale a le autorului se pot sintetiza astfel :

➤ **Partea I-a**

Tratează vederea de complexitate redusă ocupându-se de achiziția și preprocesarea imaginii. Această parte este structurată pe 8 capitole, fiecare dintre ele ocupându-se de o anumită ramură din categoria celor de achiziție și preprocesare.

Domeniile abordate și rezolvate în acest cadru sunt :

- **Achiziția imaginii**, în care se tratează hardware-ul și software-ul necesar. Dispozitivele hardware prezentate, sunt camerele video cu tub și CCD precum și plăcile de achiziție utilizate în cadrul experimentelor. Sunt descrise modurile de funcționare ale camerelor video, avantajele și dezavantajele celor două tipuri existente în momentul de față și principalele caracteristici ale acestora. Referitor la plăcile de achiziție sunt prezentate cele două modele personale ale autorului, caracteristicile și performanțele lor.

Toată instalația experimentală prezentată cu aceste componente a fost realizată integral de autor. S-au încercat și realizat diferite modalități de concepere a instalației și s-au exprimat în teză concluzii originale cu privire la funcționare.

În domeniul software este prezentată librăria Video for Windows, fiind descrise funcțiile, mesajele și macrourele acesteia. În locurile considerate necesare sunt prezentate exemple de cod în limbaj C pentru înțelegerea modului lor de utilizare și a scopului deservit de acestea. Sunt prezentate funcțiile realizate în limbaj C, care implementează necesarul de proceduri

pentru captura imaginii utilizate în cadrul experimentelor. *Autorul a realizat în mod original următoarele funcții:*

- *Funcția de enumerare a driverelor de captură existente în sistem*
- *Funcția de conectare a ferestrei de captură cu driverul de captură*
- *Funcția de creare a ferestrei de captură*
- *Funcția principală de captură video*

Pe lângă programul principal, s-au mai făcut experimente cu diferite programe de prelucrare video, cum ar fi:

- Adobe Premiere 4.2
- Digital Video Producer

- ***Prelucrarea imaginilor***, în care sunt exemplificate diferite moduri de procesare în funcție de rezoluție și nivele de gri. Sunt de asemenea descrise câteva tehnici de iluminare care au ca scop obținerea unor imagini clare, fără umbre și fără efect de „spot-light”. .

Este contribuția autorului această sinteză de tehnici de prelucrare împreună cu toate exemplele de imagini prezentate.

- ***Filtrarea imaginilor***, care constituie prima etapă în orice algoritm de vedere artificială. Aceasta are rolul de a elimina zgomotele datorate conversiei analog-numerice. *Autorul a prezentat diferite metode existente în literatura de specialitate cât și implementarea lor sub formă de funcții în limbajul C++.* *Întreaga prezentare este în mod original ilustrată în vederea evidențierii avantajelor și dezavantajelor oferite de algoritmi utilizați.*

Autorul a creat proceduri originale în limbajul C++ pentru următoarele metode de filtrare:

- Metoda mediei vecinătății
- Metoda filtrării mediane
- Metoda mediei imaginilor
- Metoda convoluției și corelației
- Metoda filtrelor spațiale trece-jos
- Metoda filtrelor spațiale trece-sus
- Metoda filtrelor minim și maxim

- Metoda filtrării imaginilor binare

Toate aceste metode au fost ilustrate grafic pe imagini prelucrate cu proceduri originale concepute de autor.

În urma experimentelor realizate autorul a constatat că metoda filtrului median și cea a filtrării imaginilor binare sunt cele mai adecvate vederii artificiale industriale, având cele mai bune rezultate în eliminarea zgomotelor. S-a constatat de asemenea că uneori este necesară aplicarea succesivă a acestor metode pentru eliminarea în totalitate a perturbațiilor. *Aplicarea acestor metode la recunoașterea obiectelor este de asemenea o contribuție originală.*

- **Îmbunătățirea imaginii**, care tratează eliminarea efectelor datorate iluminării neuniforme. Au fost prezentate din punct de vedere teoretic trei metode :

- Metoda egalizării histogramei
- Metoda specificării histogramei
- Îmbunătățirea locală a imaginii .

Deoarece doar prima metodă se poate implementa într-un algoritm ce nu necesită intervenția utilizatorului, aceasta a fost singura implementată practic. *Funcția de implementare și imaginile prelucrate și prezentate sunt contribuții originale ale autorului și scot în evidență eficiența acestei metode în extragerea detaliilor ascunse în umbra unei iluminări neadecvate.*

- **Detecția de contur**, care este un prim pas în vederea procesării imaginii, tratând extragerea conturilor dintr-o imagine capturată. Pe lângă partea de teorie referitoare la utilizarea operatorilor de tip gradient și Laplacian, s-a prezentat și implementarea originală a unei funcții ce utilizează mai mulți operatori de tip mască :

- *Freeman*
- *Soebel*
- *Prewitt*
- *Kirsch*
- *Vertical*
- *Orizontal*
- 45°

În urma testărilor repetate, autorul a concluzionat că, cele mai bune rezultate experimentale s-au obținut cu operatorii Freeman.

Deoarece ceilalți operatori ofereau rezultate acceptabile în funcție de cazurile particulare studiate, *autorul a realizat programul principal astfel încât să ofere utilizatorului toate tipurile de operatori implementate urmând ca acesta să decidă în funcție de aplicație.*

Pe parcursul tezei au fost prezentate în mod original un mare număr de imagini a căror detecție de contur a fost realizată experimental.

- **Stabilirea unui prag pentru prelucrarea imaginii**, care tratează o metodă de binarizare a imaginii, metodă necesară deoarece toți algoritmi de procesare utilizați ulterior lucrează cu imagini binare ca imagini de intrare. Metoda construiește histograma imaginii și selectează intensitatea de separație între pixelii fondului și pixelii obiectelor. *Atât funcția de selecție a punctului de prag cât și cea de calcul și afișare a histogramei, amândouă în limbajul C++, sunt contribuții originale ale autorului și au fost prezentate împreună cu exemple concrete în cadrul tezei.*
- **Domeniile de frecvență**, care prezintă doar un punct de vedere teoretic, pentru a se putea explica avantajele și dezavantajele metodei domeniilor spațiale. Din cauza necesarului mare de calcul și timp, aceste metode nu sunt compatibile cu cerințele vederii artificiale industriale.

➤ **Partea II-a.**

Tratează în trei capitole distincte problemele legate de vederea de nivel mediu, adică cele referitoare la segmentarea, descrierea și recunoașterea imaginilor. Cea ce autorul a soluționat în această parte a tezei se referă la :

- **Segmentarea imaginii**, care se ocupă cu extragerea de obiecte din cadrul unei imagini. Algoritmi de segmentare sunt în general bazați pe două principii importante: discontinuitatea și similitudinea. Au fost prezentate mai multe metode teoretice de segmentare :

- Conectarea marginilor și detecția de contur
- Folosirea pragului pentru segmentarea imaginii
- Segmentarea orientată pe regiuni
- Utilizarea mișcării

Ca o sinteză a tuturor acestor metode autorul a prezentat în finalul capitolului o metodă originală a autorului de segmentare care se bazează atât pe folosirea pragurilor cât și pe detecția de contur.

Principala noutate adusă este utilizarea unui rastru, care permite obținerea unor puncte ce ulterior vor fi utilizate în faza de descriere.

Pe lângă elaborarea teoretică originală a algoritmului, este creată și o funcție de implementare originală, care este prezentată la partea de descriere a imaginii.

Prezentarea algoritmului este susținută și cu exemple originale obținute de către autor prin experimentare.

- **Descrierea**, care se ocupă cu extragerea de informații referitoare la obiectele rezultate în urma segmentării, informații ce definesc caracteristicile de formă sau textură ale obiectelor. Aceste caracteristici definesc obiectele, și vor ajuta la distingerea unui obiect față de altul. Principalul algoritm urmărit în acest capitol este utilizarea numerelor de formă. Acestea au marele avantaj că pot fi normalizate pentru următoarele situații practice :

- Modificarea orientării
- Modificarea mărimii
- Modificarea punctului de inițializare

Astfel, corpuri identice ca formă, dar orientate diferit față de camera video, având dimensiuni diferite pot fi grupate în aceeași clasă de obiecte și recunoscute ca atare.

Descrierea pe baza numerelor de formă este una din rezultatele importante ale tezei.

Având în vedere probleme concrete apărute, legate de figurile geometrice plane, s-a creat un algoritm original de normalizare la orientare.

Întregul set de algoritmi necesari descrieri cu ajutorul numerelor de formă a fost implementat în mai multe funcții C++, care sunt contribuții originale ale autorului.

De asemenea, desfășurarea algoritmului a fost bogat ilustrată cu imagini obținute experimental de către autor urmărindu-se atent fiecare pas al determinării numărului de formă.

Pe lângă acest algoritm au mai fost prezentate din punct de vedere teoretic și alte metode ca :

Semnături

- Aproximări poligonale
 - Coduri de înlănțuire
 - Descriptori Fourier
 - Descriptorii regiunilor
-
- **Recunoașterea**, se ocupă de etichetarea obiectelor segmentate și atașarea lor unor clase cunoscute de obiecte. Din punct de vedere teoretic s-au prezentat două tipuri de metode :
 - Metode de decizie teoretică
 - Metode de decizie structurală

În cadrul metodelor de decizie structurală s-a implementat un algoritm original bazat pe existența unei baze de date, formată din numere de formă, ce conține descriptori de figuri geometrice plane.

Crearea bazei de date s-a realizat în mod experimental de către autor, în primă fază, pe corpuri ideale, iar ulterior a fost dezvoltată pe măsură ce rezultatele experimentale o demonstau necesar.

Întregul algoritm a fost scris în C++, și este contribuție originală a autorului, iar rezultatul aplicării lui se reprezenta prin colorarea în diferite culori a diverselor clase de figuri geometrice întâlnite.

➤ **Partea III-a**

Partea a treia tratează procesul de conducere a doi roboți printr-un spațiu de lucru populat cu obstacole. Se realizează o prezentare a roboților ce se deplasează pe baza unor traiectorii planificate. Autorul selectează dintre metodele de planificare

cunoscute, cele care se pretează formelor roboților și obstacolelor, precum și mecanismelor motoare ale roboților. Se prezintă achiziția de imagini în timp real și descrierea generală a programului principal.

Obiectivele urmărite și realizate sunt :

- **Descrierea primului robot efector**, care prezintă modul de realizare a acestuia, prezentând teoretic modul de funcționare al motoarelor pas cu pas folosite și schema electronică de comandă a acestora. *Autorul a adaptat o sursă comercială de curent, printr-un stabilizator de tensiune în vederea asigurării alimentării cu 5V a robotului.*
- **Descrierea rutinelor de comandă**, care au fost create special de autor pentru conducerea robotului prin calculator și care asigură deplasarea robotului prin spațiul de lucru.

S-au creat rutine pentru deplasarea robotului înainte și înapoi, pentru virare la stânga și la dreapta. De asemenea s-au folosit operații cu fișiere de intrare ieșire, specifice programelor Windows, în locul tradiționalelor operații de intrare-ieșire din MS-DOS.

Astfel au fost create în mod original următoarele funcții de comandă:

- *Funcție pentru inițializarea portului paralel*
 - *Funcție pentru deplasarea înainte a motorului din dreapta*
 - *Funcție pentru deplasarea înapoi a motorului din dreapta*
 - *Funcție pentru deplasarea înainte a motorului din stânga*
 - *Funcție pentru deplasarea înapoi a motorului din stânga*
 - *Funcție pentru deplasarea înainte a robotului*
 - *Funcție pentru deplasarea înapoi a robotului*
 - *Funcție pentru rotirea la dreapta a robotului*
 - *Funcție pentru rotirea la stânga a robotului*
- **Recunoașterea și maparea spațiului de lucru**, care se ocupă cu aspecte ale planificării mișcării, fiind prezentate două metode de planificare:
 - Metoda grilei neomogene
 - Metoda grafului vizibilității

Ambele metode sunt exemplificate prin număr mare de imagini realizate în mod experimental de către autor, pornind de la spațiul de lucru populat cu obstacole plane, a cărui imagine a fost capturată și procesată anterior.

S-au realizat mai multe experimente originale, de determinare a traiectoriei prin modificarea punctelor de start și final.

- **Conducerea unui robocar cu achiziția imaginii în timp real** este o problemă foarte complexă și laborioasă, ce necesită un hardware foarte rapid și un software optimizat pentru cazurile particulare experimentate.

Este descris pe scurt robocarul utilizat în cadrul acestor experimente, care a fost comandat prin interfața serială a unui calculator și are atașată o cameră video solidară cu roata directoare.

Ideea aplicată în cadrul acestor experimente este o contribuție originală a autorului.

Rutina de achiziție și prelucrare are trasate condiții inițiale restrictive, referitoare la spațiul de lucru și la modul de recunoaștere a obiectului.

Crearea spațiului de lucru a pus probleme complicate datorită necesității eliminării umbrelor și a obiectelor false. De asemenea obiectul urmărit a trebuit realizat dintr-un material mat care nu reflectă lumina, pentru a nu crea efectul de „spot-light”.

Experimentul a reușit urmărirea fără dificultăți a centrului de greutate al obiectului prin spațiul de lucru de către robocar.

Întregul experiment de conducere a robocarului pe baza imaginii achiziționate și prelucrate în timp real a putut fi realizat pe baza programelor concepute și aplicate de autor.

Se prezintă un exemplu original de planificare a mișcării robocarului printr-un spațiu de lucru ce reprezintă o secțiune plană a laboratorului de Organe de Mașini și Mecanisme al UPT. Și în acest caz s-au folosit cele două metode de planificare a traiectoriilor utilizate pentru robotul anterior.

Autorul a realizat diferite experimente pentru recunoașterea în timp real a obiectului, prin impunerea de condiții de simplificare, dar viteza tehnicii de calcul utilizate nu a permis obținerea unor rezultate satisfăcătoare, decât în anumite cazuri.

- *Prezentarea programului principal* constituie partea ce descrie modul original de realizare a programului principal și obiectele importante ale acestuia. Sunt prezentate în mod original funcțiile necesare în operarea cu imaginile de tip bitmap realizate în limbajul C++ :
 - *Citirea unei imagini bitmap*
 - *Salvarea unei imagini bitmap*
 - *Afișarea unei imagini bitmap*

Toate funcțiile prezentate în această teză cât și programul principal sunt contribuții originale ale autorului.

Bibliografia

1. A.Blake, M.Isard "Active Contours The application of Tehniques from Graphics, Vision , Control Theory ans Statisticsto Visual Tracking of Shapes in Motion". Springer-Verlag New York, 1998
2. A.Craig Lindley: "Practical Image Processing in C". John Wiley & Sons, New York 1991
3. A.D.Greenberg, S.Greenberg : "Digital Images : A Practical Guide". McGraw-Hill, 1995
4. A.Davies : "The Digital imaging A-Z". Butterworth-Heinemann, 1997
5. A.H.Watt, F.Policarpo : "The Computer Image". Addison Wesley Longman, 997
6. A.K.Jain : "Fundamentals of Digital Image Processing". Prentice Hall, 1989
7. A.Kelemen : "Motoare electrice pas cu pas", Curs Lito UPT, 1975
8. A.Khotanzad, R.L.Kashyap : "Texture Classification Using whose Effectiveness can be evaluated a priori". IEEE Trans. Man, Cybernetics, vol. SMC-17, nr. 6, Nov. 1987
9. A.Lambert, N.Le Fort-Piat : "Robot tasks planning integrating uncertainties and local maps". AVCS'98, Amiens, France, 1998
10. A.M.Barry : "Visual Intelligence". State University of New York Press, 1997
11. A.Pugh : "Robot vision". Editions IFS Publications, Springle, New York, NY, 1983
12. A.R.Weeks : "Fundamentals of Electronic Image Processing". SPIE-International Society for Optical Engineering, 1996
13. A.S.Glassner : "Principles of Digital Image Synthesis". Morgan Kaufmann Pubs., 1994
14. Alan V. Oppenheim, Ronald W. Schafer: "Digital Signal Processing". Prentice-Hall, Englewood, 1982
15. Arbib, Michael A. and Hanson, Allen R.: "Vision, Brain, and Cooperative Computation". MIT Press, Cambridge, MA, 1987
16. Azriel Rosenfeld, Avinash Kak: "Digital Picture Processing". Academic Press, Orlando, 1982

17. B. Bouilly, T.Simeon, R.Alami : “A numerical technique for planning motion strategies of a mobile robot in presence of uncertainty”. IEEE International Conference on robotics and Automation, 1995
18. B.Jahne : “Digital Image Processing”. Springer-Verlag New York, 1997
19. Bart Kosko & J.S. Limm : “Vision as a Causal Activation and Association”. S.P.I.E Proceedings, Sept. 1985
20. Blanton Keith : “Image Extrapolation for Flight Simulator Visual Systems”, AIAA conference, 1988
21. C. Canudas, H.Khennouf, C.Samson, and O.J. Sordalen “Nonlinear ControlDesign for Mobile Robots”. World Scientific Series in Robotics and Automated Systems, Vol. 11, 1993
22. C.Strothotte, T.Strothotte : “Seeing between the Pixels”. Springer-Verlag New York, 1997
23. C.T.Leondes : “Image Processing and Pattern Recognition”. Academic Press, 1997
24. Christopher Watkins, Alberto Sadun, Stephen Marenka: "Modern Image Processing: warping, morphing, and classical techniques". Academic Press, London 1993
25. Cl. Lurgeau & M. Parrent : “Les machines de vision en productique”. Editions E.T.A., Strasbourg, 1985
26. D. Drăgulescu, D. Iosif: “Using shape numbers for image description and recognition”. Buletinul Șt. și Tehnic al UTT, seria Automatică și calculatoare, Tom 42(56), 1997
27. D. Drăgulescu, D. Iosif: “Utilizarea numerelor de formă în descrierea și recunoașterea imaginilor”. Analele Universității din Oradea, Fascicola Mecanică, 1997
28. D. Drăgulescu, D. Iosif: “Utilizarea numerelor de formă în recunoașterea figurilor geometrice plane”. Buletinul AGIR nr. 3, 1998
29. D. Iosif : “Curs de vedere artificială”, dat spre publicare la Editura Universității Banatului, Tmișoara, 1999
30. D.A.Lyon : “Image Processing in Java”. Prentice Hall, 1999

31. D.Andreiciuc, cond. șt. T.Mureșan : “Teză de doctorat -- Optimizarea conduceri vehiculelor ghidate automat” 1999
32. D.Drăgulescu : “Dinamica Roboților”. Ed. Didactică și Pedagogică, București, 1997 -
33. D.Drăgulescu, C.Couturier : “Cours de modelisation des robots”. Lito. Universite d’Artois, Franța, 1995
34. D.Drăgulescu, F. Moldovan : “Legile de mișcare ale unui robot RRT cu momente de inerție variabile”. A VIII-a Conferință de Vibrații Mecanice, Timișoara, 1996
35. D.Drăgulescu, F. Moldovan, H. Moldovan “Quantitative and qualitative measurements on populated printed circuits boards”. The 4-th International Conference of Electric, Electronic Equipement, Brașov, 1994
36. D.Drăgulescu, F. Moldovan, H.Moldovan : “Metoda de determinare a marginilor unui C-obstacol”. Al XII-lea Simpozion Național de Roboți Ind., Timișoara, 1994
37. D.Drăgulescu, F. Moldovan, H.Moldovan “Metoda descompunerii celulare exacte. Curbe critice”. Al XII-lea Simpozion Național de Roboți Ind., Timișoara, 1994
38. D.Drăgulescu, F. Moldovan, H.Moldovan: “Considerations about the critical curves at the exact cell decomposition method”. International Conference on Technical Informatics, Conti’94, Timișoara, 1994
39. D.Drăgulescu, F. Moldovan, M. Toth-Tașcău “Metode de planificare a traiectoriilor la roboți. Sinteză”. Analele Universității Eftimie Murgu, Reșița, 1995
40. D.Drăgulescu, F. Moldovan, M. Toth-Tașcău, : “Considerations about the critical curves at the exact cell decomposition method”. Buletin Șt. Și Tehnic al UTT, seria Mecanică, Tom 40 (54), 1995
41. D.Drăgulescu, F. Moldovan, M. Toth-Tașcău, “Soluționarea problemei cinematice inverse pentru un robot având 6 GL, prin metoda separării matricelor”. Analele Universității Oradea, 1995
42. D.Drăgulescu, F.Moldovan : “Trajectory control of RRT robot with timevarying inertia links”. International Conference on Technical Informatics, Conti’96, Timișoara, 1996
43. D.Drăgulescu, F.Moldovan, M. Toth-Tașcău, C.Crivacucea “Metode de planificare a traiectoriilor la roboți. Sinteză”.Analele universității Eftimie Murgu, Reșița, anul III, 1996

44. D.Drăgulescu, M. Toth-Tașcău “ Determinarea ecuațiilor de mișcare pe baza modelului dinamic pentru un manipulator cu trei grade de libertate”. The 25-th Conference on Production Engineering, Beograd, Jugoslavia, 1994
45. D.Drăgulescu, M. Toth-Tașcău : “Comparative dynamic study of a serial robot”. Mecanique-Industrie-Materiaux, vol. 6, Franța, 1996
46. D.Drăgulescu, M. Toth-Tașcău : “Comparative dynamic study of a serial robot”. The 26-th Conference on Mechanical Engineering, Technion city, Israel, 1996
47. D.Drăgulescu, M. Toth-Tașcău : “Contributions to cell decomposition method for a two-dimensional work space”. International Conference on Technical Informatics, Conti’96, Timișoara, 1996
48. D.Drăgulescu, M. Toth-Tașcău “Contributions to motion planning using potential field method”. International Conference on Technical Informatics, Conti’96, Timișoara, 1996
49. D.Drăgulescu, M. Toth-Tașcău : “Coordonarea cuplelor cinematice ale unui robot prin metoda timpului minimal”. Al XII-lea Simpozion Național de Robotică, Reșița, 1996
50. D.Drăgulescu, M. Toth-Tașcău “Determinarea preciziei de parcurgere a traiectoriei unui robot”. A XXVII-a Ses. De Comunicări Științifice cu Part. Intern., Ac. Tehnică Militară, București, 1997
51. D.Drăgulescu, M. Toth-Tașcău : “Dynamic comparative study of a welding robot CLOOS”. Third European Conference on Joining Technology EUROJOIN3, Berna, Elveția, 1998
52. D.Drăgulescu, M. Toth-Tașcău : “Dynamic study of a welding robot”. The 25-th Conference on Production Engineering, Beograd, Jugoslavia, 1994
53. D.Drăgulescu, M. Toth-Tașcău : “Generation of six Degrees of Freedom Robot path”. Analele Universității din Oradea, 1994
54. D.Drăgulescu, M. Toth-Tașcău : “Influence of the robot joints vibrations on the position of the end effector”. A V-a Conferință de Matematică Aplicată și Mecanică, Cluj-Napoca, 1996
55. D.Drăgulescu, M. Toth-Tașcău : “Influența vibrațiilor din cuplele unui robot asupra poziției efecteurului final”. A VIII-a Conferință de Vibrații Mecanice, Timișoara, 1996

56. D.Drăgulescu, M. Toth-Tașcău : “Interpolarea traiectoriilor unui robot cu funcții spline și restricții cinematice și dinamice”. The VII-th Symposium of Mathematics and its Applic., univ. Politehnica timișoara, 1997
57. D.Drăgulescu, M. Toth-Tașcău : “Kinematic and dynamic study of a welding robot”. Second European Conference on Joining Technology EUROJOIN2, Florența, Italia, 1994
58. D.Drăgulescu, M. Toth-Tașcău “Kynematics analysis, joint torques and dynamics of a welding robot”. Analele Universității din Oradea, 1994
59. D.Drăgulescu, M. Toth-Tașcău : “Method to generate an imposed trajectory for a robot having 6 degrees of fredom”. International Conference on Technical Informatics, Conti’94, Timișoara, 1994
60. D.Drăgulescu, M. Toth-Tașcău : “Method to study the dynamical behaviour of a complex mechanical structure”. International Conference, University of the West, Timișoara, 1997
61. D.Drăgulescu, M. Toth-Tașcău : “Modelarea roboților cu structura arborescentă și lanț cinematic închis”. The VII-th International Conference of Manufacturing Engineering Techno’95, Timișoara, 1995
62. D.Drăgulescu, M. Toth-Tașcău : “Modelarea spațiului de lucru prin metoda arborelui. Workspace modelling by tree method”. Analele Universității din oradea, Fascicola Mecanică, 1997
63. D.Drăgulescu, M. Toth-Tașcău : “Modelling of robot vibrations by rigid finite elemnt method”. First Romanian-Japanese Joint Seminar on Applied Electromagnetics and Mechanics, RJJSAEM, Neptun, 1996
64. D.Drăgulescu, M. Toth-Tașcău “Motion planning for a movable robot by potential field method”. Buletinul Șt. Și Tehnic al UTT, seria Mecanică, Tom 41(55), 1996
65. D.Drăgulescu, M. Toth-Tașcău “Path planning for a robot by exact cell decomposition method”. II-nd International Conference on Advanced Robotics, Viena, 1996
66. D.Drăgulescu, M. Toth-Tașcău : “Planificarea traiectoriei unui robot prin metoda câmpului potențial”. Al XII-lea Simpozion Național de Roboți Ind., Timișoara, 1994

67. D.Drăgulescu, M. Toth-Tașcău : “Position and orientation errors due to robot element deformations”. The 30-th International Symposium on Automotive Technology and Automation ISATA’97, Florența, Italia, 1997
68. D.Drăgulescu, M. Toth-Tașcău : “Studiul cinematic al unui robot KUKA cu șase grade de libertate”. Buletinul Conferinței Naționale de dinamica Mașinilor CDM 94, Brașov, 1994
69. D.Drăgulescu, M. Toth-Tașcău : “Studiul dinamicii unui robot tip KUKA”. The VII-th International Conference of Manufacturing Engineering Techno’95, Timișoara, 1995
70. D.Drăgulescu, M. Toth-Tașcău : “Variația elementelor torsorului de reducere din cuplele unui robot RTRTTR”. A VIII-a Conferință de Mecanica Solidelor, Constanța, 1994
71. D.Drăgulescu, M. Toth-Tașcău : “Workspace modelling by non-homogeneous grid and tree method”. Buletinul Șt. Și Tehnic al UTT, seria Mecanică, Tom 42(56), 1997
72. D.Drăgulescu, M. Toth-Tașcău, D. Iosif: “Dynamical Study of the Welding Robot CLOOS”. Analele Universității Eftimie Murgu Reșița, 1997
73. D.Drăgulescu, M. Toth-Tașcău, D.Iosif : “Dynamical study of the welding robot CLOOS with rigid links”. Buletinul Șt. și Tehnic al UTT, seria Mecanică, Tom 42(56), 1997
74. D.Drăgulescu, M. Toth-Tașcău, F. Moldovan : “Considerații asupra metodei de recunoaștere prin arbore de decizie”. A II sesiune de comunicări științifice cu participare internațională “Realizări tehnice și cultural-științifice pe meleaguri arădene”, Arad, 1994
75. D.Drăgulescu, M. Toth-Tașcău, F. Moldovan : “Dinamica robotului KUKA tip 364/10.0”. Acta Universitatis Cibiniensis, Vol XiX, Universitatea L. Blaga, Sibiu, 1995
76. D.Drăgulescu, M. Toth-Tașcău, F. Moldovan “Kinematic restrictions in movements of robot”. Analele Universității Oradea, 1995
77. D.Drăgulescu, M. Toth-Tașcău, F. Moldovan “Metoda de planificare a traiectoriilor în spațiul configurațiilor bidimensional. Metoda grafului vizibilității”. Analele Universității Oradea, 1995

78. D.Drăgulescu, M. Toth-Tașcău, F. Moldovan : “Metodă și algoritmi de planificare a triectorilor plane”. A II sesiune de comunicări științifice cu participare internațională “Realizări tehnice și cultural-științifice pe meleaguri arădene”, Arad, 1994
79. D.Drăgulescu, M. Toth-Tașcău, F. Moldovan : “Planificarea mișcării roboților”, Ed. Helicon, Timișoara, 1995
80. D.Drăgulescu, M. Toth-Tașcău, F. Moldovan : “Soluționarea problemei dinamice a robotului KUKA tip 364/10.0 în condiții date de mișcare”. Analele Universității Eftimie Murgu, Reșița, 1995
81. D.Drăgulescu, M. Toth-Tașcău, F. Moldovan, H. Moldovan : “Considerații asupra unei metode de recunoașterea formelor”. A II sesiune de comunicări științifice cu participare internațională “Realizări tehnice și cultural-științifice pe meleaguri arădene”, Arad, 1994
82. D.Drăgulescu, M. Toth-Tașcău, F.Moldovan : “Soluționarea problemei dinamice a robotului KUKA tip 346110.0 în condiții date de mișcare”. Analele universității Eftimie Murgu, Reșița, anul III, 1996
83. D.Drăgulescu, M. Toth-Tașcău, G. Pasco : “Utilizarea matricelor de transfer la calculul forțelor generalizate pentru un robot”. Conferința Națională de Dinamica Mașinilor CDM 97, Brașov, 1997.
84. D.Drăgulescu, M. Toth-Tașcău, G.Pasco “Path planning by the exactcell decomposition method”. Buletinul Șt. Și Tehnic al UTT, seria Mecanică, Tom 41(55), 1996
85. D.Drăgulescu, M. Toth-Tașcău: “Studiul mișcării robotului în timp minim, în spațiul operațional”. A II sesiune de comunicări științifice cu participare internațională “Realizări tehnice și cultural-științifice pe meleaguri arădene”, Arad, 1994
86. D.H. Ballard : “Generalizing the Hough Transform to Detect Arbitrary Shapes”. Pattern Recognition, vol. 13, Nr. 2, 1981
87. D.H. Ballard and C.M. Brown : “Computer Vision”. Prentice-Hall, Englewood Cliffs, N.J., 1982
88. D.Pârvuți, coord.șt. N. Robu : “Proiect de diplomă – Robot cu vedere artificială”, UTT, 1995
89. D.Phillips : “Image Processing in C”. R&D Books, 1996
90. D.W. Wloka : “Robotersysteme”, Springer-Verlag, Berlin, 1992

91. E.Gose, R.Johnsonbaugh : "Pattern Recognition and Image Analysis" Prentice Hall, 1996
92. Embree, Paul M., and Kimble, Bruce : "C Language Algorithms for Digital Signal Processing". Prentice-Hall, Englewood Cliffs, NJ, 1991
93. Foley, James, van Dam, Andries, Feiner, Steven, and Hughes, John : "Computer Graphics Principles and Practice", 2nd ed. Addison Wesley, Reading, MA, 1990
94. G. Mezin & B. Bretagnolles : "la Vision Artificielle". Societe ITMI, Measures, Avril 1986
95. G.A.Baxes : "Digital Image Processing: Principles and Applications". John Wiley and Sons Incorporated, 1994
96. G.I. Mitrofan : "Televiziune", 1996
97. G.I.Mitrofan : "Televizinea digitală". 1986
98. G.X.Ritter, J.N.Wilson : "Handbook of Computer Vision Algorithms in Image Algebra". CRC Press Inc. , 1996
99. George Wolberg: "Digital Image Warping". IEEE Computer Society Press Monograph, Loa Alamitos, 1990
100. Glasner, Andrew S. : "An Introduction to Ray Tracing". Academic Press, London , 1989
101. H. Li, M.A. Lavin & R.J. Le Master : "Fast Hough Transform : A Hierarchical Approach". Comput. Vision, Graphics Image Proc, vol. 36, 1986
102. H.E.Burdik : "Digital Imaging: Theory and Applications". McGraw-Hill, 1997
103. H.R.Myler, A.R.Weeks : "The Pocket Hanbook of Imaging Processing Algoritms in C". Prentice Hall, 1993
104. H.Stark, Y.Yang : "Vector Space Projections". John Wiley & Sons, 1998
105. Hesse, S. : "Industrie-roboter-peripherie". Verlag Technik, Berlin, 1989
106. I. Boldea, M.Brehui, R.Dumitraşcu : "Transformatoare și maşini electrice", Curs lito UPT, 1994
107. I. Nicoară, L.Mădăras : "Bazele proiectării transmisiilor mecanice", 1996
108. I.Pitas : "Digital Image Processing Algoritms". Prentice Hall, 1993
109. J. Farace : "Digital Imaging : Tips, Tools and Techiques for Photographers". Butterworth-Heinemann, 1998
110. J.Blinn : "Jim Blinns's Corner : Dirty Pixels". Morgan Kaufmann Pubs., 1998
111. J.C. Latombe : "Robot motion planning". Kluwer Academic Publisher, 1991

112. J.C.Russ : "The image processing Handbook". CRC Press Inc., 1998
113. J.Farace : "The Digital Image Dictionary". Allworth Press Pubs., 1996
114. J.G. Postaire : "De l'Image a la Decision". Editions Dunod-Informatique, Bordas, Paris,-1987
115. J.Gomes, L. Velho, S.Levy "Image Processing for Computer Graphics". Springer-Verlag New York, 1997
116. J.J. Graig : "Introduction to Robotics, Mechanics and Control", 2nd edition, Addison Wesley, 1989.
117. J.L.Starck, F.Murtagh, A.Bijaoui "Image processing and Data Analysis". Cambridge University Press, 1998
118. J.R.Parker : "Algorithms for Image Processing and Computer Vision". John Wiley & Sons, 1996
119. J.R.Parker : "Practical Computer Vision Using C". John Wiley & Sons, 1993
120. K.R.Castleman : "Digital Image Processing". Prentice Hall, 1995
121. K.R.Pender : "Digital Graphic Design". Butterworth-Heinemann, 1997
122. K.S.Fu, R.C.Gonzalez, C.S.G.Lee: "Robotics - Control, Sensing, Vision, and Intelligence". Academic Press, Boston 1990
123. Keel, William C. "A Simple Photometrically Accurate Algorithm for Deconvolution of Optical Images". Department of Physics and Astronomy, University of Alabama
124. L.D.Șerbănați, cond. șt. M. Petrescu : "Teză de doctorat -Implementarea unui limbaj pentru un sistem interactiv a datelor", 1980
125. Liu H., Meusel P., Hirzinger G. : "A Tactile Sensing system for the DLR Three-Finger robot Hand, Proc. Of the ISMCR'95 Conf., 1995
126. M. Toth-Tașcău, D.Drăgulescu : "Generarea mișcării robotului în coordonate operaționale carteziene". Al XII-lea Simpozion Național de Roboți Ind., Timișoara, 1994
127. M. Toth-Tașcău, D.Drăgulescu : "Generarea traiectoriei unui robot pe baza modelului dinamic". Buletinul Conferinței Naționale de dinamica Mașinilor CDM 94, Brașov, 1994
128. M. Toth-Tașcău, D.Drăgulescu : "Minimurile locale în planificarea mișcării prin metoda câmpului potențial". Al XII-lea Simpozion Național de Robotică, Reșița, 1996

129. M. Toth-Tașcău, D.Drăgulescu : “Path Planning for a Car-like Robot by Potential Field Method”. The 29-th International Symposium on Automotive Technology and Automation ISATA’96, Florența, Italia, 1996
130. M. Toth-Tașcău, D.Drăgulescu : “Precizia cinematică a parcurgerii traiectoriei unui robot”. Acta Universitatis Cibiniensis, Vol XiX, Universitatea L. Blaga, Sibiu, 1995
131. M.Awad, J.Kuusela : “Object-Oriented Technology for Real Time Systems”. Prentice Hall, 1996
132. M.Sonka, V.Hlavac, R.Boyle “Image Processing, Analysis, and Machine Vision”. PWS Publishing, 1998
133. Microsoft Visual C++ & Video for Windows Help.
134. Oppenheim, Allan V., and Schafer, Ronald W. : “Digital Signal Processing”. Prentice-Hall, Englewood, NJ, 1985
135. P.E.Mattinson : “Practical Digital Video with Programming Examples in C”. John wiley & Sons, 1994
136. P.Soueres, T.Hamel, V.Cadenat, A.Dzual “A Reactive Path Following Controller for Mobile Robots”. AVCS’98, Amiens, France, 1998
137. Philippe Coiffet : "Les Robots - Interaction avec l'Environnement". Demand, Paris 1991
138. R.A.Schowenger “Remote Sensing Models and Methods for Image Processing”. Academic Press, 1997
139. R.B.MacAllister : “Scanning and Image Manipulation”. Delmar Publishers, 1996
140. R.C.Gonzales, R:E:Woods “Digital Image Processing”, Addison Wesley Longman, 1992
141. R.Crane, P.S:Hewlett : “A Simplified Approach to Image Procesing”. 1996
142. R.M.Haralic, L.G.shapiro : “Computer and Robot Vision”. Addison Wesley Logman, 1992
143. R.R.Hendee, N.T.Wells, : “The Perception of Visual Information”. Springer-Verlag New York, 1997
144. S.Călin, I.Dumitrache : “Curs Regulative automate”, 1985
145. S.E. Umbaugh : “Computer Vision and Image Processing”. Prentice Hall, 1997
146. Sury J., Remsa V. :” Roboty slouzi cloveku”, Nase vojsko, Praha, 1982

147. Th. Borangiu, I. Dumitrache “Intelligent Manufacturing Systems 1995”. Elsevier Science, 1997
148. Theo Pavlidis: "Algorithms for Graphics and Image Processing". Computer Science-Press, Rockville, 1982
149. Tzay Y. Young, King-Sun Fu: "Handbook of Pattern Recognition and Image Processing". Academic Press, San Diego, 1986
150. V.Bashkaran, K.Konstantinidies : “Image and Video Compressions Standards”. Kluwer Academic Publisher, 1997
151. V.R.Dragomir student, A.Valea student, C.Bratu : “Proiect – Metoda grilei neomogene și metoda grafului vizibilității”. Facultatea de Automatică și Calculatoare
152. W.D.Schwaderer : “Digital Imaging in C and the World Wide Web”. Wordware Publishing, 1997
153. W.K.Pratt : “Digital Image Processing”. John Wiley & Sons, 1991
154. Watkins, Cristopher D., and Stevens, Roger T. “Advanced Graphics Programming in C and C++”. M&T Publishing, San Mateo, CA, 1991
155. William K. Pratt: "Digital Image Processing". John Willey & Sons, New York, 1978
156. Wolberg, George : “Digital Image Warping”. IEEE Computer Society Press Monograph, Los Alamitos, CA, 1990
157. Y.Fisher : “Fractal Image Compression”. Springer-Verlag Ney York, 1994